



OFICINA ESPAÑOLA DE PATENTES Y MARCAS

ESPAÑA



11 Número de publicación: 2 763 087

61 Int. Cl.:

C12N 15/113 (2010.01) C07H 21/00 (2006.01) A61K 31/7088 (2006.01) A61K 38/17 (2006.01) C12N 15/11 (2006.01)

(12)

TRADUCCIÓN DE PATENTE EUROPEA

T3

Fecha de presentación y número de la solicitud europea: 10.02.2012 E 17184170 (3)
 Fecha y número de publicación de la concesión europea: 25.09.2019 EP 3301176

(54) Título: Método para la identificación de ácidos nucleicos que regulan la metastatización

(30) Prioridad:

11.02.2011 US 201161441738 P

Fecha de publicación y mención en BOPI de la traducción de la patente: **27.05.2020**

(73) Titular/es:

THE ROCKEFELLER UNIVERSITY (100.0%) New York, NY 10065, US

(72) Inventor/es:

TAVAZOIE, SOHAIL; HALBERG, NILS y PNG, KIM

(74) Agente/Representante:

ARIAS SANZ, Juan

DESCRIPCIÓN

Método para la identificación de ácidos nucleicos que regulan la metastatización

Referencia cruzada a solicitud relacionada

Esta solicitud reivindica la prioridad de la solicitud estadounidense provisional n.º 61/441.738, presentada el 11 de febrero de 2011.

10 Campo de la invención

Esta invención se refiere a tratamientos para trastornos de la angiogénesis.

Antecedentes de la invención

15

20

25

La angiogénesis es un proceso de crecimiento de nuevos vasos sanguíneos y remodelación de vasos sanguíneos preexistentes. Es vital para el crecimiento y desarrollo normales, así como otros procesos fisiológicos, tales como la cicatrización de heridas. Por otro lado, la angiogénesis también es importante en diversos procesos patológicos. Por ejemplo, la angiogénesis patológica es una etapa fundamental en la transición de tumores de un estado latente a uno maligno, caracterizado por las propiedades de anaplasia, invasividad y metástasis.

La evolución metastásica del cáncer constituye un reto clínico formidable. Los avances tecnológicos han permitido la detección y el tratamiento de algunas neoplasias de estadio temprano, sin embargo, las tasas de mortalidad total debido a cánceres malignos epiteliales han permanecido esencialmente inalteradas a lo largo de los últimos cuarenta años (seer.cancer.gov/csr/1975_2007/, Instituto Nacional de Salud, 2007). Generalmente se cree que esto se debe a varios factores, incluyendo heterogeneidad molecular dentro de los tipos de cáncer, regímenes quimioterápicos de eficacia moderada que se derivaron históricamente de manera empírica, y una atención de larga tradición en los elementos impulsores moleculares del crecimiento de tumor primario en vez de evolución metastásica.

30

35

40

La prevención o el tratamiento eficaces de metástasis exige la compresión de eventos moleculares y celulares, incluyendo la angiogénesis, subyacentes a este proceso complejo (Talmadge, J. E. et al., Cancer Res 70 (14), 5649 (2010); Sleeman, J. et al., Eur J Cancer 46 (7), 1177 (2010); y Hurst, D. R., et al, Cancer Res 69 (19), 7495 (2009)). Se ha descubierto VEGF como promotor de la tumorigénesis en tumores primarios (Kim, K. J. et al., Nature 362 (6423), 841 (1993)). Algunos ensayos clínicos han mostrado que la inhibición de VEGF puede prolongar, en combinación con quimioterapia, la supervivencia en 2-3 meses en pacientes con cáncer de pulmón o colorrectal de estadio IV (Hurwitz, H. et al. N Engl J Med 350 (23), 2335 (2004); Giantonio, B. J. et al., J Clin Oncol 25 (12), 1539 (2007); y Sandler, A. et al., N Engl J Med 355 (24), 2542 (2006)). Sin embargo, no se ha probado que la inhibición de VEGF sea beneficiosa para la prevención de metástasis en la práctica de terapia adyuvante (Barugel, M. E., et al. Expert Rev Anticancer Ther 9 (12), 1829 (2009) y en recientes modelos de metástasis preclínicos (Paez-Ribes, M. et al., Cancer Cell 15 (3), 220 (2009) y Ebos, J. M. et al., Cancer Cell 15 (3), 232 (2009)). Aunque se ha propuesto que la compensación por otros factores desconocidos que fomentan la angiogénesis metastásica subyace a estos desenlaces, varios investigadores han tratado de abordar la metástasis mediante rutas distintas a la angiogénesis. Por ejemplo, el documento WO 2009082744 describió genes sobre expresados en metástasis en hueso y pulmón de cáncer de mama, en los que los genes no estaban relacionados con la angiogénesis. Otros se esforzaron por identificar factores que medien en la angiogénesis metastásica. Sin embargo, han tenido un éxito limitado.

45

50

Por tanto, existe la necesidad de agente y métodos para regular la angiogénesis y para tratar trastornos caracterizados por angiogénesis patológica, incluyendo cáncer.

Sumario de la invención

Esta invención se basa, al menos en parte, en un descubrimiento inesperado de una nueva ruta que regular el reclutamiento endotelial y, a su vez, la angiogénesis.

55

60

Por consiguiente, en el presente documento se describe un método para inhibir el reclutamiento endotelial, así como la angiogénesis, en un sujeto que lo necesita. El método incluye una etapa de administrar al sujeto un primer agente que inhibe la expresión o actividad de una primera proteína seleccionada del grupo que consiste en IGFBP2, MERTK y PITPNC1. En un ejemplo, el sujeto tiene un trastorno de la angiogénesis, es decir, un trastorno caracterizado por angiogénesis patológica, tales como cáncer, un trastorno ocular o un trastorno inflamatorio. Los ejemplos del cáncer incluyen cáncer metastásico. El método mencionado anteriormente puede incluir además una etapa de administrar al sujeto un segundo agente que inhibe la expresión o actividad de una segunda proteína seleccionada del grupo que consiste en IGFBP2, IGF1, IGF1R, MERTK, PITPNC1, ABCB9, PSAT1, PYGB, SHMT2 y VIPR. El primer agente o el segundo agente mencionados anteriormente pueden ser un anticuerpo (o una parte de unión a antígeno del mismo), un ácido nucleico, un polipéptido o un compuesto de molécula pequeña. En un ejemplo, el anticuerpo anterior es uno monoclonal que contiene una región variable de cadena pesada que comprende la secuencia de aminoácidos de SEQ ID NO: 9 y una región variable de cadena ligera que comprende la secuencia de aminoácidos de SEQ ID NO: 10 mostradas a continuación.

Además, en el presente documento se describe un método para tratar cáncer metastásico en un sujeto que lo necesita. El método incluye una etapa de administrar al sujeto un primer agente que inhibe la expresión o actividad de una primera proteína seleccionada del grupo que consiste en IGFBP2, MERTK y PITPNC1, en el que el primer agente inhibe la angiogénesis. Los ejemplos del cáncer incluyen cáncer de mama. El método puede incluir además una etapa de administrar al sujeto un segundo agente que inhibe la expresión o actividad de una segunda proteína seleccionada del grupo que consiste en IGFBP2, IGF1, IGF1R, MERTK, PITPNC1, ABCB9, PSAT1, PYGB, SHMT2 y VIPR. El primer agente o segundo agente pueden ser un anticuerpo (o una parte de unión a antígeno del mismo), un ácido nucleico, un polipéptido o un compuesto de molécula pequeña. En un ejemplo, el anticuerpo anterior es uno monoclonal que contiene una región variable de cadena pesada que comprende la secuencia de aminoácidos de SEQ ID NO: 9 y una región variable de cadena ligera que comprende la secuencia de aminoácidos de SEQ ID NO: 10 mostradas a continuación.

15

20

25

45

50

55

10

Adicionalmente, en el presente documento se proporciona un ácido nucleico aislado que tiene una secuencia que codifica para un agente de iARN que puede inhibir la expresión de una proteína seleccionada del grupo que consiste en IGFBP2, MERTK y PITPNC1. En una realización, el agente de iARN tiene una estructura bicatenaria que tiene una primera hebra y una segunda hebra; cada una de las hebras primera y segunda tiene entre 19 y 30 nucleótidos de largo; y la primera hebra está codificada por una cualquiera de SEQ ID NO: 1-6 tal como se enumera en la tabla 5 a continuación.

Además, en el presente documento se proporciona una composición que tiene un agente que inhibe la expresión o actividad de una proteína seleccionada del grupo que consiste en IGFBP2, MERTK y PITPNC1, en el que el agente puede ser un anticuerpo (o una parte de unión a antígeno del mismo), un ácido nucleico, un polipéptido o un compuesto de molécula pequeña. En un ejemplo, el agente es el ácido nucleico aislado mencionado anteriormente. En otros casos, el agente es un anticuerpo o una parte de unión a antígeno del mismo.

También se describe en el presente documento un método para diagnosticar el potencial metastásico de cáncer en 30 un sujeto. El método incluye las etapas de obtener un primer nivel de expresión para un primer gen del sujeto seleccionado del grupo que consiste en IGFBP2, MERTK y PITPNC1, y comparar el primer nivel de expresión con un primer nivel predeterminado para el primer gen seleccionado. Se determina que el sujeto tiene o es propenso a desarrollar cáncer metastásico si el primer nivel de expresión es mayor que el primer nivel predeterminado. El primer nivel predeterminado puede obtenerse a partir de un sujeto de control que está libre de cáncer. En un ejemplo, el 35 método incluye además las etapas de obtener un segundo nivel de expresión para un segundo gen del sujeto seleccionado del grupo que consiste en IGFBP2, IGF1, IGF1R, MERTK, PITPNC1, ABCB9, PSAT1, PYGB, SHMT2 y VIPR; y comparar el segundo nivel de expresión con un segundo nivel predeterminado para el segundo gen seleccionado. Se determina que el sujeto tiene o es propenso a desarrollar cáncer metastásico si tanto el primer nivel de expresión como el segundo nivel de expresión son mayores que el primer nivel predeterminado y el 40 segundo nivel predeterminado, respectivamente. El segundo nivel predeterminado también puede obtenerse a partir de un sujeto de control que está libre de cáncer.

La patente también proporciona un método para inhibir el reclutamiento endotelial en un sujeto que lo necesita. El método incluye una etapa de administrar al sujeto un primer agente que aumenta la expresión o actividad de GAS6 (es decir, un agente de activación de GAS6).

La descripción presenta además una composición que tiene un agente que aumenta la expresión o actividad de GAS6. En un ejemplo, el agente mencionado anteriormente tiene GAS6 actividad. En otros casos, el agente es un anticuerpo (o una parte de unión a antígeno del mismo), un ácido nucleico, un polipéptido o un compuesto de molécula pequeña. En un ejemplo, el agente es un polipéptido que tiene la secuencia de GAS6.

Además, la descripción proporciona un kit para diagnosticar el potencial metastásico de cáncer en un sujeto. El kit incluye un primer reactivo que se une específicamente a un primer producto de expresión (por ejemplo, polipéptido o ARNm) de un primer gen seleccionado del grupo que consiste en IGFBP2, MERTK y PITPNC1. El kit puede incluir además un segundo reactivo que se une específicamente a un segundo producto de expresión de un segundo gen seleccionado del grupo que consiste en IGFBP2, IGF1, IGF1R, MERTK, PITPNC1, ABCB9, PSAT1, PYGB, SHMT2 y VIPR.

La invención presenta un método para la identificación de genes y ARN no codificantes que regulan la colonización por cáncer metastásico de cualquier tejido corporal. El método incluye una primera etapa de generar una población de células cancerosas de mamífero con un potencial aumentado de colonización tisular metastásica realizando tandas en serie de a) trasplante de una población de células cancerosas marcadas o no marcadas en cualquier tejido vivo del cuerpo y luego b) realización del aislamiento de dichas células cancerosas marcadas del tejido después de haberse producido la colonización metastásica y luego c) realización de un trasplante repetido de células cancerosas marcadas aisladas en tejido vivo del cuerpo. Al realizar tandas en serie de trasplante, aislamiento y trasplante repetido de células cancerosas marcadas tal como se describió anteriormente, se genera

una población de células cancerosas marcadas o no marcadas con alto potencial de colonización tisular metastásica. La segunda etapa del método incluye transducir, transfectar o introducir de otro modo una población de una o más moléculas de ARNhc en la población de células cancerosas con alto potencial de colonización tisular metastásica para generar una población de células cancerosas modificadas por ingeniería con alto potencial metastásico que expresan una o más moléculas de ARNhc que reducen la expresión de uno o más genes o ARN no codificantes. Esta población de células cancerosas modificadas por ingeniería con alto potencial metastásico que expresan una o más moléculas de ARNhc luego a) se trasplantan en cualquier tejido vivo y luego b) se aíslan del tejido vivo después de haberse producido la colonización metastásica. La presencia, ausencia o abundancia de uno o más de los ARNhc transfectados, transducidos o introducidos de otro modo en la población de células cancerosas modificadas por ingeniería tras el trasplante aisladas se evalúa luego mediante o bien análisis de microalineamientos, tecnología de secuenciación de ADN, tecnología de secuenciación masiva o bien clonación. La reducción de los niveles de cualquier ARNhc individual en la población de células aisladas con relación a su representación antes de la inyección indica que se requiere el gen diana de ARNhc para la colonización metastásica del tejido. El aumento de los niveles de cualquier ARNhc individual en la población de células aisladas con relación a su representación antes de la inyección indica que la diana de ARNhc antagoniza la colonización metastásica del tejido. La segunda etapa de este método también podría incluir transducir, transfectar o introducir de otro modo una población de una o más moléculas de iARN, microARN o ARN no codificantes. Adicionalmente, la segunda etapa también podría incluir transducir, transfectar o introducir de otro modo una población de uno o más secuencias que codifican para genes codificantes de proteínas. La población de células cancerosas modificadas por ingeniería con alto potencial metastásico que expresan uno o más genes codificantes de proteínas luego a) se trasplantan en cualquier tejido vivo y luego b) se aíslan del tejido vivo después de haberse producido la colonización metastásica. La presencia, ausencia o abundancia de uno o más de los genes codificantes transfectados, transducidos o introducidos de otro modo en la población de células cancerosas modificadas por ingeniería tras el trasplante aisladas se evalúa luego mediante o bien análisis de microalineamientos, tecnología de secuenciación de ADN, tecnología de secuenciación masiva o bien clonación. El aumento de los niveles de cualquier gen individual en la población de células aisladas con relación a su representación antes de la inyección indica que el gen representa un gen diana requerido para la colonización metastásica del tejido. La disminución de los niveles de cualquier gen individual en la población de células aisladas con relación a su representación antes de la inyección indica que el gen representa un gen diana que antagoniza la colonización metastásica del tejido.

30

35

10

15

20

25

También se proporciona en el presente documento un anticuerpo monoclonal (por ejemplo, un anticuerpo monoclonal humanizado o humano) o una parte de unión a antígeno del mismo que neutraliza la función de IGFBP2 inhibiendo la unión de IGFBP2 a IGF1. Este anticuerpo puede inhibir el reclutamiento endotelial por células cancerosas, tales como células de cáncer de mama metastásicas o inhibir la angiogénesis patológica. Este anticuerpo también puede inhibir la evolución tumoral o metástasis tumoral de células cancerosas, tales como de cáncer de mama humanas, *in vivo*. En un ejemplo, el anticuerpo monoclonal contiene una región variable de cadena pesada que comprende la secuencia de aminoácidos de SEQ ID NO: 9 y una región variable de cadena ligera que comprende la secuencia de aminoácidos de SEQ ID NO: 10 mostradas a continuación.

40 Se exponen los detalles de una o más realizaciones de la invención a continuación en la descripción. Otras características, objetos y ventajas de la invención resultarán evidentes a partir de la descripción y de las reivindicaciones.

Descripción de dibujos

45

50

55

60

65

Las figuras 1a-f son diagramas y fotografías que muestran que miR-126 endógeno suprime la colonización metastásica. a, obtención de imágenes de bioluminiscencia de metástasis en pulmón por células de cáncer de mama escasamente metastásicas tras la inhibición de miR-126. Se les inyectaron 4 X 10⁴ células MDA-MB-231 que expresan un miR-126 de selección como diana en horquilla corto (miR-Zip) o la horquilla de control por vía intravenosa a ratones NOD-SCID inmunodeficientes. Los ratones representativos mostrados corresponden al conjunto MDA-MB-231/miR-126KD (parte superior) y al conjunto MDA-MB-231/reordenadas (parte inferior) en el día 49. Se cuantificó la colonización pulmonar a través de la obtención de imágenes de bioluminiscencia. n=5; las barras de error representan el e.e.m.; valor de p basado en una prueba de la t de Student unilateral en el día 49. Se extirparon los pulmones en el día 49 y se tiñeron de manera inmunohistoquímica para vimentina humana (parte derecha). b, obtención de imágenes de bioluminiscencia de metástasis sistémica por células de cáncer de mama escasamente metastásicas con expresión de miR-126 inhibida. Se les inyectaron 4 X 10⁴ células MDA-MB-231 que expresan un miR-126 de selección como diana en horquilla corto o la horquilla de control a través de la vía intracardiaca a ratones desnudos atímicos. Los ratones representativos mostrados corresponden al conjunto MDA-MB-231/miR-126KD (parte superior) y al conjunto MDA-MB-231/reordenado (parte inferior) en el día 34. Se midió la colonización en cuerpo entero mediante bioluminiscencia y se cuantificó. n=4; las barras de error representan el e.e.m.; valor de p basado en una prueba de la t de Student unilateral en el día 34. c, se contó el número total de focos metastásicos en ratones a los que se les inyectó por vía intracardiaca células MDA-MB-231/miR-126KD y MDA-MB-231/reordenadas (parte superior). Se muestran imágenes representativas de nódulos metastásicos en hueso y cerebro (parte inferior). d, se les inyectaron 5 X 10⁵ células MDA-MB-231 que expresan un miR-126 de selección como diana en horquilla corto o la horquilla de control a los panículos adiposos mamarios de ratones inmunodeficientes. Se midieron los volúmenes tumorales a lo largo del tiempo. n=15; las barras de error indican el e.e.m.; valores de p basados en una prueba de la t de Student unilateral en el día 35. **e**, se tiñeron los pulmones extirpados de (a) para vimentina humana y se midió el tamaño de cada nódulo metastásico a través de análisis de imágenes usando ImageJ. **f**, se les inyectaron 4 X 10⁴ células Lm2 que expresan un casete de pre-miR-126 inducible por doxiciclina a través de la vena de la cola a ratones NOD-SCID en el día 0. En el día 3, se añadieron doxiciclina (2 mg/ml) y sacarosa (5 %) al agua para beber en un grupo de ratones y sólo sacarosa al 5 % en el otro. En el día 48, se extirparon los ratones y se tiñeron de manera inmunohistoquímica para vimentina humana (parte derecha). Se muestra el número total de nódulos en cada pulmón en la parte izquierda.

Las figuras 2a-2J son diagramas y fotografías que muestran que miR-126 endógeno suprimió de manera autónoma 10 no celular la angiogénesis metastásica por células de cáncer de mama metastásicas. a, se tiñeron doblemente de manera histológica secciones de pulmón de la figura 1a para vimentina humana y MECA-32 o b, para vimentina y se inyectó lectina por vía intravenosa. Se delimitó el borde de cada nódulo basándose en la tinción de vimentina y la tinción de lectina/MECA-32 en el interior del nódulo metastásico destacó en negro (paneles inferiores). Luego se determinó el área positiva para la tinción de lectina/MECA-32 dentro de cada nódulo usando el software ImageJ y se 15 presentó como el área cubierta por la tinción de lectina/MECA-32 por área del nódulo dado (% de densidad de vasos). La distribución del % de densidad de vasos entre las células miR-126 KD y el control de MDA-MB-231 inyectado se muestra en una representación gráfica de fracción acumulada. n=8/grupo (dando como resultado un total 18 nódulos metastásicos en el control, y 68 en las células miR-126 KD), valor de p basado en la prueba de Kolmogorov-Smirnov. **c**, se sembraron 5 X 10⁴ células LM2 que expresan miR-126 o una horquilla de control sobre una monocapa de HUVEC y se cuantificó la adhesión. Se obtuvieron imágenes de células que se habían adherido a 20 la monocapa de HUVEC y se analizaron usando el software ImageJ. n=4; las barras de error representan el e.e.m. d, se obtuvieron medios condicionados a partir de 5 X 10⁵ células LM2 que expresan miR-126 o una horquilla de control incubando las células con medios EGM-2 durante 24 h. Se sembraron 2,5 X 104 células HUVEC por triplicado, se hicieron crecer en los medios condicionados y se contaron las células viables a los 5 días tras la siembra. n=3; las barras de error representan el e.e.m. e, se mezclaron 2 X 10⁴ células HUVEC con 1 X 10⁴ células 25 LM2 que se transdujeron con miR-126 o una horquilla de control, y se sometió a ensayo la formación de tubos por las células HUVEC. Se obtuvieron imágenes de cada pocillo y se cuantificó el número de puntos de ramificación en cada imagen usando el software MetaMorph. n=3; las barras de error representan el e.e.m. La barra de escala representa 250 μm . f, se sembraron 2,5 \times 10 4 células MDA-MB-231 y células LM2 por cuadruplicado. Luego se 30 evaluó la migración en Transwell de 5 X 10⁴ células HUVEC hacia las células cancerosas contando el número de células que habían migrado al lado basal de los insertos Transwell en imágenes obtenidas usando ImageJ. n=4; las barras de error representan el e.e.m., se obtuvieron valores de p usando la prueba de la t de Student. g, se sometieron células LM2 que expresan miR-126 o la horquilla de control, así como células MDA-MB-231 que expresan un miR-126 de selección como diana en horquilla corto o la horquilla de control al ensayo de reclutamiento 35 de HUVEC. Se obtuvieron imágenes del lado basal de los insertos y se contaron las células usando el software ImageJ. n=4; las barras de error representan el e.e.m., se obtuvieron valores de p usando la prueba de la t de Student. Las imágenes representativas mostradas corresponden al conjunto LM2/miR-126OE o de control (parte superior) y al conjunto MDA-MB-231/miR-126KD o de control (parte inferior). La barra de escala representa 100 um. h, se sometieron células parentales CN34 y células CN34 LM1a al ensayo de reclutamiento de HUVEC. n=4; las barras de error representan el e.e.m., valores de p obtenidos usando la prueba de la t de Student. i, se sometieron células CN34 LM1a que expresan miR-126 o la horquilla de control, así como células parentales CN34 que expresan un miR-126 de selección como diana en horquilla corto o la horquilla de control, al ensayo de reclutamiento de HUVEC. n=4; las barras de error representan el e.e.m., valores de p obtenidos usando la prueba de la t de Student. Se muestran imágenes representativas. La barra de escala representa 100 μm. j, se mezclaron 5 X 10⁵ células Lm2 45 que sobreexpresan miR-126 o la horquilla de control, así como 5 X 105 células MDA-MB-231 que expresan un miR-126 de selección como diana en horquilla corto o la horquilla de control, 1:1 con Matrigel y se inyectaron en el panículo adiposo mamario. Se analizaron tumores de tamaño coincidente para determinar la densidad de vasos sanguíneos mediante tinción inmunohistoquímica para MECA-32. se tomaron 5 campos individuales para cada tumor y se facilita el porcentaje de cada campo cubierto por una tinción de MECA-32 seleccionada como umbral como el % de densidad de vasos. Se muestra la cuantificación en la parte superior y se muestran a continuación 50 imágenes representativas. n=4; las barras de error representan el e.e.m., valores de p obtenidos usando la prueba de la t de Student.

Las figuras 3a-3f son diagramas y fotografías que muestran la identificación sistemática de una red reguladora de miR-126 que media en el reclutamiento endotelial metastásico. a, El rasgo distintivo de metástasis de miR-126 se compone de genes sobreexpresados en células metastásicas, regulados por disminución por miR-126 OE, e inducidos por miR-126 KD. El mapa de calor representa niveles de expresión normalizados según la varianza basados en análisis de microalineamientos y de qPCR. El mapa de colores corresponde al cambio de desviaciones estándar con respecto a la media. b-d, curvas de Kaplan-Meier para la (b) cohorte de cáncer de mama UCSF (117 tumores), (c) cohorte NKI (295 tumores), y (d) la cohorte combinada NKI/MSK/UCSF (494 tumores) que representa la supervivencia libre de metástasis de aquellos pacientes cuyos cánceres primarios sobreexpresaron el rango distintivo de ocho genes de miR-126 (positivos) y los que no lo hicieron (negativos). Valores de p basados en la prueba de rangos logarítmicos de Mantel-Cox. e, Ensayos de indicador de luciferasa de genes de metástasis de miR-126 en células MDA-MB-231 que expresan un miR-126 de selección como diana en horquilla corto o la horquilla KD de control. Se transfectaron constructos de indicador que contenían el gen de luciferasa en el sentido de 5' de las secuencias de 3'UTR o codificantes (CDS) de cada gen regulado por miR-126 en las diversas líneas celulares y

se sometió a ensayo la actividad luciferasa a las 30 horas tras la transfección. n=4; las barras de error representan el e.e.m.; se obtuvieron valores de p usando la prueba de la t de Student. f, se mutaron las regiones complementarias de miR-126 de los constructos 3'UTR/CDS y se repitió el ensayo de indicador de luciferasa con estos constructos en células MDA-MB-231 que expresan un miR-126 de selección como diana en horquilla corto o la horquilla de control (parte derecha). n=4; las barras de error representan el e.e.m.; se obtuvieron valores de p usando la prueba de la t de Student.

Las figuras 4a-4e son un conjunto de diagramas y fotografías que muestran que la angiogénesis y colonización metastásica fomentada por IGFBP2, PITPNC1 y MERTK. a, se sembraron 2,5 X 104 células LM2 que expresan horquillas que seleccionan como diana IGFBP2, MERTK, PITPNC1, SHMT2 o la horquilla de control por cuadruplicado. Luego se evaluó la migración en Trans-well de 5 X 10⁴ células HUVEC hacia las células cancerosas. Se obtuvieron imágenes de las células que migraron a través de los insertos Transwell y se analizaron usando el software ImageJ. n=4; las barras de error representan el e.e.m., valores de p obtenidos usando a la prueba de la t de Student. Se muestran imágenes representativas. La barra de escala representa 100 u. b. se cuantificaron los niveles de expresión relativos de IGFBP2, MERTK o PITPNC1 en muestras de tumor de mama humano de pacientes en estadio I/II (n=53) en comparación con el estadio III (n=29) o el estadio IV (n=9) a partir de los microalineamientos de cáncer de mama OriGene TissueScan usando qPCR. Las barras de error representan el e.e.m., valores de p obtenidos usando la prueba de la t de Student. c-e, obtención de imágenes de bioluminiscencia de metástasis en pulmón por células de cáncer de mama metastásicas en pulmón con expresión inhibida de los diversos genes regulados por miR-126. Se les inyectaron 4 X 10⁴ células LM2 que expresan la horquilla de control u horquillas cortas independientes que seleccionan como diana IGFBP2 (c), Se les inyectaron PITPNC1 (d) y MERTK (e) por vía intravenosa a ratones NOD-SCID inmunodeficientes. Se midió la colonización en pulmón mediante obtención de imágenes de bioluminiscencia y se cuantificó. n=5; las barras de error representan el e.e.m.; valor de p basado en una prueba de la t de Student unilateral.

25

35

45

50

60

65

10

15

20

Las figuras 5a-5g son diagramas y fotografías que muestran que IGFBP2 medió en el reclutamiento endotelial activando la señalización de IGF1/IGF1R en células endoteliales. a, se cuantificaron mediante ELISA los niveles de IGFBP2 en medios condicionados a partir de los ensayos de reclutamiento de HUVEC usando células MDA-MB-231 y células LM2 (figura 2f). n=4; las barras de error representan el e.e.m., valores de p obtenidos usando la prueba de la t de Student. b, se sembraron 2,5 X 10⁴ células MDA-MB-231 que expresan un miR-126 de selección como diana en horquilla corto o la horquilla de control, así como células LM2 que expresan miR-126 o la horquilla de control, por cuadruplicado. Luego se evaluó el reclutamiento en Trans-well de 5 X 10⁴ células HUVEC en presencia de Ac contra IGFBP2 50 ng/ml o Ac contra IgG 50 ng/ml hacia las células cancerosas. Se obtuvieron imágenes del lado basal de los insertos Transwell y se cuantificó el número de células que habían migrado usando ImageJ. n=4; las barras de error representan el e.e.m., valores de p obtenidos usando la prueba de la t de Student. La barra de escala representa 100 μm. c, se sembraron 2,5 X 10⁴ células CN34 Par que expresan un miR-126 de selección como diana en horquilla corto o la horquilla de control, así como células CN34 Lmla que expresan miR-126 o la horquilla de control, por cuadruplicado. Luego se evaluó la migración en Trans-well de 5 X 10⁴ células HUVEC en presencia de Ac contra IGFBP2 50 ng/ml o Ac contra IgG 50 ng/ml hacia las células cancerosas. n=4; las barras de error representan el e.e.m., valores de p obtenidos usando la prueba de la t de Student. d, e, se sometió a ensayo el reclutamiento en Trans-well de células HUVEC incubadas con Ac de bloqueo de IGF-1 20 μg/ml (d), Ac de bloqueo de IGF-2 20 μg/ml (d), Ac de bloqueo de IGF1R 20 μg/ml (e), Ac de bloqueo de IGF2R 5 μg/ml (e) o IgG de control (d, e) hacia células MDA-MB-231 que expresan un miR-126 de selección como diana en horquilla corto o la horquilla de control. n=4; las barras de error representan el e.e.m., valores de p obtenidos usando la prueba de la t de Student. f, se pretrataron células HUVEC y cancerosas con Ac de bloqueo de IGF1R 20 μg/ml o Ac contra IgG de control durante 1 hora antes de evaluarse el reclutamiento en Transwell de células HUVEC hacia células cancerosas. n=4; las barras de error representan el e.e.m., valores de p obtenidos usando la prueba de la t de Student g, se simuló un gradiente de IGFBP2 mezclando las cantidades dadas de proteína IGFBP2 recombinante con Matrigel (1:1) en el fondo de un pocillo. Luego se evaluó la quimiotaxia de 1,5 X 10⁵ células HUVEC a lo largo del gradiente de IGFBP2 contando el número de células que habían migrado al lado basal de insertos Trans-well después de 20 h usando el software ImageJ. n=4; las barras de error representan el e.e.m., valores de p obtenidos usando la prueba de la t de Student.

Las figuras 6a-6e son diagramas y fotografías que muestran que MERTK medió en el reclutamiento a través de 55 GAS6. a, se cuantificaron los niveles de IGFBP2 en medios condicionados a partir de Lm2 células que expresan la horquilla de control o 2 horquillas independientes contra PITPNC1 tal como se determina mediante ELISA. b., se sembraron 2,5 X 10⁴ células MDA-MB-231 que expresan una horquilla de control o una horquilla que selecciona como diana miR-126 por cuadruplicado. Luego se evaluó la migración en Trans-well de 5 X 10⁴ células HUVEC hacia las células cancerosas en presencia de GAS6 1 ng/ml y/o MerFc 10 µg/ml contando el número de células que habían migrado al lado basal de insertos porosos en imágenes obtenidas usando ImageJ. n=4; las barras de error representan el e.e.m., se obtuvieron valores de p usando la prueba de la t de Student. c, simuló un gradiente de IGFBP2 en presencia de Gas6 y MERTK secretado mezclando proteína rhIGFBP2 (520 ng), Gas6 (5 ng) y MerFc (10 ug) con Matrigel (1:1) en el fondo de un pocillo. Luego se evaluó la quimiotaxia de 1,5 X 105 células HUVEC a lo largo del gradiente contando el número de células que habían migrado al lado basal de insertos Trans-well después de 20 h usando el software ImageJ. n=4; las barras de error representan el e.e.m., valores de p obtenidos usando la prueba de la t de Student. **d**, Se tiñeron doblemente secciones de pulmón para vimentina y MECA-32. Se trazó el borde de cada nódulo basándose en la tinción de vimentina humana y la tinción de MECA-32 en el interior del nódulo metastásico destacado en negro (paneles inferiores). Luego se determinó el área positiva para la tinción de MECA-32 dentro de cada nódulo usando ImageJ y se presentó como el área cubierta por la tinción de MECA-32 por área del nódulo dado (% de densidad de vasos). La distribución de % de densidad de vasos entre las células LM2 inyectadas que expresan horquillas que seleccionan como diana IGFBP2, PITPNC1, MERTK o una horquilla de control se muestra en una representación gráfica de fracción acumulada. n=4, valor de p basado en la prueba de Kolmogorov-Smirnov. **e**, esquema de la regulación por miR-126 de reclutamiento endotelial y colonización metastásica a través de interacción con IGFBP2, PTTPNC1 y MERTK.

10

15

35

40

45

50

La figura 7 es un diagrama que muestra que el sistema de miARN-ARNhc antisentido miR-Zip inhibió de manera estable la expresión de miR-126 en células MDA-MB-231. Se transdujeron células MDA-MB-231 con lentivirus que expresan o bien un constructo de miR-Zip que selecciona como diana miR-126 o una versión reordenada del constructo que no selecciona como diana ningún microARN conocido (SYSTEM BIOSCIENCES, Mountain View, CA). Luego se sometieron a prueba los niveles de expresión de miR-126 maduro usando qPCR.

La figura 8 es un conjunto de fotografías y un diagrama que muestran que miR-126 expresado en células de cáncer de mama regula la perfusión en nódulos metastásicos. Se les inyectaron 4 X 10⁴ células MDA-MB-231 que expresan un miR-126 de selección como diana en horquilla corto o la horquilla de control por vía intravenosa a ratones NOD-SCID inmunodeficientes. En el día 59, se le inyectó por vía intravenosa una disolución de dextrano de bajo peso molecular (MW de 10.000) marcado con FITC. Se permitió que circulasen las moléculas de dextrano durante 15 min antes de sacrificarse los ratones y extirparse los pulmones. Se prepararon secciones congeladas y se tiñeron para vimentina humana con el fin de localizar nódulos metastásicos, y se cuantificó la señal de FITC en el interior de los nódulos con un umbral constante usando ImageJ. n=5; las barras de error representan el e.e.m., valores de p obtenidos usando la prueba de la t de Student.

Las figuras 9a-9b son un conjunto de diagramas que muestran que miR-126 endógeno no suprimió la adhesión, proliferación o formación de tubos endoteliales. **a**, se sembraron 5 X 10⁴ MDA células que expresan miR-126 KD o un vector KD de control sobre una monocapa de HUVEC y se evaluó la adhesión. Se obtuvieron imágenes de células que se habían adherido a la monocapa de HUVEC y se analizaron usando el software ImageJ. n=4; las barras de error representan el e.e.m. **b**, se obtuvieron medios condicionados a partir de 5 X 10⁵ células MDA miR-126 KD o MDA control KD incubando las células con medios EGM-2 durante 24 h. Se sembraron 2,5 X 10⁴ células HUVEC por triplicado, se hicieron crecer en los medios condicionados y se contaron las células viables a los 5 días después de la siembra. n=3; las barras de error representan el e.e.m. **c**, se mezclaron 2 X 104 células HUVEC con 1 X 10⁴ MDA miR-126 KD o MDA control KD células, y se sometió a ensayo la formación de tubos por células HUVEC. Se obtuvieron imágenes de cada pocillo y se analizó el número de puntos de ramificación en cada imagen usando el software MetaMorph. n=3; las barras de error representan el e.e.m.

Las figuras 10a-10c son un conjunto de diagramas y diagramas que muestran que miR-126 endógeno reguló la angiogénesis, pero no el reclutamiento de linfocitos positivos para CD45 y de macrófagos positivos para Mac-2. a-c, se mezclaron 5 X 10⁵ células MDA que expresan la horquilla de control o una horquilla que selecciona como diana miR-126 en una razón 1:1 con Matrigel y se inyectaron en el panículo adiposo mamario. 5 min antes del sacrificio, se inyectó lectina biotinilada en la vena de la cola. Se extirparon tumores de tamaño coincidente y se detectaron vasos sanguíneos funcionales mediante tinción de la lectina inyectada (a), se detectaron linfocitos CD45+ mediante el anticuerpo anti-CD45 (b) y se detectaron macrófagos Mac-2+ mediante el anticuerpo anti-Mac-2 (c).

La figura 11 es un diagrama de Venn que muestra la ruta experimental integradora que dio como resultado la identificación de supuestos genes diana de miR-126. Se solaparon perfiles de transcriptomas de genes regulados por disminución en más de 1,6 veces tras la sobreexpresión de miR-126 con genes regulados por incremento en más de 1,4 veces en células LM2 metastásicas en comparación con las células MDA parentales. Esto condujo a la identificación de 23 posibles genes diana de miR-126. Mediante qPCR, 8 de estos 23 genes se vieron modulados por miR-126 tanto en la línea celular de cáncer de mama MDA-MB-231 como en la línea celular primaria CN34. Se sometieron estos 8 genes a pruebas funcionales para determinar la regulación directa por miR-126 a través de ensayos de indicador de luciferasa.

55

60

Las figuras 12a-12b son diagramas que muestran que miR-126 reguló IGFBP2 y MERTK a través de interacciones de 3'UTR y PITPNC1 y SHMT2 a través de interacciones de CDS. a, b, ensayos de indicador de luciferasa del conjunto de genes de metástasis de miR-126 en células MDA-MB-231 que expresan un miR-126 de selección como diana en horquilla corto así como la horquilla KD de control. Se transfectaron constructos de indicador que contenían el gen de luciferasa en el sentido de 5' de 3'UTR (a) o CDS (b) de ABCB9, IGFBP2, MERTK, PITPNC1, PSAT1, PYBG, SHMT2 y VIPR1 en las diversas líneas celulares y se sometió a ensayo la actividad luciferasa a las 30 horas tras la transfección. n=4; las barras de error representan el e.e.m.; se obtuvieron valores de p usando la prueba de la t de Student.

Las figuras 13a-13d son un conjunto de diagramas que muestran que horquillas independientes regularon por disminución los niveles de expresión de IGFBP2, PITPNC1 y MERTK en células LM2. Se transdujeron células LM2

ES 2 763 087 T3

con lentivirus que expresan una horquilla de control o un constructo de horquilla corta que selecciona como diana IGFBP2, PITPNC1 o MERTK. Se analizaron los niveles de expresión de los genes diana a través de qPCR.

- La figura 14 es un diagrama que muestra el análisis de proliferación de genes diana de miR-126. Se sembraron 2,5 X 10⁴ células LM2 que expresan una horquilla de control u horquillas cortas que seleccionan como diana IGFBP2, PITPNC1 o MERTK por triplicado y se contaron las células viables a los 5 días después de la siembra. n=3; las barras de error representan el e.e.m.
- La figura 15 es un diagrama que muestra que IGFBP2 fomentó la migración de HUVEC. Se estimularon células HUVEC con las cantidades dadas de proteína IGFBP2 humana recombinante y Ac anti-IGF1R (10 μg/ml) durante 40 min, se tripsinizaron y se sembraron 5 X 10⁴ células en un inserto Transwell poroso. Se permitió que las células migrasen durante 24 horas antes de cuantificarse el número de células que migraron a través de la membrana. n=6; las barras de error representan el e.e.m.; se obtuvieron valores de p usando la prueba de la t de Student.
- 15 La figura 16 es una fotografía del análisis de inmunotransferencia de tipo Western de MERTK en lisado celular de MDA-MB-231 y medios condicionados, que muestra que se escindió el ectodominio de MERTK y se secretó por células MDA-MB-231.
- La figura 17 es un conjunto de fotografías y diagramas que muestran que GFBP2, PITPNC1 y MERTK fomentaron la angiogénesis metastásica. Se tiñeron doblemente de manera histológica secciones de pulmón para vimentina humana y se inyectó lectina por vía intravenosa. Se delimitaron los bordes de nódulo basándose en la tinción de vimentina y la tinción de lectina en el interior de los nódulos metastásicos. Se usó ImageJ para determinar el área positiva para la tinción de lectina dentro de cada nódulo. % de densidad de vasos representa el área cubierta por la tinción de lectina por área de un nódulo dado. La distribución de % de densidad de vasos entre las células LM2 inyectadas que expresan la horquilla de control u horquillas cortas que seleccionan como diana IGFBP2, PITPNC1 o MERTK se muestra en una representación gráfica de fracción acumulada. n=5. Valor de p basado en la prueba de Kolmogorov-Smirnov.
- La figura 18 es un diagrama que muestra que la expresión de miR-126 endógeno en células HUVEC no suprimió el reclutamiento de otras células HUVEC. Se transfectaron un antagomiR que selecciona como diana miR-126 o un antagomiR de control en células HUVEC antes de someterse al ensayo de reclutamiento de HUVEC. Se obtuvieron imágenes del lado basal de los insertos y se contaron las células usando el software ImageJ. n=4; las barras de error representan el e.e.m.
- La figura 19 es un diagrama que muestra la expresión de posibles dianas de miR-126 en células HUVEC con niveles de miR-126 suprimidos. Se transfectaron un antagomiR que selecciona como diana miR-126 o un antagomiR de control en células HUVEC y se cuantificó la expresión relativa de posibles dianas en células transfectadas usando qPCR. Las barras de error representan el e.e.m., valores de p obtenidos usando la prueba de la t de Student.
- 40 La figura 20 es un conjunto de diagramas que muestran datos de ensayos ELISA de captura de anticuerpo usados para caracterizar las propiedades de unión de anticuerpos neutralizantes de IGFBP2. La figura muestra que el sobrenadante de una de las bibliotecas de hibridomas (wo6663-1) generadas a partir de animales inoculados con péptido total de IGFBP2 recombinante, contiene anticuerpos que se unen a IGFBP2 con alta afinidad.
- La figura 21 es un conjunto de diagramas que muestran datos de ensayos ELISA de captura de anticuerpo usados para caracterizar las propiedades de unión de anticuerpos neutralizantes de IGFBP2. La figura muestra que el sobrenadante del hibridoma wo6663-1 contiene anticuerpos que se unen a IGFBP2 para neutralizar la unión de IGF1 a IGFBP2. Obsérvese también que los anticuerpos procedentes del hibridoma wo6663-1 se unen específicamente a IGFBP2, y no se unen a otros miembros de la familia de IGFBP (IGFBP3, IGFBP4).

50

- La figura 22 es un conjunto de diagramas que muestran datos de ensayos ELISA de captura de anticuerpo usados para caracterizar las propiedades de unión de anticuerpos neutralizantes de IGFBP2 monoclonales recuperados a partir de clones de hibridomas individuales aislados de la biblioteca de hibridomas wo6663-1. Varios de los anticuerpos monoclonales neutralizantes de IGFBP2, incluyendo M1, M4, M6, M9, M13, M14, M15 y M16, pudieron unirse a IGFBP2 con alta afinidad y neutralizar su unión a IGF1.
- La figura 23 es un diagrama que muestra que una composición que contiene concentraciones fisiológicas del anticuerpo monoclonal M14 puede inhibir el reclutamiento endotelial por células de cáncer de mama metastásicas. Como en los experimentos descritos anteriormente, se usó un ensayo de migración en Trans-well para cuantificar el reclutamiento endotelial por células metastásicas. Se pusieron células de cáncer de mama humanas LM2 altamente metastásicas en la parte inferior de una cámara de Boyden, en la que pudo someterse a ensayo su capacidad para reclutar HUVECS a través de un inserto Trans-well poroso. La adición de una pequeña concentración fisiológica de M14 al Transwell pudo inhibir significativamente el reclutamiento y la migración (células migradas por campo) de células HUVEC (reducción del 50 % de las células migradas) frente a los controles negativos (anticuerpos contra IgG y M5). Las barras de error representan el e.e.m.

La figura 24 es un diagrama que muestra que una composición que contiene concentraciones fisiológicas del anticuerpo monoclonal M14 puede inhibir la evolución tumoral de cáncer de mama *in vivo* en un modelo de ratón. Obtención de imágenes de bioluminiscencia del crecimiento de tumor de mama por 2000 células de cáncer de mama humanas MDA-MB-231 en animales tratados con o bien PBS o bien anticuerpo monoclonal M14. En el día 14, se inhibió significativamente la evolución tumoral mediante el tratamiento con M14 (reducción de 7 a 11 veces de la evolución tumoral) en comparación con los ratones tratados con PBS. Se normaliza la señal con respecto a la señal del día 0. La significación se basa una prueba de la t de Student bilateral.

Descripción detallada de la invención

10

25

La invención descrita proporciona reactivos y métodos para tratar trastornos caracterizados por angiogénesis patológica, tales como metástasis.

Tal como se da a conocer en el presente documento, un análisis sistemático y la atención centrada en la metástasis y angiogénesis metastásica condujo a la identificación de varias moléculas, incluyendo IGFBP2 secretado, la transferasa PITPNC1, la cinasa MERTK y miR-126, como dianas para la inhibición terapéutica con el potencial para tratar cáncer metastásico. Una ruta recién descubierta coordina los genes proangiogénicos de IGFBP2, PITPNC1 y MERTK que se correlacionan en la expresión con metástasis humana. Estos genes representan reguladores de la angiogénesis y el reclutamiento endotelial metastásicos. Por ejemplo, IGFBP2, una proteína secretada por células metastásicas, recluta endotelios modulando la actividad mediada por IGF1 del receptor de tipo I de IGF en células endoteliales.

El reclutamiento endotelial es un proceso en el que se movilizan células endoteliales o sus células progenitoras y el anidamiento (*homing*) en un sitio o una región en un sujeto para generar nuevos vasos sanguíneos o la remodelación de vasos sanguíneos preexistentes, es decir, angiogénesis. La inhibición de este proceso a través de la nueva ruta mencionada anteriormente puede usarse para inhibir la angiogénesis patológica, y tratar de ese modo trastornos caracterizados por angiogénesis patológica, tales como metástasis.

Para el inhibir reclutamiento endotelial y la angiogénesis resultante en un sujeto que lo necesita, puede administrarse al sujeto un agente que inhibe la expresión o actividad de una proteína seleccionada de IGFBP2, IGF1, IGF1R, MERTK, PITPNC1, ABCB9, PSAT1, PYGB, SHMT2 y VIPR. Se enumeran a continuación las secuencias de aminoácidos de estas proteínas. El agente puede ser un ácido nucleico, un polipéptido, un anticuerpo o un compuesto de molécula pequeña.

35 <u>IGFBP2</u>

MLPRVGCPALPLPPPPLLPLLPLLLLLGASGGGGGARAEVLFRCPPCTPERLAACGPPP VAPPAAVAAVAGGARMPCAELVREPGCGCCSVCARLEGEACGVYTPRCGQGLRCYPHPGS ELPLQALVMGEGTCEKRRDAEYGASPEQVADNGDDHSEGGLVENHVDSTMNMLGGGGSAG RKPLKSGMKELAVFREKVTEQHRQMGKGGKHHLGLEEPKKLRPPPARTPCQQELDQVLER ISTMRLPDERGPLEHLYSLHIPNCDKHGLYNLKQCKMSLNGQRGECWCVNPNTGKLIQGA PTIRGDPECHLFYNEQQEARGVHTQRMQ

40 IGF1 (isoforma 1)

 $\label{thm:mgkisslptqlfkccfcdflkvkmhtmssshlfylalclltftssatagpetlcgaelvd \\ \texttt{ALQFVCGDRGFYFNKPTGYGSSSRRAPQTGIVDECCFRSCDLRRLEMYCAPLKPAKSARS} \\ \texttt{VRAQRHTDMPKTQKYQPPSTNKNTKSQRRKGSTFEERK}$

IGF1 (isoforma 2)

45

 ${\tt MITPTVKMHTMSSSHLFYLALCLLTFTSSATAGPETLCGAELVDALQFVCGDRGFYFNKPTGYGSSSRRAPQTGIVDECCFRSCDLRRLEMYCAPLKPAKSARSVRAQRHTDMPKTQKEVHLKNASRGSAGNKNYRM$

IGF1 (isoforma 3)

MGKISSLPTQLFKCCFCDFLKVKMHTMSSSHLFYLALCLLTFTSSATAGPETLCGAELVD ALQFVCGDRGFYFNKPTGYGSSSRRAPQTGIVDECCFRSCDLRRLEMYCAPLKPAKSARS VRAQRHTDMPKTQKYQPPSTNKNTKSQRRKGWPKTHPGGEQKEGTEASLQIRGKKKEQRR EIGSRNAECRGKKGK

IGF1 (isoforma 4)

MGKISSLPTQLFKCCFCDFLKVKMHTMSSSHLFYLALCLLTFTSSATAGPETLCGAELVD ALQFVCGDRGFYFNKPTGYGSSSRRAPQTGIVDECCFRSCDLRRLEMYCAPLKPAKSARS VRAQRHTDMPKTQKEVHLKNASRGSAGNKNYRM

5 IGF1R

MKSGSGGGSPTSLWGLLFLSAALSLWPTSGEICGPGIDIRNDYQQLKRLENCTVIEGYLH ILLISKAEDYRSYRFPKLTVITEYLLLFRVAGLESLGDLFPNLTVIRGWKLFYNYALVIF EMTNLKDIGLYNLRNITRGAIRIEKNADLCYLSTVDWSLILDAVSNNYIVGNKPPKECGD LCPGTMEEKPMCEKTTINNEYNYRCWTTNRCQKMCPSTCGKRACTENNECCHPECLGSCS APDNDTACVACRHYYYAGVCVPACPPNTYRFEGWRCVDRDFCANILSAESSDSEGFVIHD GECMQECPSGFIRNGSQSMYCIPCEGPCPKVCEEEKKTKTIDSVTSAQMLQGCTIFKGNL LINIRRGNNIASELENFMGLIEVVTGYVKIRHSHALVSLSFLKNLRLILGEEQLEGNYSF YVLDNONLOOLWDWDHRNLTIKAGKMYFAFNPKLCVSEIYRMEEVTGTKGROSKGDINTR NNGERASCESDVLHFTSTTTSKNRIIITWHRYRPPDYRDLISFTVYYKEAPFKNVTEYDG ODACGSNSWNMVDVDLPPNKDVEPGILLHGLKPWTOYAVYVKAVTLTMVENDHIRGAKSE ILYIRTNASVPSIPLDVLSASNSSSQLIVKWNPPSLPNGNLSYYIVRWQRQPQDGYLYRH NYCSKDKIPIRKYADGTIDIEEVTENPKTEVCGGEKGPCCACPKTEAEKOAEKEEAEYRK VFENFLHNSIFVPRPERKRRDVMOVANTTMSSRSRNTTAADTYNITDPEELETEYPFFES RVDNKERTVISNLRPFTLYRIDIHSCNHEAEKLGCSASNFVFARTMPAEGADDIPGPVTW EPRPENSIFLKWPEPENPNGLILMYEIKYGSQVEDQRECVSRQEYRKYGGAKLNRLNPGN YTARIQATSLSGNGSWTDPVFFYVQAKTGYENFIHLIIALPVAVLLIVGGLVIMLYVFHR KRNNSRLGNGVLYASVNPEYFSAADVYVPDEWEVAREKITMSRELGQGSFGMVYEGVAKG VVKDEPETRVAIKTVNEAASMRERIEFLNEASVMKEFNCHHVVRLLGVVSQGQPTLVIME LMTRGDLKSYLRSLRPEMENNPVLAPPSLSKMIQMAGEIADGMAYLNANKFVHRDLAARN CMVAEDFTVKIGDFGMTRDIYETDYYRKGGKGLLPVRWMSPESLKDGVFTTYSDVWSFGV VLWEIATLAEQPYQGLSNEQVLRFVMEGGLLDKPDNCPDMLFELMRMCWQYNPKMRPSFL EIISSIKEEMEPGFREVSFYYSEENKLPEPEELDLEPENMESVPLDPSASSSSLPLPDRH SGHKAENGPGPGVLVLRASFDERQPYAHMNGGRKNERALPLPQSSTC

MERTK

10

MGPAPLPLLLGLFLPALWRRAITEAREEAKPYPLFPGPFPGSLQTDHTPLLSLPHASGYQ PALMFSPTQPGRPHTGNVAIPQVTSVESKPLPPLAFKHTVGHIILSEHKGVKFNCSISVP NIYQDTTISWWKDGKELLGAHHAITQFYPDDEVTAIIASFSITSVQRSDNGSYICKMKIN NEEIVSDPIYIEVQGLPHFTKQPESMNVTRNTAFNLTCQAVGPPEPVNIFWVQNSSRVNE QPEKSPSVLTVPGLTEMAVFSCEAHNDKGLTVSKGVQINIKAIPSPPTEVSIRNSTAHSI

LISWVPGFDGYSPFRNCSIQVKEADPLSNGSVMIFNTSALPHLYQIKQLQALANYSIGVS CMNEIGWSAVSPWILASTTEGAPSVAPLNVTVFLNESSDNVDIRWMKPPTKQQDGELVGY RISHVWQSAGISKELLEEVGQNGSRARISVQVHNATCTVRIAAVTRGGVGPFSDPVKIFI PAHGWVDYAPSSTPAPGNADPVLIIFGCFCGFILIGLILYISLAIRKRVQETKFGNAFTE EDSELVVNYIAKKSFCRRAIELTLHSLGVSEELQNKLEDVVIDRNLLILGKILGEGEFGS VMEGNLKQEDGTSLKVAVKTMKLDNSSQREIEEFLSEAACMKDFSHPNVIRLLGVCIEMS SQGIPKPMVILPFMKYGDLHTYLLYSRLETGPKHIPLQTLLKFMVDIALGMEYLSNRNFL HRDLAARNCMLRDDMTVCVADFGLSKKIYSGDYYRQGRIAKMPVKWIAIESLADRVYTSK SDVWAFGVTMWEIATRGMTPYPGVQNHEMYDYLLHGHRLKQPEDCLDELYEIMYSCWRTD PLDRPTFSVLRLQLEKLLESLPDVRNQADVIYVNTQLLESSEGLAQGSTLAPLDLNIDPD SIIASCTPRAAISVVTAEVHDSKPHEGRYILNGGSEEWEDLTSAPSAAVTAEKNSVLPGE RLVRNGVSWSHSSMLPLGSSLPDELLFADDSSEGSEVLM

PTTPNC1 (isoforma a)

15

MLLKEYRICMPLTVDEYKIGQLYMISKHSHEQSDRGEGVEVVQNEPFEDPHHGNGQFTEK RVYLNSKLPSWARAVVPKIFYVTEKAWNYYPYTITEYTCSFLPKFSIHIETKYEDNKGSN DTIFDNEAKDVEREVCFIDIACDEIPERYYKESEDPKHFKSEKTGRGQLREGWRDSHQPI MCSYKLVTVKFEVWGLQTRVEQFVHKVVRDILLIGHRQAFAWVDEWYDMTMDEVREFERA TQEATNKKIGIFPPAISISSIPLLPSSVRSAPSSAPSTPLSTDAPEFLSVPKDRPRKKSA PETLTLPDPEKKATLNLPGMHSSDKPCRPKSE

PITPNC1 (isoforma b)

MLLKEYRICMPLTVDEYKIGQLYMISKHSHEQSDRGEGVEVVQNEPFEDPHHGNGQFTEK RVYLNSKLPSWARAVVPKIFYVTEKAWNYYPYTITEYTCSFLPKFSIHIETKYEDNKGSN DTIFDNEAKDVEREVCFIDIACDEIPERYYKESEDPKHFKSEKTGRGQLREGWRDSHQPI MCSYKLVTVKFEVWGLQTRVEQFVHKVVRDILLIGHRQAFAWVDEWYDMTMDDVREYEKN MHEQTNIKVCNQHSSPVDDIESHAQTST

5 ABCB9

MRLWKAVVVTLAFMSVDICVTTAIYVFSHLDRSLLEDIRHFNIFDSVLDLWAACLYRSCL
LLGATIGVAKNSALGPRRLRASWLVITLVCLFVGIYAMVKLLLFSEVRRPIRDPWFWALF
VWTYISLGASFLLWWLLSTVRPGTQALEPGAATEAEGFPGSGRPPPEQASGATLQKLLSY
TKPDVAFLVAASFFLIVAALGETFLPYYTGRAIDGIVIQKSMDQFSTAVVIVCLLAIGSS
FAAGIRGGIFTLIFARLNIRLRNCLFRSLVSQETSFFDENRTGDLISRLTSDTTMVSDLV
SQNINVFLRNTVKVTGVVVFMFSLSWQLSLVTFMGFPIIMMVSNIYGKYYKRLSKEVQNA
LARASNTAEETISAMKTVRSFANEEEEAEVYLRKLQQVYKLNRKEAAAYMYYVWGSGLTL
LVVQVSILYYGGHLVISGQMTSGNLIAFIIYEFVLGDCMESVGSVYSGLMQGVGAAEKVF
EFIDRQPTMVHDGSLAPDHLEGRVDFENVTFTYRTRPHTQVLQNVSFSLSPGKVTALVGP
SGSGKSSCVNILENFYPLEGGRVLLDGKPISAYDHKYLHRVISLVSQEPVLFARSITDNI
SYGLPTVPFEMVVEAAQKANAHGFIMELQDGYSTETGEKGAQLSGGQKQRVAMARALVRN
PPVLILDEATSALDAESEYLIQQAIHGNLQKHTVLIIAHRLSTVEHAHLIVVLDKGRVVQ
QGTHQQLLAQGGLYAKLVQRQMLGLQPAADFTAGHNEPVANGSHKA

PSAT1 (isoforma 1)

10

15

MDAPRQVVNFGPGPAKLPHSVLLEIQKELLDYKGVGISVLEMSHRSSDFAKIINNTENLV RELLAVPDNYKVIFLQGGGCGQFSAVPLNLIGLKAGRCADYVVTGAWSAKAAEEAKKFGT INIVHPKLGSYTKIPDPSTWNLNPDASYVYYCANETVHGVEFDFIPDVKGAVLVCDMSSN FLSKPVDVSKFGVIFAGAQKNVGSAGVTVVIVRDDLLGFALRECPSVLEYKVQAGNSSLY NTPPCFSIYVMGLVLEWIKNNGGAAAMEKLSSIKSQTIYEIIDNSQGFYVCPVEPQNRSK MNIPFRIGNAKGDDALEKRFLDKALELNMLSLKGHRSVGGIRASLYNAVTIEDVQKLAAF MKKFLEMHQL

PSAT1 (isoforma 2)

MDAPRQVVNFGPGPAKLPHSVLLEIQKELLDYKGVGISVLEMSHRSSDFAKIINNTENLV RELLAVPDNYKVIFLQGGGCGQFSAVPLNLIGLKAGRCADYVVTGAWSAKAAEEAKKFGT INIVHPKLGSYTKIPDPSTWNLNPDASYVYYCANETVHGVEFDFIPDVKGAVLVCDMSSN FLSKPVDVSKFGVIFAGAQKNVGSAGVTVVIVRDDLLGFALRECPSVLEYKVQAGNSSLY NTPPCFSIYVMGLVLEWIKNNGGAAAMEKLSSIKSQTIYEIIDNSQGFYVSVGGIRASLY NAVTIEDVQKLAAFMKKFLEMHQL

PYGB

MAKPLTDSEKRKQISVRGLAGLGDVAEVRKSFNRHLHFTLVKDRNVATPRDYFFALAHTV RDHLVGRWIRTQQHYYERDPKRIYYLSLEFYMGRTLQNTMVNLGLQNACDEAIYQLGLDL EELEEIEEDAGLGNGGLGRLAACFLDSMATLGLAAYGYGIRYEFGIFNQKIVNGWQVEEA DDWLRYGNPWEKARPEYMLPVHFYGRVEHTPDGVKWLDTQVVLAMPYDTPVPGYKNNTVN TMRLWSAKAPNDFKLQDFNVGDYIEAVLDRNLAENISRVLYPNDNFFEGKELRLKQEYFV VAATLQDIIRRFKSSKFGCRDPVRTCFETFPDKVAIQLNDTHPALSIPELMRILVDVEKV DWDKAWEITKKTCAYTNHTVLPEALERWPVSMFEKLLPRHLEIIYAINQRHLDHVAALFP GDVDRLRRMSVIEEGDCKRINMAHLCVIGSHAVNGVARIHSEIVKQSVFKDFYELEPEKF QNKTNGITPRRWLLLCNPGLADTIVEKIGEEFLTDLSQLKKLLPLVSDEVFIRDVAKVKQ ENKLKFSAFLEKEYKVKINPSSMFDVHVKRIHEYKRQLLNCLHVVTLYNRIKRDPAKAFV PRTVMIGGKAAPGYHMAKLIIKLVTSIGDVVNHDPVVGDRLKVIFLENYRVSLAEKVIPA ADLSQQISTAGTEASGTGNMKFMLNGALTIGTMDGANVEMAEEAGAENLFIFGLRVEDVE ALDRKGYNAREYYDHLPELKQAVDQISSGFFSPKEPDCFKDIVNMLMHHDRFKVFADYEA YMQCQAQVDQLYRNPKEWTKKVIRNIACSGKFSSDRTITEYAREIWGVEPSDLQIPPPNI PRD

20

SHMT2 (isoforma 1)

MLYFSLFWAARPLQRCGQLVRMAIRAQHSNAAQTQTGEANRGWTGQESLSDSDPEMWELL QREKDRQCRGLELIASENFCSRAALEALGSCLNNKYSEGYPGKRYYGGAEVVDEIELLCQ RRALEAFDLDPAQWGVNVQPYSGSPANLAVYTALLQPHDRIMGLDLPDGGHLTHGYMSDV KRISATSIFFESMPYKLNPKTGLIDYNQLALTARLFRPRLIIAGTSAYARLIDYARMREV CDEVKAHLLADMAHISGLVAAKVIPSPFKHADIVTTTTHKTLRGARSGLIFYRKGVKAVD PKTGREIPYTFEDRINFAVFPSLQGGPHNHAIAAVAVALKQACTPMFREYSLQVLKNARA MADALLERGYSLVSGGTDNHLVLVDLRPKGLDGARAERVLELVSITANKNTCPGDRSAIT PGGLRLGAPALTSRQFREDDFRRVVDFIDEGVNIGLEVKSKTAKLQDFKSFLLKDSETSQ RLANLRQRVEQFARAFPMPGFDEH

SHMT2 (isoforma 2)

5

MLYFSLFWAARPLQRCGQLVRMAIRAQHSNAAQTQTGEANRGWTGQESLSDSDPEMWELL QREKDRQCRGLELIASENFCSRAALEALGSCLNNKYSEGYPGKRYYGGAEVVDEIELLCQ RRALEAFDLDPAQWGVNVQPYSGSPANLAVYTALLQPHDRIMGLDLPDGGHLTHGYMSDV KRISATSIFFESMPYKLNLALTARLFRPRLIIAGTSAYARLIDYARMREVCDEVKAHLLA DMAHISGLVAAKVIPSPFKHADIVTTTTHKTLRGARSGLIFYRKGVKAVDPKTGREIPYT FEDRINFAVFPSLQGGPHNHAIAAVAVALKQACTPMFREYSLQVLKNARAMADALLERGY SLVSGGTDNHLVLVDLRPKGLDGARAERVLELVSITANKNTCPGDRSAITPGGLRLGAPA LTSRQFREDDFRRVVDFIDEGVNIGLEVKSKTAKLQDFKSFLLKDSETSQRLANLRQRVE QFARAFPMPGFDEH

SHMT2 (isoforma 3)

MAIRAQHSNAAQTQTGEANRGWTGQESLSDSDPEMWELLQREKDRQCRGLELIASENFCS RAALEALGSCLNNKYSEGYPGKRYYGGAEVVDEIELLCQRRALEAFDLDPAQWGVNVQPY SGSPANLAVYTALLQPHDRIMGLDLPDGGHLTHGYMSDVKRISATSIFFESMPYKLNPKT GLIDYNQLALTARLFRPRLIIAGTSAYARLIDYARMREVCDEVKAHLLADMAHISGLVAA KVIPSPFKHADIVTTTTHKTLRGARSGLIFYRKGVKAVDPKTGREIPYTFEDRINFAVFP SLQGGPHNHAIAAVAVALKQACTPMFREYSLQVLKNARAMADALLERGYSLVSGGTDNHL VLVDLRPKGLDGARAERVLELVSITANKNTCPGDRSAITPGGLRLGAPALTSRQFREDDF RRVVDFIDEGVNIGLEVKSKTAKLQDFKSFLLKDSETSQRLANLRQRVEQFARAFPMPGF DEH

10

VIPR1

MRPPSPLPARWLCVLAGALAWALGPAGGQAARLQEECDYVQMIEVQHKQCLEEAQLENET IGCSKMWDNLTCWPATPRGQVVVLACPLIFKLFSSIQGRNVSRSCTDEGWTHLEPGPYPI ACGLDDKAASLDEQQTMFYGSVKTGYTIGYGLSLATLLVATAILSLFRKLHCTRNYIHMH LFISFILRAAAVFIKDLALFDSGESDQCSEGSVGCKAAMVFFQYCVMANFFWLLVEGLYL YTLLAVSFFSERKYFWGYILIGWGVPSTFTMVWTIARIHFEDYGCWDTINSSLWWIIKGP ILTSILVNFILFICIIRILLQKLRPPDIRKSDSSPYSRLARSTLLLIPLFGVHYIMFAFF PDNFKPEVKMVFELVVGSFQGFVVAILYCFLNGEVQAELRRKWRRWHLQGVLGWNPKYRH PSGGSNGATCSTQVSMLTRVSPGARRSSSFQAEVSLV

Un agente inhibidor (es decir, inhibidor) o un agente de activación (es decir, activador) puede ser un ácido nucleico, un polipéptido, un anticuerpo o un compuesto de molécula pequeña. Preferiblemente, es un agente aislado, pero no una molécula endógena (un microARN) en una célula del sujeto. En un ejemplo, excluye un microARN que es endógeno en células humanas, por ejemplo, miR-126, miR206 o/y miR-335. En otro ejemplo, el agente inhibidor o de activación funciona a nivel de la transcripción, Estabilidad de ARNm, traducción, estabilidad/degradación de proteínas, modificación de proteínas y unión a proteínas.

Un ácido nucleico se refiere a una molécula de ADN (por ejemplo, pero sin limitarse a, un ADNc o ADN genómico), una molécula de ARN (por ejemplo, pero sin limitarse a, un ARNm), o un análogo de ADN o ARN. Un análogo de ADN o ARN puede sintetizarse a partir de análogos de nucleótidos. La molécula de ácido nucleico puede ser monocatenaria o bicatenaria. Un "ácido nucleico aislado" es un ácido nucleico cuya estructura no es idéntica a la de ningún ácido nucleico que se produce de manera natural o a la de ningún fragmento de un ácido nucleico genómico que se produce de manera natural. El término cubre por tanto, por ejemplo, (a) un ADN que tiene la secuencia de parte de una molécula de ADN genómica que se produce de manera natural pero no está flanqueada por ambas secuencias codificantes que flanquean esa parte de la molécula en el genoma del organismo en el que se produce de manera natural; (b) un ácido nucleico incorporado en un vector o en el ADN genómico de una procariota o eucariota de tal manera que la molécula resultante no es idéntica a ningún vector o ADN genómico que se produce

de manera natural; (c) una molécula independiente tal como un ADNc, un fragmento genómico, un fragmento producido por una reacción en cadena de la polimerasa (PCR), o un fragmento de restricción; y (d) una secuencia de nucleótidos recombinante que forma parte de un gen híbrido, es decir, un gen que codifica para una proteína de

5

10

Los términos "ARN", "molécula de ARN" y "molécula de ácido ribonucleico" se usan de manera intercambiable en el presente documento, y se refieren a un polímero de ribonucleótidos. El término "ADN" o "molécula de ADN" o molécula de ácido desoxirribonucleico" se refiere a un polímero de desoxirribonucleótidos. El ADN y el ARN pueden sintetizarse de manera natural (por ejemplo, mediante replicación de ADN o transcripción de ADN, respectivamente). El ARN puede modificarse de manera postraduccional. El ADN y el ARN también pueden sintetizarse químicamente. El ADN y el ARN pueden ser monocatenarios (es decir, ARNmc y ADNmc, respectivamente) o multicatenarios (por ejemplo, bicatenarios, es decir, ARNbc y ADNbc, respectivamente).

La secuencia de ácido nucleico puede codificar para un ARN de interferencia pequeño (por ejemplo, un agente de 15 iARN) que selecciona como diana uno o más de los genes mencionados anteriormente e inhibe su expresión o

20

25

30

actividad. El término "agente de iARN" se refiere a un ARN, o análogo del mismo, que tiene suficiente complementariedad de secuencia con un ARN diana para dirigir la interferencia de ARN. Los ejemplos también incluyen un ADN que puede usarse para producir el ARN. La interferencia de ARN (iARN) se refiere a un proceso selectivo o específico de secuencia mediante el cual una molécula diana (por ejemplo, un gen, proteína o ARN diana) está regulada por disminución. Generalmente, un ARN interferente ("ARNi") es un ARN interferente corto bicatenario (ARNic), ARN en horquilla corto (ARNhc) o micro-ARN monocatenario (miARN) que da como resultado la degradación catalítica de ARNm específicos, y también puede usarse para reducir o inhibir la expresión génica.

El término "ARN interferente corto" o "ARNic" (también conocido como "ARN interferentes pequeños") se refiere a un agente de ARN, preferiblemente un agente bicatenario, de aproximadamente 10-50 nucleótidos de longitud, preferiblemente entre aproximadamente 15-25 nucleótidos de longitud, más preferiblemente de aproximadamente 17, 18, 19, 20, 21, 22, 23, 24 o 25 nucleótidos de longitud, teniendo opcionalmente las hebras extremos de proyección que comprenden, por ejemplo 1, 2 o 3 nucleótidos (o análogos de nucleótidos) de proyección, que puede dirigir o mediar en la interferencia de ARN. Se generan ARNic que se producen de manera natural a partir de moléculas de ARNbc más largas (por ejemplo, >25 nucleótidos de longitud) por la maquinaria de iARN de una célula (por ejemplo, Dicer o un homólogo de la misma).

35

El término "miARN" o "microARN" se refiere a un agente de ARN, preferiblemente un agente monocatenario, de aproximadamente 10-50 nucleótidos de longitud, preferiblemente entre aproximadamente 15-25 nucleótidos de longitud, más preferiblemente de aproximadamente 17, 18, 19, 20, 21, 22, 23, 24 o 25 nucleótidos de longitud, que puede dirigir o mediar en la interferencia de ARN. Se generan miARN que se producen de manera natural a partir de ARN precursores de tallo-bucle (es decir, pre-miARN) por Dicer. El término "Dicer" tal como se usa en el presente documento, incluye Dicer así como cualquier ortólogo u homólogo de Dicer que puede procesar estructuras de ARNbc para dar ARNic, miARN, moléculas similares a ARNic o moléculas similares a miARN. El término microARN (o "miARN") se usa de manera intercambiable con el término "ARN temporal pequeño" (o "ARNtp") basado en el hecho de que se ha encontrado que se expresan microARN que se producen de manera natural (o "miARN") de manera temporal (por ejemplo, durante el desarrollo).

45

40

El término "ARNhc", tal como se usa en el presente documento, se refiere a un agente de ARN que tiene una estructura de tallo-bucle, que comprende una primera y una segunda regiones de secuencia complementaria, siendo suficiente el grado de complementariedad y orientación de las regiones de tal manera que se produce el apareamiento de bases entre las regiones, uniéndose las regiones primera y segunda mediante una región de bucle, resultando el bucle de una ausencia de apareamiento de bases entre nucleótidos (o análogos de nucleótidos) dentro de la región de bucle.

50

55

60

65

Por tanto, también dentro del alcance de esta invención está la utilización de iARN que presenta degradación de moléculas de ARN (por ejemplo, dentro de una célula). La degradación está catalizada por un complejo enzimático de silenciamiento inducido por ARN (RISC). Un agente de ARN que tiene una secuencia suficientemente complementaria a una secuencia de ARN diana (por ejemplo, uno o más de los genes mencionados anteriormente) para dirigir la iARN significa que el agente de ARN tiene una homología de al menos el 50 %, (por ejemplo, una homología del 50 %, el 60 %, el 70 %, el 80 %, el 90 %, el 95 %, el 98 %, el 99 % o el 100 %) con la secuencia de ARN diana de modo que las dos son suficientemente complementarias entre sí como para hibridar y desencadenar la destrucción del ARN diana por la maquinaria o el proceso de iARN (por ejemplo, el complejo RISC). Un agente de ARN que tiene una "secuencia suficientemente complementaria a una secuencia de ARN diana para dirigir la iARN" también significa que el agente de ARN tiene una secuencia suficiente como para desencadenar la inhibición traduccional del ARN diana por la maquinaria o el proceso de iARN. Un agente de ARN también puede tener una secuencia suficientemente complementaria a un ARN diana codificada por la secuencia de ADN diana de tal manera que la secuencia de ADN diana se silencia de manera cromática. Dicho de otro modo, el agente de ARN tiene una secuencia suficiente como para inducir silenciamiento génico transcripcional, por ejemplo, para modular por disminución la expresión génica en o cerca de la secuencia de ADN diana, por ejemplo, induciendo cambios estructurales de la cromatina en o cerca de la secuencia de ADN diana.

Los polinucleótidos mencionados anteriormente pueden administrarse usando dispositivos de administración de micropartículas o microcápsulas poliméricas, biodegradables conocidos en la técnica. Otro modo de conseguir la captación de los polinucleótidos es usando liposomas, preparados mediante métodos convencionales. El polinucleótido puede incorporarse solo en estos vehículos de administración o incorporarse conjuntamente con anticuerpos específicos de tejido. Alternativamente, puede prepararse un conjugado molecular que se compone de un plásmido u otro vector unido a poli-L-lisina mediante fuerzas electrostáticas o covalentes. La poli-L-lisina se une a un ligando que puede unirse a un receptor en células diana (Cristiano, *et al.*, 1995, J. Mol. Med. 73:479). Alternativamente, pueden obtenerse dianas específicas de tejido mediante el uso de elementos reguladores de la transcripción específicos de tejido que se conocen en la técnica. La administración de ADN desnudo (es decir, sin un vehículo de administración) a un sitio intramuscular, intradérmico o subcutáneo es otro medio de lograr la expresión *in vivo*.

10

35

Pueden diseñarse moléculas de ARNic, miARN y ARNas (ARN antisentido) mediante métodos bien conocidos en la técnica. Pueden diseñarse moléculas de ARNic, miARN y ARNas con homología suficiente para proporcionar la especificidad de secuencia requerida para degradar de manera única cualquier ARN usando programas conocidos en la técnica, incluyendo, pero sin limitarse a, los mantenidos en los sitios web de AMBION, Inc. y DHARMACON, Inc. Los expertos en la técnica pueden realizar de manera rutinaria pruebas sistemáticas de varias especies diseñadas para la optimización de la secuencia de ARNic, miARN y ARNas. Las consideraciones cuando se diseñan moléculas de ácido nucleico interferente corto incluyen, pero no se limitan a, consideraciones biofísicas, termodinámicas y estructurales, preferencias de bases en posiciones específicas en la hebra sentido y homología. Estas consideraciones se conocen bien en la técnica y proporcionar directrices para el diseño de las moléculas de ARN mencionadas anteriormente.

En un ejemplo, el polipéptido es un anticuerpo. El término "anticuerpo" se refiere a una molécula de inmunoglobulina o parte inmunológicamente activa de la misma, es decir, una parte de unión a antígeno. Los ejemplos incluyen, pero no se limitan a, una proteína que tiene al menos una o dos, regiones variables de cadena pesada (H) (V_H), y al menos una o dos regiones variables de cadena ligera (L) (V_L). Las regiones V_H y V_L pueden subdividirse además en regiones de hipervariabilidad, denominadas "regiones determinantes de complementariedad" ("CDR"), intercaladas con regiones que son más conservadas, denominadas "regiones de entramado" (FR). Tal como se usa en el presente documento, el término "inmunoglobulina" se refiere a una proteína que consiste en uno o más polipéptidos codificados sustancialmente por genes de inmunoglobulina. Los genes de inmunoglobulina humanos reconocidos incluyen los genes de región constante kappa, lambda, alfa (IgA1 e IgA2), gamma (IgG1, IgG2, IgG3 e IgG4), delta, épsilon y mu, así como los múltiples genes de región variable de inmunoglobulina.

El término "parte de unión a antígeno" de un anticuerpo (o "parte de anticuerpo") se refiere a uno o más fragmentos de un anticuerpo que conservan la capacidad de unirse específicamente a un antígeno (por ejemplo, IGFBP2, IGF1, IGF1R, MERTK, PITPNC1, ABCB9, PSAT1, PYGB, SHMT2 o VIPR). Se ha mostrado que la función de unión a antígeno de un anticuerpo puede realizarse por fragmentos de un anticuerpo de longitud completa. Los ejemplos de 40 fragmentos de unión englobados dentro del término "parte de unión a antígeno" de un anticuerpo incluyen (i) un fragmento Fab, un fragmento monovalente que consiste en los dominios VL, VH, CL y CH1; (ii) un fragmento F(ab')2, un fragmento bivalente que comprende dos fragmentos Fab unidos por un puente disulfuro en la región bisagra; (iii) un fragmento Fd que consiste en los V_H dominios y C_{H1}; (iv) un fragmento Fv que consiste en los dominios V_L y V_H de un solo brazo de un anticuerpo, (v) un fragmento dAb (Ward et al., (1989) Nature 341:544-546), que consiste en 45 un dominio V_H, y (vi) una región determinante de la complementariedad (CDR) aislada. Además, aunque los dos dominios del fragmento Fv, $\bar{V_L}$ y V_H , están codificados por genes independientes, pueden unirse, usando métodos recombinantes, mediante un ligador sintético que les permite constituirse como una sola cadena de proteína en la que las regiones V_L y V_H se aparean para formar moléculas monovalentes (conocidas como Fv de cadena sencilla (scFv); véase, por ejemplo, Bird et al. (1988) Science 242:423-426; y Huston et al. (1988) Proc. Natl. Acad. Sci. USA 50 85:5879-5883). También se pretende que tales anticuerpos de cadena sencilla estén englobados dentro del término "parte de unión a antígeno" de un anticuerpo. Estos fragmentos de anticuerpo se obtienen usando técnicas convencionales conocidas por los expertos en la técnica, y se examinan los fragmentos para determinar su utilidad de la misma manera que se hace con anticuerpos intactos.

Pueden producirse anticuerpos que se unen específicamente a una de las proteínas diana mencionadas anteriormente usando métodos conocidos en la técnica. Este anticuerpo puede ser un anticuerpo policional o uno monocional. Los ejemplos de tales anticuerpos incluyen los descritos en los ejemplos de trabajo a continuación. En un ejemplo, el anticuerpo puede producirse de manera recombinante, por ejemplo, producirse mediante presentación en fago o mediante métodos combinatorios. En otro ejemplo, el anticuerpo es un anticuerpo completamente humano (por ejemplo, un anticuerpo producido en un ratón que se ha modificado por ingeniería genética para producir un anticuerpo a partir de una secuencia de inmunoglobulina humana), un anticuerpo humanizado o un anticuerpo no humano, por ejemplo, pero sin limitarse a, un anticuerpo de roedor (ratón o rata), cabra, primate (por ejemplo, pero sin limitarse a, mono), conejo o camello. Los ejemplos de métodos para generar una versión humanizada de anticuerpos incluyen, pero no se limitan a, injerto de CDR (Queen *et al.*, patente estadounidense n.º 5,585,089; Riechmann *et al.*, Nature 332:323 (1988)), intercambio de cadenas (patente estadounidense n.º 5,565,332); y revestimiento o remodelado de la superficie (documentos EP 592.106; EP

ES 2 763 087 T3

519.596); Padlan, Molecular Immunology 28(415):489-498 (1991); Studnicka *et al.*, Protein Engineering 7(6):805-814 (1994); Roguska. *et al.*, PNAS 91:969-973 (1994)). Los ejemplos de métodos para generar anticuerpos completamente humanos incluyen, pero no se limitan a, la generación de anticuerpos a partir de ratones que pueden expresar genes de inmunoglobulina humanos y el uso de la tecnología de presentación en fago para generar y examinar bibliotecas de genes de inmunoglobulina humanos.

Un "anticuerpo aislado" pretende referirse a un anticuerpo que está sustancialmente libre de otros anticuerpos que tienen diferentes especificidades antigénicas (por ejemplo, un anticuerpo aislado que se une especificamente a IGFBP2, IGF1, IGF1R, MERTK, PITPNC1, ABCB9, PSAT1, PYGB, SHMT2 o VIPR está sustancialmente libre de anticuerpos que se unen específicamente a antígenos distintos de tal antígeno). Sin embargo, un anticuerpo aislado que se une específicamente al antígeno puede tener reactividad cruzada con otros antígenos, tales como moléculas de IGFBP2, IGF1, IGF1R, MERTK, PITPNC1, ABCB9, PSAT1, PYGB, SHMT2 o VIPR de otras especies. Además, un anticuerpo aislado puede estar sustancialmente libre de otro material celular y/o productos químicos.

10

40

45

50

55

- Los términos "anticuerpo monoclonal" o "composición de anticuerpo monoclonal" tal como se usa en el presente documento se refieren a una preparación de moléculas de anticuerpo de composición molecular sencilla. Una composición de anticuerpo monoclonal presenta una única afinidad y especificidad de unión para un epítopo particular.
- El término "anticuerpo humano", tal como se usa en el presente documento, pretende incluir anticuerpos que tienen regiones variables en las que tanto las regiones de entramado como las CDR se derivan de secuencias de inmunoglobulina de línea germinal humana. Además, si el anticuerpo contiene una región constante, la región constante también se deriva de secuencias de inmunoglobulina de línea germinal humana. Los anticuerpos humanos de la invención pueden incluir residuos de aminoácido no codificados por secuencias de inmunoglobulina de línea germinal humana (por ejemplo, mutaciones introducidas mediante mutagénesis al azar o específica de sitio in vitro o mediante mutación somática in vivo). Sin embargo, el término "anticuerpo humano", tal como se usa en el presente documento, no pretende incluir anticuerpos en los que se han injertado secuencias CDR derivadas de la línea germinal de otra especie de mamífero, tal como un ratón, sobre secuencias de entramado humanas.
- 30 El término "anticuerpo monoclonal humano" se refiere a anticuerpos que presentan una única afinidad de unión que tienen regiones variables en las que tanto las regiones de entramado como las CDR se derivan de secuencias de inmunoglobulina de línea germinal humana. En un ejemplo, los anticuerpos monoclonales humanos los produce un hibridoma que incluye una célula B obtenida a partir de un animal no humano transgénico, por ejemplo, un ratón transgénico, que tiene un genoma que comprende un transgén de cadena pesada humana y un transgén de cadena ligera fusionados a una célula inmortalizada.
 - El término "anticuerpo humano recombinante", tal como se usa en el presente documento, incluye todos los anticuerpos humanos que se preparan, expresan, crean o aíslan mediante medios recombinantes, tales como (a) anticuerpos aislados de un animal (por ejemplo, un ratón) que es transgénico o transcromosómico para genes de inmunoglobulina humanos o un hibridoma preparado a partir de los mismos (descrito adicionalmente a continuación), (b) anticuerpos aislados de una célula huésped transformada para expresar el anticuerpo humano, por ejemplo, a partir de un transfectoma, (c) anticuerpos aislados de una biblioteca combinatoria de anticuerpos humanos recombinantes y (d) anticuerpos preparados, expresados, creados o aislados mediante cualquier otros medio que implique el corte y empalme de secuencias de genes de inmunoglobulina humanos a otras secuencias de ADN. Tales anticuerpos humanos recombinantes tienen regiones variables en las que las regiones de entramado y CDR se derivan de secuencias de inmunoglobulina de línea germinal humana. En determinados ejemplos, sin embargo, tales anticuerpos humanos recombinantes pueden someterse a mutagénesis *in vitro* (o, cuando se usa un animal transgénico para secuencias de Ig humanas, mutagénesis somática *in vivo*) y por tanto las secuencias de aminoácidos de las regiones V_H y V_L de los anticuerpos recombinantes son secuencias que, aunque se derivan de y están relacionadas con secuencias de V_H y V_L de línea germinal humana, pueden no existir de manera natural dentro del repertorio de línea germinal de anticuerpos humanos *in vivo*.

Tal como se usa en el presente documento, "isotipo" se refiere a la clase de anticuerpo (por ejemplo, IgM o IgG1) que está codificada por los genes de región constante de cadena pesada.

- Las expresiones "un anticuerpo que reconoce un antígeno" y "un anticuerpo específico para un antígeno" se usan de manera intercambiable en el presente documento con el término "un anticuerpo que se une a específicamente a un antígeno".
- Tal como se usa en el presente documento, el término "alta afinidad" por un anticuerpo contra IgG se refiere a un anticuerpo que tiene una K_D de 10⁻⁷ M o menos, preferiblemente 10⁻⁸ M o menos, más preferiblemente 10⁻⁹ M o menos e incluso más preferiblemente 10⁻¹⁰ M o menos para un antígeno diana. Sin embargo, la unión de "alta afinidad" puede variar para otros isotipos de anticuerpo. Por ejemplo, la unión de "alta afinidad" para un isotipo IgM se refiere a un anticuerpo que tiene una K_D de 10⁻⁷ M o menos, más preferiblemente 10⁻⁸ M o menos.

En un ejemplo, se describe una composición que comprende un anticuerpo monoclonal que neutraliza la función de

IGFBP2 inhibiendo la unión de IGFBP2 a IGF1. En un ejemplo, este anticuerpo puede ser un anticuerpo completamente humano, un anticuerpo humanizado o un anticuerpo no humano, por ejemplo, pero sin limitarse a, un anticuerpo de roedor (ratón o rata), cabra, primate (por ejemplo, pero sin limitarse a, mono), conejo o camello. En un ejemplo, pueden sustituirse uno o más aminoácidos de este anticuerpo monoclonal con el fin de alterar sus propiedades físicas. Estas propiedades incluyen, pero no se limitan a, especificidad de unión, afinidad de unión, inmunogenicidad e isotipo de anticuerpo. Pueden usarse composiciones farmacéuticas que contienen versiones completamente humanas o humanizadas de los anticuerpos descritos anteriormente para tratar trastornos de angiogénesis patológica.

- 10 En un ejemplo, una composición que comprende un anticuerpo neutralizante de IGFBP2 que inhibe que se una IGF1 a IGFBP2 inhibe la evolución tumoral de cáncer de mama y la carga tumoral *in vivo*. En este ejemplo, la administración del anticuerpo descrito anteriormente redujo la carga tumoral de cáncer de mama humano *in vivo* en un modelo de ratón de cáncer humano.
- Pueden usarse composiciones farmacéuticas que contienen versiones completamente humanas o humanizadas de los anticuerpos descritos anteriormente para inhibir metástasis de cáncer de mama en pacientes humanos inhibiendo el reclutamiento endotelial por células metastásicas. En otro ejemplo, pueden usarse composiciones farmacéuticas que contienen versiones completamente humanas o humanizadas de estos anticuerpos para tratar otros tipos de tumores vasculares. Los tumores vascularizados típicos que pueden tratarse con esta composición incluyen tumores sólidos, particularmente carcinomas, que requieren una componente vascular para la provisión de oxígeno y nutrientes. Los tumores sólidos a modo de ejemplo incluyen, pero no se limitan a, carcinomas de pulmón, mama, óseo, de ovario, estómago, páncreas, laringe, esófago, testículos, hígado, parotídeo, de vías biliares, colon, recto, cuello uterino, útero, endometrio, riñón, vejiga, próstata, tiroides, carcinomas de células escamosas, adenocarcinomas, carcinomas de células pequeñas, melanomas, gliomas, glioblastomas, neuroblastomas, sarcoma de Kaposi y sarcomas.
 - En otro ejemplo, el polipéptido es una forma mutante de la proteína mencionada anteriormente, que interfiere en la ruta mencionada anteriormente y, por tanto, inhibe la angiogénesis y el reclutamiento endotelial. El término "mutante" engloba mutantes que se producen de manera natural y mutantes creados químicamente y/o usando técnicas de ADN recombinantes. Un mutante de uno de los péptidos de tipo natural mencionados anteriormente puede deberse a la alteración, por ejemplo, truncamiento, elongación, sustitución, deleción o inserción, de uno o más aminoácidos. La alteración también puede tener un aminoácido modificado, tal como uno que comprende una modificación postraduccional. La actividad proangiogénica de un mutante, si la hay, es sustancialmente menor que la actividad del polipéptido de tipo natural en al menos aproximadamente el 20 % (por ejemplo, el 30 %, el 40 %, el 50 %, el 60 %, el 70 %, el 80 %, el 90 % o el 100 %) tal como se mide usando un ensayo descrito en el presente documento o conocido en la técnica. Un ejemplo es un polipéptido que tiene el dominio extracelular de IGF1-R, pero que carece el dominio intracelular. Compitiendo por IGF-1, este mutante puede inhibir la ruta mencionada anteriormente y la actividad proangiogénica de manera dominante negativa.
- 40 Las composiciones de aminoácidos de los anticuerpos o polipéptidos mencionados anteriormente pueden variar con o sin perturbar la capacidad (por ejemplo, afinidad) para unirse a las dianas o los antígenos respectivos, y desencadenar o inhibir la respuesta celular respectiva. Por ejemplo, pueden contener una o más sustituciones de aminoácido conservativas. Una "sustitución de aminoácido conservativa" es una en la que el residuo de aminoácido se reemplaza por un residuo de aminoácido que tiene una cadena lateral similar. En la técnica se han definido 45 familias de residuos de aminoácido que tienen cadenas laterales similares. Estas familias incluyen aminoácidos con cadenas laterales básicas (por ejemplo, lisina, arginina, histidina), cadenas laterales ácidas (por ejemplo, ácido aspártico, ácido glutámico), cadenas laterales polares no cargadas (por ejemplo, glicina, asparagina, glutamina, serina, treonina, tirosina, cisteína), cadenas laterales apolares (por ejemplo, alanina, valina, leucina, isoleucina, prolina, fenilalanina, metionina, triptófano), cadenas laterales con ramificación β (por ejemplo, treonina, valina, isoleucina) y cadenas laterales aromáticas (por ejemplo, tirosina, fenilalanina, triptófano, histidina). Por tanto, un residuo de aminoácido no esencial predicho en, por ejemplo, SEQ ID NO: 9 o 10 puede reemplazarse por otro residuo de aminoácido de la misma familia de cadenas laterales. Alternativamente, pueden introducirse mutaciones al azar a lo largo de la totalidad o parte de las secuencias, tal como mediante mutagénesis de saturación, y los mutantes resultantes pueden examinarse para determinar la capacidad para unirse al antígeno respectivo y 55 desencadenar la respuesta celular respectiva para identificar mutantes que conservan la actividad.

Composiciones

35

En el presente documento se proporciona una composición que contiene un portador adecuado y uno o más de los agentes descritos anteriormente. La composición puede ser una composición farmacéutica que contiene un portador farmacéuticamente aceptable, una composición dietética que contiene un portador dietéticamente aceptable adecuado, o una composición cosmética que contiene un portador cosméticamente aceptable.

El término "composición farmacéutica" se refiere a la combinación de un agente activo con un portador, inerte o activo, haciendo que la composición sea especialmente adecuada para uso diagnóstico o terapéutico *in vivo* o ex vivo. Un "portador farmacéuticamente aceptable", después de administrarse a o sobre un sujeto, no provoca efectos

fisiológicos adversos. El portador en la composición farmacéutica debe ser "aceptable" también en el sentido de que sea compatible con el principio activo y pueda estabilizarlo. Pueden usarse uno o más agentes solubilizantes como portadores farmacéuticos para la administración de un compuesto activo. Los ejemplos de un portador farmacéuticamente aceptable incluyen, pero no se limitan a, vehículos, adyuvantes, aditivos y diluyentes biocompatibles para obtener una composición que puede usarse como forma de dosificación. Los ejemplos de otros portadores incluyen óxido de silicio coloidal, estearato de magnesio, celulosa, laurilsulfato de sodio y amarillo D&C n.º 10.

La composición descrita anteriormente, en cualquiera de las formas descritas anteriormente, puede usarse para tratar trastornos caracterizados por angiogénesis patológica. Una cantidad eficaz se refiere a la cantidad de un compuesto/agente activo que se requiere para conferir un efecto terapéutico en un sujeto tratado. Las dosis eficaces variarán, tal como reconocen los expertos en la técnica, dependiendo de los tipos de enfermedades tratadas, vía de administración, uso de excipientes y la posibilidad de uso conjunto de otro tratamiento terapéutico.

Una composición farmacéutica como se describe en el presente documento puede administrarse por vía parenteral, por vía oral, por vía nasal, por vía rectal, de manera tópica o por vía bucal. El término "parenteral" tal como se usa en el presente documento se refiere a inyección subcutánea, intracutánea, intravenosa, intramuscular, intraarticular, intraarterial, intrasinovial, intraesternal, intratecal, intralesional o intracraneal, así como cualquier técnica de infusión adecuada.

Una composición inyectable estéril puede ser una disolución o suspensión en un diluyente o disolvente no tóxico aceptable por vía parenteral. Tales disoluciones incluyen, pero no se limitan a, disolución en 1,3-butanodiol, manitol, agua, solución de Ringer y disolución isotónica de cloruro de sodio. Además, de manera convencional se emplean aceites fijos como disolvente o medio de suspensión (por ejemplo, mono o diglicéridos sintéticos). Los ácidos grasos, tales como, pero sin limitarse a, ácido oleico y sus derivados de glicérido, son útiles en la preparación de productos inyectables, como lo son los aceites naturales farmacéuticamente aceptables, tales como, pero sin limitarse a, aceite de oliva o aceite de ricino, versiones polioxietiladas de los mismos. Estas disoluciones o suspensiones en aceite también pueden contener un diluyente o dispersante de alcohol de cadena larga tal como, pero sin limitarse a, carboximetilcelulosa, o agentes de dispersión similares. También pueden usarse con el fin de formulación otros tensioactivos usados habitualmente, tales como, pero sin limitarse a, Tween o Span u otros agentes emulsionantes o potenciadores de la biodisponibilidad similares, que se usan habitualmente en la fabricación de formas de dosificación farmacéuticamente aceptables sólidas, líquidas u otras.

Una composición para administración oral puede ser cualquier forma de dosificación aceptable por vía oral incluyendo cápsulas, comprimidos, emulsiones y suspensiones, dispersiones y disoluciones acuosas. En el caso de los comprimidos, los portadores usados habitualmente incluyen, pero no se limitan a, lactosa y almidón de maíz. Normalmente se añaden agentes lubricantes, tales como, pero sin limitarse a, estearato de magnesio. Para la administración oral en forma de cápsula, los diluyentes útiles incluyen, pero no se limitan a, lactosa y almidón de maíz desecado. Cuando se administran suspensiones o emulsiones acuosas por vía oral, el principio activo puede suspenderse o disolverse en una fase de aceite combinada con agentes emulsionantes o de suspensión. Si se desea, pueden añadirse determinados agentes edulcorantes, aromatizantes o colorantes.

Pueden formularse composiciones farmacéuticas para administración tópica según la invención descrita como disoluciones, pomadas, cremas, suspensiones, lociones, polvos, pastas, geles, pulverizaciones, aerosoles o aceites. Alternativamente, las formulaciones tópicas pueden estar en forma de parches o apósitos impregnados con principio(s) activo(s), que pueden comprender opcionalmente uno o más excipientes o diluyentes. En algunos ejemplos, las formulaciones tópicas incluyen un material que aumentarán la absorción o penetración del/de los principio(s) activo(s) a través de la piel u otras zonas afectadas. La composición tópica es útil para tratar trastornos en la piel, tal como melanoma y determinados trastornos inflamatorios.

Una composición tópica contiene una cantidad segura y eficaz de un portador dermatológicamente aceptable adecuado para la aplicación a la piel. Una composición o un componente "cosméticamente aceptable" o "dermatológicamente aceptable" se refiere a una composición o un componente que es adecuado para su uso en contacto con la piel humana sin excesiva toxicidad, incompatibilidad, inestabilidad, respuesta alérgica, y similares. El portador permite que se administren un agente activo y componente opcional a la piel a una(s) concentración/concentraciones apropiada(s). Por tanto, el portador puede actuar como diluyente, dispersante, disolvente, o similar para garantizar que los materiales activos se aplican a y se distribuyen uniformemente por la diana seleccionada a una concentración apropiada. El portador puede ser sólido, semisólido o líquido. El portador puede estar en forma de una loción, una crema o un gel, en particular uno que tiene un límite de elasticidad o consistencia suficiente para impedir que sedimenten los materiales activos. El portador puede ser inerte o presentar beneficios dermatológicos. También debe ser física y químicamente compatible con los componentes activos descritos en el presente documento, y no deben afectar indebidamente la estabilidad, eficacia u otros beneficios de uso asociados con la composición.

65 Métodos de tratamiento

20

25

30

45

50

55

ES 2 763 087 T3

La presente descripción proporciona métodos para tratar en un sujeto un trastorno angiogénico o un trastorno de la angiogénesis.

Los términos "trastorno angiogénico", "trastorno de la angiogénesis" y "trastorno de la angiogénesis" se usan de manera intercambiable en el presente documento, y se refieren a un trastorno caracterizado por angiogénesis patológica. Un trastorno caracterizado por angiogénesis patológica se refiere a un trastorno en el que angiogénesis anómala o aberrante, sola o en combinación con otros, contribuye a la causalidad, el origen o síntoma del trastorno. Los ejemplos de este trastorno incluyen diversos cánceres (por ejemplo, tumores vascularizados), trastornos oculares, trastornos inflamatorios, y otros.

10

15

25

30

Los tumores vascularizados típicos que pueden tratarse con el método incluyen tumores sólidos, particularmente carcinomas, que requieren una componente vascular para la provisión de oxígeno y nutrientes. Los tumores sólidos a modo de ejemplo incluyen, pero no se limitan a, carcinomas de pulmón, mama, óseo, de ovario, estómago, páncreas, laringe, esófago, testículos, hígado, parotídeo, de vías biliares, colon, recto, cuello uterino, útero, endometrio, riñón, vejiga, próstata, tiroides, carcinomas de células escamosas, adenocarcinomas, carcinomas de células pequeñas, melanomas, gliomas, glioblastomas, neuroblastomas, sarcoma de Kaposi y sarcomas.

20

También pueden tratarse varios trastornos o estados, distintos de cáncer, con el método descrito anteriormente. Los ejemplos incluyen artritis, artritis reumatoide, psoriasis, aterosclerosis, retinopatía diabética, degeneración macular asociada con la edad, enfermedad de Graves, reestenosis vascular (incluyendo reestenosis tras angioplastia), malformaciones arteriovenosas (MAV), meningioma, hemangioma, glaucoma neovascular, enfermedad renal crónica, nefropatía diabética, enfermedad renal poliquística, enfermedad pulmonar intersticial, hipertensión pulmonar, enfermedad pulmonar obstructiva crónica (EPOC), enfisema, hepatitis autoinmunitaria, enfermedad hepática inflamatoria crónica, cirrosis hepática, linfoma cutáneo de células T, rosácea y carcinoma de células basales.

Otras dianas de tratamiento incluyen las descritas en, por ejemplo, las solicitudes estadounidenses 2009004297, 20090175791 y 20070161553, tales como angiofibroma, placas ateroscleróticas, neovascularización de injerto corneal, articulaciones hemofílicas, cicatrices hipertróficas, síndrome de Osler-Weber, granuloma piógeno, fibroplasia retrolenticular, esclerodermia, tracoma, adhesiones vasculares, sinovitis, dermatitis, otras diversas enfermedades y trastornos inflamatorios y endometriosis.

35

Un "suieto" se refiere a un ser humano v un animal no humano. Los ejemplos de un animal no humano incluyen todos los vertebrados, por ejemplo, mamíferos, tales como mamíferos no humanos, primates no humanos (particularmente primates superiores), perros, roedores (por ejemplo, ratones o ratas), cobayas, gatos y conejos, y animales no mamíferos, tales como aves, anfibios, reptiles, etc. En una realización, el sujeto es un ser humano. En otra realización, el sujeto es un animal de experimentación o animal adecuado como modelo de enfermedad. Puede identificarse un sujeto que ha de tratarse para un trastorno mediante técnicas de diagnóstico convencionales para el trastorno.

40

Opcionalmente, el sujeto puede examinarse para detectar una mutación, un nivel de expresión o nivel de actividad de uno o más de las proteínas o los genes mencionados anteriormente mediante métodos conocidos en la técnica o descritos anteriormente antes del tratamiento. Si el sujeto tiene una mutación particular en el gen, o si el nivel de actividad o expresión génica es, por ejemplo, mayor en una muestra del sujeto que el de una muestra de una persona normal, el sujeto es un candidato para el tratamiento.

45

50

Para confirmar la inhibición o el tratamiento, puede evaluarse y/o verificar la inhibición de la angiogénesis o el reclutamiento endotelial resultante usando una tecnología conocida en la técnica antes y/o después de la etapa de administración. Las tecnologías a modo de ejemplo incluyen angiografía o arteriografía, una técnica de obtención de imágenes médicas usadas para visualizar el interior de, o la luz, de vasos sanguíneos y órganos del cuerpo, puede realizarse generalmente inyectando un agente de contraste radiopaco en el vaso sanguíneo y obteniendo imágenes usando técnicas basadas en rayos X tales como fluoroscopía.

55

"Tratar" o "tratamiento" se refiere a la administración de un compuesto o agente a un sujeto que tiene un trastorno con el fin de curar, aliviar, paliar, remediar, retrasar la aparición de, prevenir o mejorar el trastorno, el síntoma del trastorno, el estado patológico secundario al trastorno o la predisposición al trastorno.

60

Una "cantidad eficaz" o "cantidad terapéuticamente eficaz" se refiere a una cantidad del compuesto o agente que puede producir un resultado deseable a nivel médico en un sujeto tratado. El método de tratamiento puede realizarse in vivo o ex vivo, solo o junto con otros fármacos o terapias. Puede administrarse una cantidad terapéuticamente eficaz en una o más administraciones, aplicaciones o dosificaciones y no pretende limitarse a una formulación o vía de administración particular.

65

El agente puede administrarse in vivo o ex vivo, solo o coadministrarse junto con otros fármacos o terapias, es decir, una terapia de cóctel. Tal como se usa en el presente documento, el término "coadministración" o "coadministrarse" se refiere a la administración de al menos dos agente(s) o terapias a un sujeto. Por ejemplo, en el tratamiento de tumores, particularmente tumores vascularizados, malignos, los agentes pueden usarse solos o en combinación con, por ejemplo, agentes quimioterápicos, radioterápicos, apoptópicos, antiangiogénicos y/o inmunotoxinas o coaguligandos.

- 5 En algunos ejemplos, la coadministración de dos o más agentes/terapias es concurrente. En otros ejemplos, un primer agente/terapia se administra antes del segundo agente/terapia. Los expertos en la técnica entienden que las formulaciones y/o vías de administración de los diversos agentes/terapias usados pueden variar.
- En un enfoque *in vivo*, se administra un compuesto o agente a un sujeto. Generalmente, el compuesto se suspende en un portador farmacéuticamente aceptable (tal como, por ejemplo, pero sin limitarse a, solución salina fisiológica) y se administra por vía oral o mediante infusión intravenosa, o inyectarse o implantarse por vía subcutánea, por vía intramuscular, por vía intratecal, por vía intraperitoneal, por vía intrarrectal, por vía intravaginal, por vía intranasal, por vía intragástrica, por vía intratraqueal o por vía intrapulmonar.
- La dosificación requerida depende de la elección de la vía de administración; la naturaleza de la formulación; la naturaleza de la enfermedad del paciente; la talla, el peso, el área superficial, la edad y el sexo del sujeto; otros fármacos que se administren; y el criterio del médico encargado. Las dosificaciones adecuadas se encuentran en el intervalo de 0,01-100 mg/kg. Se esperan variaciones en la dosificación necesaria en vista de la variedad de compuestos disponibles y las diferentes eficacias de diversas vías de administración. Por ejemplo, se esperaría que la administración oral requiera mayores dosificaciones que la administración mediante inyección i.v. Pueden ajustarse variaciones en estos niveles de dosificación usando rutinas empíricas convencionales para la optimización tal como se entiende bien en la técnica. La encapsulación del compuesto en un vehículo de administración adecuado (por ejemplo, micropartículas poliméricas o dispositivos implantables) puede aumentar la eficacia de administración, particularmente para la administración oral.

Diagnóstico

25

30

55

La presente descripción también proporciona kits y métodos de diagnóstico. Puede diagnosticarse a un sujeto que tiene células cancerosas o células propensas a la tumorigénesis basándose en la expresión o actividad de uno o más de los genes o polipéptidos descritos anteriormente en una muestra de prueba del sujeto. El polipéptido y los ácidos nucleicos pueden usarse como marcadores para indicar la presencia o ausencia de una célula cancerosa o célula propensa a la tumorigénesis. Los ensayos de diagnóstico y pronóstico de la invención descrita incluyen métodos para evaluar el nivel de expresión del polipéptido o ácido nucleico.

- Puede evaluarse la presencia, el nivel o la ausencia del polipéptido o ácido nucleico en una muestra de prueba obteniendo una muestra de prueba de un sujeto de prueba y poniendo en contacto la muestra de prueba con un compuesto o un agente que puede detectar el polipéptido o ácido nucleico (por ejemplo, sonda de ARNm, sonda de ADNc genómico o sonda de ADNc). La "muestra de prueba" puede incluir tejidos, células y líquidos biológicos aislados de un sujeto, así como tejidos, células y líquidos presentes dentro de un sujeto. El nivel de expresión del gen puede medirse de varias maneras, incluyendo, pero sin limitarse a, medir el ARNm codificado por el gen; medir la cantidad de polipéptido codificado por el gen; o medir la actividad de polipéptido codificado por el gen.
- El nivel de ARNm correspondiente al gen en una célula puede determinarse tanto mediante formatos *in situ* como mediante formatos *in vitro*. Puede usarse ARN mensajero aislado de una muestra de prueba en ensayos de hibridación o amplificación que incluyen, pero no se limitan a, análisis de transferencia de tipo Southern o Northern, análisis de PCR y alineamientos de sondas. Por ejemplo, un método de diagnóstico para la detección de niveles de ARNm implica poner en contacto el ARNm aislado con una sonda de ácido nucleico que puede hibridar con el ARNm codificado por el gen. La sonda puede ser un ácido nucleico de longitud completa, o una parte del mismo, tal como un oligonucleótido de al menos 10 nucleótidos de longitud y suficiente para hibridar específicamente en condiciones rigurosas con ARNm o ADN genómico.
 - En un formato, se inmoviliza ARNm (o ADNc preparado a partir del mismo) sobre una superficie y se pone en contacto con las sondas, por ejemplo, haciendo correr el ARNm aislado sobre un gel de agarosa y transfiriendo el ARNm del gel a una membrana, tal como nitrocelulosa. En otro formato, se inmovilizan las sondas sobre una superficie y se pone en contacto el ARNm (o ADNc) con las sondas, por ejemplo, en un alineamiento de chips de gen. Un experto en la técnica puede adaptar métodos de detección de ARNm conocidos para detectar el nivel de ARNm.
- Puede evaluarse el nivel de ARNm (o ADNc preparado a partir del mismo) en una muestra codificado por uno o más de los genes mencionados anteriormente con ácido nucleico amplificación, por ejemplo, mediante PCR convencional (patente estadounidense n.º 4.683.202), RT-PCR (Bustin S. J Mol Endocrinol. 25:169-93, 2000), PCR cuantitativa (Ong Y. et al., Hematology. 7:59-67, 2002), real time PCR (Ginzinger D. Exp Hematol. 30:503-12, 2002), y PCR in situ (Thaker V. Methods Mol Biol. 115:379-402, 1999), o cualquier otro método de amplificación de ácidos nucleicos, seguido por la detección de las moléculas amplificadas usando técnicas conocidas en la técnica. Tal como se usa en el presente documento, los "cebadores de amplificación" se definen que son un par de moléculas de ácido nucleico que pueden aparearse a regiones en 5' o 3' de un gen (hebras positiva y negativa, respectivamente, o viceversa) y

contienen una región corta entremedias. En condiciones apropiadas y con reactivos apropiados, tales cebadores permiten la amplificación de una molécula de ácido nucleico que tiene la secuencia de nucleótidos flanqueada por los cebadores.

Para métodos *in situ*, puede prepararse una muestra de células o tejido e inmovilizarse sobre un soporte, tal como, pero sin limitarse a, un portaobjetos de vidrio, y luego ponerse en contacto con una sonda que puede hibridar con ADN genómico en cromosomas o ARNm que codifica para el polipéptido correspondiente.

En otra realización, los métodos de la invención descrita incluyen además poner en contacto una muestra de control con un compuesto o agente que puede detectar ARNm, o ADN genómico, y comparar la presencia de ARNm o ADN genómico en la muestra de control con la presencia de ARNm o ADN genómico en la muestra de prueba.

Los métodos de diagnóstico basados en ácidos nucleicos descritos anteriormente pueden proporcionar información cualitativa y cuantitativa para determinar si un sujeto tiene o está predispuesto a una enfermedad asociada con la expresión génica aberrante y angiogénesis aberrante, por ejemplo, cánceres.

Puede usarse una variedad de métodos para determinar el nivel de uno o más de los polipéptidos mencionados anteriormente. En general, estos métodos incluyen poner un contacto un agente que se une selectivamente al polipéptido, tal como un anticuerpo, para evaluar el nivel de polipéptido en una muestra. Los anticuerpos pueden ser policlonales o monoclonales. También puede usarse un anticuerpo intacto, o un fragmento del mismo (por ejemplo, Fab o F(ab')₂). En otra realización, el anticuerpo porta un marcador detectable. El término "marcado", con respecto a la sonda o el anticuerpo, pretende englobar el marcaje directo de la sonda o el anticuerpo uniendo físicamente una sustancia detectable a la sonda o al anticuerpo, así como el marcaje indirecto de la sonda o el anticuerpo mediante reactividad con una sustancia detectable. Por ejemplo, un anticuerpo con una región Fc de conejo puede marcarse indirectamente usando un segundo anticuerpo dirigido contra la región Fc de conejo, en donde el segundo anticuerpo se acopla a una sustancia detectable. Se proporcionan ejemplos de sustancias detectables en el presente documento. Las sustancias o los marcadores detectables apropiados incluyen, pero no se limitan a, radioisótopos (por ejemplo, pero sin limitarse a, ¹²⁵I, ¹³¹I, ³⁵S, ³H o ³²P), enzimas (por ejemplo, pero sin limitarse a, fosfatasa alcalina, peroxidasa del rábano, luciferasa o β-galactosidasa), restos o proteínas fluorescentes (por ejemplo, pero sin limitarse a, nanopartículas Qdot™ de Quantum Dot Corporation, Palo Alto, CA).

Los métodos de detección pueden usarse para detectar uno o más de los polipéptidos mencionados anteriormente en una muestra biológica *in vitro* así como *in vivo*. Las técnicas *in vitro* para la detección del polipéptido incluyen análisis mediante ELISA, inmunoprecipitaciones, inmunofluorescencia, EIA, RIA y de inmunotransferencia de tipo Western. Las técnicas *in vivo* para la detección del polipéptido incluyen introducir en un sujeto un anticuerpo marcado. Por ejemplo, el anticuerpo puede marcarse con una sustancia detectable tal como se describió anteriormente. La presencia y ubicación de la sustancia detectable en un sujeto puede detectarse mediante técnicas de obtención de imágenes convencionales.

Los métodos de diagnóstico descritos en el presente documento pueden identificar sujetos que tienen, o corren el riesgo de desarrollar, una enfermedad o un trastorno asociado con la expresión o actividad aberrante de uno o más de los polipéptidos mencionados anteriormente. Tal como se describe en el presente documento, los ejemplos de una enfermedad o un trastorno de este tipo incluyen los descritos anteriormente.

Los ensayos de pronóstico descritos en el presente documento pueden usarse para determinar si es adecuado administrar a un sujeto un agente (por ejemplo, un agonista, antagonista, peptidomimético, una proteína, un péptido, ácido nucleico, una molécula pequeña u otro candidato a fármaco) para tratar un trastorno, tal como cáncer. Por ejemplo, tales ensayos pueden usarse para determinar si puede administrarse a un sujeto un fármaco citotóxico para tratar el trastorno.

La información obtenida de la práctica de los ensayos anteriores es útil en el pronóstico, la identificación de la evolución de y la gestión clínica de enfermedades y otros estados perjudiciales que afectan al estado de salud de un individuo. En algunos ejemplos, los ensayos de diagnóstico anteriores proporcionan información útil en el pronóstico, la identificación de la evolución de y la gestión clínica de tumores malignos (cánceres) que se caracterizan por una angiogénesis patológica anómala. La información ayuda más específicamente al médico clínico en el diseño de regímenes quimioterápicos u otros regímenes de tratamiento para erradicar tales tumores malignos del cuerpo de un mamífero aquejado, por ejemplo, un ser humano.

EJEMPLO 1: Métodos y materiales

Este ejemplo describe métodos y materiales generales usados en los ejemplos 2-8.

Cultivo celular

65

15

20

25

30

35

40

45

50

55

60

Todas las líneas celulares se propagaron tal como se describe en Tavazoie, S. F. et al., Nature 451 (7175), 147

(2008). Se cultivaron células 293T con medios DMEM complementados con FBS al 10 %; se cultivaron células H29 con medios DMEM complementados con FBS al 10 %, doxiciclina 20 μ g/ml, puromicina 2 μ g/ml y G418 0,3 mg/ml; y se cultivaron células HUVEC con medios EGM-2 (CC-3162, Lonza, Basilea, Suiza). Las líneas celulares de cáncer de mama MDA-MB-231 y CN34 y sus derivados metastásicos LM2, BoM2 y Lmla se describen en Minn, A. J. *et al.*, Nature 436 (7050), 518 (2005).

Estudios con animales

20

25

45

50

60

Todo el trabajo con animales se realizó según un protocolo aprobado por el Institutional Animal Care and Use Committee (IACUC) en la Universidad Rockefeller. Se usaron ratones NOD/SCID hembra ratones de edades coincidentes (6-8 semanas de edad) tanto para ensayos de inicio de tumor en el panículo adiposo mamario ortotópico (Minn, A. J. et al., Nature 436 (7050), 518 (2005) como para ensayos de metástasis de pulmón (Tavazoie, S. F. et al., Nature 451 (7175), 147 (2008)). Se usaron ratones atímicos hembra de edades coincidentes de ocho semanas de edad para ensayos de metástasis sistémica (Kang, Y. et al., Cancer Cell 3 (6), 537 (2003) y Yin, J. J. et al., J Clin Invest 103 (2), 197 (1999)).

Se obtuvo expresión de miR-126 inducible clonando pre-miR-126 en el vector pTripz que contenía tet-ON (Thermo Scientific, Huntsville, AL). En el día 3, se añadió doxiciclina 2 mg/ml (Sigma Aldrich) al agua potable que contenía sacarosa al 5 %. Se dio a los ratones de control agua potable con sacarosa al 5 %.

Generación de Lentivirus, Retrovirus, silenciamiento y células de sobreexpresión

Para la generación de lentivirus, se sembraron 1x106 células 293T sobre una placa de 10 cm y se incubaron durante 24 h. Entonces se cotransfectaron doce microgramos de vector K (Gag/Pol), 6 μg de vector A (Env) y 12 μg del plásmido de ARNhc apropiado en las células 293T usando 40 μl de reactivo de transfección TRANSIT®-293 (MIR 2700, MIRUS BIO LLC, Madison, WI). Tras 16 h, se reemplazaron los medios por DMEM libre de antibióticos recién preparado complementado con FBS al 10 %. Tras otras 24 h, se recogió el virus centrifugando durante 5 min a 1.500 g antes de filtrarse a través de un filtro de 0,45 μm. Para la generación de retrovirus, se sembraron células H29 sobre una placa de 10 cm y se dejaron crecer hasta una confluencia del 90 %. Entonces se transfectaron diez microgramos del plásmido apropiado en las células H29 usando 60 μl de reactivo de transfección LIPOFECTAMINE™ 2000 (11668-019, INVITROGEN por LIFE TECHNOLOGIES, Carlsbad, CA). Tras 16 h, se reemplazaron los medios por DMEM libre de antibióticos recién preparado complementado con FBS al 10 %. Tras otras 48 h, se recogió el virus centrifugando durante 5 min a 1.500 g y se filtró a través de un filtro de 0,45 μ m. Se usaron dos mililitros del virus apropiado para transducir 50K células cancerosas en presencia de 10 μg/ml de polibreno (TR-1003-G, MILLIPORE, Billerica, A). Tras 24 h, se cambiaron los medios a DMEM complementado con FBS al 10 % y puromicina 2 ug/ml (lentivirus) o blasticidina 10 ug/ml para la selección. Tras otras 72 h. se lavaron las células y se dejaron crecer en D10F y se sometieron a prueba para determinar el silenciamiento del gen de interés mediante qPCR.

40 Reclutamiento endotelial

Se sembraron células cancerosas (25.000) en placas de 24 pocillos aproximadamente 24 h antes del comienzo del ensayo de reclutamiento. Se privaron de suero células HUVEC en medios EGM-2 complementados con FBS al 0.2 % durante 24 horas. Entonces se marcaron las células HUVEC con colorante CELLTRACKER Red CMTPX (C34552, INVITROGEN) durante 45 min y se rescataron en medios EGM-2 complementados con FBS al 2 % durante 30 min. Mientras, se lavaron las células cancerosas con PBS y 1 ml de FBS al 0,2 % y se añadieron medios EGM-2 a cada pocillo. Se equipó cada pocillo con un inserto HTS FLUROBLOCK de 3,0 μm (351151, BD FALCON, San Jose, CA). Para los experimentos con anticuerpos, se añadió entonces la concentración apropiada de cada anticuerpo a cada pocillo: anticuerpo anti-IGFBP2 50 ng/ml (AF674, R&D SYSTEMS, Minneapolis, MN), anticuerpo anti-IGF-1 20 μg/ml (AF-291-NA, R&D SYSTEMS), anticuerpo anti-IGF-2 40 μg/ml (MAB292, R&D SYSTEMS), anticuerpo anti-IGF1R 20 μg/ml (MAB391, R&D SYSTEMS), anticuerpo anti-IGF2R 5 μg/ml (AF2447, R&D SYSTEMS) y anticuerpo anti-IgG (AB-108-C, R&D SYSTEMS). Para los ensayos de reclutamiento endotelial que requieren pre-incubación con anticuerpos, se incubaron entonces o bien células HUVEC o bien células cancerosas con anticuerpo anti-IGF1R 20 µg/ml o anticuerpo contra IgG de control durante 1 h y se lavaron una vez PBS. Entonces se privaron de suero las células HUVEC durante 1 h antes de resuspenderse en EGM-2 con FBS al 0,2 % en 100 K HUVEC por ml. Entonces se añadió la resuspensión (0,5 ml) a cada inserto FLUOROBLOCK y se dejó que el ensayo de reclutamiento continuara durante 16 h. Tras la finalización del ensayo, se fijaron las piezas de inserción FLUOROBLOCK con paraformaldehído al 4 % durante 15 min y se montaron en portaobjetos con medios de montaje VECTASHIELD (H-1000, VECTOR LABORATORIES, Burlingame, CA). Se tomaron tres imágenes de cada inserto y se analizaron las imágenes usando IMAGEJ (NIH).

Ensavo de quimiotaxia

Se dejó que Matrigel (250 μl, BD BIOSCIENCES, n.º 356231) que contenía cantidades dadas de albúmina sérica bovina (A2153, Sigma Aldrich), rhIGFBP2 (674-B2, R&D SYSTEMS), rhGas6 (885-GS, R&D SYSTEMS), anticuerpo anti-IGF1R (MAB391, R&D SYSTEMS) y MerFc (891-MR-100, R&D SYSTEMS) solidificara en el fondo de una placa de 24 pocillos durante 30 min antes de que se añadieran 250 µl de medios HUVEC que contenían FBS al 0,2 %. Entonces se colocó un inserto HTS Fluroblock de 3,0 µm (351151, BD Falcon) en cada pocillo. Se marcaron las células HUVEC con colorante CellTracker Red CMTPX (C34552, Invitrogen) antes de resuspender 300 K HUVEC por ml de EGM-2 con FBS al 0,2 %. Entonces se añadieron 0,5 ml de la resuspensión a cada inserto Fluoroblock y se dejó que el ensayo continuara durante 20 h. Entonces se fijaron las piezas de inserción durante 15 min en paraformaldehído al 4 % y se montaron en portaobjetos con medios de montaje VectaShield (H-1000, Vector Laboratories). Entonces se tomaron imágenes de 5 campos del lado basal de cada inserto y se analizaron las imágenes usando ImageJ (NIH).

10

15

Ensayo de migración

Se hicieron crecer células HUVEC hasta una confluencia del 90 % y de estimularon en las concentraciones dadas de albúmina sérica bovina (Sigma Aldrich, n.º A2153), rhIGFBP2 (674-B2, R&D SYSTEMS) y anticuerpo anti-IGF1R (MAB391, R&D SYSTEMS) en medios HUVEC que contenían FBS al 0,2 % durante 40 min a 37°C. Entonces se sometieron las células a tripsinización y se añadieron y 50 K células a piezas de inserción HTS Fluroblock (351151, BD Falcon). Tras 24 horas a 37°C con el 5 % de CO₂, se retiraron las piezas de inserción, se escindió la membrana y se fijó en paraformaldehído al 4 %. Se visualizaron las células HUVEC que habían migrado al lado basal de la membrana con DAPI y se contaron en 5 campos por membrana usando Image J (NIH).

20

30

Adhesión endotelial

Se sembraron células HUVEC en una placa de 6 cm y se dejaron crecer hasta la confluencia. Se privaron de suero células cancerosas en medios DMEM complementados con FBS al 0,2 % durante 30 min, se marcaron con colorante CELLTRACKER Green CMFDA (C7025, Invitrogen) durante 45 min y se incubaron en medios DMEM complementados con FBS al 10 % durante 30 min. Entonces se sometieron las células cancerosas a tripsinización y se resuspendieron en FBS al 10 %/DMEM hasta 10 K células/ml. Entonces se añadieron cinco mililitros de la resuspensión a cada placa de HUVEC y se incubó la placa a 37°C durante 10 min. Entonces se lavaron las placas suavemente con PBS y se fijaron con paraformaldehído al 4 % durante 15 min. Entonces se trató cada placa con 1 ml de PBS y se tomaron 6 imágenes de cada placa. Entonces se cuantificó el número de células cancerosas adherentes a las células HUVEC usando IMAGEJ.

Proliferación endotelial

Se sembraron células cancerosas (1x10⁶) en una placa de 10 cm y se dejaron crecer durante 24 h. Entonces se lavaron suavemente las células cancerosas con PBS y se añadieron medios EGM-2 complementados con FBS al 2 % a cada placa. Se recogieron los medios EGM-2 acondicionados tras 24 h. Se sembraron células HUVEC (25 K) por triplicado en una placa de 6 pocillos y se dejaron crecer durante 16 h. Entonces se lavaron suavemente las células HUVEC con PBS y se añadieron 3 ml de medios EGM-2 acondicionados a cada pocillo. Tras 48 h, se reemplazaron los medios acondicionados por otros 3 ml de medios acondicionados. Tras otras 48 h, se sometieron las células a tripsinización y se contaron usando un hemocitómetro.

Ensayo de formación de tubos

Se realizó un ensayo de formación de tubos según el protocolo del fabricante (354149, BD BIOCOAT™ ANGIOGÉNESIS SYSTEM - Endothelial Cell Tube Formation). Brevemente, se privaron de suero células HUVEC en Medios EGM-2 complementados con FBS al 0,2 % durante 24 horas. Entonces se marcaron las células HUVEC con colorante CELLTRACKER Red CMTPX (C34552, INVITROGEN) durante 45 min y se trataron posteriormente en medios EGM-2 complementados con FBS al 2 % durante 30 min. Mientras, se incubó la placa de ensayo de formación de tubos, que estaba en un formato de 96 pocillos, a 37°C durante 30 min. Se sometieron las células cancerosas y las células HUVEC a tripsinización y se resuspendieron a 400 K/ml y 800 K/ml, respectivamente en medios EGM-2 complementados con FBS al 2 %. Entonces se mezclaron las suspensiones de células cancerosas y células HUVEC a una razón 1:1 y se sembraron 50 μl de cada mezcla en cada pocillo de la placa de ensayo de formación de tubos. Se incubó la placa de ensayo a 37°C durante 16 h. Se tomaron imágenes de cada pocillo y se procesaron las imágenes usando el software de análisis METAMORPH (MOLECULAR DEVICES, Inc.) para obtener el número de puntos de ramificación por imagen.

Análisis de expresión de miARN y expresión de ARNm

Se extrajo el ARN total de diversas líneas celulares usando el kit MIRVANA (AM1560, APPLIED BIOSYSTEMS, Austin, TX). Se usó el ensayo de microARN TAQMAN (4427975-0002228, APPLIED BIOSYSTEMS) para cuantificar los niveles de expresión de miARN maduro tal como se describe en Tavazoie, S. F. et al., Nature 451 (7175), 147 (2008). Para la cuantificación del ARNm, se sometieron a transcripción inversa 400 ng del ARN total usando el kit de síntesis de primera cadena de ADNc (18080-051, INVITROGEN). Entonces se mezclaron aproximadamente 4 ng del ADNc resultante con el reactivo SYBR green PCR MASTER MIX (4309155, APPLIED BIOSYSTEMS) y cebadores apropiados (tabla 1). Se obtuvieron datos de expresión de ARNm cuantitativos usando un sistema de PCR en tiempo

real ABI PRISM 7900HT (APPLIED BIOSYSTEMS). Se usó Smad4 como control endógeno para normalización. Se realizó análisis de expresión de cánceres de mama humanos en diversos estadios de enfermedad usando los paneles 2 y 3 de cáncer de mama en serie mediante qPCR ISSUESCAN (BCRT102 & BCRT103, ORIGENE, Rockville, MD).

Tabla 1. Cebadores de qPCR con SYBR green

Gen	Directo	Inverso			
ABCB9	GACCTTCACCTACCGCACTC	CACAGGAGCTCTTCCCACTG			
BEX2	GCCCGAAAGTAGGAAGC	CTCCATTACTCCTGGGCCTAT			
BGLAP	GGCGCTACCTGTATCAATGG	TCAGCCAACTCGTCACAGTC			
CA12	CCAAGGCTACAATCTGTCTGC	GGGCAGGTTCAGCTTCACT			
GDF15	CCGGATACTCACGCCAGA AGAGATACGCAGGTGCAGGT				
GEM	GACAGCATGGACAGCGACT AACCATCAGGGTTCGTTCAT				
IGFBP2	CCAAGAAGCTGCGACCAC	GGGATGTGCAGGGAGTAGAG			
ITGB4	TCAGCCTCTCTGGGACCTT	TATCCACACGGACACACTCC			
KIAA0746	GTTGTCTGTGCAGATGTACGC	TAGCAGGCCAGGTTAAAAA			
KLF4	GCCGCTCCATTACCAAGA	TCTTCCCCTCTTTGGCTTG			
MARS	AACAACCTGGGCAACTTCAT	ACCATCTCAGGCACATAGCC			
MERTK	GGAGACAGGACCAAAGC	GGGCAATATCCACCATGAAC			
PADI4	AAGTGCAAGCTGACCATCTG	GCCGATCTCCATTTCATCC			
PHGDH	TGGTGGAAAAGCAGAACCTT	AACAATAAGGCCTTCACAGTCC			
PITPNC1	GCGCTACTACAAAGAATCTGAGG	GAGCACATGATAGGCTGATGAC			
PSAT1	TCTTGTGCGGGAATTGCTA	AAGGGGACAGCACTGAACTG			
PYGB	TCCAGGGTCCTGTATCCAAA	CCACGAAGTACTCCTGCTTCA			
RGC32	TGCTGATCTTGACAAAACTTTAGC	GCAGGTCCTCGGAACTTTCT			
SHMT2	GAGGGAGAAGGACAGGCAGT	CTCGGCTGCAGAAGTTCTCT			
SMAD4	TGGCCCAGGATCAGTAGGT	CATCAACACCAATTCCAGCA			
THBD	AATTGGGAGCTTGGGAATG	TGAGGACCTGATTAAGGCTAGG			
TNFSF4	GTATCCTCGAATTCAAAGTATCAAAGT	CTGAGTTGTTCTGCACCTTCA			
VIPR1	CTGTCCCCTCATCTTCAAGC	CAGCTGCGGCTTACATTG			

Predicción de diana de miR-126

Se identificaron posibles dianas de miR-126 usando 3 conjuntos de perfiles de microalineamiento: células LM2 control en relación con células LM2 que sobreexpresan miR-126 (GSE n.º 23905) y 2 alineamientos por duplicado de células MDA y LM2 (GSE n.º 23904 y Minn, A. J. et al., Nature 436 (7050), 518 (2005). Con estos alineamientos, se usaron los siguientes criterios para identificar posibles genes diana de miR-126: (1) Genes regulados por disminución más de 1,6 veces con la sobreexpresión de miR-126 en células LM2 y (2) genes regulados por incremento más de 1,4 veces en uno de los dos alineamientos de LM2 frente a MDA. Posteriormente se verificaron todas las posibles dianas mediante qPCR.

Ensayo de indicador de luciferasa

Se realizó en ensayo de indicador de luciferasa tal como se describe en Tavazoie, S. F. et al., Nature 451 (7175), 147 (2008). Brevemente, se clonaron 3'UTR y CDS de longitud completa de ABCB9, IGFBP2, MERTK, PITPNC1, PSAT1, PYGB, SHMT2 y VIPR1 en el vector de indicador de luciferasa dual psiCheck2 (C8021, PROMEGA, Madison, WI). A continuación, se enumeran las secuencias de las CDS y las 3'UTR.

25 CDS de ABCB9

 ${\tt ATGCGGCTGTGGAAGGCGGTGGTGACTTTGGCCTTCATGAGTGTGGACATCTGCGTGACCACG}$ GCCATCTATGTCTTCAGCCACCTGGACCGCAGCCTCCTGGAGGACATCCGCCACTTCAACATCTTT ${\tt GGTGTGGCCAAGAACAGTGCGCTGGGGCCCCGGCGGCTGGGGCCTCGTGGTCATCACCCTC}$ GTGTGCCTCTTCGTGGGCATCTATGCCATGGTGAAGCTGCTGCTCTTCTCAGAGGTGCGCAGGCCC CTCTGGTGGCTGCTCCACCGTGCGGCCAGGCACCAGGCCCTGGAGCCAGGGGCGGCCACCGAG GCTGAGGGCTTCCCTGGGAGCGGCCGGCCACCGCCCGAGCAGGCGTCTGGGGCCACGCTGCAGAAG CTGCTCTCCTACACCAAGCCCGACGTGGCCTTCCTCGTGGCCGCCTCCTTCTTCCTCATCGTGGCA GCTCTGGGAGAGCCTTCCTGCCCTACTACACGGGCCGCGCCATTGATGGCATCGTCATCCAGAAA AGCATGGATCAGTTCAGCACGGCTGTCGTCATCGTGTGCCTGGCCCATTGGCAGCTCATTTGCC GCAGGTATTCGGGGCGCATTTTTACCCTCATATTTGCCAGACTGAACATTCGCCTTCGAAACTGT CTCTTCCGCTCACTGGTGTCCCAGGAGACAAGCTTCTTTGATGAGAACCGCACAGGGGACCTCATC TCCCGCCTGACCTCGGACACCACCATGGTCAGCGACCTGGTCTCCCAGAACATCAATGTCTTCCTG CGGAACACAGTCAAGGTCACGGGCGTGGTGGTCTTCATGTTCAGCCTCTCATGGCAGCTCTCCTTG GTCACCTTCATGGGCTTCCCCATCATCATGATGGTGTCCAACATCTACGGCAAGTACTACAAGAGG CTCTCCAAAGAGGTCCAGAATGCCCTGGCCAGAGCGAGCAACACGGCGGAGGAGCCATCAGTGCC CAGGTGTACAAGCTGAACAGGAAGGAGGCAGCTGCCTACATGTACTACGTCTGGGGCAGCGGGCTC ACACTGCTGGTGGTCCAGGTCAGCATCCTCTACTACGGGGGCCACCTTGTCATCTCAGGCCAGATG ACCAGCGGCAACCTCATCGCCTTCATCATCTACGAGTTTGTCCTGGGAGATTGTATGGAGTCCGTG GGCTCCGTCTACAGTGGCCTGATGCAGGGAGTGGGGGCTGCTGAGAAGGTGTTCGAGTTCATCGAC CGGCAGCCGACCATGGTGCACGATGGCAGCTTGGCCCCCGACCACCTGGAGGGCCGGGTGGACTTT GAGAATGTGACCTTCACCTACCGCACTCGGCCCCACACCCAGGTCCTGCAGAATGTCTCCTTCAGC $\tt CTGTCCCCGGCAAGGTGACGGCCCTGGTGGGGCCCTCGGGCAGTGGGAAGAGCTCCTGTGTCAAC$ TACGACCACAAGTACTTGCACCGTGTGATCTCCCTGGTGAGCCAGGAGCCCGTGCTGTTCGCCCGC TCCATCACGGATAACATCTCCTACGGCCTGCCCACTGTGCCTTTCGAGATGGTGGTGGAGGCCGCA CAGAAGGCCAATGCCCACGGCTTCATCATGGAACTCCAGGACGGCTACAGCACAGAGACAGGGGAG $\tt CCCCAGTCCTCATCCTGGATGAAGCCACCAGCGCTTTGGATGCCGAGAGCGAGTATCTGATCCAG$ CAGGCCATCCATGGCAACCTGCAGAAGCACACGGTACTCATCATCGCGCACCGGCTGAGCACCGTG $\tt CTGCTGGCCCAGGGGGGCCTCTACGCCAAGCTGGTGCAGCGGCAGATGCTGGGGCTTCAGCCCGCC$ GCAGACTTCACAGCTGGCCACAACGAGCCTGTAGCCAACGGCAGTCACAAGGCCTGA

3'UTR de ABCB9

5

CDS de IGFBP2

5 3'UTR de IGFBP2

CDS de MERTK

10

TCAGTCATGATTTTTAACACCTCTGCCTTACCACATCTGTACCAAATCAAGCAGCTGCAAGCCCTG GCTAATTACAGCATTGGTGTTTCCTGCATGAATGAAATAGGCTGGTCTGCAGTGAGCCCTTGGATT TCTAGTGATAATGTGGACATCAGATGGATGAAGCCTCCGACTAAGCAGCAGGATGGAGAACTGGTG GGCTACCGGATATCCCACGTGTGGCAGAGTGCAGGGATTTCCAAAGAGCTCTTGGAGGAAGTTGGC ${\tt CAGAATGCCAGCCGAGCTCGGATCTCTGTTCAAGTCCACAATGCTACGTGCACAGTGAGGATTGCA}$ ${\tt GCCGTCACCAGAGGGGGGGGTTGGGCCCTTCAGTGATCCAGTGAAAATATTTATCCCTGCACACGGT}$ TGGGTAGATTATGCCCCCTCTTCAACTCCGGCGCCTGGCAACGCAGATCCTGTGCTCATCATCTTT GGCTGCTTTTGTGGATTTATTTTGATTGGGTTGATTTTATACATCTCCTTGGCCATCAGAAAAAGA GTCCAGGAGACAAGTTTGGGAATGCATTCACAGAGGAGGATTCTGAATTAGTGGTGAATTATATA GCAAAGAATCCTTCTGTCGGCGAGCCATTGAACTTACCTTACATAGCTTGGGAGTCAGTGAGGAA GAAGGAGATTTGGGTCTGTAATGGAAGGAAATCTTAAGCAGGAAGATGGGACCTCTCTGAAAGTG GCAGTGAAGACCATGAAGTTGGACAACTCTTCACAGCGGGAGATCGAGGAGTTTCTCAGTGAGGCA TCTCAAGGCATCCCAAAGCCCATGGTAATTTTACCCTTCATGAAATACGGGGACCTGCATACTTAC TTACTTTATTCCCGATTGGAGACAGGACCAAAGCATATTCCTCTGCAGACACTATTGAAGTTCATG GTGGATATTGCCCTGGGAATGGAGTATCTGAGCAACAGGAATTTTCTTCATCGAGATTTAGCTGCT CGAAACTGCATGTTGCGAGATGACATGACTGTCTGTGTTGCGGACTTCGGCCTCTCTAAGAAGATT TACAGTGGCGATTATTACCGCCAAGGCCGCATTGCTAAGATGCCTGTTAAATGGATCGCCATAGAA AGTCTTGCAGACCGAGTCTACACAAGTAAAAGTGATGTGTGGGCATTTGGCGTGACCATGTGGGAA ATAGCTACGCGGGGAATGACTCCCTATCCTGGGGTCCAGAACCATGAGATGTATGACTATCTTCTC ${\tt CATGGCCACAGGTTGAAGCAGCCCGAAGACTGCCTGGATGAACTGTATGAAATAATGTACTCTTGC}$ $\tt TGGAGAACCGATCCCTTAGACCGCCCCACCTTTTCAGTATTGAGGCTGCAGCTAGAAAAACTCTTA$ ${\tt TCTGAGGGCCTGGCCCAGGGCTCCACCCTTGCTCCACTGGACTTGAACATCGACCCTGACTCTATA}$ ATTGCCTCCTGCACTCCCGCGCTGCCATCAGTGTGGTCACAGCAGAAGTTCATGACAGCAAACCT GCTGCAGTCACAGCTGAAAAGAACAGTGTTTTACCGGGGGAGAGACTTGTTAGGAATGGGGTCTCC TCCTCAGAAGGCTCAGAAGTCCTGATGTGA

3'UTR de MERTK

5

CDS de isoforma A de PITPNC1

ATGCTGCTGA AAGAGTACCG GATCTGCATG CCGCTCACCG TAGACGAGTA CAAAATTGGA
CAGCTGTACA TGATCAGCAA ACACAGCCAT GAACAGGTG ACCGGGGAGA AGGGGTGGAG
GTCGTCCAGA ATGAGCCCTT TGAGGACCCT CACCATGGCA ATGGGCAGTT CACCGAGAAG
CGGGTGTATC TCAACAGCAA ACTGCCTAGT TGGGCTAGAG CTGTTGTCCC CAAAATATTT
TATGTGACAG AGAAGGCTTG GAACTATTAT CCCTACACAA TTACAGAATA CACATGTTCC
TTTCTGCCGA AATTCTCCAT TCATATAGAA ACCAAGTATG AGGACAACAA AGGAAGCAAT
GACACCATTT TCGACAATGA AGCCAAAGAC GTGGAGAGAG AAGTTTGCTT TATTGATATT
GCCTGCGATG AAATTCCAGA GCGCTACTAC AAAGAATCTG AGGATCCTAA GCACTTCAAG
TCAGAGAAGA CAGGACGGG ACAGTTGAGG GAAGGCTGGA GAGATAGTCA TCAGCCTATC
ATGTGCTCCT ACAAGCTGGT GACTGTGAAG TTTGAGGTCT GGGGGCTTCA GACCAGAGTG
GAACAATTTG TACACAAGGT GGTCCGAGAC ATTCTGCTGA TTGGACATAG ACAGGCTTTT
GCATGGGTTG ATGAGTGGTA TGACATGACA ATGGATGAAG TCCGAGAATT TGAACGAGCC
ACTCAGGAAG CCACCAACAA GAAAATCGGC ATTTCCCAC CTGCAATTC TATCTCCAGC
ATCCCCCTGC TGCCTTCTC CGTCCGCAGT GCGCCTTCTA GTGCTCCATC CACCCCTCC
TCCACAGACG CACCCGAATT TCTGTCCGTT CCCAAAGATC GGCCCCGGAA AAAGTCTGCC

CCAGAAACTC TCACACTTCC AGACCCTGAG AAAAAAGCCA CCCTGAATTT ACCCGGCATG CACTCTTCAG ATAAGCCATG TCGGCCCAAA TCTGAGTAA

CDS de isoforma B de PITPNC1

5

3'UTR de PITPNC1

10

CDS de PSAT1

ATGGACGCCCCAGGCAGGTGGTCAACTTTGGGCCTGGTCCCGCCAAGCTGCCGCACTCAGTGTTG TTAGAGATACAAAAGGAATTATTAGACTACAAAGGAGTTGGCATTAGTGTTCTTGAAATGAGTCAC AGGTCATCAGATTTTGCCAAGATTATTAACAATACAGAGAATCTTGTGCGGGAATTGCTAGCTGTT AACCTCATTGGCTTGAAAGCAGGAAGGTGTGCTGACTATGTGGTGACAGGAGCTTGGTCAGCTAAG GCCGCAGAAGACCCAAGAAGTTTGGGACTATAAATATCGTTCACCCTAAACTTGGGAGTTATACA AAAATTCCAGATCCAAGCACCTGGAACCTCAACCCAGATGCCTCCTACGTGTATTATTGCGCAAAT GAGACGGTGCATGGTGTGGAGTTTGACTTTATACCCGATGTCAAGGGAGCAGTACTGGTTTGTGAC ATGTCCTCAAACTTCCTGTCCAAGCCAGTGGATGTTTCCAAGTTTGGTGATTTTTGCTGGTGCC ${\tt CAGAAGAATGTTGGCTCTGCTGGGGTCACCGTGATGATCTCCGTGATGACCTGCTGGGGTTTGCC}$ CTCCGAGAGTGCCCTCGGTCCTGGAATACAAGGTGCAGGCTGGAAACAGCTCCTTGTACAACACG CCTCCATGTTTCAGCATCTACGTCATGGGCTTGGTTCTGGAGTGGATTAAAAACAATGGAGGTGCC GCGGCCATGGAGAAGCTTAGCTCCATCAAATCTCAAACAATTTATGAGATTATTGATAATTCTCAA ${\tt GGATTCTACGTTTGTCCAGTGGAGCCCCAAAATAGAAGCAAGATGAATATTCCATTCCGCATTGGC}$ AATGCCAAAGGAGATGATGCTTTAGAAAAAAGATTTCTTGATAAAGCTCTTGAACTCAATATGTTG GACGTTCAGAAGCTGGCCGCCTTCATGAAAAAATTTTTTGGAGATGCATCAGCTATGA

3'UTR de PSAT1

ACACATCCTAACCAGGATATACTCTGTTCTTGAACAACATACAAAGTTTAAAGTAACTTGGGGATG GCTACAAAAAGTTAACACAGTATTTTTCTCAAATGAACATGTTTATTGCAGATTCTTCTTTTTTGA AAGAACAACAGCAAAACATCCACAACTCTGTAAAGCTGGTGGGACCTAATGTCACCTTAATTCTGA CTTGAACTGGAAGCATTTTAAGAAATCTTGTTGCTTTTCTAACAAATTCCCGCGTATTTTGCCTTT GCTGCTACTTTTTCTAGTTAGATTTCAAACTTGCCTGTGGACTTAATAATGCAAGTTGCGATTAAT TATTTCTGGAGTCATGGGAACACACAGCACAGAGGGTAGGGGGGCCCTCTAGGTGCTGAATCTACA CATCTGTGGGGTCTCCTGGGTTCAGCGGCTGTTGATTCAAGGTCAACATTGACCATTGGAGGAGTG ACATACTTTATATATGTTTATATTAGCAAGGTCTGTTTTTAATACCATATACTTTATATTTCTATA CATTTATATTTCTAATAATACAGTTATCACTGATATATGTAGACACTTTTAGAATTTATTAAATCC TTGACCTTGTGCATTATAGCATTCCATTAGCAAGAGTTGTACCCCCTCCCCAGTCTTCGCCTTCCT CTTTTTAAGCTGTTTTATGAAAAAGACCTAGAAGTTCTTGATTCATTTTTACCATTCTTTCCATAG GTAGAAGAGAAAGTTGATTGGTTGGTTGTTTTCAATTATGCCATTAAACTAAACATTTCTGTTAA ATTACCCTATCCTTTGTTCTCTACTGTTTTCTTTGTAATGTATGACTACGAGAGTGATACTTTGCT GAAAAGTCTTTCCCCTATTGTTTATCTATTGTCAGTATTTTATGTTGAATATGTAAAGAACATTAA AGTCCTAAAACATCTAA

5 CDS de PYGB

ATGGCGAAGCCGCTGACGGACAGCGAGAAGCGGAAGCAGATCAGCGTGCGCGGCCTGGCGGGGCTA GGCGACGTGGCCGAGGTGCGGAAGAGCTTCAACCGGCACTTGCACTTCACGCTGGTCAAGGACCGC AATGTGGCCACGCCCCGCGACTACTTCTTCGCGCTGGCGCACACGGTGCGCGACCACCTCGTGGGC CGCTGGATCCGCACGCAGCACCTACTACGAGCGCGACCCCAAGCGCATTTATTATCTTTCCCTG GAATTCTACATGGGTCGCACGCTGCAGAACACGATGGTGAACCTGGGCCTTCAGAATGCCTGCGAT GAAGCCATCTATCAGTTGGGGTTAGACTTGGAGGAACTCGAGGAGATAGAAGAAGATGCTGGCCTT GGGAATGGAGGCCTGGGAGGCTGGCAGCGTGTTTCCTTGACTCAATGGCTACCTTGGGCCTGGCA GTAGAGGAGGCCGATGACTGGCTGCGCTACGGCAACCCCTGGGAGAAAGCGCGGCCTGAGTATATG CTTCCCGTGCACTTCTACGGACGCGTGGAGCACACCCCCGACGCGTGAAGTGGCTGGACACACAG GTGGTGCTGGCCATGCCCTACGACACCCCAGTGCCCGGCTACAAGAACAACACCGTCAACACCATG CGGCTGTGGTCCGCCAAGGCTCCCAACGACTTCAAGCTGCAGGACTTCAACGTGGGAGACTACATC GAGGCGGTCCTGGACCGGAACTTGGCTGAGAACATCTCCAGGGTCCTGTATCCAAATGATAACTTC ATCCGCCGCTTCAAGTCGTCCAAGTTCGGCTGCCGGGACCCTGTGAGAACCTGTTTCGAGACGTTC CCAGACAAGGTGGCCATCCAGCTGAACGACACCCACCCGCCCTCTCCATCCCTGAGCTCATGCGG ATCCTGGTGGACGTGGAAAGGTGGACTGGGACAAGGCCTGGGAAATCACGAAGAAGACCTGTGCA TACACCAACCACACTGTGCTGCCTGAGGCCTTGGAGCGCTGGCCCGTGTCCATGTTTGAGAAGCTG CTGCCGCGCACCTGGAGATAATCTATGCCATCAACCAGCGGCACCTGGACCACGTGGCCGCGCTG TTTCCCGGCGATGTGGACCGCCTGCGCAGGATGTCTGTGATCGAGGAGGGGGACTGCAAGCGGATC AACATGGCCCACCTGTGTGTGATTGGGTCCCATGCTGTCAATGGTGTGGCGAGGATCCACTCGGAG ATCGTGAAACAGTCGGTCTTTAAGGATTTTTATGAACTGGAGCCAGAGAAGTTCCAGAATAAGACC AATGGCATCACCCCCCGCCGGTGGCTGCTGCTGCAACCCGGGGCTGGCCGATACCATCGTGGAG AAAATTGGGGAGGAGTTCCTGACTGACCTGAGCCAGCTGAAGAAGCTGCTGCCGCTGGTCAGTGAC GAGGTGTTCATCAGGGACGTGGCCAAGGTCAAACAGGAGAACAAGCTCAAGTTCTCGGCCTTCCTG GAGAAGGAGTACAAGGTGAAGATCAACCCCTCCTCCATGTTCGATGTGCATGTGAAGAGGATCCAC GAGTACAAGCGGCAGCTGCTCAACTGCCTGCACGTCACCCTGTACAATCGAATCAAGAGAGAC CCGGCCAAGGCTTTTGTGCCCAGGACTGTTATGATTGGGGGCAAGGCAGCCCCGGTTACCACATG GCCAAGCTGATCATCAAGTTGGTCACCTCCATCGGCGACGTCGTCAATCATGACCCAGTTGTGGGT GACAGGTTGAAAGTGATCTTCCTGGAGAACTACCGTGTGTCCTTGGCTGAGAAAGTGATCCCGGCC GCTGATCTGTCGCAGCAGATCTCCACTGCAGGCACCGAGGCCTCAGGCACAGGCAACATGAAGTTC ATGCTCAACGGGGCCCTCACCATCGGCACCATGGACGCGCCAACGTGGAGATGGCCGAGGAGGCC GGGGCCGAGAACCTCTTCATCTTCGGCCTGCGGGTGGAGGATGTCGAGGCCTTGGACCGGAAAGGG TACAATGCCAGGGAGTACTACGACCACCTGCCCGAGCTGAAGCAGGCCGTGGACCAGATCAGCAGT GGCTTTTTTTCTCCCAAGGAGCCAGACTGCTTCAAGGACATCGTGAACATGCTGATGCACCATGAC AGGTTCAAGGTGTTTGCAGACTATGAAGCCTACATGCAGTGCCAGGCACAGGTGGACCAGCTGTAC CGGAACCCCAAGGAGTGGACCAAGAAGGTCATCAGGAACATCGCCTGCTCGGGCAAGTTCTCCAGT GACCGGACCATCACGGAGTATGCACGGGAGATCTGGGGTGTGGAGCCCTCCGACCTGCAGATCCCG CCCCCCAACATCCCCCGGGACTAG

3'UTR de PYGB

 ${\tt GCACACCTGCCTTGGCGGGACCAGCGGGCATTTGTTTTCTTGCTGACTTTGCACCTCCTTTTTTC}$ CCCAAACACTTTGCCAGCCACTGGTGGTCCCTGCTTTTCTGAGTACCATGTTTCCAGGAGGGGCCA TTGTAAAGGAAGCCAGAGTTGACAGTACAAAGGGTCGTGGCCAGCCTGCAGCTTCAGCACCTGCC TATGTATTAGCCGATGTCTTTAGTGTTGAGCCTCTGGATTCTGGGGTCTGGGCCAGTGGCCATAGT GTAGCCCCAGTCATCCTGCCCAGCCCTGCCTCCTGGCCATGCCGGGAGGGGTCGGATCCTCTAGGC ATCGCCTTCACAGCCCCCTGCCCCTGCCCTCTGTCCTGGCTCTGCACCTGGTATATGGGTCATGG ACCCAGATGGGGCTTTCCCTTTGTAGCCATCCAATGGGCATTGTGTGGGTGCTTGGAACCCGGGAT GACTGAGGGGGACACTGGAGTGGGTGCTTGTGTCTGCTGTCTCAGAGGCCTTGGTCAGGATGAAGT TGGCTGACACAGCTTAGCTTGGTTTTGCTTATTCAAAAGAGAAAATAACTACACATGGAAATGAAA CTAGCTGAAGCCTTTTCTTGTTTTAGCAACTGAAAATTGTACTTGGTCACTTTTGTGCTTGAGGAG GCCCATTTTCTGCCTGGCAGGGGGCAGGTCTGTGCCCTCCCGCTGACTCCTGCTGTCCTGAGGT TCGTCTGGAAAAAGGACCAGGGGTCCCGGAGGAACCCATTTGTGCTCTGCTTGGACAGCAGGCCTG GCACTGGGAGGTGGGGGTGAGCCCTCACAGCCTTGCCCCTCCCCAAGGCTGGCAACCTGCCTCCC ATTGCCCAAGAGAGGGCAGGGAACAGGCTACTGTCCTTCCCTGTGGAATTGCCGAGAAATCTAG CACCTTGCATGCTGGATCTGGGCTGCGGGGAGGCTCTTTTTCTCCCTGGCCTCCAGTGCCCACCAG GAGGATCTGCGCACGGTGCACAGCCCACCAGAGCACTACAGCCTTTTATTGAGTGGGGCAAGTGCT GGGCTGTGGTCGTGCCCTGACAGCATCTTCCCCAGGCAGCGGCTCTGTGGAGGAGGCCATACTCCC $\tt CTAGTTGGCCACTGGGGCCACCACCTGACCACCACTGTGCCCCTCATTGTTACTGCCTTGTGAGA$ TAAAAACTGATTAAACCTTTGTGGCTGTGGTTGGCTGA

5 CDS de SHMT2

ATGCTGTACTTCTCTTTGTTTTGGGCGGCTCGGCCTCTGCAGAGATGTGGGCAGCTGGTCAGGATG GCCATTCGGGCTCAGCACAGCAACGCAGCCCAGACTCAGACTGGGGAAGCAAACAGGGGCTGGACA GGCCAGGAGAGCCTGTCGGACAGTGATCCTGAGATGTGGGAGTTGCTGCAGAGGGAGAAGGACAGG CAGTGTCGTGGCCTGGAGCTCATTGCCTCAGAGAACTTCTGCAGCCGAGCTGCGCTGGAGGCCCTG GGGTCCTGTCTGAACAACAAGTACTCGGAGGGTTATCCTGGCAAGAGATACTATGGGGGAGCAGAG GTGGTGGATGAAATTGAGCTGCTGTGCCAGCGCCGGGCCTTGGAAGCCTTTGACCTGGATCCTGCA CAGTGGGGAGTCAATGTCCAGCCCTACTCCGGGTCCCCAGCCTACCTGGCCGTCTACACAGCCCTT ATGTCTGACGTCAAGCGGATATCAGCCACGTCCATCTTCTTCGAGTCTATGCCCTATAAGCTCAAC ATCATAGCTGGCACCAGCGCCTATGCTCGCCTCATTGACTACGCCCGCATGAGAGAGGTGTGTGAT GAAGTCAAAGCACCTGCTGGCAGACATGGCCCACATCAGTGGCCTGGTGGCTGCCAAGGTGATT CCCTCGCCTTTCAAGCACGCGGACATCGTCACCACCACTACTCACAAGACTCTTCGAGGGGCCAGG ${\tt TCAGGGCTCATCTTCTACCGGAAAGGGGTGAAGGCTGTGGACCCCAAGACTGGCCGGGAGATCCCT}$ TACACATTTGAGGACCGAATCAACTTTGCCGTGTTCCCATCCCTGCAGGGGGGCCCCCACAATCAT GCCATTGCTGCAGTAGCTGTGGCCCTAAAGCAGGCCTGCACCCCCATGTTCCGGGAGTACTCCCTG GAGCGGGTGCTAGAGCTTGTATCCATCACTGCCAACAAGAACACCTGTCCTGGAGACCGAAGTGCC GCCAAGCTCCAGGATTTCAAATCCTTCCTGCTTAAGGACTCAGAAACAAGTCAGCGTCTGGCCAAC

3'UTR de SHMT2

10

CDS de VIPR1

CTTGGGCCGGCGGCCAGGCGGCCAGGCTGCAGGAGTGTGACTATGTGCAGATGATCGAG ATCTTCAAGCTCTTCTCCTCCATTCAAGGCCGCAATGTAAGCCGCAGCTGCACCGACGAAGGCTGG ACGCACCTGGAGCCTGGCCCGTACCCCATTGCCTGTGGTTTGGATGACAAGGCAGCGAGTTTGGAT GAGCAGCAGACCATGTTCTACGGTTCTGTGAAGACCGGCTACACCATTGGCTACGGCCTGTCCCTC GCCACCCTTCTGGTCGCCACAGCTATCCTGAGCCTGTTCAGGAAGCTCCACTGCACGCGGAACTAC ATCCACATGCACCTCTTCATATCCTTCATCCTGAGGGCTGCCGCTGTCTTCATCAAAGACTTGGCC CTCTTCGACAGCGGGAGTCGGACCAGTGCTCCGAGGGCTCGGTGGGCTGTAAGGCAGCCATGGTC GTACCCAGCACATTCACCATGGTGTGGACCATCGCCAGGATCCATTTTGAGGATTATGGGTGCTGG GACACCATCAACTCCTCACTGTGGTGGATCATAAAGGGCCCCATCCTCACCTCCATCTTGGTAAAC TTCATCCTGTTTATTTGCATCATCCGAATCCTGCTTCAGAAACTGCGGCCCCCAGATATCAGGAAG AGTGACAGCAGTCCATACTCAAGGCTAGCCAGGTCCACACTCCTGCTGATCCCCCTGTTTGGAGTA CACTACATCATGTTCGCCTTCTTTCCGGACAATTTTAAGCCTGAAGTGAAGATGGTCTTTGAGCTC GTCGTGGGGTCTTTCCAGGGTTTTGTGGTGGCTATCCTCTACTGCTTCCTCAATGGTGAGGTGCAG GCGGAGCTGAGGCGGAAGTGGCGGCGCTGGCACCTGCAGGGCGTCCTGGGCTGGAACCCCAAATAC AGCCCAGGTGCCGCCGCTCCTCCAGCTTCCAAGCCGAAGTCTCCCTGGTCTGA

3'UTR de VIPR1

5

 $\tt CCACCAGGATCCCAGGGGCCCAAGGCGGCCCCTCCCGCCCTTCCCACTCACCCCGGCAGACGCCG$ GGGACAGAGGCCTGCCCGGCCGGCCAGCCCCGGCCCTGGGCTCGGAGGCTGCCCCCGGCCCCCT GAGAGAGATGGGAGCTCCTCTCTGGAGGATTGCAGGTGGAACTCAGTCATTAGACTCCTCCTCCA AAGGCCCCTACGCCAATCAAGGGCAAAAAGTCTACATACTTTCATCCTGACTCTGCCCCCTGCTG GCTCTTCTGCCCAATTGGAGGAAAGCAACCGGTGGATCCTCAAACAACACTGGTGTGACCTGAGGG CAGAAAGGTTCTGCCCGGGAAGGTCACCAGCACCACACACGGTAGTGCCTGAAATTTCACCATT GCTGTCAAGTTCCTTTGGGTTAAGCATTACCACTCAGGCATTTGACTGAAGATGCAGCTCACTACC AGCACACCTATCTTAGTGGTTCCCCACCGAAGTGGACTGGCCCCTGGGTCAGTCTGGTGGGAAGGAC GGTGCAACCCAAGGACTGAGGGACTCTGAAGCCTCTGGGAAATGAGAAGGCAGCCACCAGCGAATG CTAGGTCTCGGACTAAGCCTACCTGCTCTCCAAGTCTCAGTGGCTTCATCTGTCAAGTGGGATCTG TCACACCAGCCATACTTATCTCTCTGTGCTGTGGAAGCAACAGGAATCAAGAGCTGCCCTCCTTGT CCACCACCTATGTGCCAACTGTTGTAACTAGGCTCAGAGATGTGCACCCATGGGCTCTGACAGAA CCTTCACCCCAGTGGCCACTCAGCTTCCTACCCACACCTCTGCCAGAAGATCCCCTCAGGACTGCA ACAGGCTTGTGCAACAATAAATGTTGGCTTGGA

10

15

Se transfectaron células MDA-MB-231 que expresan o bien una horquilla de control o bien un miR-126 de selección como diana en horquilla con el constructo indicador específico respectivo. Treinta horas tras la transfección, se lisaron las células y se determinó la razón de expresión de luciferasa de *Renilla* con respecto a la de luciérnaga usando un ensayo de luciferasa dual (E1910, PROMEGA). Las secuencias del cebador de clonación se muestran en la tabla 2 a continuación.

Tabla 2. Cebadores de clonación

Gene	Forward	Reverse			
3'UTR de ABCB9	CCGGCCCTCGAGTGGGGGGCCCCTGCTTCTC C	CCGGCCGCGGCCGCTTAGGGGTAAGAGG TAGTAC			
CDS de ABCB9	CCGGCCCTCGAGATGCGGCTGTGGAAGGCGG T	CCGGCCGCGGCCGCTCAGGCCTTGTGAC TGCCGT			
3'UTR de IGFBP2	CCGGCCCTCGAGACCGCAGCCAGCCGGTGCC T	CCGGCCGCGCCGCTTACTTTTCCTTCC TTTAAT			
CDS de IGFBP2	CCGGCCCTCGAG ATGCTGCCGAGAGTGGGCTG	CCGGCCGCGGCCGCCTACTGCATCCGCT GGGTGT			
3'UTR de MERTK	CCGGCCCTCGAGGGAGAGACA T	CCGGCCGCGCCCCTTCCTTATTCATA TTTTAT			
CDS de MERTK	CCGGCCCTCGAGATGGGGCCCGGCTGC	CCGGCCGCGCCGCTCACATCAGGACTT CTGAGC			
3'UTR de PITPNC1	CCGGCCCTCGAG CAATGGATGAAGTCCGAGAA	CCGGCCGCGGCCGCTTAAAAGACAGAAA CAAGTA			
CDS de PITPNC1	CCGGCCCTCGAG ATGCTGCTGAAAGAGTACCG	CCGGCCGCGCCCCTCATGTACTTGTTT GGGCAT			
3'UTR de PSAT1	CCGGCCCTCGAGACACATCCTAACCAGGATA T	CCGGCCGCGGCCGCTTAGATGTTTTAGG ACTTTA			
CDS de PSAT1	CCGGCCGCGCCGCTCATAGCTGATGCATCT CCA	CCGGCCCTCGAGATGGACGCCCCCAGGC AGGT			
3'UTR de PYGB	CCGGCCCTCGAGGCACACCCTGCCTTGGCGG G	CCGGCCGCGCCGCTCAGCCAACCACAG CCACAA			
CDS de PYGB	CCGGCCGTTTAAACATGGCGAAGCCGCTGAC GGA	CCGGCCGCGGCCCTAGTCCCGGGGGA TGTTGG			
3'UTR de SHMT2	CCGGCCCTCGAGAGGCACCTGGGAAATGAGG C	CCGGCCGCGGCCGCCAAAATACAATTTC ATTTAA			
CDS de SHMT2 CCGGCCCTCGAGATGCTGTACTTCTCTTTGT CCGGCCGCGGCCGCTCAA		CCGGCCGCGCCCCTCAATGCTCATCAA AACCAG			
CDS de VIPR	CCGGCCGTTTAAACTCAGACCAGGGAGACTT CGG	CCGGCCCTCGAGATGCGCCCGCCAAGTC CGCT			
3'UTR de VIPR1	CCGGCCCTCGAGCCACCAGGATCCCAGGGGC C	CCGGCCGCGCCCCCAAGCCAACATT TATTGT			

Se identificaron los posibles sitios de miR-126 en los genes mediante la alineación con la secuencia de miR-126 complementaria 5-TTACTCACGGTACGA-3, y se realizó mutagénesis usando el kit de mutagénesis dirigida a múltiples sitios QUICKCHANGE (200514, AGILENT TECHNOLOGIES, Santa Clara, CA). Basándose en el buscador de genomas UCSC, se mutó la 3'UTR de MERTK en la posición 5 (de GTT a CAC), se mutó la 3'UTR de IGFBP2 en la posición 246 (de GGT a CAC), se mutó la CDS de PITPNC1 en la posición 709 (de TAC a GTA) del codón inicial y se mutó la CDS de SHMT2 en la posición 1126 (de GGT a CAC). Los cebadores de mutagénesis se muestran en la tabla 3 a continuación

Tabla 3. Cebadores de mutagénesis

Gen	Directo
3'UTR de IGFBP2	AAGGGGGTTGTGGTCGGGGAGCTGGCACACAGGTTTGGGGAGGGGGAAGAGAA
3'UTR de MERTK	ATTCTAGGCGATCGCTCGAGGGAGACACGCGGGGAGACATTCCAAAAATCAAG
CDS de PITPNC1	TATGACAATGGATGATGTTCGGGAAGTAGAGAAAAACATGCATG
CDS de SHMT2	GCGAGGCTACTCACTGGTATCAGGTCACACTGACAACCACCTGGTGCTGGTGG
	Inverso
3'UTR de IGFBP2	TTCTCTTCCCCCCCAAACCTGTGTGCCAGCTCCCCGACCACAACCCCCTT
3'UTR de MERTK	CTTGATTTTTGGAATGTCTCCCCGCGTGTCTCCCTCGAGCGATCGCCTAGAAT

Gen	Directo
CDS de PITPNC1	TGGTTTGTTCATGCATGTTTTTCTCTACTTCCCGAACATCATCCATTGTCATA
CDS de SHMT2	CCACCAGCACCAGGTGGTTGTCAGTGTGACCTGATACCAGTGAGTAGCCTCGC

Proliferación de células cancerosas

Se sembraron células LM2 (2,5 X 10⁴) que expresan una horquilla de control o IGFBP2, PITPNC1 o MERTK de selección como diana en horquillas cortas por triplicado en placas de 6 pocillos y se contaron las células viables a los 5 días tras la siembra.

Histología

- 10 Se prepararon pulmones mediante fijación por perfusión con paraformaldehído al 4 % infundido a través del sistema vascular y a través de la tráquea. Tras la escisión, se colocaron los pulmones en paraformaldehído al 4 % durante la noche y se incluyeron en parafina. Cinco minutos antes de la fijación, se inyectaron 100 mg de lectina biotinilada (B-1175, VECTOR LABORATORIES) en la circulación a través de la vena de la cola. Se tiñeron cortes en parafina de cinco micrómetros de grosor con anticuerpos primarios contra MECA-32 (Developmental Studies Hybridoma Bank, 15 Universidad de Iowa, IA), vimentina (VP-V684, VECTOR LABORATORIES) y con avidina marcada con FITC (B-1175, VECTOR LABORATORIES) para la detección de la lectina biotinilada inyectada. Los anticuerpos primarios se detectaron usando diversos anticuerpos secundarios conjugados con el colorante Alexa Flour. Se obtuvo la fluorescencia usando un microscopio confocal de barrido láser ZEISS (LSM 510). Para determinar la vascularización de los nódulos metastásicos, se cuantificaron las señales de MECA-32 y lectina usando IMAGEJ mientras que las 20 extensiones de los nódulos metastásicos se determinaron a través de cotinción con vimentina humana. Se determinó el área colectiva cubierta por vasos restando el fondo (radio de bola rodante de 1 píxel) y usando un umbral predeterminado como punto de corte. La densidad de vasos se da como el porcentaje del área cubierta por los vasos sanguíneos en comparación con el área total del nódulo metastásico. Un nódulo metastásico se definió por un área positiva para tinción con vimentina con un área total por encima de 2000 um². 25
- Se escindieron tumores de panículo adiposo mamario y se sumergieron en paraformaldehído al 4 % durante 24 horas. Se incluyó el tejido fijado en parafina y se cortó en cortes de 5 µm de grosor. Se realizó inmunodetección usando anticuerpos dirigidos hacia MECA-32 (Developmental Studies Hybridoma Bank), Mac-2 (CL8942AP, Cederlane, Burlington) y CD45 (550539, BD Biosciences). La detección de anticuerpos primarios se realizó usando diversos anticuerpos secundarios biotinilados (Vector Laboratories). Posteriormente se amplificó la señal usando el kit ABC (Vector Laboratories) y se detectó usando DAB (3,3'-diaminobencidina). Antes del montaje, los portaobjetos se contratiñeron con hematoxilina.
- Se determinó la permeabilidad del dextrano tal como se describe en Arnold *et al.*, 2010 Dis Model Mech 3 (1-2), 57 (2010) con ligeras modificaciones. Brevemente, se infundió un bolo intravenoso de rodamina B 10 mg/ml marcada con dextrano de bajo peso molecular (1 x 10⁴ kDa: D1824, INVITROGEN) en PBS estéril. Quince minutos después, se anestesió a los ratones y se perfundieron los pulmones con OCT, se extrajeron y se congelaron en hielo seco. Se realizó un corte de diez micrómetros y se midió la permeabilidad del dextrano dentro de los nódulos metastásicos (tal como se determina mediante tinción con vimentina) mediante microscopía de fluorescencia. Usando IMAGEJ, se usó un umbral preseleccionado para determinar los niveles de permeabilidad del dextrano. Los resultados se presentan como el porcentaje medio del área de umbral dentro del nódulo metastásico.

ELISA

45 Se determinaron los niveles de IGBFP2 en medios acondicionados usando un ELISA de IGFBP2 (AAHBLG-1-2, RAYBIOTECH, Norgross, GA).

Inmunotransferencia de tipo Western

Se prepararon lisados celulares de células MDA-MB-231 lisando células en 1 ml de tampón RIPA helado que contenía inhibidores de proteasa (ROCHE, Mannheim, Alemania). Se prepararon medios acondicionados incubando células MDA-MB-231 en medios libres de suero durante 24 horas. Entonces se concentraron los medios veinte veces mediante filtración por centrifugación. Posteriormente se separaron 40 μg de proteína en un SDS-PAGE al 4-12 % y se transfirieron a una membrana de PVDF. Se usó un anticuerpo monoclonal contra MERTK humana (CVO-311, CAVEO THERAPEUTICS, Aurora, CO) para detectar MERTK.

Análisis de supervivencia libre de metástasis

Tras identificar los ocho genes regulados por miR-126 a través de un análisis integrador, se determinó si la expresión de estos genes en agregado se correlaciona con metástasis clínica humana. Se usaron datos de microalineamientos publicados de series de UCSF46, NKI47 y MSKCC13 para obtener valores de expresión a nivel

de sonda. Para los genes que estaban representados por múltiples sondas, se usaron sondas que presentaban una intensidad de señal suficiente, así como el mayor coeficiente de variación (en su mayor parte informativo) en un conjunto de datos independiente. Cada cáncer de mama se clasificó como positivo para rasgo distintivo de miR-126 si la suma de puntuaciones Z para los valores de expresión de los 8 genes era mayor que la media de la población. Se generaron curvas de supervivencia libre de metástasis de Kaplan-Meier usando el software GRAPHPAD PRISM 5 (GRAPHPAD Software, Inc., LA Jolla, CA). Se determinó la significación estadística para las diferencias entre curvas de supervivencia de pacientes usando la prueba de rangos logarítmicos de Mantel-Cox usando el software GRAPHPAD Prism 5.

10 Análisis de la densidad de vasos

15

20

25

30

35

40

45

50

55

60

65

Se usó la prueba de Kolmogorov-Smirnov para determinar la significación de la diferencia en la densidad de vasos sanguíneos para tinción tanto de MECA-32 y de lectina usando el software disponible públicamente en physics.csbsju.edu/stats/KS-test.html.

EJEMPLO 2: Colonización metastásica sistémica suprimida de mIR-126 endógeno

En este ejemplo, se llevaron a cabo ensayos para analizar la evolución metastásica en la práctica de pérdida de función de miR-126. Esto permitió comparar acontecimientos metastásicos *in vivo* entre células de control y con silenciamiento de miR-126 (KD) y revelar la influencia de miR-126 endógeno sobre la colonización metastásica.

Se generó una línea celular de cáncer de mama MDA-231 en la que miR-126 estaba silenciado de manera notable (silenciamiento del 94 %; figura 7) usando el sistema de inhibición de microARN anti sentido de miR-Zip. Se inyectaron miR-126 KD y células KD de control en ratones inmunodeficientes y se evaluaron para determinar la capacidad de colonización metastásica en ensayos de colonización en la vena de la cola. El silenciamiento de miR-126 en células escasamente metastásicas aumentó la colonización metastásica pulmonar en 4,2 veces (*P* = 0,0073) tal como se evaluó mediante obtención de imágenes de bioluminiscencia cuantitativa (figura 1a) y aumentó espectacularmente la colonización metastásica en histología macroscópica (figura 1a). La inyección intracardiaca de MDA miR-126 KD y células KD de control reveló adicionalmente que miR-126 endógeno suprime la metástasis sistémica tal como se pone de manifiesto por la colonización potenciada de múltiples órganos tales como el cerebro y el hueso en la práctica de silenciamiento de miR-126 (figura 1b-c; *P* = 0,0232(b), *P* = 0,0119(c)).

A continuación, se llevaron a cabo ensayos para examinar hasta qué punto en aumento espectacular en la colonización metastásica observada con la inhibición de miR-126 se debía al efecto de miR-126 sobre el crecimiento tumoral. Para este fin, se inyectaron miR-126 KD y células KD de control en los panículos adiposos mamarios de ratones inmunodeficientes y se monitorizó el volumen tumoral. La inhibición de miR-126 condujo a un aumento modesto (39,4 %) en el volumen tumoral (figura 1d) que fue de un orden de magnitud más pequeño que el efecto de la inhibición de miR-126 sobre la potenciación de la metástasis, lo que indica que el efecto de miR-126 sobre la metástasis no es simplemente el resultado de su efecto sobre la supresión del crecimiento tumoral.

Para entender mejor el papel de este miARN sobre la colonización metastásica, se cuantificaron los números y los tamaños de todas las metástasis a través del análisis de imágenes de pulmones de ratones de control y con miR-126 KD (figura 1e). Esto reveló un aumento sustancial en el número total de nódulos metastásicos en pulmones con miR-126 KD en relación con los pulmones de control (13,6±3,2 frente a 4,9±1,8; P = 0,03). Este aumento se observó para nódulos tanto pequeños como grandes (figura 1e) y reflejó el aumento en el número de metástasis en otros órganos (figura 1c). De manera importante, el aumento en el número de nódulos fue más pronunciado para los tamaños de nódulo más pequeños en relación con los más grandes, lo que concuerda principalmente con un aumento en el inicio de metástasis más que con un aumento en el crecimiento de la metástasis establecida. Sin restringirse a la teoría, si el silenciamiento de miR-126 proporciona una ventaja de inicio de metástasis para las células cuando inicial la metástasis en el nicho metastásico, su inducción en la fase inicial de formación de metástasis reducirá el número de nódulos metastásicos. Para someter esto a prueba, se indujo la expresión de miR-126 en células de cáncer de mama metastásicas (LM2) que mostraban silenciamiento de este miARN usando un sistema tet-on condicionado. De acuerdo con esto, el restablecimiento de la expresión de miR-126 a células LM2 una vez que se han extravasado en el pulmón (día 3) redujo significativamente la colonización metastásica (figura 1f). Por tanto, el restablecimiento de la expresión de miR-126 en esta fase temprana de inicio de metástasis en el nicho redujo significativamente el número de nódulos metastásicos visualizados en el día 49.

Los hallazgos anteriores demostraron que el silenciamiento de miR-126 potencia la eficacia de formación de metástasis que conduce a un mayor número de metástasis. Los hallazgos revelaron por tanto que miR-126 endógeno es un supresor del inicio metastásico y la colonización metastásica.

EJEMPLO 3: miR-126 suprime el reclutamiento endotelial metastásico por células de cáncer de mama

Los hallazgos anteriores sugieren que el silenciamiento de miR-126 puede dar a las células metastásicas y a la metástasis incipiente una ventaja durante la colonización metastásica. Aunque se considerar la base de esta ventaja, se observó que las metástasis con silenciamiento de miR-126 mostraban densidades de vasos superiores

en visualización microscópica de cortes tisulares de pulmón con H&E. Para cuantificar esto, se realizó coinmunotinción para vimentina humana, que marca células de cáncer de mama MDA-231, y el marcador endotelial MECA-32, que permitía cuantificar la densidad endotelial dentro de nódulos metastásicos en pulmones de ratones a los que se inyectaron o bien células de cáncer de mama de control o con miR-126 KD. El análisis de imágenes y la cuantificación revelaron que las metástasis derivadas de células miR-126 KD tenían una densidad endotelial significativamente suprior (figura 2a; aumento del 35 %; P= 0,02).

Para determinar si la densidad endotelial potenciada en metástasis de miR-126 KD representa vasos funcionales, se inyectó lectina de unión a azúcar en la circulación de ratones antes de las extracciones de pulmón, y posteriormente se tiñeron para determinar la lectina inyectada. La citoquímica de lectina reveló que la metástasis de silenciamiento de miR-126 aumentó la densidad de vasos sanguíneos funcionales (figura 2b; aumento del 33 %; *P* = 0,001).

Finalmente, se buscó determinar si miR-126 regula la perfusión hemodinámica a metástasis a través de perfusión intravenosa y posterior visualización de dextrano de bajo peso molecular (1 x 10^4 kDa). De hecho, la metástasis de miR-126 KD presentó una perfusión significativamente aumentada en relación con la metástasis de control (figura 8; P = 0.02).

Por tanto, estos métodos independientes y complementarios revelan que miR-126 suprime la perfusión y la angiogénesis metastásica funcional *in vivo*. Estos hallazgos están de acuerdo con el silenciamiento de miR-126 da a las metástasis una ventaja selectiva en la progresión angiogénica.

EJEMPLO 4: mir-126 suprime el reclutamiento endotelial en cáncer in vitro

En este ejemplo, se buscó determinar la base celular para el fenotipo de angiogénesis dependiente de miR-126 observado.

Se analizó la capacidad de miR-126 para regular diversas interacciones endoteliales del cáncer tales como adhesión endotelial, proliferación endotelial y formación de tubos en células LM2 metastásicas (derivadas originalmente de la población MDA-231 escasamente metastásica, Minn, A. J. et al., Nature 436 (7050), 518 (2005)) en cocultivo con células endoteliales de vena umbilical humana (HUVEC). El restablecimiento de la expresión de miR-126 a células LM2, que muestran silenciamiento de miR-126, no suprimió la adhesión de las células metastásicas a células endoteliales (figura 2c), la proliferación de células endoteliales (figura 2d) o la formación de tubos tal como se evalúa mediante cuantificación automatizada de puntos de ramificación (figura 2e). De acuerdo con esto, la inhibición de miR-126 en células MDA-231 tampoco no potenció estos fenotipos angiogénicos (figuras 9a-c).

Se investigó el papel de miR-126 en la regulación del reclutamiento de células endoteliales a células metastásicas. Células LM2 metastásicas colocadas en el fondo de una cámara de Boyden reclutaron fuertemente HUVEC a través de un inserto Transwell poroso y presentaron una capacidad significativamente potenciada para reclutar endotelios en comparación con su línea parental escasamente metastásica (figura 2f). El reclutamiento endotelial por células metastásicas se inhibió fuertemente (reducción del 47 %) por la sobreexpresión de miR-126 (figura 2g). A la inversa, el silenciamiento de miR-126 en la población MDA-231 parental escasamente metastásica aumentó significativamente el reclutamiento endotelial (aumento del 146 %; figura 2g). La línea CN34LM1a, un derivado de pulmón altamente metastásico que se obtuvo previamente a través de selección in vivo de la población maligna primaria CN34 (Tavazoie et al., Nature 451 (7175), 147 (2008)) (una población maligna primaria independiente obtenida del líquido pleural de una paciente con cáncer de mama metastásico Gupta et al., Nature 446 (7137), 765 (2007)), también presentó capacidad de reclutamiento endotelial significativamente potenciada en comparación con su línea parental escasamente metastásica (figura 2h). Ambos experimentos de ganancia de función y pérdida de función revelaron que miR-126 también suprime significativamente el reclutamiento endotelial por la población de CN34 (figura 2i). Los hallazgos revelaron que la capacidad de reclutamiento endotelial potenciada era una característica clave de las poblaciones con cáncer de mama metastásico e identificaron miR-126 endógeno como un regulador principal de este proceso.

A continuación, se buscó determinar si miR-126 endógeno puede regular selectivamente el reclutamiento endotelial a células de cáncer de mama independientemente de su ubicación. Por tanto, se implantaron células de cáncer de mama metastásicas que expresaban una horquilla de control o que sobreexpresaban miR-126 en los panículos adiposos mamarios de ratones. Las células metastásicas, que presentan expresión de miR-126 silenciada, presentaron densidad de vasos superior en la glándula mamaria en relación con las células escasamente metastásicas. El reclutamiento endotelial a células metastásicas en el panículo adiposo mamario se inhibió por la expresión de miR-126 (figura 2j), mientras que el silenciamiento de miR-126 en células escasamente metastásicas aumentó significativamente el reclutamiento endotelial a y el contenido en vasos funcionales de tumores de mama en crecimiento en panículos adiposos mamarios tal como se determina por tinción con meca-32 (figura 2j) y tinción con lectina (figura 10a), respectivamente. Este efecto del reclutamiento fue selectivo para células endoteliales ya que el silenciamiento de miR-126 no aumentó la densidad de leucocitos (figura 10b) o la densidad de macrófagos (figura 16c) en tumores mamarios.

Los hallazgos anteriores revelaron que miR-126 regula selectivamente el reclutamiento endotelial a células de

34

65

10

15

20

25

30

35

40

45

50

55

cáncer de mama independientemente de su ubicación anatómica.

15

20

30

35

40

EJEMPLO 5: El regulón de mir-126 promueve el reclutamiento endotelial

- 5 En este ejemplo, se realizó una investigación sistemática para identificar las dianas moleculares de miR-126 que median el reclutamiento endotelial y la colonización metastásica. Específicamente, se realizó análisis de transcriptomas de células LM2 que sobreexpresan miR-126 y se compararon alteraciones de transcrito global en células MDA-231 escasamente metastásicas y células LM2 altamente metastásicas.
- Sin restringirse a la teoría, se lanzó la hipótesis de que, dado el papel de miR-126 en inhibir la metástasis, los mediadores biológicos de miR-126 presentan una expresión aumentada en células metastásicas y de que se suprimirían por este miARN. Se identificó un conjunto de 23 genes ya que se suprimieron tras la sobreexpresión de miR-126 (>1,6 veces; figura 11; tabla 4), y se regularon por incremento (>1,4 veces) en células metastásicas en relación con la línea parental de MDA-231 (figura 11).
 - De estos genes, se validó que 14 habían cambiado significativamente mediante PCR cuantitativa en tiempo real (qPCR) de células MDA-231 control y miR-126KD así como células LM2 control y células que sobreexpresaban miR-126. Para aumentar adicionalmente la confianza de esta lista, se sometió a prueba la expresión de estos genes en los derivados metastásicos de la línea CN34 independiente, y se identificó que 8 genes presentaban una expresión significativamente aumentada en múltiples derivados de CN34 metastásicos en relación con su línea parental (figura 3a).
 - La contribución de estos 8 genes a la metástasis humana se comprobó determinando si su sobreexpresión en cánceres de mama humanos primarios se correlaciona con la supervivencia libre de metástasis distal. Era significativamente más probable que las pacientes cuyos cánceres de mama primarios presentaban sobreexpresión desarrollaran metástasis distal y experimentaran una supervivencia libre de metástasis más corta que aquellas cuyos cánceres no sobreexpresaban estos genes (figura 3b-d). Esta asociación presentó significación en las cohortes UCSF (n=117; P < 0,0165), NKI (n=295; P < 0,0005) y las cohortes combinadas MSK/NKI/UCSF (n=494; P < 0,0004). Por tanto, miR-126 suprimió la expresión de un conjunto de ocho genes que estaban correlacionados positiva y fuertemente con recidiva metastásica humana.
 - A continuación, se llevaron a cabo ensayos para identificar las dianas directas de miR-126. Para este fin, se clonaron las regiones no traducidas en 3' (3'-UTR) y las secuencias codificantes (CDS) de los ocho genes regulados de miR-126 y se usaron para generar constructos de fusión de luciferasa. Ensayos de indicador de luciferasa con este conjunto completo revelaron que miR-126 regula la expresión de IGFBP2 y MERTK a través de interacciones con sus 3'-UTR y PITPNC1 y SHMT2 a través de interacciones con sus regiones codificantes ya que el silenciamiento de miR-126 endógeno en células MDA-231 potenciaba la expresión de estos genes de fusión de luciferasa (figura 3e y figura 12). La mutación de secuencias complementarias de miR-126 en las 3'-UTR de IGFBP2 y MERTK anularon la regulación mediada por miR-126 de la expresión de luciferasa (figura 3f), mientras que la mutación de las CDS de PIPNC1 y SHMT2 anularon la selección como diana mediada por miARN (figura 3f).

Tabla 4. Reducción en veces por miR-126 en células LM2

Nombre del gen	Veces						
GDF15	-4,15	CTAGE5	-1,93	PRKAR1A	-1,80	KIAA0746	-1,71
RARA	-3,53	CDA	-1,93	CHAC1	-1,80	PADI4	-1,71
P8	-2,98	FLJ46385	-1,92	SCD	-1,80	BEX2	-1,71
RPS6KA2	-2,54	RALGPS2	-1,92	PCK2	-1,80	TAF13	-1,70
C20orf100	-2,47	BDNFOS	-1,91	CDC42BPB	-1,79	KLF4	-1,70
C12orf39	-2,38	MBNL1	-1,91	DSCR1	-1,79	DLG1	-1,70
HERPUD1	-2,37	MKX	-1,91	TCF7L2	-1,79	DDEFL1	-1,70
СТН	-2,36	LPIN1	-1,90	TNRC6C	-1,79	MID1IP1	-1,70
LOC23117	-2,35	DNAJB9	-1,90	TncRNA	-1,78	LOC124220	-1,70
LOC23117	-2,35	TncRNA	-1,90	CLDN23	-1,78	C10orf58	-1,70
ASNS	-2,35	BCL2L1	-1,90	GPR153	-1,78	CDKN1C	-1,70
RGC32	-2,33	DNAJB9	-1,90	KRTHA4	-1,78	DTX3	-1,70
СТН	-2,33	ENTH	-1,89	SCD	-1,78	SETD5	-1,70

ES 2 763 087 T3

Nombre del gen	Veces						
NRP1	-2,28	S100A5	-1,89	VIPR1	-1,78	SLC7A11	-1,69
RIT1	-2,26	CST4	-1,89	SLC1A4	-1,77	WSB1	-1,69
HMGA1	-2,24	TRIB3	-1,89	PNPLA3	-1,77	KIAA1618	-1,69
DDIT3	-2,20	PHLDA1	-1,89	PPP1R11	-1,77	PYGB	-1,69
MBNL1	-2,20	RGNEF	-1,89	CFLAR	-1,77	CSNK1A1	-1,69
SUPT6H	-2,16	GFPT1	-1,88	NSF	-1,77	THBD	-1,68
LPIN1	-2,15	TMTC2	-1,88	ABHD4	-1,77	CG012	-1,68
ZNF451	-2,12	TPARL	-1,87	SOCS2	-1,77	DDX17	-1,68
THBD	-2,10	INHBB	-1,87	TACSTD2	-1,76	BGLAP	-1,68
ITGB4	-2,10	FASN	-1,87	SESN2	-1,76	MAGI1	-1,68
BHLHB8	-2,09	CALB2	-1,86	CTNNB1	-1,76	WARS	-1,68
SLCO4C1	-2,09	IGFBP2	-1,86	MAP1LC3B	-1,76	LOC283050	-1,68
AFF4	-2,07	SLC6A9	-1,86	LOC165186	-1,76	AQP3	-1,68
ATP6V0D2	-2,05	PLAT	-1,86	FLJ20054	-1,75	LOC400581	-1,68
KRT19	-2,05	SIN3B	-1,86	ZNF69	-1,74	CILN2	-1,68
SMAD3	-2,04	S100A6	-1,85	TNFSF4	-1,74	CD97	-1,68
ARHGAP5	-2,04	WSB1	-1,85	LOC441453	-1,74	CNTNAP3	-1,67
DNAJB9	-2,04	C20orf18	-1,85	MARS	-1,74	PDE2A	-1,67
ATF3	-2,03	HMGCS1	-1,85	LOC647135	-1,74	AOF1	-1,67
LOC440092	-2,03	MBNL1	-1,85	ACSL3	-1,74	IDS	-1,67
RIT1	-2,03	MBNL1	-1,85	SCD	-1,74	SCD	-1,67
ZNF499	-2,02	WHSC1L1	-1,85	SERINC2	-1,73	SHMT2	-1,67
ATXN1	-2,02	NCF2	-1,85	ZCCHC7	-1,73	RNF10	-1,67
CST6	-2,01	MERTK	-1,84	ETNK1	-1,73	CRLF3	-1,67
WBP2	-2,00	PFAAP5	-1,84	CHRM3	-1,73	PSAT1	-1,67
ZFAND3	-2,00	RTN4	-1,83	DCAMKL1	-1,73	FNBP1	-1,67
FLJ38717	-1,99	LARP6	-1,83	C20orf119	-1,73	LOC554203	-1,66
LOC158160	-1,99	TRIB3	-1,83	CDKN1C	-1,73	MYADM	-1,66
PITPNC1	-1,99	RAB37	-1,83	CXorf33	-1,72	ATXN1	-1,66
JMJD1C	-1,99	LOC399959	-1,83	LPIN1	-1,72	CA12	-1,66
PRO2852	-1,98	SYTL1	-1,82	GEM	-1,72	SF3B4	-1,66
AGR2	-1,97	SDF2L1	-1,82	KIAA0746	-1,72	KHDRBS1	-1,66
SLC7A5	-1,94	RPH3AL	-1,82	LOC115648	-1,72	EGFR	-1,66
NSF	-1,94	OGDH	-1,82	TIA1	-1,72	FRMD5	-1,65
BCL2L1	-1,94	CDIL	-1,81	FLJ10120	-1,71	ZNF252	-1,65
KIAA1267	-1,93	RHOQ	-1,81	DUSP5	-1,71	FNBP1	-1,65
NT5C2	-1,93	ITGB4	-1,81	RNF12	-1,71	TNKS2	-1,65
C9orf3	-1,65	C14orf118	-1,61				
AOF1	-1,65	PIAS1	-1,61				

Nombre del gen	Veces						
PDP2	-1,65	PXN	-1,61				
MLLT10	-1,65	C14orf118	-1,61				
WIRE	-1,65	PIAS1	-1,61				
ATXN1	-1,65	FLJ43663	-1,65				
WARS	-1,65	SOS2	-1,61				
RAB5B	-1,64	FLJ43663	-1,60				
SQLE	-1,64	HCRP1	-1,60				
SCNN1A	-1,64	LOC646916	-1,60				
C14orf78	-1,64	NUP43	-1,60				
SHMT2	-1,63	PEBP1	-1,60				
PSCD3	-1,63	FLJ23556	-1,60				
LOC643998	-1,63	NRP1	-1,60				
PHGDH	-1,63	JUP	-1,60				
HEXA	-1,63						
CDRT4	-1,63						
ACTN4	-1,63						
C6orf155	-1,63						
EXT1	-1,63						
JDP2	-1,63						
LSS	-1,63						
PITPNC1	-1,63						
C20orf18	-1,63						
CLDN7	-1,63						
NPC1	-1,62						
IDH1	-1,62						
THBD	-1,62						
GSTM4	-1,62						
ATP5C1	-1,62						
PMM1	-1,62						
C9orf5	-1,62						
COL8A2	-1,62						
CST1	-1,62						
MAGI1	-1,62						
G6PD	-1,62						
FOSL1	-1,61						
RASD1	-1,61				1		
PITX1	-1,61				1		
P2RY2	-1,61				1		
HYOU1	-1,61						

Nombre del gen	Veces						
CSF2RA	-1,61						
SLC16A4	-1,61						
SQLE	-1,61						
EFHD2	-1,61						
ABCB9	-1,61						
SYDE1	-1,61						
MAGI1	-1,61						
SLC7A11	-1,61						
HSPA5	-1,61						

Por tanto, la proteína de unión, proteína de unión a IGF 2, la cinasa receptora MERTK, la proteína de transferencia de fosfatidilinositol PITPNC1 y la enzima hidroximetiltranferasa SHMT2 comprenden un conjunto de dianas directas de miR-126 en cáncer de mama humano.

EJEMPLO 6: IGFBP2, PITPNC1 y MERTK promueven el reclutamiento endotelial y la metástasis

En este ejemplo, se llevaron a cabo ensayos para examinar si cualquiera de los genes diana de miR-126 regula el reclutamiento de células endoteliales por células cancerosas. De estos cuatro genes, el silenciamiento de IGFBP2, MERTK o PITPNC1 usando horquillas cortas independientes suprime significativamente la capacidad de las células LM2 metastásicas para reclutar células endoteliales (figura 4a y figura 13). De manera importante, el silenciamiento de estos genes no dio como resultado una disminución significativa en la proliferación celular (figura 14).

Dados los efectos robustos de los genes diana de miR-126 sobre el reclutamiento endotelial, se examinó si los niveles de expresión de estos genes se correlacionan individualmente con la propensión metastásica de cánceres humanos. Se analizaron por tanto los niveles de expresión de cada uno de estos genes a través de qPCR en un conjunto completamente independiente de 96 cánceres de mama humanos para los que estaban disponibles ADNc.

Las pacientes con cánceres de mama en estadio III y estadio IV presentan diseminación metastásica local y metástasis distales, respectivamente, y comprenden colectivamente las que desarrollan recidiva distal a tasas mucho mayores que las pacientes en los estadios I y II. Resulta interesante que los niveles de expresión de IGFBP2 (*P* < 0,0003), MERTK (*P* < 0,002) y PITPNC1 (*P* < 0,004) estaban significativamente aumentados de manera individual en los cánceres primarios de pacientes en los estadios III y IV en relación con pacientes en los estadios I y II (figura 4b). Dado el requisito para reclutamiento endotelial por células metastásicas, así como su selección como diana directa por miR-126, se buscó determinar si se requiere cualquiera de los genes diana de miR-126 para la colonización metastásica.

Se encontró que, de manera importante, el silenciamiento de IGFBP2 usando horquillas cortas independientes suprimió significativamente la colonización al pulmón (sh₁ (donde sh es la forma siglada de *short hairpin*: horquilla corta): 10 veces; sh₂: 6,25 veces; figura 4c). Además, el silenciamiento de PITPNC1 y MERTK también inhibió fuertemente la colonización metastásica (PITPNC1sh₁: 7,69 veces; PITPNC1sh₂: 4,55 veces, figura 4d; MERTKsh₁: 3,91 veces; MERTK1sh₂: 3,08 veces, figura 4e). Las secuencias de ARNhc usadas se enumeran en la tabla 5 a continuación.

Estos hallazgos revelaron que se requieren individualmente cada uno los genes diana directos de miR-126 IGFBP2, PITPNC1 y MERTK para el reclutamiento endotelial y la colonización metastásica y que se correlacionan individualmente en la expresión con la evolución metastásica humana.

Tabla 5. Secuencias de ARNhc

5

20

25

	- / 11 11 11 11
Gen	Secuencia
IGFBP2_sh1	CCGGCCAGTTCTGACACACGTATTTCTCGAGAAATACGTGTGTCAGAACTGGTTTTT (SEQ ID NO: 1)
IGFBP2_sh2	CCGGCAGGTTGCAGACAATGGCGATCTCGAGATCGCCATTGTCTGCAACCTGTTTTT (SEQ ID NO: 2)
MERTK_sh1	CCGGGCTTCTGGTCTTGATGTATTTCTCGAGAAATACATCAAGACCAGAAGCTTTTT (SEQ ID NO: 3)

Gen	Secuencia
MERTK_sh2	CCGGCCTGCATACTTACTTACTCGAGTAAAGTAAGTAAGT
PITPNC1_sh1	CCGGCGGGTGTATCTCAACAGCAAACTCGAGTTTGCTGTTGAGATACACCCGTTTTTG (SEQ ID NO: 5)
PITPNC1_sh2	CCGGCAATGGATGAAGTCCGAGAATCTCGAGATTCTCGGACTTCATCCATTGTTTTTG (SEQ ID NO: 6)
SHMT2sh (sh: forma siglada de short hairpin, horquilla corta)	CCGGCCGGAGAGTTGTGGACTTTATCTCGAGATAAAGTCCACAACTCTCCGGTTTTTG (SEQ ID NO: 7)
Controlsh (sh: forma siglada de short hairpin, horquilla corta)	CCGGCAACAAGATGAAGAGCACCAACTC-GAGTTGGTGCTCTTCATCTTGTTTTTT (SEQ ID NO: 8)

EJEMPLO 7: IGFBP2 media el reclutamiento a través de la activación de IGF1/IGF1R de células endoteliales

De las dianas de miR-126, IGFBP2 es un factor secretado y, como tal, dispuesto para mediar la comunicación intercelular entre células de cáncer metastásicas y células endoteliales. Por tanto, se examinó si las células metastásicas secretan niveles aumentados de IGFBP2. Se encontró que, de hecho, los análisis de ELISA revelaron que las células LM2 metastásicas secretan niveles 2,1 veces superiores de este factor que la línea parental MDA-231 escasamente metastásica (figura 5a).

Los miembros de la familia de IGFBP eiercen sus efectos interaccionando con diversos factores de crecimiento de tipo insulina (IGF) y modulan su unión a receptores de IGF (Baxter, R. C., Horm Res 42 (4-5), 140 (1994) y Jones, J. I. et al. Endocr Rev 16 (1), 3 (1995). Para determinar si el reclutamiento endotelial metastásico está mediado a través de IGFBP2 secretada, se inhibió la unión de IGFBP2 a IGF por medio de la incubación con anticuerpo neutralizante contra IGFBP2.

Se encontró que la inhibición mediada por anticuerpos de IGFBP2 en un ensayo de reclutamiento Transwell inhibió significativamente el reclutamiento endotelial celular metastásicos hasta niveles comparables a los obtenidos con la sobreexpresión de miR-126 (figura 5b) y también evitó el reclutamiento dependiente de miR-126 (figura 5b). Por tanto, este efecto fue específico para la ruta de miR-126/IGFBP2, ya que la inhibición del reclutamiento endotelial por el anticuerpo contra IGFBP2 se ocluyó con la sobreexpresión de miR-126 (figura 5b). La inhibición mediada por anticuerpos de IGFBP2 también suprimió el reclutamiento endotelial por el derivado de CNLM1A de la línea maligna CN34 independiente y dio como resultado una reducción estadísticamente significativa en el reclutamiento endotelial dependiente de miR-126 (figura 5c). Estos hallazgos revelaron que IGFBP2 secretada es un mediador de la señalización intercelular para el reclutamiento endotelial dependiente de miR-126 por células metastásicas.

Se sabía que IGFBP2 se une tanto a IGF1 como IGF2 en el espacio extracelular y modulan su actividad de señalización (Jones, J. I. et al. Endocr Rev 16 (1), 3 (1995); Arai, T., et al. Endocrinology 137 (11), 4571 (1996); Rajaram, S., et al. Endocr Rev 18 (6), 801 (1997); y Hoflich, A. et al., FEBS Lett 434 (3), 329 (1998)). Para determinar que IGF media el reclutamiento endotellal dependiente de miR-126, se trataron las células con anticuerpos bloqueantes contra IGF1, IGF2, o con control con inmunoglobulina. La inhibición mediada por anticuerpos de IGF1, pero no de IGF2, redujo significativamente el reclutamiento endotelial que resulta del silenciamiento de miR-126 (figura 5d).

A continuación, se buscó determinar el receptor a través del cual se está mediando el reclutamiento endotelial dependiente de miR-126. La inhibición del receptor de IGF de tipo 1 (IGF1R) mediante incubación con anticuerpos bloqueantes contra IGF1R redujo significativamente el reclutamiento que resulta del silenciamiento de miR-126, mientras que la neutralización de IGF2R no tuvo efecto (figura 5e). Estos hallazgos demostraron que la ruta de miR-126/IGFBP2/IGF1 activa IGF1R en células endoteliales.

40 Para asegurarse de que el reclutamiento dependiente de miR-126 estaba mediado a través de IGF1R en células endoteliales (en lugar de en células cancerosas) se preincubaron células endoteliales HUVEC o cancerosas con el anticuerpo contra IGF1R antes del ensayo de reclutamiento endotelial. Esto reveló que sólo la preincubación con el anticuerpo contra IGF1R de células endoteliales inhibió el reclutamiento endotelial mediado por miR-126 ya que no hubo efecto sobre el reclutamiento con la preincubación con las células cancerosas (figura 5f).

Los hallazgos anteriores están de acuerdo con el reclutamiento endotelial metastásico que resulta de la secreción de IGFBP2 de gen diana de miR-126, que se une a IGF1 en el espacio extracelular y potencia la activación dependiente

39

25

15

20

30

35

de IGF1 del receptor de IGF1 en células endoteliales. La activación de IGF1R potenciada en células endoteliales estimula a su vez la migración endotelial hacia las células de cáncer de mama metastásicas. De acuerdo con este modelo, fue suficiente la proteína IGFBP2 recombinante, de un modo dependiente de la dosis, para promover la quimiotaxia endotelial (figura 5g) y la migración (figura 15) de una manera dependiente de IGF1R.

EJEMPLO 8: MERTK media el reclutamiento a través de GAS6

En este ejemplo, se llevaron a cabo ensayos para investigar los mecanismos por los que los otros genes diana de miR-126 PTTPNC1 y MERTK median el reclutamiento endotelial.

Dada la identificación de IGFBP2 como un factor dependiente de miR-126 secretado que media este fenotipo, se investigó el papel de PITPNC1 o MERTK en la regulación de la secreción de este factor de las células cancerosas. Se encontró que el silenciamiento de PITPNC1 usando horquillas independientes reducía la secreción de IGFBP2 de células de cáncer de mama (figura 6a), de acuerdo con la regulación por PITPNC1 del reclutamiento endotelial que está mediado en parte a través de regulación positiva de la secreción de IGFBP2. Sin embargo, el silenciamiento de MERTK no condujo a secreción de IGFBP2 disminuida, lo que sugiere una ruta independiente de IGFBP2 por la que este gen diana de miR-126 media el reclutamiento.

Para determinar el mecanismo por el que el receptor de MERTK media el reclutamiento, se llevaron a cabo ensayos 20 para someter a prueba el impacto de su ligando soluble GAS6 sobre el reclutamiento endotelial mediado por cáncer. La adición de GAS6 recombinante al sistema de cocultivo, a la concentración fisiológica encontrada en el suero humano (Balogh, I. et al., Arterioscler Thromb Vasc Biol 25 (6), 1280 (2005)) redujo potencialmente el reclutamiento dependiente de miR-126 (figura 6b), lo que sugiere que GAS6 actúa como inhibidor del reclutamiento endotelial. El receptor de MERTK existe tanto en formas unidas a membrana como solubles, donde se ha escindido el dominio 25 extracelular y por tanto se cree generalmente que actúa como un receptor señuelo para regular negativamente la activación del receptor de MERTK en células que lo expresan (Sather, S. et al., Blood (3), 1026 (2007). Se detectó MERTK soluble en medios acondicionados de células MDA-MB-231 (figura 16). Sin restringirse a la teoría, MERTK soluble liberada de células cancerosas puede promover el reclutamiento endotelial a través de la unión e inhibición de GAS6. De acuerdo con esto, la adición de la forma soluble recombinante del dominio extracelular de MERTK 30 (MerFc) suprimió la inhibición mediada por GAS6 exógeno así como sérico del reclutamiento endotelial por células cancerosas (figura 6b). De manera importante, ese efecto fue dependiente de miR-126 (figura 6b). Estos hallazgos sugieren que MERTK secretada de células metastásicas actúa como un receptor señuelo para GAS6, reduciendo de ese modo los efectos supresores de GAS6 en el reclutamiento de células endoteliales. A continuación, se enumeran secuencias de aminoácidos de tres isoformas de GAS6.

Isoforma 1

5

10

15

35

MAPSLSPGPAALRRAPQLLLLLLAAECALAALLPAREATQFLRPRQRRAFQVFEEAKQGH LERECVEELCSREEAREVFENDPETDYFYPRYLDCINKYGSPYTKNSGFATCVQNLPDQC TPNPCDRKGTQACQDLMGNFFCLCKAGWGGRLCDKDVNECSQENGGCLQICHNKPGSFHC SCHSGFELSSDGRTCQDIDECADSEACGEARCKNLPGSYSCLCDEGFAYSSQEKACRDVD ECLQGRCEQVCVNSPGSYTCHCDGRGGLKLSQDMDTCEDILPCVPFSVAKSVKSLYLGRM FSGTPVIRLRFKRLQPTRLVAEFDFRTFDPEGILLFAGGHQDSTWIVLALRAGRLELQLR YNGVGRVTSSGPVINHGMWQTISVEELARNLVIKVNRDAVMKIAVAGDLFQPERGLYHLN LTVGGIPFHEKDLVQPINPRLDGCMRSWNWLNGEDTTIQETVKVNTRMQCFSVTERGSFY PGSGFAFYSLDYMRTPLDVGTESTWEVEVVAHIRPAADTGVLFALWAPDLRAVPLSVALV DYHSTKKLKKQLVVLAVEHTALALMEIKVCDGQEHVVTVSLRDGEATLEVDGTRGQSEVS AAQLQERLAVLERHLRSPVLTFAGGLPDVPVTSAPVTAFYRGCMTLEVNRRLLDLDEAAY KHSDITAHSCPPVEPAAA

40 <u>Isoforma 2</u>

MDTCEDILPCVPFSVAKSVKSLYLGRMFSGTPVIRLRFKRLQPTRLVAEFDFRTFDPEGI LLFAGGHQDSTWIVLALRAGRLELQLRYNGVGRVTSSGPVINHGMWQTISVEELARNLVI KVNRDAVMKIAVAGDLFQPERGLYHLNLTVGGIPFHEKDLVQPINPRLDGCMRSWNWLNG EDTTIQETVKVNTRMQCFSVTERGSFYPGSGFAFYSLDYMRTPLDVGTESTWEVEVVAHI RPAADTGVLFALWAPDLRAVPLSVALVDYHSTKKLKKQLVVLAVEHTALALMEIKVCDGQ EHVVTVSLRDGEATLEVDGTRGQSEVSAAQLQERLAVLERHLRSPVLTFAGGLPDVPVTS APVTAFYRGCMTLEVNRRLLDLDEAAYKHSDITAHSCPPVEPAAA

Isoforma 3

MFSGTPVIRLRFKRLQPTRLVAEFDFRTFDPEGILLFAGGHQDSTWIVLALRAGRLELQL RYNGVGRVTSSGPVINHGMWQTISVEELARNLVIKVNRDAVMKIAVAGDLFQPERGLYHL NLTVGGIPFHEKDLVQPINPRLDGCMRSWNWLNGEDTTIQETVKVNTRMQCFSVTERGSF YPGSGFAFYSLDYMRTPLDVGTESTWEVEVVAHIRPAADTGVLFALWAPDLRAVPLSVAL VDYHSTKKLKKQLVVLAVEHTALALMEIKVCDGQEHVVTVSLRDGEATLEVDGTRGQSEV SAAQLQERLAVLERHLRSPVLTFAGGLPDVPVTSAPVTAFYRGCMTLEVNRRLLDLDEAA YKHSDITAHSCPPVEPAAA

Para determinar si las formas recombinantes de IGFBP2 y MERTK, que se expresan por células metastásicas, y GAS6, que está presente en el suero humano, son suficientes para regular la quimiotaxia endotelial, se realizaron ensayos quimiotácticos Transwell para cuantificar la migración quimiotáctica migración de células endoteliales hacia estos factores. GAS6 recombinante a dosis fisiológicas bajas inhibió la quimiotaxia endotelial hacia IGFBP2 recombinante (figura 6c). De manera importante, el ectodominio de MERTK soluble recombinante anuló el efecto supresor de GAS6 sobre la quimiotaxia endotelial (figura 6c). La preincubación de células endoteliales con GAS6 no afectó a la migración endotelial, lo que sugiere que GAS6 inhibe la migración quimiotáctica. Estos hallazgos revelan que IGFBP2 media una señal migratoria y quimiotáctica positiva para células endoteliales a través del receptor de IGF tipo 1 receptor, mientras que el receptor de MERTK soluble antagoniza con una señal quimiotáctica inhibidora mediada por GAS6.

Dados los papeles de IGFPB2, PITPNC1 y MERTK en el reclutamiento endotelial *in vitro* y la colonización metastásica *in vivo*, se llevaron a cabo ensayos para examinar si estos genes regulan el reclutamiento endotelial *in vivo*. Para este fin, se realizó tinción con MECA-32 en pulmones de ratones a los que se inyectaron células de cáncer de mama de control y silenciamiento para cuantificar el reclutamiento endotelial *in vivo* tal como se mide mediante densidad de vasos metastásicos. La inhibición de IGFPB2, PITPNC1 y MERTK individualmente usando horquillas cortas independientes redujo significativamente la densidad endotelial metastásico (figura 6d; *P* < 0,0001 y *P* = 0,002 para shIGFBP2, *P* = 0,01 y *P* = 0,02 para shPITPNC1, y P < 0,0001 y P = 0,005 para shMERTK). Adicionalmente, la perfusión de lectina y la citoquímica revelaron también una reducción significativa en el contenido de vasos metastásicos funcionales (figura 17). Por tanto, se requieren individualmente los genes diana de miR-126 IGFBP2, PITPNC1 y MERTK para el reclutamiento endotelial metastásico *in vivo*.

Los hallazgos anteriores, que comprenden ensayos *in vitro* así como análisis *in vivo* tanto de reclutamiento endotelial mediado por células de cáncer como de reclutamiento mediado por proteínas recombinantes, demostraron que IGFBP2 y MERTK expresados en cáncer son necesarios y bastan para mediar el reclutamiento endotelial y transmiten rutas paralelas que emanan de células de cáncer metastásicas (figura 6e).

30 EJEMPLO 9. Regulón de miARN que media angiogénesis metastásica

10

35

40

55

Los hallazgos descritos anteriormente revelaron que un miARN expresado en células cancerosas puede regular de manera autónoma no celular el complejo proceso de perfusión vascular y reclutamiento endotelial metastásicos a través de la regulación coordinada de IGFBP2, MERTK y PITPNC 1 (un conjunto novedoso de genes de angiogénesis y metástasis).

Se encontró que la expresión aumentada de estos genes de angiogénesis metastásica dota a células de cáncer de mama altamente metastásicas de capacidad de reclutamiento endotelial potenciada en relación con células escasamente metastásicas. Las células metastásicas que sobreexpresan estos genes pueden establecer más fácilmente los vasos sanguíneos necesarios para la colonización eficaz. Aunque se demostró la necesidad de estos tres genes en el reclutamiento endotelial metastásico, uno de ellos, es decir, IGFBP2 secretada, es un mediador transcelular de este fenotipo.

Adicionalmente, se descubrió la ruta de señalización de IGF1 (modulada por IGFBP2 secretada de células cancerosas y que culmina en la activación de IGF1R en células endoteliales) como mediator del reclutamiento endotelial de células metastásicas y se ha identificado miR-126 en células cancerosas como regulador de esta ruta. Aunque se han notificado los papeles de IGF1 y IGF2 en el crecimiento celular y de organismos (Laviola, L., et al. Curr Pharm Des 13 (7), 687 (2007).), la expresión ubicua de estos factores de crecimiento y sus receptores en diversos tejidos y sus requisitos para fisiología normal limitan su aplicación terapéutica (Varela-Nieto, I., et al. Curr Pharm Des 13 (7), 687 (2007)).

IGFBP2 es uno de los 16 miembros de la familia de IGFBP; véase Schmid, C., Cell Biol Int 19 (5), 445 (1995); Hwa, V., et al. Endocr Rev 20 (6), 761 (1999); y Firth, S. M. et al. Endocr Rev 23 (6), 824 (2002). La identificación de IGFBP2 como promotor de metástasis, su sobreexpresión en cáncer de mama humano metastásico y el efecto robusto de su inhibición mediada por anticuerpos en el reclutamiento endotelial por células metastásicas proporciona un apoyo específico para la selección como diana terapéutica de la ruta de IGF en la evolución del cáncer de mama la angiogénesis del cáncer.

Aunque se identificó IGFBP2 como regulador positivo positivo del reclutamiento endotelial a través de su activación

de un regulador positive de este proceso (IGF1), también se descubrió MERTK como promotor de reclutamiento a través de su inhibición de un regulador negativo de quimiotaxia endotelial (GAS6). Por tanto, un solo miARN puede controlar un fenotipo complejo modulando tanto los reguladores positivos como los negativos de un fenómeno.

Posteriormente a su identificación como miARN supresor de metástasis, miR-126, que se expresa en desarrollo en células endoteliales, se seleccionó como diana genéticamente en ratones. Se encontró que la deleción de miR-126 conducía a letalidad embrionaria parcial, pérdida de integridad vascular y hemorragia (Wang, S. et al., Dev Cell 15 (2), 261 (2008).). Por tanto, se encontró que miR-126 expresado de manera era un promotor de la angiogénesis en desarrollo normal en sistemas de ratón y pez cebra (Nicoli, S. et al., Nature 464 (7292), 1196 (2010) y Fish, J. E. et al., Dev Cell 15 (2), 272 (2008).)

En vista de su papel como promotor de angiogénesis, resultó inesperado que miR-126 también suprimía la angiogénesis en, por ejemplo, cáncer de mama, tal como se da a conocer en el presente documento. Resultó inesperado que miR-126 pudiera actuar al menos de dos modos diferentes. Por una parte, actúa de forma específica del tipo celular para suprimir la angiogénesis patológica tal como se da a conocer en esta solicitud. Tal como se da a conocer en esta solicitud, miR-126 suprimía la migración endotelial patológica hacia metástasis. Por otra parte, mientras está en desarrollo, la expresión de miR-126 mantiene la integridad de los vasos. De hecho, se demostró que miR-126 endotelial regula la angiogénesis en desarrollo a través de la selección como diana de Spred-1 y PIK3R2, genes no se regularon significativamente por miR-126 en células de cáncer de mama (Wang, S. et al., Dev Cell 15 (2), 261 (2008) y Fish, J. E. et al., Dev Cell 15 (2), 272 (2008).). Véase la tabla 6. A la inversa, se encontró que la inhibición de miR-126 en células endoteliales no potencia el reclutamiento endotelial por células endoteliales (figura 18) como lo hace en células de cáncer de mama. De acuerdo con esto, la inhibición de miR-126 en células endoteliales no alteró la expresión de PITPNC1, MERTK o IGFBP2, mientras que aumentó la expresión de las dianas de miR-126 endoteliales establecidas, SPRED1 y PIK3R2 (figura 19).

Tabla 6

15

20

25

30

35

40

45

55

Nombre del gen	LM2	miR-126 OE de LM2	Veces
SPRED1	979	851	-1,1030
PIK3R2	2188	1513	-1,2634

EJEMPLO 10. Identificación de genes o ARN no codificantes que regulan la colonización de cáncer metastásico de cualquier tejido corporal

Este ejemplo describe dos enfoques para identificar un gen o un ARN no codificante que regula la colonización de cáncer metastásico de un tejido corporal

1. Enfoque de Lenti-miR

Transducción de biblioteca Lenti-miR en células e inyección en animales

En este enfoque se usó la biblioteca Lenti-miR (SYSTEM BIOSCIENCES, n.º de catálogo PMIRHPLVAHT-1). Esta biblioteca consiste en un conjunto de lentivirus que contiene microARN precursores representativos de todo el genoma humano. Se transdujeron poblaciones parenterales de las líneas celulares SW620 y LS174T (2 x 10⁵ células) con la biblioteca a una multiplicidad de infección (MOI) de 1 para obtener un conjunto heterogéneo de células parentales con células individuales que sobreexpresan diferentes microARN. Cada precursor de microARN estaba representado aproximadamente en 50X tras la transducción. Cuatro días tras la transducción, se apartó la mitad de las células y se extrajo el ADN genómico usando el kit DNeasy de Qiagen. Este fue el conjunto de referencia del ADN genómico antes de la presión selectiva de colonización hepática. La mitad de la población restante se inyectó en los hígados de ratones NOD/SCID. 3-5 semanas tras la inyección, se extrajo el ADN genómico de los tumores que se formaron en los hígados. Se realizaron transducciones e inyecciones en repeticiones para ambas líneas celulares.

50 Identificación de microARN que modulan la colonización hepática

Se recuperaron precursores de microARN derivados de Lenti-miR de ADN genómico mediante amplificación por PCR en el intervalo linear usando cebadores que contienen el promotor de T7 específicos de biblioteca (cebador directo: 5'-GAAATTAATACGACTCACTATAGGGCCTGGAGACGCCATCCACGCTG-3'; cebador inverso: 5': GATGTGCGCTCTGCCCACTGAC-3') en el ADN genómico de referencia y el ADN genómico tumoral. Se realizaron cuatro reacciones de PCR usando 400 ng de ADN genómico como molde y se reunieron por muestra para garantizar la representación adecuada de microARN precursores transducidos.

Los amplicones de PCR resultantes fueron un material compuesto de diferentes microARN precursores con secuencias de promotor de T7 y se usaron como moldes para la transcripción *in vitro* para obtener una biblioteca de precursores biotinilada. La biblioteca biotinilada obtenida de los tumores y el conjunto de referencia se marcaron con

Cy3 y Cy5, respectivamente y se hibridaron con un microalineamiento diseñado para detectar las secuencias de microARN (Genosensor). Se realizó un experimento de intercambio de colorante para controlar la diferencia de colorantes.

5 Se calculó la razón de la abundancia de cada precursor de microARN entre el conjunto de referencia y tras la presión selectiva durante la colonización hepática tras la normalización de la señal de microalineamiento. Los microARN quedaron representados en exceso en la población tumoral en comparación con el conjunto de referencia se consideraron promotores y los microARN que quedaron representados insuficientemente, supresores de la colonización hepática.

2. Enfoque de Lentiplex

30

50

60

Transducción de biblioteca Lentiplex en células e inyección en animales

- 15 En este enfoque se usó la biblioteca de ARNhc de genoma completo Lentiplex (SIGMA-ALDRICH, n. de catálogo SHPH01). Esta biblioteca es una biblioteca reunida lentivirus que contiene aproximadamente 150.000 ARNhc que seleccionan como diana el genoma humano completo, seleccionándose como objetivo cada gen por 3-5 ARNhc independientes.
- Se transdujeron poblaciones parenterales de las líneas celulares SW620, LS174T y WiDR (2 x 10⁶ células) con la biblioteca a una MOI de 1, dando como resultado un conjunto población heterogénea, expresando las células individuales un único ARNhc. Se tradujo cada ARNhc a una representación de aproximadamente 100X. 48 h tras la transducción; se seleccionaron las células transducidas con puromicina durante 48 h para retirar las células no transducidas. Tras la selección con antibióticos, se dejó que las células restantes se recuperaran durante una semana antes de los experimentos posteriores. Se apartó la mitad de las células seleccionadas y se extrajo el ADN genómico. Este fue el conjunto de referencia de ADN genómico antes de la presión selectiva de la colonización hepática. La mitad de la población restante se inyectó en los hígados de ratones NOD/SCID. 3-5 semanas tras la inyección, se extrajo el ADN genómico de los tumores que se formaron en los hígados. Se realizaron transducciones e inyecciones en repeticiones para las tres líneas celulares.

Identificación de genes novedosos que modulan la colonización hepática a través del examen de ARNhc reunido de genoma completo

Para recuperar un conjunto complejo de secuencias de biblioteca de ARNhc a partir de ADN genómico, se usó un 35 enfoque de PCR seguido por secuenciación masiva Solexa de amplicones de PCR. Se realizó amplificación de PCR inicial en 500 ng de ADN genómico usando cebadores (cebador directo: 5'-TGGACTATCATATGCTTACCGTAACT-3'; cebador inverso: 5'-AAAGAGGATCTCTGTCCCTGT-3') específicos para el vector viral, seguido por cebadores con secuencias requeridas para secuenciación masiva Solexa (cebador directo: 5'-AATGATACGCGACCACCGAG ATCTACACTCTTTCCCTACACGACGCTCTTCCGATCTGTATTCTTGGCTTTATAT ATCTTGTGGAAAGGAC-3'; 40 inverso: 5'-CAAGCAGAAGACGGCATACG AGCTCTTCCGATCTGGATGAATACTGCCATTTGTCTCGAGGTCGA-3') para obtener amplicones que contenían las secuencias de ARNhc. Se realizaron diez reacciones de PCR equivalentes a 5 ug de ADN genómico por cada conjunto de ADN genómico y se reunieron los productos para secuenciación para garantizar la representación adecuada de ARNhc. 45

Los amplicones reunidos representan un material compuesto de secuencias de ARNhc de genoma completo y se realizó secuenciación masiva para determinar la representación de cada especie de ARNhc en el conjunto de referencia en comparación con el conjunto amplificado de tumores. Se normalizó el recuento para cada especie de ARNhc contra el número total de secuencias obtenidas y se identificaron sus dianas génicas haciéndolas coincidir con una base de datos de Sigma. Las dianas génicas cuyos ARNhc que quedaron representadas en exceso en el conjunto tumoral se consideran supresores de la colonización hepática y viceversa. Para explicar efectos no específicos de silenciamiento de ARNhc, sólo los resultados positivos de dianas génicas identificados por tres o más "resultados positivos" de ARNhc independientes se consideraron posibles supresores o promotores.

55 <u>EJEMPLO 11. El anticuerpo monoclonal que neutraliza la función de IGFBP2 inhibió el reclutamiento</u> endotelial por las células de cáncer de mama humanas metastásicas.

Este ejemplo demuestra un anticuerpo monoclonal que inhibe el reclutamiento endotelial por células de cáncer de mama metastásicas uniéndose a IGFBP2 e inhibiendo la interacción (unión) de IGF1 a IGFBP2. Mediante el bloque de la unión de IGF1 a IGFBP2, este anticuerpo monoclonal puede inhibir el reclutamiento endotelial por las células de cáncer de mama humanas metastásicas. Los métodos usados para generar anticuerpos neutralizantes frente a IGFBP2 son los conocidos comúnmente en la técnica.

En resumen, se inmunizaron ratones con péptido total IGFBP2 recombinante para generar una respuesta de anticuerpo policional. A continuación, se generaron bibliotecas de hibridomas mediante la fusión de células B aisladas de los ratones inmunizados a líneas celulares de mieloma. Entonces se aisló el sobrenadante de estos

hibridomas con el fin de examinar e identificar aquellas células de hibridoma que generan anticuerpos que se unen a IGFBP2 con alta afinidad, usando ensayos de ELISA competitivos de captura de anticuerpos (figura 20). Una vez identificados, se examinaron los hibridomas que generan anticuerpos con alta afinidad para IGFBP2 con el fin de identificar aquellos que generan anticuerpos que pueden inhibir que IGFBP2 se una a IGF1, usando ensayos de ELISA competitivos de captura de anticuerpos (figura 21). La biblioteca de hibridomas wo6663-1 contenía anticuerpos que se unen a IGFBP2 para neutralizar la unión de IGF1, sin unión a los otros miembros de la familia de IGFBP, IGFBP3 e IGFBP4 (figuras 20 y 21). Para aislar células de hibridoma de clones individuales (monoclonales), se realizó separación y examen en la biblioteca de hibridomas wo6663-1. Se examinaron 2000 clones de hibridomas individuales (monoclonales) de esta biblioteca para identificar los que generaban anticuerpos monoclonales que se unen a IGFBP2 con alta afinidad para neutralizar la unión de IGF1. La tabla en la figura 22 enumera datos del ensayo competidor de ELISA de captura de anticuerpos de varios anticuerpos monoclonales aislados del examen anterior, muchos de los cuales tenían afinidad por IGFBP2 y podían inhibir la unión de IGF1 a IGFBP2 (figura 22), incluyendo el anticuerpo monoclonal IGFBP2_14 (M14) (recuadro en líneas discontinuas en la figura 22). Se examinaron entonces estos anticuerpos monoclonales neutralizantes contra IGFBP2 para identificar los que podían inhibir el reclutamiento endotelial por células metastásicas usando ensayos de migración endotelial Transwell. El anticuerpo monoclonal IGFBP2 M14 (M14) inhibió el reclutamiento endotelial por células de cáncer de mama metastásicas humanas:

Para identificar anticuerpos monoclonales que podrían inhibir el reclutamiento endotelial, se sometieron a prueba los anticuerpos monoclonales neutralizantes contra IGFBP2 generados en el examen anterior en un ensayo de reclutamiento endotelial *in vitro* usando Transwell. Se colocaron células de cáncer de mama humanas LM2 altamente metastásicas en el fondo de una cámara de Boyden, donde pudo someterse a ensayo su capacidad para reclutar HUVEC a través de un inserto Transwell poroso. Se añadió una pequeña concentración fisiológica de anticuerpos neutralizantes contra IGFBP2 (incluyendo M1, M4, M6, M9, M13, M14, M15 y M16 (de la figura 22)) a los Transwell de manera individual en concentraciones fisiológicas. De todos los anticuerpos sometidos a prueba, M14 (recuadro en línea discontinua en la figura 22) pudo inhibir significativamente el reclutamiento (células migradas/campo) de células HUVEC (reducción del 50 % en células migradas) frente a los anticuerpos control negativos IgG y M5 (figura 23). Esto demuestra la capacidad del anticuerpo monoclonal M14 para inhibir el reclutamiento de células endoteliales humanas por células de cáncer metastásicas humanas (figura 23).

Para caracterizar adicionalmente M14, se secuenciaron las regiones variables de cadena pesada y de cadena ligera del anticuerpo. La secuencia de aminoácidos de las regiones variables tanto de la cadena pesada como de la cadena ligera de M14 se presentan en la tabla 7.

35 Tabla 7

10

15

20

25

30

50

55

aminoácidos de región	QVQLEQSGGGLVQPGGSLKLSCGASGFTFSDYYMYWIRQTPEKRLEWVAYISNG GGITYYPDTVKGRFTISRDNAKNTLYLQMSRLKSEDTAVYYCVRRSDGSWFVYW GQGTLVTVSA (SEQ ID NO: 9)
aminoácidos de región	DIVITQSPSSLAVSVGEKVTLSCKSSQSLLYSSNQKNCLAWYQQKPGQSPKLLIYW ASTRESGVPDRFTGSGSGTDFTLTISSVKAEDLAVYYCQQYYSYLTFGAGTKLEL KRADAAPTVS (SEQ ID NO: 10)

EJEMPLO 12. El anticuerpo monoclonal M14 inhibió la evolución tumoral del cáncer de mama humano in vivo.

40 Este ejemplo demuestra que el anticuerpo neutralizante M14 contra IGFBP2 puede inhibir la evolución tumoral y la metástasis tumoral *in vivo* en un modelo de ratón de cáncer de mama humano.

LISTADO DE SECUENCIAS

- 45 <110> THE ROCKEFELLER UNIVERSITY
 - <120> TRATAMIENTO DE TRASTORNOS DE LA ANGIOGÉNESIS
 - <130> JA69378P.EPPD1

<150> PCT/US2012/24697

<151> 10-02-2012

<150> US 61/441.738

<151> 11-02-2011

<160> 140

	<170> Patentln versión 3.5	
5	<210> 1 <211> 57 <212> ADN <213> Homo sapiens	
10	<400> 1 ccggccagtt ctgacacacg tatttctcga gaaatacgtg tgtcagaact ggttttt	57
15	<210> 2 <211> 57 <212> ADN <213> Homo sapiens	
	<400> 2 ccggcaggtt gcagacaatg gcgatctcga gatcgccatt gtctgcaacc tgttttt	57
20	<210> 3 <211> 57 <212> ADN <213> Homo sapiens	
25	<400> 3 ccgggcttct ggtcttgatg tatttctcga gaaatacatc aagaccagaa gcttttt	57
30	<210> 4 <211> 57 <212> ADN <213> Homo sapiens	
35	<400> 4 ccggcctgca tacttactta ctttactcga gtaaagtaag taagtatgca ggttttt	57
	<210> 5 <211> 58 <212> ADN	
40	<213> Homo sapiens <400> 5 ccggcgggtg tatctcaaca gcaaactcga gtttgctgtt gagatacacc cgtttttg	58
45	<210> 6 <211> 58 <212> ADN <213> Homo sapiens	
50	<400> 6 ccggcaatgg atgaagtccg agaatctcga gattctcgga cttcatccat tgtttttg	58
55	<210> 7 <211> 58 <212> ADN <213> Homo sapiens	
	<400> 7 ccggccggag agttgtggac tttatctcga gataaagtcc acaactctcc ggtttttg	58
60	<210> 8 <211> 57 <212> ADN <213> Homo sapiens	
65	<400> 8 ccggcaacaa gatgaagagc accaactcga gttggtgctc ttcatcttgt tgttttt	57

<210>9 <211> 118 <212> PRT 5 <213> Artificial <220> <223> secuencia de aminoácidos de la región variable de la cadena pesada del anticuerpo monoclonal M14 de IGFBP2 10 <400>9 Gln Val Gln Leu Glu Gln Ser Gly Gly Gly Leu Val Gln Pro Gly Gly 10 Ser Leu Lys Leu Ser Cys Gly Ala Ser Gly Phe Thr Phe Ser Asp Tyr Tyr Met Tyr Trp Ile Arg Gln Thr Pro Glu Lys Arg Leu Glu Trp Val Ala Tyr Ile Ser Asn Gly Gly Gly Ile Thr Tyr Tyr Pro Asp Thr Val Lys Gly Arg Phe Thr Ile Ser Arg Asp Asn Ala Lys Asn Thr Leu Tyr 75 80 Leu Gln Met Ser Arg Leu Lys Ser Glu Asp Thr Ala Val Tyr Tyr Cys Val Arg Arg Ser Asp Gly Ser Trp Phe Val Tyr Trp Gly Gln Gly Thr 100 105 110 Leu Val Thr Val Ser Ala 115 15 <210> 10 <211> 121 <212> PRT <213> Artificial 20 <220> <223> secuencia de aminoácidos de la región variable de la cadena ligera del anticuerpo monoclonal M14 de IGFBP2 <400> 10 25

Asp 1	Ile	Val	Ile	Thr 5	Gln	Ser	Pro	Ser	Ser 10	Leu	Ala	Val	Ser	Val 15	Gly
Glu	Lys	Val	Thr 20	Leu	Ser	Cys	Lys	Ser 25	Ser	Gln	Ser	Leu	Leu 30	Tyr	Ser
Ser	Asn	Gln 35	Lys	Asn	Cys	Leu	Ala 40	Trp	Tyr	Gln	Gln	Lys 45	Pro	Gly	Gln
Ser	Pro 50	Lys	Leu	Leu	Ile	Tyr 55	Trp	Ala	Ser	Thr	Arg 60	Glu	Ser	Gly	Val
Pro 65	Asp	Arg	Phe	Thr	Gly 70	Ser	Gly	Ser	Gly	Thr 75	Asp	Phe	Thr	Leu	Thr 80
Ile	Ser	Ser	Val	Lys 85	Ala	Glu	Asp	Leu	Ala 90	Val	Tyr	Tyr	Cys	Gln 95	Gln
Tyr	Tyr	Ser	Tyr 100	Leu	Thr	Phe	Gly	Ala 105	Gly	Thr	Lys	Leu	Glu 110	Leu	Lys

Arg Ala Asp Ala Ala Pro Thr Val Ser 115 120

<210> 11

<211> 328

<212> PRT

<213> Homo sapiens

<400> 11

Met Leu Pro Arg Val Gly Cys Pro Ala Leu Pro Leu Pro Pro Pro Pro 1 5 10 15

Leu Leu Pro Leu Leu Pro Leu Leu Leu Leu Leu Gly Ala Ser Gly 20 25 30

10

Gly	Gly	Gly 35	Gly	Ala	Arg	Ala	Glu 40	Val	Leu	Phe	Arg	Суs 45	Pro	Pro	Cys
Thr	Pro 50	Glu	Arg	Leu	Ala	Ala 55	Cys	Gly	Pro	Pro	Pro 60	Val	Ala	Pro	Pro
Ala 65	Ala	Val	Ala	Ala	Val 70	Ala	Gly	Gly	Ala	Arg 75	Met	Pro	Cys	Ala	Gl u 80
Leu	Val	Arg	Glu	Pro 85	Gly	Сув	Gly	Сув	Сув 90	Ser	Val	Сув	Ala	Arg 95	Leu
Glu	Gly	Glu	Ala 100	Cys	Gly	Val	Tyr	Thr 105	Pro	Arg	Cys	Gly	Gln 110	Gly	Leu
Arg	Cys	Tyr 115	Pro	His	Pro	Gly	Ser 120	Glu	Leu	Pro	Leu	Gln 125	Ala	Leu	Val
Met	Gly 130	Glu	Gly	Thr	Cys	Glu 135	Lys	Arg	Arg	Asp	Ala 140	Glu	Tyr	Gly	Ala
Ser 145	Pro	Glu	Gln	Val	Ala 150	Asp	Asn	Gly	Asp	Asp 155	His	Ser	Glu	Gly	Gly 160
Leu	Val	Glu	Asn	His 165	Val	Asp	Ser	Thr	Met 1 70	Asn	Met	Leu	Gly	Gly 175	Gly
Gly	Ser	Ala	Gly 180	Arg	Lys	Pro	Leu	Lys 185	Ser	Gly	Met	Lys	Glu 190	Leu	Ala
Val	. Phe	Arg 195	Glu	Lys	Val	Thr	Glu 200	Gln	His	Arg	Gln	Met 205	Gly	Lys	Gly
Gly	Lys 210	His	His	Leu	Gly	Leu 215	Glu	Glu	Pro	Lys	Lys 220	Leu	Arg	Pro	Pro
Pro 225	Ala	Arg	Thr	Pro	Cys 230	Gln	Gln	Glu	Leu	Asp 235	Gln	Val	Leu	Glu	Arg 240
Ile	Ser	Thr	Met	Arg 245	Leu	Pro	Asp	Glu	Arg 250	Gly	Pro	Leu	Glu	His 255	Leu
Туг	Ser	Leu	His 260	Ile	Pro	Aşn	Cys	Asp 265	Lys	His	Gly	Leu	Tyr 270	Asn	Leu
Lys	Gln	Cys	Lys	Met	Ser	Leu	Asn	Gly	Gln	Arg	Gly	Glu	Cys	Trp	Cys

275 280 285

Val Asn Pro Asn Thr Gly Lys Leu Ile Gln Gly Ala Pro Thr Ile Arg 290 295 300

Gly Asp Pro Glu Cys His Leu Phe Tyr Asn Glu Gln Gln Glu Ala Arg 305 310 315 320

Gly Val His Thr Gln Arg Met Gln 325

<210> 12

<211> 158

5

<212> PRT

<213> Homo sapiens

<400> 12

Met Gly Lys Ile Ser Ser Leu Pro Thr Gln Leu Phe Lys Cys Cys Phe 1 5 10 15

Cys Asp Phe Leu Lys Val Lys Met His Thr Met Ser Ser Ser His Leu 20 25 30

Phe Tyr Leu Ala Leu Cys Leu Leu Thr Phe Thr Ser Ser Ala Thr Ala 35 40 45

Gly Pro Glu Thr Leu Cys Gly Ala Glu Leu Val Asp Ala Leu Gln Phe 50 55 60

Val Cys Gly Asp Arg Gly Phe Tyr Phe Asn Lys Pro Thr Gly Tyr Gly 65 70 75 80

Ser Ser Ser Arg Arg Ala Pro Gln Thr Gly Ile Val Asp Glu Cys Cys 85 90 95

Phe Arg Ser Cys Asp Leu Arg Arg Leu Glu Met Tyr Cys Ala Pro Leu 100 105 110

Lys Pro Ala Lys Ser Ala Arg Ser Val Arg Ala Gln Arg His Thr Asp 115 120 125

Met Pro Lys Thr Gln Lys Tyr Gln Pro Pro Ser Thr Asn Lys Asn Thr 130 135 140

Lys Ser Gln Arg Arg Lys Gly Ser Thr Phe Glu Glu Arg Lys 145 150 155

Met Pro Lys Thr Gln Lys Glu Val His Leu Lys Asn Ala Ser Arg Gly
115 120 125

Lys Pro Ala Lys Ser Ala Arg Ser Val Arg Ala Gln Arg His Thr Asp

105

Ser Ala Gly Asn Lys Asn Tyr Arg Met 130 135

100

<210> 14 10 <211> 195 <212> PRT <213> Homo sapiens

<400> 14

15

Met 1	Gly	Lys	Ile	Ser 5	Ser	Leu	Pro	Thr	Gl n 10	Leu	Phe	Lys	Cys	Cys 15	Phe
Cys	Asp	Phe	Leu 20	Lys	Val	Lys	Met	His 25	Thr	Met	Ser	Ser	Ser 30	His	Leu
Phę	Tyr	Leu 35	Ala	Leu	Cys	Leu	Leu 40	Thr	Phę	Thr	Ser	Ser 45	Ala	Thr	Ala
Gly	Pro 50	Glu	Thr	Leu	Cys	Gly 55	Ala	Glu	Leu	Val	Asp 60	Ala	Leu	Gl n	Phe
Val 65	Cys	Gly	Asp	Arg	Gly 70	Phe	Tyr	Phe	Asn	Lys 75	Pro	Thr	Gly	Tyr	Gly 80
Ser	Ser	Ser	Arg	Arg 85	Ala	Pro	Gln	Thr	Gly 90	Ile	Val	Asp	Glu	Cys 95	Сув
Phe	Arg	Ser	Cys 100	Asp	Leu	Arg	Arg	Leu 105	Glu	Met	Tyr	Сув	Ala 110	Pro	Leu
Lys	Pro	Ala 115	Lys	Ser	Ala	Arg	Ser 120	Val	Arg	Ala	Gln	Arg 125	His	Thr	Asp
Met	Pro 130	Lys	Thr	Gln	Lys	Tyr 135	Gln	Pro	Pro	Ser	Thr 140	Asn	Lys	Asn	Thr
Lys 145	Ser	Gln	Arg	Arg	Lys 150	Gly	Trp	Pro	Lys	Thr 155	His	Pro	Gly	Gly	Glu 160
Gln	Lys	Glu	Gly	Thr 165	Glu	Ala	Ser	Leu	Gln 170	Ile	Arg	Gly	Lys	Lys 175	Lys
Glu	Gln	Arg	Arg 180	Glu	Ile	Gly	Ser	Arg 185	Asn	Ala	Glu	Cys	Arg 190	Gly	Lys
Lys	Gly	Lys 195													

<210> 15 <211> 153 <212> PRT 5

<213> Homo sapiens

<400> 15

	Met 1	Gly	Lys	Ile	Ser 5	Ser	Leu	Pro	Thr	Gln 10	Leu	Phe	Lys	Cys	Cys 15	Phe
	Cys	Asp	Phe	Leu 20	Lys	Val	Lys	Met	His 25	Thr	Met	Ser	Ser	Ser 30	His	Leu
	Phe	Tyr	Leu 35	Ala	Leu	Cys	Leu	Leu 40	Thr	Phe	Thr	Ser	Ser 45	Ala	Thr	Ala
	Gly	Pro 50	Glu	Thr	Leu	Cys	Gly 55	Ala	Glu	Leu	Val	Asp 60	Ala	Leu	Gln	Ph€
	Val 65	Cys	Gly	Asp	Arg	Gly 70	Phe	Tyr	Phe	Asn	Lys 75	Pro	Thr	Gly	Tyr	Gly 80
	Ser	Ser	Ser	Arg	Arg 85	Ala	Pro	Gln	Thr	Gly 90	Ile	Val	Asp	Glu	C ys 95	Cys
	Phe	Arg	Ser	Cys 100	Asp	Leu	Arg	Arg	Leu 105	Glu	Met	Tyr	Cys	A la 110	Pro	Leu
	Lys	Pro	Ala 115	Lys	Ser	Ala	Arg	Ser 120	Val	Arg	Ala	Gln	Arg 125	His	Thr	Asp
	Met	Pro 130	Lys	Thr	Gln	Lys	Glu 135	Val	His	Leu	Lys	Asn 140	Ala	Ser	Arg	Gly
	Ser 145	Ala	Gly	Asn	Lys	Asn 150	Tyr	Arg	Met							
1	6															

<210> 16 5 <211> 1367 <212> PRT <213> Homo sapiens

<400> 16

Met	Lys	Ser	Gly	$\operatorname{\mathtt{Ser}}$	Gly	Gly	Gly	Ser	Pro	Thr	Ser	Leu	Trp	Gly	Leu
1				5					10					15	

- Leu Phe Leu Ser Ala Ala Leu Ser Leu Trp Pro Thr Ser Gly Glu Ile 20 25 30
- Cys Gly Pro Gly Ile Asp Ile Arg Asn Asp Tyr Gln Gln Leu Lys Arg
 35 40 45
- Leu Glu Asn Cys Thr Val Ile Glu Gly Tyr Leu His Ile Leu Leu Ile 50 55 60
- Ser Lys Ala Glu Asp Tyr Arg Ser Tyr Arg Phe Pro Lys Leu Thr Val 65 70 75 80
- Ile Thr Glu Tyr Leu Leu Phe Arg Val Ala Gly Leu Glu Ser Leu 85 90 95
- Gly Asp Leu Phe Pro Asn Leu Thr Val Ile Arg Gly Trp Lys Leu Phe 100 105 110
- Tyr Asn Tyr Ala Leu Val Ile Phe Glu Met Thr Asn Leu Lys Asp Ile 115 120 125
- Gly Leu Tyr Asn Leu Arg Asn Ile Thr Arg Gly Ala Ile Arg Ile Glu 130 135 140

Lys Asn Ala 145	Asp Leu	Cys Tyr 150	Leu	Ser	Thr	Val 155	Asp	Trp	Ser	Leu	Ile 160
Leu Asp Ala	Val Ser 165	Asn Asn	Tyr	Ile	Val 170	Gly	Asn	Lys	Pro	Pro 175	Lys
Glu Cys Gly	Asp Leu 180	Cys Pro	Gly	Thr 185	Met	Glu	Glu	Lys	Pro 190	Met	Cys
Glu Lys Thr 195		Asn Asn	Glu 200	Tyr	Asn	Tyr	Arg	Cys 205	Trp	Thr	Thr
Asn Arg Cys 210	Gln Lys	Met Cys 215		Ser	Thr	Cys	Gly 220	Lys	Arg	Ala	Cys
Thr Glu Asn 225	Asn Glu	Cys Cys 230	His	Pro	Glu	Cys 235	Leu	Gly	Ser	Cys	Ser 240
Ala Pro Asp	Asn Asp 245		Cys	Val	Ala 250	Cys	Arg	His	Tyr	Tyr 255	Tyr
Ala Gly Val	Cys Val 260	Pro Ala	. Cys	Pro 265	Pro	Asn	Thr	Tyr	Arg 270	Phe	Glu
Gly Trp Arg 275	Cys Val	Asp Arg	Asp 280	Phe	Cys	Ala	Asn	Ile 285	Leu	Ser	Ala
Glu Ser Ser 290	Asp Ser	Glu Gly 295		Val	Ile	His	Asp 300	Gly	Glu	Cys	Met
Gln Glu Cys 305	Pro Ser	Gly Phe	Ile	Arg	Asn	Gly 315	Ser	Gln	Ser	Met	Tyr 320
Cys Ile Pro	Cys Glu 325	Gly Pro	Cys	Pro	Lys 330	Val	Cys	Glu	Glu	Glu 335	Lys
Lys Thr Lys	Thr Ile 340	Asp Ser	Val	Thr 345	Ser	Ala	Gln	Met	Leu 350	Gln	Gly
Cys Thr Ile 355	_	Gly Asn	Leu 360	Leu	Ile	Asn	Ile	Arg 365	Arg	Gly	Asn
Asn Ile Ala 370	Ser Glu	Leu Glu 375		Phe	Met	Gly	Leu 380	Ile	Glu	Val	Val
Thr Gly Tyr	Val Lys	Ile Arg	His	Ser	His	Ala	Leu	Val	Ser	Leu	Ser

385					390					395					400
Phe	Leu	Lys	Asn	Leu 405	Arg	Leu	Ile	Leu	Gly 410	Glu	Glu	Gln	Leu	Glu 415	Gly
Asn	Tyr	Ser	Phe 420	Tyr	Val	Leu	Asp	Asn 425	Gln	Asn	Leu	Gln	Gln 430	Leu	Trp
Asp	Trp	Asp 435	His	Arg	Asn	Leu	Thr 440	Ile	Lys	Ala	Gly	Lys 445	Met	Tyr	Phe
Ala	Phe 450	Asn	Pro	Lys	Leu	Cys 455	Val	Ser	Glu	Ile	Tyr 4 60	Arg	Met	Glu	Glu
Val 465	Thr	Gly	Thr	Lys	Gly 470	Arg	Gln	Ser	Lys	Gly 475	Asp	Ile	Asn	Thr	Arg 480
Asn	Asn	Gly	Glu	Arg 485	Ala	Ser	Суз	Glu	Ser 490	Asp	Val	Leu	His	Phe 495	Thr
Ser	Thr	Thr	Thr 500	Ser	Lys	Asn	Arg	Ile 505	Ile	Ile	Thr	Trp	His 510	Arg	Tyr
Arg	Pro	Pro 515	Asp	Tyr	Arg	Asp	Leu 520	Ile	Ser	Phe	Thr	Val 525	Tyr	Tyr	Lys
Glu	Ala 530	Pro	Phe	Lys	Asn	Val 535	Thr	Glu	Tyr	Asp	Gly 540	Gln	Asp	Ala	Cys
Gly 545	Ser	Asn	Ser	Trp	Asn 550	Met	Val	Asp	Val	Asp 555	Leu	Pro	Pro	Asn	Lys 560
Asp	Val	Glu	Pro	Gly 565	Ile	Leu	Leu	His	Gly 570	Leu	Lys	Pro	Trp	Thr 575	Gln
Tyr	Ala	Val	Tyr 580	Val	Lys	Ala	Val	Thr 585	Leu	Thr	Met	Val	Glu 590	Asn	Asp
His	Ile	Arg 595	Gly	Ala	Lys	Ser	Gl u 600	Ile	Leu	Tyr	Ile	Arg 605	Thr	Asn	Ala
Ser	Val 610	Pro	Ser	Ile	Pro	Leu 615	Asp	Val	Leu	Ser	Ala 620	Ser	Asn	Ser	Ser
Ser 625	Gln	Leu	Ile	Val	Lys 630	Trp	Asn	Pro	Pro	Ser 635	Leu	Pro	Asn	Gly	Asn 640

Leu	Ser	Tyr	Tyr	11e 645	Val	Arg	Trp	Gln	Arg 650	Gln	Pro	Gln	Asp	Gly 655	Tyr
Leu	Tyr	Arg	His 660	Asn	Tyr	Cys	Ser	Lys 665	Asp	Lys	Ile	Pro	Ile 670	Arg	Lys
Tyr	Ala	Asp 675	Gly	Thr	Ile	Asp	Ile 680	Glu	Glu	Val	Thr	Glu 685	Asn	Pro	Lys
Thr	Gl u 690	Val	Cys	Gly	Gly	Gl u 695	Lys	Gly	Pro	Cys	Cys 700	Ala	Cys	Pro	Lys
Thr 705	Glu	Ala	Glu	Lys	Gl n 710	Ala	Glu	Lys	Gl u	Glu 715	Ala	Glu	Tyr	Arg	Lys 720
Val	Phe	Glu	Asn	Phe 725	Leu	His	Asn	Ser	Ile 730	Phe	Val	Pro	Arg	Pro 735	Glu
Arg	Lys	Arg	Arg 740	Asp	Val	Met	Gln	Val 745	Ala	Asn	Thr	Thr	Met 750	Ser	Ser
Arg	Ser	Arg 755	Asn	Thr	Thr	Ala	Ala 760	Asp	Thr	Tyr	Asn	Ile 765	Thr	Asp	Pro
Glu	Glu 770	Leu	Glu	Thr	Glu	Tyr 775	Pro	Phe	Phe	Glu	Ser 780	Arg	Val	Asp	Asn
Lys 785	Glu	Arg	Thr	Val	Ile 790	Ser	Asn	Leu	Arg	Pro 795	Phe	Thr	Leu	Tyr	Arg 800
Ile	Asp	Ile	His	Ser 805	Cys	Asn	His	Glu	Ala 810	Glu	Lys	Leu	Gly	Cys 815	Ser
Ala	Ser	Asn	Phe 820	Val	Phe	Ala	Arg	Thr 825	Met	Pro	Ala	Glu	Gly 830	Ala	Asp
Asp	Ile	Pro 835	Gly	Pro	Val	Thr	Trp 840	Glu	Pro	Arg	Pro	Gl u 8 4 5	Asn	Ser	Ile
Phe	Leu 850	Lys	Trp	Pro	Glu	Pro 855	Glu	Asn	Pro	Asn	Gly 860	Leu	Ile	Leu	Met
Tyr 865	Glu	Ile	Lys	Tyr	Gly 870	Ser	Gln	Val	Glu	Asp 875	Gln	Arg	Glu	Cys	Val 880
Ser	Arg	Gl n	Gl u	Tyr 885	Arg	Lys	Tyr	Gly	Gly 890	Ala	Lys	Leu	Asn	Arg 895	Leu

- Asn Pro Gly Asn Tyr Thr Ala Arg Ile Gln Ala Thr Ser Leu Ser Gly 900 905 910
- Asn Gly Ser Trp Thr Asp Pro Val Phe Phe Tyr Val Gln Ala Lys Thr 915 920 925
- Gly Tyr Glu Asn Phe Ile His Leu Ile Ile Ala Leu Pro Val Ala Val 930 935 940
- Leu Leu Ile Val Gly Gly Leu Val Ile Met Leu Tyr Val Phe His Arg 945 950 955 960
- Lys Arg Asn Asn Ser Arg Leu Gly Asn Gly Val Leu Tyr Ala Ser Val 965 970 975
- Asn Pro Glu Tyr Phe Ser Ala Ala Asp Val Tyr Val Pro Asp Glu Trp 980 985 990
- Glu Val Ala Arg Glu Lys Ile Thr Met Ser Arg Glu Leu Gly Gln Gly 995 1000 1005
- Ser Phe Gly Met Val Tyr Glu Gly Val Ala Lys Gly Val Val Lys 1010 1015 1020
- Asp Glu Pro Glu Thr Arg Val Ala Ile Lys Thr Val Asn Glu Ala 1025 1030 1035
- Ala Ser Met Arg Glu Arg Ile Glu Phe Leu Asn Glu Ala Ser Val 1040 1045 1050
- Met Lys Glu Phe Asn Cys His His Val Val Arg Leu Leu Gly Val 1055 1060 1065
- Val Ser Gln Gly Gln Pro Thr Leu Val Ile Met Glu Leu Met Thr 1070 1075 1080
- Arg Gly Asp Leu Lys Ser Tyr Leu Arg Ser Leu Arg Pro Glu Met 1085 1090 1095
- Glu Asn Asn Pro Val Leu Ala Pro Pro Ser Leu Ser Lys Met Ile 1100 1105 1110
- Gln Met Ala Gly Glu Ile Ala Asp Gly Met Ala Tyr Leu Asn Ala 1115 1120 1125
- Asn Lys Phe Val His Arg Asp Leu Ala Ala Arg Asn Cys Met Val 1130 1135 1140

Ala	Glu 1145	Asp	Phe	Thr	Val	Lys 1150	Ile	Gly	Asp	Phe	Gly 1155	Met	Thr	Arg
Asp	Ile 1160		Glu	Thr	Asp	Tyr 1165		Arg	Lys	Gly	Gly 1170	_	Gly	Leu
Leu	Pro 1175		Arg	Trp	Met	Ser 1180		Glu	Ser	Leu	Lys 1185	Asp	Gly	Val
Phe	Thr 1190		Tyr	Ser		Val 1195		Ser	Phe	Gly	Val 1200		Leu	Trp
Glu	Ile 1205		Thr	Leu		Gl u 1210		Pro	Tyr	Gln	Gly 1215		Ser	Asn
Glu	Gln 1220	Val	Leu	Arg	Phe	Val 1225	Met	Glu	Gly	Gly	Leu 1230	Leu	Asp	Lys
Pro	Asp 1235		Cys	Pro		Met 1240	Leu	Phe	Glu	Leu	Met 1245	Arg	Met	Cys
Trp	Gln 1250	Tyr	Asn	Pro	Lys	Met 1255	Arg	Pro	Ser	Phe	Leu 1260	Gl u	Ile	Ile
Ser	Ser 1265		Lys	Glu	Glu	Met 1270		Pro	Gly	Phe	Arg 1275	Glu	Val	Ser
Phe	Tyr 1280	_	Ser	Glu		Asn 1285	_	Leu	Pro	Glu	Pro 1290		Glu	Leu
Asp	Leu 1295	Glu	Pro	Gl u	Asn	Met 1300	Glu	Ser	Val	Pro	Leu 1305	Asp	Pro	Ser
Ala	Ser 1310	Ser	Ser	Ser	Leu	Pro 1315	Leu	Pro	Asp	Arg	His 1320	Ser	Gly	His
Lys	Ala 1325		Asn	Gly	Pro	Gly 1330	Pro	Gly	Val	Leu	Val 1335	Leu	Arg	Ala
Ser	Phe 1340	Asp	Gl u	Arg	Gl n	Pro 1345	Tyr	Ala	His	Met	Asn 1350	Gly	Gly	Arg
Lys	Asn 1355		Arg	Ala	Leu	Pro 1360	Leu	Pro	Gln	Ser	Ser 1365	Thr	Cys	

<210> 17 <211> 999 <212> PRT

<213> Homo sapiens

<400> 17

Met	Gly	Pro	Ala	Pro	Leu	Pro	Leu	Leu	Leu	Gly	Leu	Phe	Leu	Pro	Ala
1				5					10					15	

- Leu Trp Arg Arg Ala Ile Thr Glu Ala Arg Glu Glu Ala Lys Pro Tyr 20 25 30
- Pro Leu Phe Pro Gly Pro Phe Pro Gly Ser Leu Gln Thr Asp His Thr 35 40 45
- Pro Leu Leu Ser Leu Pro His Ala Ser Gly Tyr Gln Pro Ala Leu Met 50 55 60
- Phe Ser Pro Thr Gln Pro Gly Arg Pro His Thr Gly Asn Val Ala Ile 65 70 75 80
- Pro Gln Val Thr Ser Val Glu Ser Lys Pro Leu Pro Pro Leu Ala Phe 85 90 95
- Lys His Thr Val Gly His Ile Ile Leu Ser Glu His Lys Gly Val Lys
 100 105 110
- Phe Asn Cys Ser Ile Ser Val Pro Asn Ile Tyr Gln Asp Thr Thr Ile 115 120 125
- Ser Trp Trp Lys Asp Gly Lys Glu Leu Leu Gly Ala His His Ala Ile 130 135 140
- Thr Gln Phe Tyr Pro Asp Asp Glu Val Thr Ala Ile Ile Ala Ser Phe 145 150 155
- Ser Ile Thr Ser Val Gln Arg Ser Asp Asn Gly Ser Tyr Ile Cys Lys 165 170 175
- Met Lys Ile Asn Asn Glu Glu Ile Val Ser Asp Pro Ile Tyr Ile Glu 180 185 190
- Val Gln Gly Leu Pro His Phe Thr Lys Gln Pro Glu Ser Met Asn Val 195 200 205
- Thr Arg Asn Thr Ala Phe Asn Leu Thr Cys Gln Ala Val Gly Pro Pro 210 215 220
- Glu Pro Val Asn Ile Phe Trp Val Gln Asn Ser Ser Arg Val Asn Glu

225					230					235					240
Gln	Pro	Glu	Lys	Ser 245	Pro	Ser	Val	Leu	Thr 250	Val	Pro	Gly	Leu	Thr 255	Gl u
Met	Ala	Val	Phe 260	Ser	Cys	Glu	Ala	His 265	Asn	Asp	Lys	Gly	Leu 270	Thr	Val
Ser	Lys	Gly 275	Val	Gln	Ile	Asn	Ile 280	Lys	Ala	Ile	Pro	Ser 285	Pro	Pro	Thr
Glu	Val 290	Ser	Ile	Arg	Asn	Ser 295	Thr	Ala	His	Ser	Ile 300	Leu	Ile	Ser	Trp
Val 305	Pro	Gly	Phe	Asp	Gly 310	Tyr	Ser	Pro	Phe	Arg 315	Asn	Cys	Ser	Ile	Gln 320
Val	Lys	Glu	Ala	Asp 325	Pro	Leu	Ser	Asn	Gly 330	Ser	Val	Met	Ile	Phe 335	Asn
Thr	Ser	Ala	Leu 340	Pro	His	Leu	Tyr	Gln 3 4 5	Ile	Lys	Gln	Leu	G1n 350	Ala	Leu
Ala	Asn	Tyr 355	Ser	Ile	Gly	Val	Ser 360	Cys	Met	Asn	Glu	11e 365	Gly	Trp	Ser
Ala	Val 370	Ser	Pro	Trp	Ile	Leu 375	Ala	Ser	Thr	Thr	Glu 380	Gly	Ala	Pro	Ser
Val 385	Ala	Pro	Leu	Asn	Val 390	Thr	Val	Phe	Leu	Asn 395	Glu	Ser	Ser	Asp	Asn 400
Val	Asp	Ile	Arg	Trp 405	Met	Lys	Pro	Pro	Thr 410	Lys	Gln	Gln	Asp	Gly 415	Glu
Leu	Val	Gly	Tyr 420	Arg	Ile	Ser	His	Val 425	Trp	Gln	Ser	Ala	Gly 430	Ile	Ser
Lys	Glu	Leu 435	Leu	Glu	Glu	Val	Gly 440	Gln	Asn	Gly	Ser	Arg 445	Ala	Arg	Ile
Ser	Val 450	Gln	Val	His	Asn	Ala 455	Thr	Cys	Thr	Val	Arg 460	Ile	Ala	Ala	Val
Thr 465	Arg	Gly	Gly	Val	Gly 470	Pro	Phe	Ser	Asp	Pro 475	Val	Lys	Ile	Phe	Ile 480

Pro	Ala	His	Gly	Trp 485	Val	Asp	Tyr	Ala	Pro 490	Ser	Ser	Thr	Pro	Ala 495	Pro
Gly	Asn	Ala	Asp 500	Pro	Val	Leu	Ile	Ile 505	Phe	Gly	Cys	Phe	Cys 510	Gly	Phe
Ile	Leu	Ile 515	Gly	Leu	Ile	Leu	Tyr 520	Ile	Ser	Leu	Ala	Ile 525	Arg	Lys	Arg
Val	Gln 530	Glu	Thr	Lys	Phe	Gly 535	Asn	Ala	Phe	Thr	Glu 540	Glu	Asp	Ser	Glu
Leu 545	Val	Val	Asn	Tyr	Ile 550	Ala	Lys	Lys	Ser	Phe 555	Cys	Arg	Arg	Ala	Ile 560
Glu	Leu	Thr	Leu	His 565	Ser	Leu	Gly	Val	Ser 570	Glu	Glu	Leu	Gln	As n 575	Lys
Leu	Glu	Asp	Val 580	Val	Ile	Asp	Arg	Asn 585	Leu	Leu	Ile	Leu	Gly 590	Lys	Ile
Leu	Gly	Glu 595	Gly	Glu	₽hę	Gly	Ser 600	Val	Met	Glu	Gly	Asn 605	Leu	Lys	Gln
Glu	Asp 610	Gly	Thr	Ser	Leu	Lys 615	Val	Ala	Val	Lys	Thr 620	Met	Lys	Leu	Asp
Asn 625	Ser	Ser	Gln	Arg	Glu 630	Ilę	Glu	Glu	Phe	Leu 635	Ser	Glu	Ala	Ala	Cys 640
Met	Lys	Asp	Phe	Ser 645	His	Pro	Asn	Val	Ile 650	Arg	Leu	Leu	Gly	Val 655	Cys
Ile	Glu	Met	Ser 660	Ser	Gln	Gly	Ile	Pro 665	Lys	Pro	Met	Val	Ile 670	Leu	Pro
Phę	Met	Lys 675	Tyr	Gly	Asp	Leu	His 680	Thr	Tyr	Leu	Leu	Tyr 685	Ser	Arg	Leu
Glu	Thr 690	Gly	Pro	Lys	His	Ile 695	Pro	Leu	Gln	Thr	Leu 700	Leu	Lys	Phe	Met
Val 705	Asp	Ile	Ala	Leu	Gly 710	Met	Glu	Tyr	Leu	Ser 715	Asn	Arg	Asn	Phe	Leu 720
His	Arg	Asp	Leu	Ala 725	Ala	Arg	Asn	Cys	Met 730	Leu	Arg	Asp	Asp	Met 735	Thr

Val	Cys	Val	Ala 740	Asp	Phe	Gly	Leu	Ser 745	Lys	Lys	Ile	Tyr	Ser 750	Gly	Asp
Tyr	Tyr	Arg 755	Gln	Gly	Arg	Ile	Ala 760	Lys	Met	Pro	Val	Lys 765	Trp	Ile	Ala
Ile	Glu 770	Ser	Leu	Ala	Asp	Ar g 775	Val	Tyr	Thr	Ser	Lys 780	Ser	Asp	Val	Trp
Ala 785	Phe	Gly	Val	Thr	M et 790	Trp	Glu	Ile	Ala	Thr 795	Arg	Gly	Met	Thr	Pro 800
Tyr	Pro	Gly	Val	Gln 805	Asn	His	Glu	Met	Tyr 810	Asp	Tyr	Leu	Leu	His 815	Gly
His	Arg	Leu	Lys 820	Gln	Pro	Glu	Asp	Cys 825	Leu	Asp	Glu	Leu	Tyr 830	Glu	Ile
Met	Tyr	Ser 835	Cys	Trp	Arg	Thr	Asp 840	Pro	Leu	Asp	Arg	Pro 845	Thr	Phe	Ser
Val	Leu 850	Arg	Leu	Gln	Leu	Glu 855	Lys	Leu	Leu	Glu	Ser 860	Leu	Pro	Asp	Val
Arg 865	Asn	Gln	Ala	Asp		Ile	Tyr	Val	Asn	Thr	Gln	Leu	Leu	Glu	Ser
					870					875					880
Ser	Glu	Gly	Leu	Ala 885		Gly	Ser	Thr	Leu 890		Pro	Leu	Asp	Leu 895	
		Pro		885 Ser	Gln	_	Ala		890 Cys	Ala			Asp Ala 910	895 Ala	Asn
Ile	Asp	Pro	Asp 900	885 Ser	Gln Ile	Ile	Ala	Ser 905	890 Cys	Ala Thr	Pro	Arg	Ala	895 Ala	Asn Ile
Ile	Asp Val	Pro Val 915	Asp 900 Thr	885 Ser Ala	Gln Ile Glu	Ile Val	Ala His 920	Ser 905 Asp	890 Cys Ser	Ala Thr Lys	Pro	Arg His 925	Ala 910	895 Ala Gly	Asn Ile Arg
Ile Ser Tyr	Asp Val Ile 930	Pro Val 915	Asp 900 Thr Asn	885 Ser Ala	Gln Ile Glu Gly	Ile Val Ser 935	Ala His 920 Glu	Ser 905 Asp Glu	890 Cys Ser Trp	Ala Thr Lys	Pro Pro Asp 940	Arg His 925 Leu	Ala 910 Glu	Ala Gly Ser	Asn Ile Arg
Ile Ser Tyr Pro	Asp Val Ile 930 Ser	Pro Val 915 Leu Ala	Asp 900 Thr Asn	885 Ser Ala Gly Val	Gln Ile Glu Gly Thr 950	Ile Val Ser 935	Ala His 920 Glu	Ser 905 Asp Glu Lys	890 Cys Ser Trp	Ala Thr Lys Glu Ser 955	Pro Pro Asp 940	Arg His 925 Leu Leu	Ala 910 Glu Thr	895 Ala Gly Ser	Asn Ile Arg Ala Glu 960

Glu Gly Ser Glu Val Leu Met 995

	<210> 18
	<211> 332
_	
5	<212> PRT
	<213> Homo sapiens

<400> 18

Met 1	Leu	Leu	Lys	Glu 5	Tyr	Arg	Ile	Cys	Met 10	Pro	Leu	Thr	Val	Asp 15	Glu
Tyr	Lys	Ile	Gly 20	Gl n	Leu	Tyr	Met	11e 25	Ser	Lys	His	Ser	His 30	Glu	Glr
Ser	Asp	Arg 35	Gly	Glu	Gly	Val	Glu 40	Val	Val	Gln	Asn	Glu 45	Pro	Phe	Gl u
Asp	Pro 50	His	His	Gly	Asn	Gly 55	Gln	Phe	Thr	Glu	Lys 60	Arg	Val	Tyr	Leu
Asn 65	Ser	Lys	Leu	Pro	Ser 70	Trp	Ala	Arg	Ala	Val 75	Val	Pro	Lys	Ile	Ph€ 80
Туг	Val	Thr	Glu	Lys 85	Ala	Trp	Asn	Tyr	Tyr 90	Pro	Tyr	Thr	Ile	Thr 95	Glu
Tyr	Thr	Cys	Ser 100	Phe	Leu	Pro	Lys	Phe 105	Ser	Ile	His	Ile	Glu 110	Thr	Lys
Tyr	Glu	Asp 115	Asn	Lys	Gly	Ser	Asn 120	Asp	Thr	Ile	Phe	Asp 125	Asn	Glu	Ala
Lys	Asp 130	Val	Glu	Arg	Glu	Val 135	Cys	Phe	Ile	Asp	Ile 140	Ala	Cys	Asp	Gl u
Ile 145	Pro	Glu	Arg	Tyr	Tyr 150	Lys	Glu	Ser	Glu	Asp 155	Pro	Lys	His	Phe	Lys 160
Ser	Glu	Lys	Thr	Gly 165	Arg	Gly	Gln	Leu	Arg 170	Glu	Gly	Trp	Arg	Asp 175	Ser
His	Gln	Pro	Ile 180	Met	Cys	Ser	Tyr	Lys 185	Leu	Val	Thr	Val	Lys 190	Phe	Gl u
Val	Trp	Gly 195	Leu	Gln	Thr	Arg	Val 200	Glu	Gln	Phe	Val	His 205	Lys	Val	Val

Arg	Asp	Ile	Leu	Leu	Ile	Gly	His	Arg	Gln	Ala	Phe	Ala	Trp	Val	Asp
	210					215					220				

Glu Trp Tyr Asp Met Thr Met Asp Glu Val Arg Glu Phe Glu Arg Ala 225 230 235 240

Thr Gln Glu Ala Thr Asn Lys Lys Ile Gly Ile Phe Pro Pro Ala Ile 245 250 255

Ser Ile Ser Ser Ile Pro Leu Leu Pro Ser Ser Val Arg Ser Ala Pro 260 265 270

Ser Ser Ala Pro Ser Thr Pro Leu Ser Thr Asp Ala Pro Glu Phe Leu 275 280 285

Ser Val Pro Lys Asp Arg Pro Arg Lys Lys Ser Ala Pro Glu Thr Leu 290 295 300

Thr Leu Pro Asp Pro Glu Lys Lys Ala Thr Leu Asn Leu Pro Gly Met 305 310 315

His Ser Ser Asp Lys Pro Cys Arg Pro Lys Ser Glu 325 330

<210> 19

<211> 268 <212> PRT

5

<213> Homo sapiens

<400> 19

Met Leu Leu Lys Glu Tyr Arg Ile Cys Met Pro Leu Thr Val Asp Glu 1 5 10 15

Tyr Lys Ile Gly Gln Leu Tyr Met Ile Ser Lys His Ser His Glu Gln 20 25 30

Ser Asp Arg Glu Glu Glu Val Glu Val Gln Asn Glu Pro Phe Glu
35 40 45

Asp Pro His His Gly Asn Gly Gln Phe Thr Glu Lys Arg Val Tyr Leu 50 55 60

Asn Ser Lys Leu Pro Ser Trp Ala Arg Ala Val Val Pro Lys Ile Phe 65 70 75 80

Tyr Val Thr Glu Lys Ala Trp Asn Tyr Tyr Pro Tyr Thr Ile Thr Glu 85 90 95

	Tyr	Thr	Cys	Ser 100	Phe	Leu	Pro	Lys	Phe 105	Ser	Ile	His	Ile	Glu 110	Thr	Lys
	Tyr	Glu	Asp 115	Asn	Lys	Gly	Ser	Asn 120	Asp	Thr	Ile	Phe	Asp 125	Asn	Glu	Ala
	Lys	Asp 130	Val	Glu	Arg	Glu	Val 135	Cys	Phe	Ile	Asp	Ile 140	Ala	Cys	Asp	Gl u
	Ile 145	Pro	Glu	Arg	Tyr	Tyr 150	Lys	Glu	Ser	Glu	Asp 155	Pro	Lys	His	Phe	Lys 160
	Ser	Glu	Lys	Thr	Gly 165	Arg	Gly	Gln	Leu	Arg 170	Glu	Gly	Trp	Arg	Asp 175	Ser
	His	Gln	Pro	Ile 180	Met	Cys	Ser	Tyr	Lys 185	Leu	Val	Thr	Val	Lys 190	Phe	Glu
	Val	Trp	Gly 195	Leu	Gln	Thr	Arg	Val 200	Glu	Gln	Phe	Val	His 205	Lys	Val	Val
	Arg	Asp 210	Ile	Leu	Leu	Ile	Gly 215	His	Arg	Gln	Ala	Phe 220	Ala	Trp	Val	Asp
	Glu 225	Trp	Tyr	Asp	Met	Thr 230	Met	Asp	Asp	Val	Arg 235	Glu	Tyr	Glu	Lys	Asn 240
	Met	His	Glu	Gln	Thr 245	Asn	Ile	Lys	Val	Cys 250	Asn	Gln	His	Ser	Ser 255	Pro
	Val	Asp	Asp	11e 260	Glu	Ser	His	Ala	Gln 265	Thr	Ser	Thr				
<210> 2 <211> 7 <212> 8 <213> 8	766 PRT	sapien	s													

<400> 20

Met Arg Leu Trp Lys Ala Val Val Thr Leu Ala Phe Met Ser Val 1 5 10 15

Asp Ile Cys Val Thr Thr Ala Ile Tyr Val Phe Ser His Leu Asp Arg 20 25 30

Ser Leu Leu Glu Asp Ile Arg His Phe Asn Ile Phe Asp Ser Val Leu 35 40 45

10

A	qe	Leu 50	Trp	Ala	Ala	Cys	Leu 55	Tyr	Arg	Ser	Cys	Leu 60	Leu	Leu	Gly	Ala
T1 63		Ile	Gly	Val	Ala	Lys 70	Asn	Ser	Ala	Leu	Gly 75	Pro	Arg	Arg	Leu	Arg 80
A.	la	Ser	Trp	Leu	Val 85	Ile	Thr	Leu	Val	Cys 90	Leu	Phe	Val	Gly	Ile 95	Tyr
A	la	Met	Val	Lys 100	Leu	Leu	Leu	Phe	Ser 105	Glu	Val	Arg	Arg	Pro 110	Ile	Arg
A	sp	Pro	Trp 115	Phe	Trp	Ala	Leu	Phe 120	Val	Trp	Thr	Tyr	Ile 125	Ser	Leu	Gly
A.	la	Ser 130	Phe	Leu	Leu	Trp	Trp 135	Leu	Leu	Ser	Thr	Val 140	Arg	Pro	Gly	Thr
	ln 45	Ala	Leu	Glu	Pro	Gly 150	Ala	Ala	Thr	Glu	Ala 155	Glu	Gly	Phe	Pro	Gly 160
Se	er	Gly	Arg	Pro	Pro 165	Pro	Glu	Gln	Ala	Ser 170	Gly	Ala	Thr	Leu	Gln 175	Lys
L	∌u	Leu	Ser	Tyr 180	Thr	Lys	Pro	Asp	Val 185	Ala	Phe	Leu	Val	Ala 190	Ala	Ser
Pl	he	Phe	Leu 195	Ile	Val	Ala	Ala	Leu 200	Gly	Glu	Thr	Phe	Leu 205	Pro	Tyr	Tyr
Tl	hr	Gly 210	Arg	Ala	Ile	Asp	Gly 215	Ile	Val	Ile	Gln	Lys 220	Ser	Met	Asp	Gln
	he 25	Ser	Thr	Ala	Val	Val 230	Ile	Val	Cys	Leu	Leu 235	Ala	Ile	Gly	Ser	Ser 240
Pl	he	Ala	Ala	Gly	Ile 245	Arg	Gly	Gly	Ilę	Phe 250	Thr	Leu	Ile	Ph⊕	Ala 255	Arg
Le	eu	Asn	Ile	Arg 260	Leu	Arg	Asn	Cys	Leu 265	Phe	Arg	Ser	Leu	Val 270	Ser	Gln
G:	lu	Thr	Ser 275	Phe	Phe	Asp	Glu	Asn 280	Arg	Thr	Gly	Asp	Leu 285	Ile	Ser	Arg
т.4	211	ጥ ኮ∽	800	\ Aer	The	The	Mo+	17a 1	ge.	Non-	Len	Va 1	ge~	Gln	Len	Tle

	290					295					300				
Asn 305	Val	Phe	Leu	Arg	Asn 310	Thr	Val	Lys	Val	Thr 315	Gly	Val	Val	Val	Phe 320
Met	Phe	Ser	Leu	Ser 325	Trp	Gln	Leu	Ser	Leu 330	Val	Thr	Phe	Met	Gly 335	Phe
Pro	Ile	Ile	Met 340	Met	Val	Ser	Aşn	Ile 345	Tyr	Gly	Lys	Tyr	Tyr 350	Lys	Arg
Leu	Ser	Lys 355	Glu	Val	Gln	Asn	Ala 360	Leu	Ala	Arg	Ala	Ser 365	Asn	Thr	Ala
Glu	Glu 370	Thr	Ile	Ser	Ala	Met 375	Lys	Thr	Val	Arg	Ser 380	Phe	Ala	Asn	Glu
Glu 385	Glu	Glu	Ala	Glu	Val 390	Tyr	Leu	Arg	Lys	Leu 395	Gln	Gln	Val	Tyr	Lys 400
Leu	Asn	Arg	Lys	G1u 405	Ala	Ala	Ala	Tyr	Met 410	Tyr	Tyr	Val	Trp	Gly 415	Ser
Gly	Leu	Thr	Leu 420	Leu	Val	Val	Gln	Val 425	Ser	Ile	Leu	Tyr	Tyr 430	Gly	Gly
His	Leu	Val 435	Ile	Ser	Gly	Gln	Met 440	Thr	Ser	Gly	Asn	Leu 445	Ile	Ala	Phe
Ile	Ile 450	Tyr	Glu	Phe	Val	Leu 455	Gly	Asp	Cys	Met	Glu 460	Ser	Val	Gly	Ser
Val 465	Tyr	Ser	Gly	Leu	Met 470	Gln	Gly	Val	Gly	Ala 475	Ala	Glu	Lys	Val	Phe 480
Glu	Phe	Ile	Asp	Ar g 485	Gln	Pro	Thr	Met	Val 490	His	Asp	Gly	Ser	Leu 495	Ala
Pro	Asp	His	Leu 500	Glu	Gly	Arg	Val	Asp 505	Phe	Glu	Asn	Val	Thr 510	Phe	Thr
Tyr	Arg	Thr 515	Arg	Pro	His	Thr	Gln 520	Val	Leu	Gln	Asn	Val 525	Ser	Phe	Ser
Leu	Ser	Pro	Gly	Lys	Val	Thr	Ala	Leu	Val	Gly	Pro	Ser	Gly	Ser	Gly

Lys 545	Ser	Ser	Cys	Val	Asn 550	Ile	Leu	Glu	Asn	Phe 555	Tyr	Pro	Leu	Glu	G1 <u>y</u> 560
Gly	Arg	Val	Leu	Leu 565	Asp	Gly	Lys	Pro	Ile 570	Ser	Ala	Tyr	Asp	His 575	Lys
Tyr	Leu	His	Arg 580	Val	Ile	Ser	Leu	Val 585	Ser	Gln	Glu	Pro	Val 590	Leu	Ph€
Ala	Arg	Ser 595	Ile	Thr	Asp	Asn	Ile 600	Ser	Tyr	Gly	Leu	Pro 605	Thr	Val	Pro
Phe	Gl u 610	Met	Val	Val	Glu	Ala 615	Ala	Gln	Lys	Ala	Asn 620	Ala	His	Gly	Phe
Ile 625	Met	Glu	Leu	Gln	Asp 630	Gly	Tyr	Ser	Thr	Glu 635	Thr	Gly	Glu	Lys	G1y 640
Ala	Gl n	Leu	Ser	Gly 645	Gly	Gln	Lys	Gln	Arg 650	Val	Ala	Met	Ala	Arg 655	Ala
Leu	Val	Arg	Asn 660	Pro	Pro	Val	Leu	Ile 665	Leu	Asp	Glu	Ala	Thr 670	Ser	Ala
Leu	Asp	Ala 675	Glu	Ser	Glu	Tyr	Leu 680	Ile	Gln	Gln	Ala	Ile 685	His	Gly	Asr
Leu	Gl n 690	Lys	His	Thr	Val	Leu 695	Ile	Ile	Ala	His	Arg 700	Leu	Ser	Thr	Val
Gl u 705	His	Ala	His	Leu	Ile 710	Val	Val	Leu	Asp	Lys 715	Gly	Arg	Val	Val	Gl r 720
Gln	Gly	Thr	His	Gln 725	Gln	Leu	Leu	Ala	Gln 730	Gly	Gly	Leu	Tyr	Ala 735	Lys
Leu	Val	Gln	Arg 740	Gl n	Met	Leu	Gly	Leu 7 4 5	Gl n	Pro	Ala	Ala	Asp 750	Phe	Thr
Ala	Gly	His 755	Asn	Glu	Pro	Val	Ala 760	Asn	Gly	Ser	His	Lys 765	Ala		

<210> 21 <211> 370 <212> PRT

5

<213> Homo sapiens

<400> 21

Met 1	Asp	Ala	Pro	Arg 5	Gln	Val	Val	Asn	Phe 10	Gly	Pro	Gly	Pro	Ala 15	Lys
Leu	Pro	His	Ser 20	Val	Leu	Leu	Glu	Ile 25	Gln	Lys	Glu	Leu	Leu 30	Asp	Tyr
Lys	Gly	Val 35	Gly	Ile	Ser	Val	Leu 40	Glu	Met	Ser	His	Arg 45	Ser	Ser	Asp
Phe	Ala 50	Lys	Ile	Ile	Asn	Asn 55	Thr	Glu	Asn	Leu	Val 60	Arg	Glu	Leu	Leu
Ala 65	Val	Pro	Asp	Aşn	Tyr 70	Lys	val	Ile	Phe	Leu 75	Gln	Gly	Gly	Gly	C ys 80
Gly	Gln	Phe	Ser	Ala 85	Val	Pro	Leu	Asn	Leu 90	Ile	Gly	Leu	Lys	Ala 95	Gly
Arg	Cys	Ala	Asp 100	Tyr	Val	Val	Thr	Gly 105	Ala	Trp	Ser	Ala	Lys 110	Ala	Ala
Glu	Glu	Ala 115	Lys	Lys	Phe	Gly	Thr 120	Ile	Asn	Ile	Val	His 125	Pro	Lys	Leu
Gly	Ser 130	Tyr	Thr	Lys	Ile	Pro 135	Asp	Pro	Ser	Thr	Trp 140	Asn	Leu	Asn	Pro
Asp 145	Ala	Ser	Tyr	Val	Tyr 150	Tyr	Cys	Ala	Asn	Glu 155	Thr	Val	His	Gly	Val 160
Glu	Phe	Asp	Phe	Ile 165	Pro	Asp	Val	Lys	Gly 170	Ala	Val	Leu	Val	Cys 175	Asp
Met	Ser	Ser	Asn 180	Phe	Leu	Ser	Lys	Pro 185	Val	Asp	Val	Ser	Lys 190	Phe	Gly
Val	Ile	Phe 195	Ala	Gly	Ala	Gln	Lys 200	Asn	Val	Gly	Ser	Ala 205	Gly	Val	Thr
Val	Val 210	Ile	Val	Arg	Asp	Asp 215	Leu	Leu	Gly	Phe	Ala 220	Leu	Arg	Glu	Cys
Pro 225	Ser	Val	Leu	Glu	Tyr 230	Lys	Val	Gln	Ala	Gly 235	Asn	Ser	Ser	Leu	Tyr 240
Asn	Thr	Pro	Pro	Cys 245		Ser	I l e	Tyr	Val 250		Gly	Leu	Val	Leu 255	

Trp Ile Lys Asn Asn Gly Gly Ala Ala Ala Met Glu Lys Leu Ser Ser 260 265 270

Ile Lys Ser Gln Thr Ile Tyr Glu Ile Ile Asp Asn Ser Gln Gly Phe 275 280 285

Tyr Val Cys Pro Val Glu Pro Gln Asn Arg Ser Lys Met Asn Ile Pro 290 295 300

Phe Arg Ile Gly Asn Ala Lys Gly Asp Asp Ala Leu Glu Lys Arg Phe 305 310 315 320

Leu Asp Lys Ala Leu Glu Leu Asn Met Leu Ser Leu Lys Gly His Arg 325 330 335

Ser Val Gly Gly Ile Arg Ala Ser Leu Tyr Asn Ala Val Thr Ile Glu 340 345 350

Asp Val Gln Lys Leu Ala Ala Phe Met Lys Lys Phe Leu Glu Met His 355 360 365

Gln Leu 370

<210> 22

<211> 324

<212> PRT

5

<213> Homo sapiens

<400> 22

Met Asp Ala Pro Arg Gln Val Val Asn Phe Gly Pro Gly Pro Ala Lys

1 10 15

Leu Pro His Ser Val Leu Leu Glu Ile Gln Lys Glu Leu Leu Asp Tyr 20 25 30

Lys Gly Val Gly Ile Ser Val Leu Glu Met Ser His Arg Ser Ser Asp 35 40 45

Phe Ala Lys Ile Ile Asn Asn Thr Glu Asn Leu Val Arg Glu Leu Leu 50 55 60

Ala Val Pro Asp Asn Tyr Lys Val Ile Phe Leu Gln Gly Gly Gly Cys
65 70 75 80

Gly Gln Phe Ser Ala Val Pro Leu Asn Leu Ile Gly Leu Lys Ala Gly 85 90 95

Arg	Cys	Ala	Asp 100	Tyr	Val	Val	Thr	Gly 105	Ala	Trp	Ser	Ala	Lys 110	Ala	Ala
Glu	Glu	Ala 115	Lys	Lys	Phe	Gly	Thr 120	Ile	Asn	Ile	Val	His 125	Pro	Lys	Leu
Gly	Ser 130	Tyr	Thr	Lys	Ile	Pro 135	Asp	Pro	Ser	Thr	Trp 140	Asn	Leu	Asn	Pro
Asp 145	Ala	Ser	Tyr	Val	Tyr 150	Tyr	Cys	Ala	Asn	Glu 155	Thr	Val	His	Gly	Val 160
Glu	Phe	Asp	Phe	Ile 165	Pro	Asp	Val	Lys	Gly 170	Ala	Val	Leu	Val	Cys 175	Asp
Met	Ser	Ser	Asn 180	Phe	Leu	Ser	Lys	Pro 185	Val	Asp	Val	Ser	Lys 190	Phe	Gly
Val	Ilę	Phe 195	Ala	Gly	Ala	Gln	Lys 200	Asn	Val	Gly	Ser	Ala 205	Gly	Val	Thr
Val	Val 210	Il⊕	Val	Arg	Asp	Asp 215	Leu	Leu	Gly	Phe	Ala 220	Leu	Arg	Glu	Суз
225			Leu		230	-				235					240
			Pro	245				_	250					255	
			Asn 260					265					270		
		275	G1n				280					285			
_	290		Val			295	-				300				
11 ⊕ 305	Glu	Asp	Val	G1n	Lys 310	Leu	Ala	Ala	Phe	Met 315	Lys	Lys	Phe	Leu	Gl u 320
14 - A	** -	~1 ·	T												

Met His Gln Leu

<210> 23 <211> 843 <212> PRT

<213> Homo sapiens

<400> 23

Met	Ala	Lys	Pro	Leu	Thr	Asp	Ser	Glu	Lys	Arg	Lys	Gln	Ile	Ser	Val
1				5					10					15	

- Asn Arg His Leu His Phe Thr Leu Val Lys Asp Arg Asn Val Ala Thr 35 40 45
- Pro Arg Asp Tyr Phe Phe Ala Leu Ala His Thr Val Arg Asp His Leu 50 60
- Val Gly Arg Trp Ile Arg Thr Gln Gln His Tyr Tyr Glu Arg Asp Pro 65 70 75 80
- Lys Arg Ile Tyr Tyr Leu Ser Leu Glu Phe Tyr Met Gly Arg Thr Leu 85 90 95
- Gln Asn Thr Met Val Asn Leu Gly Leu Gln Asn Ala Cys Asp Glu Ala 100 105 110
- Ile Tyr Gln Leu Gly Leu Asp Leu Glu Glu Leu Glu Glu Ile Glu Glu 115 120 125
- Asp Ala Gly Leu Gly Asn Gly Gly Leu Gly Arg Leu Ala Ala Cys Phe 130 135 140
- Leu Asp Ser Met Ala Thr Leu Gly Leu Ala Ala Tyr Gly Tyr Gly Ile 145 150 155 160
- Arg Tyr Glu Phe Gly Ile Phe Asn Gln Lys Ile Val Asn Gly Trp Gln 165 170 175
- Val Glu Glu Ala Asp Asp Trp Leu Arg Tyr Gly Asn Pro Trp Glu Lys 180 185 190
- Ala Arg Pro Glu Tyr Met Leu Pro Val His Phe Tyr Gly Arg Val Glu 195 200 205
- His Thr Pro Asp Gly Val Lys Trp Leu Asp Thr Gln Val Val Leu Ala 210 215 220
- Met Pro Tyr Asp Thr Pro Val Pro Gly Tyr Lys Asn Asn Thr Val Asn 225 230 235 240

Thr	Met	Arg	Leu	Trp 245	Ser	Ala	Lys	Ala	Pro 250	Asn	Asp	Phe	Lys	Leu 255	Gln
Asp	Phe	Asn	Val 260	Gly	Asp	Tyr	Ile	Glu 265	Ala	Val	Leu	Asp	Ar g 270	Asn	Leu
Ala	Glu	Asn 275	Ile	Ser	Arg	Val	Leu 280	Tyr	Pro	Asn	Asp	Asn 285	Phe	Phe	Glu
Gly	Lys 290	Glu	Leu	Arg	Leu	Lys 295	Gln	Glu	Tyr	Phe	Val 300	Val	Ala	Ala	Thr
Leu 305	Gln	Asp	Ile	Ile	Arg 310	Arg	Phe	Lys	Ser	Ser 315	Lys	Phe	Gly	Cys	Arg 320
Asp	Pro	Val	Arg	Thr 325	Cys	Phe	Glu	Thr	Phe 330	Pro	Asp	Lys	Val	Ala 335	Ile
Gln	Leu	Asn	Asp 340	Thr	His	Pro	Ala	Leu 345	Ser	Ile	Pro	Glu	Leu 350	Met	Arg
Ile	Leu	Val 355	Asp	Val	Glu	Lys	Val 360	Asp	Trp	Asp	Lys	Ala 365	Trp	Glu	Ile
Thr	Lys 370	Lys	Thr	Cys	Ala	Tyr 375	Thr	Asn	His	Thr	Val 380	Leu	Pro	Glu	Ala
Leu 385	Glu	Arg	Trp	Pro	Val 390	Ser	Met	Phe	Glu	Lys 395	Leu	Leu	Pro	Arg	His 400
Leu	Glu	Ile	Ile	Tyr 405	Ala	Ile	Asn	Gln	Arg 410	His	Leu	Asp	His	Val 415	Ala
Ala	Leu	Phe	Pro 420	Gly	Asp	Val	Asp	Arg 425	Leu	Arg	Arg	Met	Ser 430	Val	Ile
Glu	Glu	Gly 435	Asp	Cys	Lys	Arg	Ile 440	Asn	Met	Ala	His	Leu 445	Cys	Val	Ile
Gly	Ser 450	His	Ala	Val	Asn	Gly 455	Val	Ala	Arg	Ile	His 460	Ser	Glu	Ile	Val
Lys 465	Gln	Ser	Val	Phe	Lys 470	Asp	Phe	Tyr	Glu	Leu 475	Glu	Pro	Glu	Lys	Phe 480
Gln	Asn	Lys	Thr	Asn	Gly	Ile	Thr	Pro	Arg	Arg	Trp	Leu	Leu	Leu	Cys

				485					490					495	
Asn	Pro	Gly	Leu 500	Ala	Asp	Thr	Ile	Val 505	Glu	Lys	Ile	Gly	Glu 510	Glu	Phe
Leu	Thr	Asp 515	Leu	Ser	Gln	Leu	Lys 520	Lys	Leu	Leu	Pro	Leu 525	Val	Ser	Asp
Gl u	Val 530	Phe	Ile	Arg	Asp	Val 535	Ala	Lys	Val	Lys	Gln 540	Glu	Asn	Lys	Leu
Lys 545	Phe	Ser	Ala	Phe	Leu 550	Glu	Lys	Glu	Tyr	Lys 555	Val	Lys	Ile	Asn	Pr o 560
Ser	Ser	Met	Phe	Asp 565	Val	His	Val	Lys	Arg 570	Ile	His	Glu	Tyr	Lys 575	Arg
Gln	Leu	Leu	Asn 580	Cys	Leu	His	Val	Val 585	Thr	Leu	Tyr	Asn	Arg 590	Ile	Lys
Arg	Asp	Pro 595	Ala	Lys	Ala	Phe	Val 600	Pro	Arg	Thr	Val	Met 605	Ile	Gly	Gly
Lys	Ala 610	Ala	Pro	Gly	Tyr	His 615	Met	Ala	Lys	Leu	11e 620	Ile	Lys	Leu	Val
Thr 625	Ser	Ile	Gly	Asp	Val 630	Val	Asn	His	Asp	Pro 635	Val	Val	Gly	Asp	Arg 640
Leu	Lys	Val	Ile	Phe 645	Leu	Glu	Asn	Tyr	Arg 650	Val	Ser	Leu	Ala	G1u 655	Lys
Val	Ile	Pro	Ala 660	Ala	Asp	Leu	Ser	Gln 665	Gln	Ile	Ser	Thr	Ala 670	Gly	Thr
Glu	Ala	Ser 675	Gly	Thr	Gly	Asn	Me t 680	Lys	Phe	Met	Leu	Asn 685	Gly	Ala	Leu
Thr	11e 690	Gly	Thr	Met	Asp	Gly 695	Ala	Asn	Val	Glu	Met 7 00	Ala	Glu	Glu	Ala
Gly 705	Ala	Glu	Asn	Leu	Phe 710	Ile	Phe	Gly	Leu	Arg 715	Val	Glu	Asp	Val	Glu 720
Ala	Leu	Asp	Arg	Lys	Gly	Tyr	Asn	Ala	Arg	Glu	Tyr	Tyr	Asp	His	Leu

Pro	Glu	Lęu	Lys	Gln	Ala	Val	Asp	Gln	Ile	Ser	Ser	Gly	Phe	Phe	Ser
			740					745					750		

Pro Lys Glu Pro Asp Cys Phe Lys Asp Ile Val Asn Met Leu Met His 755 760 765

His Asp Arg Phe Lys Val Phe Ala Asp Tyr Glu Ala Tyr Met Gln Cys
770 780

Gln Ala Gln Val Asp Gln Leu Tyr Arg Asn Pro Lys Glu Trp Thr Lys 785 790 795 800

Lys Val Ile Arg Asn Ile Ala Cys Ser Gly Lys Phe Ser Ser Asp Arg 805 810 815

Thr Ile Thr Glu Tyr Ala Arg Glu Ile Trp Gly Val Glu Pro Ser Asp 820 825 830

Leu Gln Ile Pro Pro Pro Asn Ile Pro Arg Asp 835 840

<210> 24

<211> 504

<212> PRT

5

<213> Homo sapiens

<400> 24

Met Leu Tyr Phe Ser Leu Phe Trp Ala Ala Arg Pro Leu Gln Arg Cys

1 10 15

Gly Gln Leu Val Arg Met Ala Ile Arg Ala Gln His Ser Asn Ala Ala 20 25 30

Gln Thr Gln Thr Gly Glu Ala Asn Arg Gly Trp Thr Gly Gln Glu Ser 35 40 45

Leu Ser Asp Ser Asp Pro Glu Met Trp Glu Leu Leu Gln Arg Glu Lys 50 55 60

Asp Arg Gln Cys Arg Gly Leu Glu Leu Ile Ala Ser Glu Asn Phe Cys 65 70 75 80

Ser Arg Ala Ala Leu Glu Ala Leu Gly Ser Cys Leu Asn Asn Lys Tyr 85 90 95

Ser Glu Gly Tyr Pro Gly Lys Arg Tyr Tyr Gly Gly Ala Glu Val Val 100 105 110

Asp	Glu	Ile 115	Glu	Leu	Leu	Cys	Gl n 120	Arg	Arg	Ala	Leu	Glu 125	Ala	Phe	Asp
Leu	Asp 130	Pro	Ala	Gl n	Trp	Gly 135	Val	Asn	Val	Gln	Pro 140	Tyr	Ser	Gly	Ser
Pro 145	Ala	Asn	Leu	Ala	Val 150	Tyr	Thr	Ala	Leu	Leu 155	Gln	Pro	His	Asp	Arg 160
Ile	Met	Gly	Leu	Asp 165	Leu	Pro	Asp	Gly	Gly 170	His	Leu	Thr	His	Gly 175	Tyr
Met	Ser	Asp	Val 180	Lys	Arg	Ile	Ser	Ala 185	Thr	Ser	Ile	Phe	Phe 190	Glu	Ser
Met	Pro	Tyr 195	Lys	Leu	Asn	Pro	Lys 200	Thr	Gly	Leu	Ile	Asp 205	Tyr	Asn	Gln
Leu	Ala 210	Leu	Thr	Ala	Arg	Leu 215	Phe	Arg	Pro	Arg	Leu 220	Ile	Ile	Ala	Gly
Thr 225	Ser	Ala	Tyr	Ala	Arg 230	Leu	Ile	Asp	Tyr	Ala 235	Arg	Met	Arg	Glu	Val 240
Cys	Asp	Glu	Val	Lys 245	Ala	His	Leu	Leu	Ala 250	Asp	Met	Ala	His	Ile 255	Ser
Gly	Leu	Val	Ala 260	Ala	Lys	Val	Ile	Pro 265	Ser	Pro	Phe	Lys	His 270	Ala	Asp
Ile	Val	Thr 275	Thr	Thr	Thr	His	Lys 280	Thr	Leu	Arg	Gly	Ala 285	Arg	Ser	Gly
Leu	Ile 290	Phe	Tyr	Arg	Lys	Gly 295	Val	Lys	Ala	Val	Asp 300	Pro	Lys	Thr	Gly
Arg 305	Glu	Ile	Pro	Tyr	Thr 310	Phe	Glu	Asp	Arg	Ile 315	Asn	Phe	Ala	Val	Phe 320
Pro	Ser	Leu	Gl n	Gly 325	Gly	Pro	His	Asn	His 330	Ala	Ile	Ala	Ala	Val 335	Ala
Val	Ala	Leu	Lys 340	Gln	Ala	Cys	Thr	Pro 345	Met	Phe	Arg	Glu	Туг 350	Ser	Leu
Gl n	Val	Leu 355	Lys	Asn	Ala	Arg	Ala	Met	Ala	Asp	Ala	Leu 365	Leu	Glu	Arg

Gly	Tyr	Şer	Lęu	Val	Ser	Gly	Gly	Thr	Asp	Asn	His	Leu	Val	Leu	Val
	370					375					380				

Asp Leu Arg Pro Lys Gly Leu Asp Gly Ala Arg Ala Glu Arg Val Leu 385 390 395 400

Glu Leu Val Ser Ile Thr Ala Asn Lys Asn Thr Cys Pro Gly Asp Arg
405 410 415

Ser Ala Ile Thr Pro Gly Gly Leu Arg Leu Gly Ala Pro Ala Leu Thr 420 425 430

Ser Arg Gln Phe Arg Glu Asp Asp Phe Arg Arg Val Val Asp Phe Ile 435 440 445

Asp Glu Gly Val Asn Ile Gly Leu Glu Val Lys Ser Lys Thr Ala Lys 450 455 460

Leu Gln Asp Phe Lys Ser Phe Leu Leu Lys Asp Ser Glu Thr Ser Gln 465 470 475 480

Arg Leu Ala Asn Leu Arg Gln Arg Val Glu Gln Phe Ala Arg Ala Phe
485
490
495

Pro Met Pro Gly Phe Asp Glu His 500

<210> 25 <211> 494 <212> PRT

<213> Homo sapiens

<400> 25

Met Leu Tyr Phe Ser Leu Phe Trp Ala Ala Arg Pro Leu Gln Arg Cys

1 10 15

Gly Gln Leu Val Arg Met Ala Ile Arg Ala Gln His Ser Asn Ala Ala 20 25 30

Gln Thr Gln Thr Gly Glu Ala Asn Arg Gly Trp Thr Gly Gln Glu Ser 35 40 45

Leu Ser Asp Ser Asp Pro Glu Met Trp Glu Leu Leu Gln Arg Glu Lys 50 55 60

Asp Arg Gln Cys Arg Gly Leu Glu Leu Ile Ala Ser Glu Asn Phe Cys 65 70 75 80

10

Ser	Arg	Ala	Ala	Leu 85	Glu	Ala	Leu	Gly	Ser 90	Суз	Leu	Asn	Asn	Ly s 95	Tyr
Ser	Glu	Gly	Туг 100	Pro	Gly	Lys	Arg	Tyr 105	Tyr	Gly	Gly	Ala	Glu 110	Val	Val
Asp	Glu	Ile 115	Glu	Leu	Leu	Cys	Gl n 120	Arg	Arg	Ala	Leu	Gl u 125	Ala	Phe	Asp
Leu	Asp 130	Pro	Ala	Gln	Trp	Gly 135	Val	Asn	Val	Gln	Pro 140	Tyr	Ser	Gly	Ser
Pro 145	Ala	Asn	Leu	Ala	Val 150	Tyr	Thr	Ala	Leu	Leu 155	Gln	Pro	His	Asp	A rg 160
Ile	Met	Gly	Leu	Asp 165	Leu	Pro	Asp	Gly	Gly 170	His	Leu	Thr	His	Gly 175	Tyr
Met	Ser	Asp	Val 180	Lys	Arg	Ile	Ser	Ala 185	Thr	Ser	Ile	Phe	Phe 190	Glu	Ser
Met	Pro	Tyr 195	Lys	Leu	Asn	Leu	Ala 200	Leu	Thr	Ala	Arg	Leu 205	Phe	Arg	Pro
Arg	Leu 210	Ile	Ile	Ala	Gly	Thr 215	Ser	Ala	Tyr	Ala	Arg 220	Leu	Ile	Asp	Tyr
Ala 225	Arg	Met	Arg	Glu	Val 230	Cys	Asp	Glu	Val	Lys 235	Ala	His	Leu	Leu	Ala 240
Asp	Met	Ala	His	Ile 245	Ser	Gly	Leu	Val	Ala 250	Ala	Lys	Val	Ile	Pro 255	Ser
Pro	Phe	Lys	His 260	Ala	Asp	Ile	Val	Thr 265	Thr	Thr	Thr	His	Lys 270	Thr	Leu
Arg	Gly	Ala 275	Arg	Ser	Gly	Leu	Ile 280	Phe	Tyr	Arg	Lys	Gly 285	Val	Lys	Ala
Val	Asp 290	Pro	Lys	Thr	Gly	Arg 295	Glu	Ile	Pro	Tyr	Thr 300	Phe	Glu	Asp	Arg
Ile 305	Asn	Phe	Ala	Val	Phe 310	Pro	Ser	Leu	Gl n	Gly 315	Gly	Pro	His	Asn	His 320
Ala	Ile	Ala	Ala	Val 325	Ala	Val	Ala	Leu	Lys 330	Gln	Ala	Cys	Thr	Pro 335	Met

	Phe	Arg	Glu	Tyr 340	Ser	Leu	Gln	Val	Leu 345	Lys	Asn	Ala	Arg	Ala 350	Met	Ala
	Asp	Ala	Leu 355	Leu	Glu	Arg	Gly	Tyr 360	Ser	Leu	Val	Ser	Gly 365	Gly	Thr	Asp
	Asn	His 370	Leu	Val	Leu	Val	Asp 375	Leu	Arg	Pro	Lys	Gly 380	Leu	Asp	Gly	Ala
	Arg 385	Ala	Glu	Arg	Val	Leu 390	Glu	Leu	Val	Ser	11e 395	Thr	Ala	Asn	Lys	Asn 400
	Thr	Cys	Pro	Gly	Asp 405	Arg	Ser	Ala	Ile	Thr 410	Pro	Gly	Gly	Leu	Arg 415	Leu
	Gly	Ala	Pro	Ala 420	Leu	Thr	Ser	Arg	Gln 425	Phe	Arg	Glu	Asp	Asp 430	Phe	Arg
	Arg	Val	Val 435	Asp	Phe	Ile	Asp	Glu 440	Gly	Val	Asn	Ilę	Gly 445	Leu	Glu	Val
	Lys	Ser 450	Lys	Thr	Ala	Lys	Leu 455	Gln	Asp	Phe	Lys	Ser 460	Phe	Leu	Leu	Lys
	Asp 465	Ser	Glu	Thr	Ser	Gln 470	Arg	Leu	Ala	Asn	Leu 475	Arg	Gln	Arg	Val	Gl u 480
	Gln	Phe	Ala	Arg	Ala 485	Phe	Pro	Met	Pro	Gly 490	Phe	Asp	Glu	His		
<210> 2 <211> 4 <212> F <213> F	183 PRT	sapier	าร													
<400> 2	26															
	Met 1	. Ala	ı Ile	Arç	Ala 5	Glr	Hiş	s Ser	: Asn	Ala 10	Ala	Gln	Thr	: Gln	Thr 15	Gl;

Glu Ala Asn Arg Gly Trp Thr Gly Gln Glu Ser Leu Ser Asp Ser Asp 20 25 30

Pro Glu Met Trp Glu Leu Leu Gln Arg Glu Lys Asp Arg Gln Cys Arg 35 40 45

Gly Leu Glu Leu Ile Ala Ser Glu Asn Phe Cys Ser Arg Ala Ala Leu 50 55 60

Glu 65	Ala	Leu	Gly	Ser	Су s 70	Leu	Asn	Asn	Lys	Tyr 75	Ser	Glu	Gly	Tyr	Pro 80
Gly	Lys	Arg	Tyr	Tyr 85	Gly	Gly	Ala	Glu	Val 90	Val	Asp	Glu	Ile	Gl u 95	Leu
Leu	Cys	Gln	Arg 100	Arg	Ala	Leu	Glu	Ala 105	Phe	Asp	Leu	Asp	Pro 110	Ala	Gln
Trp	Gly	Val 115	Asn	Val	Gln	Pro	Tyr 120	Ser	Gly	Ser	Pro	Ala 125	Asn	Leu	Ala
Val	Tyr 130	Thr	Ala	Leu	Leu	Gl n 135	Pro	His	Asp	Arg	Ile 140	Met	Gly	Leu	Asp
Leu 145	Pro	Asp	Gly	Gly	His 150	Leu	Thr	His	Gly	Tyr 155	Met	Ser	Asp	Val	Lys 160
Arg	Ile	Ser	Ala	Thr 165	Ser	Ile	Phe	Phe	Glu 170	Ser	Met	Pro	Tyr	Lys 175	Leu
Asn	Pro	Lys	Thr 180	Gly	Leu	Ile	Asp	Tyr 185	Asn	Gln	Leu	Ala	Leu 190	Thr	Ala
Arg	Leu	Phe 195	Arg	Pro	Arg	Leu	Ile 200	Ile	Ala	Gly	Thr	Ser 205	Ala	Tyr	Ala
Arg	Leu 210	Ile	Asp	Туг	Ala	Arg 215	Met	Arg	Glu	Val	Cys 220	Asp	Glu	Val	Lys
Ala 225	His	Leu	Leu	Ala	Asp 230	Met	Ala	His	Ile	Ser 235	Gly	Leu	Val	Ala	Ala 240
Lys	Val	Ile	Pro	Ser 245	Pro	Phe	Lys	His	Ala 250	Asp	Ile	Val	Thr	Thr 255	Thr
Thr	His	Lys	Thr 260	Leu	Arg	Gly	Ala	Arg 265	Ser	Gly	Leu	Ile	Phe 270	Tyr	Arg
Lys	Gly	Val 275	Lys	Ala	Val	Asp	Pro 280	Lys	Thr	Gly	Arg	Glu 285	Ile	Pro	Tyr
Thr	Phe 290	Gl u	Asp	Arg	Ile	Asn 295	Phe	Ala	Val	Phe	Pro 300	Ser	Leu	G l n	Gly
Gly	Pro	His	Asn	His	Ala	Ile	Ala	Ala	Val	Ala	Val	Ala	Leu	Lys	Gln

	305					310					315					320
	Ala	Cys	Thr	Pro	Met 325	Phe	Arg	Glu	Tyr	Ser 330	Leu	Gln	Val	Leu	Lys 335	Asn
	Ala	Arg	Ala	Met 340	Ala	Asp	Ala	Leu	Leu 345	Glu	Arg	Gly	Tyr	Ser 350	Leu	Val
	Ser	Gly	Gly 355	Thr	Asp	Asn	His	Leu 360	Val	Leu	Val	Asp	Leu 365	Arg	Pro	Lys
	Gly	Leu 370	Asp	Gly	Ala	Arg	Ala 375	Glu	Arg	Val	Leu	Gl u 380	Leu	Val	Ser	Ile
	Thr 385	Ala	Asn	Lys	Asn	Thr 390	Cys	Pro	Gly	Asp	Arg 395	Ser	Ala	Ile	Thr	Pro 400
	Gly	Gly	Leu	Arg	Leu 405	Gly	Ala	Pro	Ala	Leu 410	Thr	Ser	Arg	Gln	Phe 415	Arg
	Glu	Asp	Asp	Phe 420	Arg	Arg	Val	Val	Asp 425	Phe	Ile	Asp	Glu	Gly 430	Val	Asn
	Ile	Gly	Leu 435	Glu	Val	Lys	Ser	Lys 440	Thr	Ala	Lys	Leu	Gln 445	Asp	Phe	Lys
	Ser	Phe 450	Leu	Leu	Lys	Asp	Ser 455	Glu	Thr	Ser	Gln	Arg 4 60	Leu	Ala	Asn	Leu
	Arg 465	Gln	Arg	Val	Glu	Gln 470	Phe	Ala	Arg	Ala	Phe 475	Pro	Met	Pro	Gly	Phe 480
	Asp	Glu	His													
<210> <211> <212> <213>	457 PRT	sapie	ns													
<400>	27															
	Met 1	Arg	Pro	Pro	Ser 5	Pro	Leu	Pro	Ala	Arg 10	Trp	Leu	Cys	Val	Leu 15	Ala
	Gly	Ala	Leu	Ala 20	Trp	Ala	Leu	Gly	Pro 25	Ala	Gly	Gly	Gln	Ala 30	Ala	Arg
	Leu	Gln	Glu	Glu	Cys	Asp	Tyr	Val	Gln	Met	Ile	Glu	Val	Gln	His	Lys

		35					40					45			
Gln	Cys 50	Leu	Glu	Glu	Ala	G1n 55	Leu	Glu	Asn	Glu	Thr 60	Ile	Gly	Cys	Ser
Lys 65	Met	Trp	Asp	Asn	Leu 70	Thr	Cys	Trp	Pro	Ala 75	Thr	Pro	Arg	Gly	Gln 80
Val	Val	Val	Leu	Ala 85	Cys	Pro	Leu	Ile	Phe 90	Lys	Leu	Phe	Ser	Ser 95	Ile
Gln	Gly	Arg	Asn 100	Val	Ser	Arg	Ser	Cys 105	Thr	Asp	Glu	Gly	Trp 110	Thr	His
Leu	Glu	Pro 115	Gly	Pro	Tyr	Pro	Ile 120	Ala	Cys	Gly	Leu	Asp 125	Asp	Lys	Ala
Ala	Ser 130	Leu	Asp	Glu	Gln	Gln 135	Thr	Met	Phe	Tyr	Gly 140	Ser	Val	Lys	Thr
Gly 145	Tyr	Thr	Ile	Gly	Tyr 150	Gly	Leu	Ser	Leu	Ala 155	Thr	Leu	Leu	Val	Ala 160
Thr	Ala	Ile	Leu	Ser 165	Leu	Phe	Arg	Lys	Leu 170	His	Сув	Thr	Arg	Asn 175	Tyr
Ile	His	Met	His 180	Leu	Phe	Ile	Ser	Phe 185	Ile	Leu	Arg	Ala	Ala 190	Ala	Val
Phe	Ile	Lys 195	Asp	Leu	Ala	Leu	Phe 200	Asp	Ser	Gly	Glu	Ser 205	Asp	Gln	Cys
Ser	Glu 210	Gly	Ser	Val	Gly	Cys 215	Lys	Ala	Ala	Met	Val 220	Phe	Phe	Gln	Tyr
Cys 225	Val	Met	Ala	Asn	Phe 230	Phe	Trp	Leu	Leu	Val 235	Glu	Gly	Leu	Tyr	Leu 240
Tyr	Thr	Leu	Leu	Ala 245	Val	Ser	Phe	Phe	Ser 250	Glu	Arg	Lys	Tyr	Phe 255	Trp
Gly	Tyr	Ile	Leu 260	Ile	Gly	Trp	Gly	Val 265	Pro	Ser	Thr	Phe	Thr 270	Met	Val
Trp	Thr	11e 275	Ala	Arg	Ile	His	Phe 280	Glu	Asp	Tyr	Gly	Cys 285	Trp	Asp	Thr

Ile Asn Ser Ser Leu Trp Trp Ile Ile Lys Gly Pro Ile Leu Thr Ser 290 295 300

	Ile 305	Leu	Val	Asn	Phe	Ile 310	Leu	Phe	Ile	Cys	Ile 315	Ile	Arg	Ile	Leu	Leu 320
	Gln	Lys	Leu	Arg	Pro 325	Pro	Asp	Ile	Arg	Lys 330	Ser	Asp	Ser	Ser	Pro 335	Tyr
	Ser	Arg	Leu	Ala 340	Arg	Ser	Thr	Leu	Leu 3 4 5	Leu	Ile	Pro	Leu	Phe 350	Gly	Val
	His	Tyr	Ile 355	Met	Phe	Ala	Phe	Phe 360	Pro	Asp	Asn	Phe	Lys 365	Pro	Glu	Val
	Lys	Met 370	Val	Phe	Glu	Leu	Val 375	Val	Gly	Ser	Phe	Gln 380	Gly	Phe	Val	Val
	Ala 385	Ilę	Leu	Tyr	Cys	Phe 390	Leu	Asn	Gly	Glu	Val 395	Gln	Ala	Glu	Leu	Arg 400
	Arg	Lys	Trp	Arg	Arg 405	Trp	His	Leu	Gln	Gly 410	Val	Leu	Gly	Trp	Asn 415	Pro
	Lys	Tyr	Arg	His 420	Pro	Ser	Gly	Gly	Ser 425	Asn	Gly	Ala	Thr	Cys 430	Ser	Thr
	Gln	Val	Ser 435	Met	Leu	Thr	Arg	Val 440	Ser	Pro	Gly	Ala	Arg 445	Arg	Ser	Ser
	Ser	Phe 450	Gln	Ala	Glu	Val	Ser 455	Leu	Val							
<210> <211> <212> <213>	20 ADN	ial														
<220> <223>	Cebad	dor dir	ecto p	ara Al	ВСВ9											
<400> gacctto	-	ıccgca	ctc													200
<210> <211> <212> <213>	20 ADN	ial														20
<220> <223>	Cebad	dor inv	erso p	oara A	BCB9											
<400>	29															

	cacaggagct cttcccactg	20
5	<210> 30 <211> 18 <212> ADN <213> Artificial	
10	<220> <223> cebador directo para BEX2 <400> 30 gccccgaaag taggaagc	18
15	<210> 31 <211> 21 <212> ADN <213> Artificial	
20	<220> <223> cebador inverso para BEX2	
	<400> 31 ctccattact cctgggccta t	21
25	<210> 32 <211> 20 <212> ADN <213> Artificial	
30	<220> <223> cebador directo para BGLAP	
35	<400> 32 ggcgctacct gtatcaatgg <210> 33 <211> 20 <212> ADN	20
40	<213> Artificial <220> <223> cebador inverso para BGLAP	
45	<400> 33 tcagccaact cgtcacagtc	20
50	<210> 34 <211> 21 <212> ADN <213> Artificial	
	<220> <223> cebador directo para CA12	
55	<400> 34 ccaaggctac aatctgtctg c	21
60	<210> 35 <211> 19 <212> ADN <213> Artificial	
65	<220> <223> cebador inverso para CA12	
65	<400>35	

	gggcaggttc agcttcact	19
5	<210> 36 <211> 18 <212> ADN <213> Artificial	
10	<220> <223> cebador directo para GDF15 <400> 36 ccggatactc acgccaga	18
15	<210> 37 <211> 20 <212> ADN <213> Artificial	10
20	<220> <223> cebador inverso para GDF15	
	<400> 37 agagatacgc aggtgcaggt	20
25	<210> 38 <211> 19 <212> ADN <213> Artificial	
30	<220> <223> cebador directo para GEM	
35	<400> 38 gacagcatgg acagcgact <210> 39 <211> 20	19
40	<212> ADN <213> Artificial <220> <223> cebador inverso para GEM	
45	<400> 39 aaccatcagg gttcgttcat	20
50	<210> 40 <211> 18 <212> ADN <213> Artificial	
	<220> <223> cebador directo para IGFBP2	
55	<400> 40 ccaagaagct gcgaccac	18
60	<210> 41 <211> 20 <212> ADN <213> Artificial	
65	<220> <223> cebador inverso para IGFBP2	
65	<400>41	

	gggatgtgca gggagtagag	20
5	<210> 42 <211> 19 <212> ADN <213> Artificial	
10	<220> <223> cebador directo para ITGB4 <400> 42 tcagcctctc tgggacctt	19
15	<210> 43 <211> 20 <212> ADN <213> Artificial	
20	<220> <223> cebador inverso para ITGB4	
	<400> 43 tatccacacg gacacactcc	20
25	<210> 44 <211> 21 <212> ADN <213> Artificial	
30	<220> <223> cebador directo para KIAA0746	
35	<400> 44 gttgtctgtg cagatgtacg c <210> 45 <211> 20	21
40	<212> ADN <213> Artificial <220> <223> cebador inverso para KIAA0746	
45	<400> 45 tagcagggcc aggttaaaaa	20
50	<210> 46 <211> 18 <212> ADN <213> Artificial	
	<220> <223> cebador directo para KLF4	
55	<400> 46 gccgctccat taccaaga	18
60	<210> 47 <211> 19 <212> ADN <213> Artificial	
65	<220> <223> cebador inverso para KLF4	
65	<400>47	

	tettececte tttggettg	19
5	<210> 48 <211> 20 <212> ADN <213> Artificial	
10	<220> <223> cebador directo para MARS <400> 48 aacaacctgg gcaacttcat	20
15	<210> 49 <211> 20 <212> ADN <213> Artificial	
20	<220> <223> cebador inverso para MARS	
	<400> 49 accatctcag gcacatagcc	20
25	<210> 50 <211> 17 <212> ADN <213> Artificial	
30	<220> <223> cebador directo para MERTK	
35	<400> 50 ggagacagga ccaaagc <210> 51 <211> 20 <212> ADN	17
40	<213> Artificial <220> <223> cebador inverso para MERTK	
45	<400> 51 gggcaatatc caccatgaac	20
50	<210> 52 <211> 20 <212> ADN <213> Artificial	
	<220> <223> cebador directo para PADI4	
55	<400> 52 aagtgcaagc tgaccatctg	20
60	<210> 53 <211> 19 <212> ADN <213> Artificial	
C.E.	<220> <223> cebador inverso para PADI4	
65	<400> 53	

	gccgatctcc atttcatcc	19
5	<210> 54 <211> 20 <212> ADN <213> Artificial	
10	<220> <223> cebador directo para PHGDH <400> 54 tggtggaaaa gcagaacctt	20
15	<210> 55 <211> 22 <212> ADN <213> Artificial	
20	<220> <223> cebador inverso para PHGDH	
	<400> 55 aacaataagg ccttcacagt cc	22
25	<210> 56 <211> 23 <212> ADN <213> Artificial	
30	<220> <223> cebador directo para PITPNC1	
35	<400> 56 gcgctactac aaagaatctg agg <210> 57 <211> 22 <212> ADN <213> Artificial	23
40	<220> <223> cebador inverso para PITPNC1	
45	<400> 57 gagcacatga taggctgatg ac	22
50	<210> 58 <211> 19 <212> ADN <213> Artificial	
	<220> <223> cebador directo para PSAT1	
55	<400> 58 tcttgtgcgg gaattgcta	19
60	<210> 59 <211> 20 <212> ADN <213> Artificial	
GE.	<220> <223> cebador inverso para PSAT1	
65	<400> 59	

	aaggggacag cactgaactg	20
5	<210> 60 <211> 20 <212> ADN <213> Artificial	
10	<220> <223> cebador directo para PYGB	
	<400> 60 tccagggtcc tgtatccaaa	20
15	<210> 61 <211> 21 <212> ADN <213> Artificial	
20	<220> <223> cebador inverso para PYGB	
	<400> 61 ccacgaagta ctcctgcttc a	21
25	<210> 62 <211> 24 <212> ADN <213> Artificial	
30	<220> <223> cebador directo para RGC32	
25	<400> 62 tgctgatctt gacaaaactt tagc	24
35	<210> 63 <211> 20 <212> ADN <213> Artificial	
40	<220> <223> cebador inverso para RGC32	
45	<400> 63 gcaggtcctc ggaactttct	20
50	<210> 64 <211> 20 <212> ADN <213> Artificial	
	<220> <223> cebador directo para SHMT2	
55	<400> 64 gagggagaag gacaggcagt	20
60	<210> 65 <211> 20 <212> ADN <213> Artificial	
65	<220> <223> cebador inverso para SHMT2	
65	<400>65	

	ctcggctgca gaagttctct	20
5	<210> 66 <211> 19 <212> ADN <213> Artificial	
10	<220> <223> cebador directo para SMAD4 <400> 66 tggcccagga tcagtaggt	19
15	<210> 67 <211> 20 <212> ADN <213> Artificial	
20	<220> <223> cebador inverso para SMAD4	
	<400> 67 catcaacacc aattccagca	20
25	<210> 68 <211> 19 <212> ADN <213> Artificial	
30	<220> <223> cebador directo para THBD	
35	<400> 68 aattgggagc ttgggaatg <210> 69 <211> 22	19
40	<212> ADN <213> Artificial <220> <223> cebador inverso para THBD	
45	<400> 69 tgaggacctg attaaggcta gg	22
50	<210> 70 <211> 27 <212> ADN <213> Artificial	
	<220> <223> cebador directo para TNFSF4	
55	<400> 70 gtatcctcga attcaaagta tcaaagt	27
60	<210> 71 <211> 21 <212> ADN <213> Artificial	
C.E.	<220> <223> cebador inverso para TNFSF4	
65	<400>71	

	cigagiigii cigcacci	ic a					21
5	<210> 72 <211> 20 <212> ADN <213> Artificial						
10	<220> <223> cebador dir	ecto para VIPR	1				
10	<400> 72 ctgtcccctc atcttcaa	ıgc					20
15	<210> 73 <211> 18 <212> ADN <213> Artificial						
20	<220> <223> cebador inv	/erso para VIPR	11				
	<400> 73 cagctgcggc ttacatt	g					18
25	<210> 74 <211> 2301 <212> ADN <213> Homo sapid	ens					
30	<400> 74						
	atgcggctgt	ggaaggcggt	ggtggtgact	ttggccttca	tgagtgtgga	catctgcgtg	60
	accacggcca	tctatgtctt	cagccacctg	gaccgcagcc	teetggagga	catccgccac	120
	ttcaacatct	ttgactcggt	gctggatctc	tgggcagcct	gcctgtaccg	cagctgcctg	180
	ctgctgggag	ccaccattgg	tgtggccaag	aacagtgcgc	tggggccccg	geggetgegg	240
	gcctcgtggc	tggtcatcac	cctcgtgtgc	ctcttcgtgg	gcatctatgc	catggtgaag	300
	ctgctgctct	tctcagaggt	gcgcaggccc	atccgggacc	cctggttttg	ggccctgttc	360
	gtgtggacgt	acatttcact	eggegeatee	ttcctgctct	ggtggctgct	gtccaccgtg	420
	cggccaggca	cccaggccct	ggagccaggg	gcggccaccg	aggctgaggg	cttccctggg	480
	ageggeegge	caccgcccga	gcaggcgtct	ggggccacgc	tgcagaagct	gctctcctac	540
	accaagcccg	acgtggcctt	cctcgtggcc	geeteettet	tcctcatcgt	ggcagctctg	600
	ggagagacet	tectgeceta	ctacacgggc	cgcgccattg	atggcatcgt	catccagaaa	660
	agcatggatc	agttcagcac	ggetgtegte	atcgtgtgcc	tgctggccat	tggcagctca	720
	tttgccgcag	gtattcgggg	cggcattttt	acceteatat	ttgccagact	gaacattcgc	780
	cttcgaaact	gtotottccg	ctcactggtg	tcccaggaga	caagcttctt	tgatgagaac	840

cgcacagggg acctcatctc	cogoctgaco	teggacacca	ccatggtcag	cgacctggtc	900
toccagaaca tcaatgtott	cctgcggaac	acagtcaagg	tcacgggcgt	ggtggtcttc	960
atgttcagcc tctcatggca	geteteettg	gtcaccttca	tgggcttccc	catcatcatg	1020
atggtgtcca acatctacgg	caagtactac	aagaggctct	ccaaagaggt	ccagaatgcc	1080
ctggccagag cgagcaacac	ggcggaggag	accatcagtg	ccatgaagac	tgtccggagc	1140
ttcgccaatg aggaggagga	ggcagaggtg	tacctgcgga	agetgeagea	ggtgtacaag	1200
ctgaacagga aggaggcagc	tgcctacatg	tactacgtct	ggggcagcgg	geteacactg	1260
ctggtggtcc aggtcagcat	cctctactac	gggggccacc	ttgtcatctc	aggccagatg	1320
accagoggca acctcatogc	cttcatcatc	tacgagtttg	tootgggaga	ttgtatggag	1380
tccgtgggct ccgtctacag	tggcctgatg	cagggagtgg	gggctgctga	gaaggtgttc	1440
gagttcateg accggcagce	gaccatggtg	cacgatggca	gcttggcccc	cgaccacctg	1500
gagggccggg tggactttga	gaatgtgacc	ttcacctacc	gcactcggcc	ccacacccag	1560
gtcctgcaga atgtctcctt	cagoctgtcc	cccggcaagg	tgacggccct	ggtggggccc	1620
togggcagtg ggaagagctc	ctgtgtcaac	atcctggaga	acttctaccc	cctggagggg	1680
ggccgggtgc tgctggacgg	caagcccatc	agogootacg	accacaagta	cttgcaccgt	1740
gtgatctccc tggtgagcca	ggagecegtg	ctgttcgccc	gctccatcac	ggataacatc	1800
tcctacggcc tgcccactgt	gcctttcgag	atggtggtgg	aggeegeaca	gaaggccaat	1860
gcccacggct tcatcatgga	actccaggac	ggctacagca	cagagacagg	ggagaagggc	1920
gcccagctgt caggtggcca	gaagcagcgg	gtggccatgg	cccgggctct	ggtgcggaac	1980
cccccagtcc tcatcctgga	tgaagccacc	agcgctttgg	atgccgagag	cgagtatctg	2040
atccagcagg ccatccatgg	caacctgcag	aagcacacgg	tactcatcat	cgcgcaccgg	2100
ctgagcaccg tggagcacgc	gcacctcatt	gtggtgctgg	acaagggccg	cgtagtgcag	2160
cagggcaccc accagcagct	gctggcccag	ggcggcctct	acgccaaget	ggtgcagegg	2220
cagatgetgg ggetteagee	cgccgcagac	ttcacagetg	gccacaacga	gcctgtagcc	2280
aacggcagtc acaaggcctg	a				2301

<210> 75 <211> 919

<212> ADN

<213> Homo sapiens

<400> 75

tggggggcc ctgcttctcc cggtgggca gaggacccgg tgcctgcctg gcagatgtgc 60 ccacggaggc ccccagctgc cctccgagcc caggcctgca gcactgaaag acgacctgcc 120 atgtcccatg gatcaccgct tcctgcatct tgcccctggt ccctgcccca ttcccagggc 180

10

actccttacc	cctgctgccc	tgagccaacg	ccttcacgga	cctccctagc	ctcctaagca	240
aaggtagagc	tgccttttta	aacctaggtc	ttaccagggt	ttttactgtt	tggtttgagg	300
caccccagtc	aactcctaga	tttcaaaaac	ctttttctaa	ttgggagtaa	tggcgggcac	360
tttcaccaag	atgttctaga	aacttctgag	ccaggagtga	atggecette	cttagtagcc	420
tgggggatgt	ccagagacta	ggeeteteee	ctttacccct	ccagagaagg	ggcttccctg	480
tcccggaggg	agacacgggg	aacgggattt	teegtetete	cctcttgcca	gctctgtgag	540
tctggccagg	gcgggtaggg	agcgtggagg	gcatctgtct	gccatcgccc	gctgccaatc	600
taagccagtc	tcactgtgaa	ccacacgaaa	cctcaactgg	gggagtgagg	ggctggccag	660
gtctggaggg	gcctcagggg	tgcccccagc	ccggcaccca	gcgctttcgc	ccctcgtcca	720
cccacccctg	gctggcagcc	tccctcccca	cacecgcece	tgtgctctgc	tgtctggagg	780
ccacgtggat	gttcatgaga	tgcattctct	tetgtetttg	gtggatggga	tggtggcaaa	840
gcccaggatc	tggetttgee	agaggttgca	acatgttgag	agaacccggt	caataaagtg	900
tactacctct	tacccctaa					919

<210> 76 <211> 978 <212> ADN

5

<213> Homo sapiens

<400> 76

atgetgeega gagtgggetg eecegegetg eegetgeege egeegeeget getgeegetg	60
ctgctgctgc tactgggcgc gagtggcggc ggcggcgggg cgcgcgcgga ggtgctgttc	120
egetgeeege cetgeacace egagegeetg geegeetgeg ggeeeeegee ggttgegeeg	180
ecegeegegg tggeegeagt ggeeggagge geeegeatge catgegegga getegteegg	240
gageeggget geggetgetg eteggtgtge geeeggetgg agggegagge gtgeggegte	300
tacacccege getgeggeea ggggetgege tgetatecce accegggete egagetgeee	360
ctgcaggege tggtcatggg cgagggcact tgtgagaage geegggaege egagtatgge	420
gocagocogg agcaggttgc agacaatggc gatgaccact cagaaggagg cctggtggag	480
aaccacgtgg acagcaccat gaacatgttg ggcgggggag gcagtgctgg ccggaagccc	540
ctcaagtcgg gtatgaagga gctggccgtg ttccgggaga aggtcactga gcagcaccgg	600
cagatgggca agggtggcaa gcatcacctt ggcctggagg agcccaagaa gctgcgacca	660
coccetgoca ggactecetg ccaacaggaa etggaccagg teetggageg gatetecaee	720
atgegeette eggatgageg gggeeetetg gageacetet acteeetgea cateeecaac	780
tgtgacaagc atggcctgta caacctcaaa cagtgcaaga tgtctctgaa cgggcagcgt	840
ggggagtgct ggtgtgtgaa ccccaacacc gggaagctga tccagggagc ccccaccatc	900
accordence an accordence of the attacked solvenses accordence accordence	960
cggggggacc ccgagtgtca tctcttctac aatgagcagc aggaggctcg cggggtgcac	
acccagcgga tgcagtag	978

5

<210> 77 <211> 331

<212> ADN

<213> Homo sapiens

10 <400> 77

accgcagcca gccggtgcct ggcgccctg cccccgccc ctctccaaac accggcagaa 60
aacggagat gcttgggtgg tgggtgctgg aggattttcc agttctgaca cacgtattta 120
tatttggaaa gagaccagca ccgagctcgg cacctccccg gcctctctct tcccagctgc 180
agatgccaca cctgctcctt cttgctttcc ccgggggagg aagggggttg tggtcgggga 240
gctggggtac aggtttgggg agggggaaga gaaattttta tttttgaacc cctgtgccc 300
ttttgcataa gattaaagga aggaaaagta a 331

15

<210> 78 <211> 3000

<212> ADN

<213> Homo sapiens

<400> 78

atggggccgg	ccccgctgcc	gctgctgctg	ggcctcttcc	teccegeget	ctggcgtaga	60
gctatcactg	aggcaaggga	agaagccaag	ccttacccgc	tattcccggg	accttttcca	120
gggagcctgc	aaactgacca	cacaccgctg	ttatcccttc	ctcacgccag	tgggtaccag	180
cctgccttga	tgttttcacc	aacccagcct	ggaagaccac	atacaggaaa	cgtagccatt	240
ccccaggtga	cctctgtcga	atcaaagccc	ctaccgcctc	ttgccttcaa	acacacagtt	300
ggacacataa	tactttctga	acataaaggt	gtcaaattta	attgctcaat	cagtgtacct	360
aatatatacc	aggacaccac	aatttcttgg	tggaaagatg	ggaaggaatt	gcttggggca	420
catcatgcaa	ttacacagtt	ttatccagat	gatgaagtta	cagcaataat	cgcttccttc	480
agcataacca	gtgtgcagcg	ttcagacaat	gggtcgtata	tctgtaagat	gaaaataaac	540
aatgaagaga	tegtgtetga	tcccatctac	atcgaagtac	aaggacttcc	tcactttact	600
aagcagcctg	agagcatgaa	tgtcaccaga	aacacagcct	tcaacctcac	ctgtcaggct	660
gtgggcccgc	ctgagcccgt	caacattttc	tgggttcaaa	acagtagccg	tgttaacgaa	720
cagcctgaaa	aatccccctc	cgtgctaact	gttccaggcc	tgacggagat	ggcggtcttc	780
agttgtgagg	cccacaatga	caaagggctg	accgtgtcca	agggagtgca	gatcaacatc	840
aaagcaattc	cctccccacc	aactgaagtc	agcatccgta	acagcactgc	acacagcatt	900
ctgatctcct	gggttcctgg	ttttgatgga	tactccccgt	tcaggaattg	cagcattcag	960
ot caaqqaaq	ctgatccgct	gagtaatggc	tcactcatca	tttttaacac	ctctqcctta	1020

ccacatctgt	accaaatcaa	gcagctgcaa	gccctggcta	attacagcat	tggtgtttcc	1080
tgcatgaatg	aaataggctg	gtctgcagtg	agcccttgga	ttctagccag	cacgactgaa	1140
ggagececat	cagtagcacc	tttaaatgtc	actgtgtttc	tgaatgaatc	tagtgataat	1200
gtggacatca	gatggatgaa	gcctccgact	aagcagcagg	atggagaact	ggtgggctac	1260
cggatatccc	acgtgtggca	gagtgcaggg	atttccaaag	agctcttgga	ggaagttggc	1320
cagaatggca	gccgagctcg	gatctctgtt	caagtccaca	atgctacgtg	cacagtgagg	1380
attgcagccg	tcaccagagg	gggagttggg	cccttcagtg	atccagtgaa	aatatttatc	1440
cctgcacacg	gttgggtaga	ttatgccccc	tetteaacte	eggegeetgg	caacgcagat	1500
cctgtgctca	tcatctttgg	ctgcttttgt	ggatttattt	tgattgggtt	gattttatac	1560
atctccttgg	ccatcagaaa	aagagtccag	gagacaaagt	ttgggaatgc	attcacagag	1620
gaggattctg	aattagtggt	gaattatata	gcaaagaaat	ccttctgtcg	gcgagccatt	1680
gaacttacct	tacatagett	gggagtcagt	gaggaactac	aaaataaact	agaagatgtt	1740
gtgattgaca	ggaatettet	aattcttgga	aaaattctgg	gtgaaggaga	gtttgggtct	1800
gtaatggaag	gaaatcttaa	gcaggaagat	gggacetete	tgaaagtggc	agtgaagacc	1860
atgaagttgg	acaactcttc	acagegggag	atcgaggagt	ttctcagtga	ggcagcgtgc	1920
atgaaagact	tcagccaccc	aaatgtcatt	cgacttctag	gtgtgtgtat	agaaatgagc	1980
teteaaggea	tcccaaagcc	catggtaatt	ttacccttca	tgaaatacgg	ggacctgcat	2040
acttacttac	tttattcccg	attggagaca	ggaccaaagc	atattcctct	gcagacacta	2100
ttgaagttca	tggtggatat	tgccctggga	atggagtatc	tgagcaacag	gaattttctt	2160
catcgagatt	tagetgeteg	aaactgcatg	ttgcgagatg	acatgactgt	ctgtgttgcg	2220
gacttcggcc	tctctaagaa	gatttacagt	ggcgattatt	accgccaagg	ccgcattgct	2280
aagatgcctg	ttaaatggat	cgccatagaa	agtcttgcag	accgagtcta	cacaagtaaa	2340
agtgatgtgt	gggcatttgg	cgtgaccatg	tgggaaatag	ctacgcgggg	aatgactccc	2400
tatcctgggg	tccagaacca	tgagatgtat	gactatcttc	tccatggcca	caggttgaag	2460
cagcccgaag	actgcctgga	tgaactgtat	gaaataatgt	actcttgctg	gagaaccgat	2520
cccttagacc	gccccacctt	ttcagtattg	aggetgeage	tagaaaaact	cttagaaagt	2580
ttgcctgacg	ttcggaacca	agcagacgtt	atttacgtca	atacacagtt	gctggagagc	2640
tetgagggee	tggcccaggg	ctccaccctt	gctccactgg	acttgaacat	cgaccctgac	2700
tctataattg	cctcctgcac	tococgcgct	gccatcagtg	tggtcacagc	agaagttcat	2760
gacagcaaac	ctcatgaagg	acggtacatc	ctgaatgggg	gcagtgagga	atgggaagat	2820
ctgacttctg	cecectetge	tgcagtcaca	gctgaaaaga	acagtgtttt	accgggggag	2880

	agacttgtta	ggaatggggt	ctcctggtcc	cattcgagca	tgctgccctt	gggaagctca	2940
	ttgcccgatg	aacttttgtt	tgctgacgac	teeteagaaq	g gctcagaagt	cctgatgtga	3000
5	<210> 79 <211> 504 <212> ADN <213> Homo sapid	ens					
	<400> 79						
	ggagaggtgc	ggggagacat	tccaaaaatc	aagccaattc	ttetgetgta (ggagaateca	60
	attgtacctg	atgtttttgg	tatttgtctt	ccttaccaag	tgaactccat (ggccccaaag	120
	caccagatga	atgttgttaa	gtaagctgtc	attaaaaata	cataatatat a	atttatttaa	180
	agagaaaaaa	tatgtgtata	tcatggaaaa	agacaaggat	attttaataa a	aacattactt	240
	atttcatttc	acttatcttg	catatcttaa	aattaagctt	cagctgctcc (ttgatattaa	300
	catttgtaca	gagttgaagt	tgttttttca	agttcttttc	tttttcatga (ctattaaatg	360
	taaaaatatt	tgtaaaatga	aatgccatat	ttgacttggc	ttetggtett	gatgtatttg	420
	ataagaatga	ttcattcaat	gtttaaagtt	gtataactga	ttaattttct (gatatggctt	480
10	cctaataaaa	tatgaataag	gaag				504
	<210> 80 <211> 999						

<212> ADN <213> Homo sapiens 15

<400> 80

atgctgctga aagagtaccg gatctgcatg ccgctcaccg tagacgagta caaaattgga	60
cagctgtaca tgatcagcaa acacagccat gaacagagtg accggggaga aggggtggag	120
gtogtocaga atgagocott tgaggacoot caccatggca atgggcagtt caccgagaag	180
cgggtgtate tcaacagcaa actgcctagt tgggctagag ctgttgtece caaaatattt	240
tatgtgacag agaaggettg gaactattat ecetacacaa ttacagaata cacatgttee	300
tttctgccga aattctccat tcatatagaa accaagtatg aggacaacaa aggaagcaat	360
gacaccattt togacaatga agocaaagac gtggagagag aagtttgctt tattgatatt	420
geotgegatg aaattecaga gegetactae aaagaatetg aggateetaa geactteaag	480
tcagagaaga caggacgggg acagttgagg gaaggctgga gagatagtca tcagcctatc	540
atgtgeteet acaagetggt gaetgtgaag tttgaggtet gggggettea gaecagagtg	600
gaacaatttg tacacaaggt ggteegagae attetgetga ttggacatag acaggetttt	660
geatgggttg atgagtggta tgacatgaca atggatgaag teegagaatt tgaacgagee	720
actcaggaag ccaccaacaa gaaaatcggc attttcccac ctgcaatttc tatctccagc	780
atococctgc tgccttcttc cgtccgcagt gcgccttcta gtgctccatc cacccctctc	840
tocacagaeg cacecgaatt tetgteegtt cecaaagate ggeeeeggaa aaagtetgee	900
ccagaaactc tcacacttcc agaccctgag aaaaaagcca ccctgaattt acccggcatg	960
cactetteag ataageeatg teggeeeaaa tetgagtaa	999

5

<210> 81 <211> 807

<212> ADN <213> Homo sapiens

<400> 81

atgctgctga	aagagtaccg	gatctgcatg	ccgctcaccg	tagacgagta	caaaattgga	60
cagctgtaca	tgatcagcaa	acacagccat	gaacagagtg	accggggaga	aggggtggag	120
gtcgtccaga	atgagccctt	tgaggaccct	caccatggca	atgggcagtt	caccgagaag	180
cgggtgtatc	tcaacagcaa	actgcctagt	tgggctagag	ctgttgtccc	caaaatattt	240
tatgtgacag	agaaggcttg	gaactattat	ccctacacaa	ttacagaata	cacatgttcc	300
tttctgccga	aattctccat	tcatatagaa	accaagtatg	aggacaacaa	aggaagcaat	360
gacaccattt	togacaatga	agccaaagac	gtggagagag	aagtttgctt	tattgatatt	420
gcctgcgatg	aaattccaga	gegetactae	aaagaatctg	aggatcctaa	gcacttcaag	480
tcagagaaga	caggacgggg	acagttgagg	gaaggctgga	gagatagtca	tcagcctatc	540
atgtgctcct	acaagctggt	gactgtgaag	tttgaggtct	gggggcttca	gaccagagtg	600
gaacaatttg	tacacaaggt	ggtccgagac	attctgctga	ttggacatag	acaggetttt	660
gcatgggttg	atgagtggta	tgatatgaca	atggatgatg	ttcgggaata	cgagaaaaac	720
atgcatgaac	aaaccaacat	aaaagtttgc	aatcagcatt	catacactgt	ggatgacata	780
gagagtcatg	cccaaacaag	tacatga				80 7

<210> 82

<211> 954

<212> ADN

<213> Homo sapiens

<400> 82

caatggatga agtccgagaa tttgaacgag ccactcagga agccaccaac aagaaaatcg 60 gcattttecc acctgcaatt tetateteca gcatececet getgeettet teegtcegea 120 gtgegeette tagtgeteea tecacecete tetecacaga egcacecgaa tttetgteeg 180 tteecaaaga teggeecegg aaaaagtetg ceceagaaac tetecacett ecagaceetg 240 agaaaaaage caceetgaat ttaeceggea tgeactette agataageea tgteggeeca 300 aatetgagta actttatata aatateteat ggggttttat atttteattt gttgttgttg 360 ttttttttta agaatettet gatagagaaa aagactgett tgteacteaa acatgtteet 420

10

togacettte agtgtgcatg tgactcagta actteacata gaatatgatt ccctaagtat 480 540 gctacacagc atcatattag atgtaagatg taagacttgc aaaggacaga aggaatcttc 600 tgtaaccaca tagctgtatg ccagagagga agccttgtta ttgggcattt gatgaggttt 660 ggcatggact tcaaggataa atgaatgaaa actttgcacc acttttgtta caaggtacgg tagaaaatag tgaagtcagt ttcctctcat caaatctaaa attctccaaa atactctcag 720 780 gcataacata cttagctgtt aaattttgaa ctgctaatta ctaatacttg aataccaata gttactgaga ttcctatttt gtggttagtc tgactcagga tttggagcct aattaactct 840 aaacttttga aaattttaat catcaagcta tagaggctcc aagtgcaatt aataataact 900 954 catttatacc ttccacagaa tttaataaag attctacttg tttctgtctt ttaa

<210> 83 <211> 1113

5

<212> ADN

<213> Homo sapiens

<400> 83

atggacgocc ccaggcaggt ggtcaacttt gggcctggtc ccgccaagct gccgcactca 60 120 gtgttgttag agatacaaaa ggaattatta gactacaaag gagttggcat tagtgttctt qaaatqaqtc acaqqtcatc aqattttqcc aaqattatta acaatacaqa qaatcttqtq 180 240 egggaattge tagetgttee agacaactat aaggtgattt ttetgeaagg aggtgggtge ggccagttca gtgctgtccc cttaaacctc attggcttga aagcaggaag gtgtgctgac 300 360 tatgtggtga caggagcttg gtcagctaag gccgcagaag aagccaagaa gtttgggact 420 ataaatateg tteaccetaa acttgggagt tatacaaaaa ttecagatee aagcacetgg aacctcaacc cagatgcctc ctacgtgtat tattgcgcaa atgagacggt gcatggtgtg 480 gagtttgact ttatacccga tgtcaaggga gcagtactgg tttgtgacat gtcctcaaac 540 ttcctgtcca agccagtgga tgtttccaag tttggtgtga tttttgctgg tgcccagaag 600 aatgttggct ctgctggggt caccgtggtg attgtccgtg atgacctgct ggggtttgcc 660 ctccgagagt gcccctcggt cctggaatac aaggtgcagg ctggaaacag ctccttgtac 720 aacacgcctc catgtttcag catctacgtc atgggcttgg ttctggagtg gattaaaaac 780 aatggaggtg ccgcggccat ggagaagctt agctccatca aatctcaaac aatttatgag 840 900 attattgata attctcaagg attctacgtt tgtccagtgg agccccaaaa tagaagcaag atgaatatto cattoogoat tggcaatgoo aaaggagatg atgotttaga aaaaagattt 960 1020 cttgataaag ctcttgaact caatatgttg tccttgaaag ggcataggtc tgtgggaggc atcogggcot ctctgtataa tgctgtcaca attgaagacg ttcagaagct ggccgccttc 1080 atgaaaaaat ttttggagat gcatcagcta tga 1113

<211> 1007 <212> ADN <213> Homo sapiens

5 <400> 84

60 acacatccta accaggatat actotyttct tgaacaacat acaaagttta aagtaacttg gggatggcta caaaaagtta acacagtatt tttctcaaat gaacatgttt attgcagatt 120 cttctttttt gaaagaacaa cagcaaaaca tccacaactc tgtaaagctg gtgggaccta 180 240 atgtcacctt aattctgact tgaactggaa gcattttaag aaatcttgtt gcttttctaa 300 caaattcccg cgtattttgc ctttgctgct actttttcta gttagatttc aaacttgcct gtggacttaa taatgcaagt tgcgattaat tatttctgga gtcatgggaa cacacagcac 360 agagggtagg ggggccctct aggtgctgaa tctacacatc tgtggggtct cctgggttca 420 480 gcggctgttg attcaaggtc aacattgacc attggaggag tggtttaaga gtgccaggcg aagggcaaac tgtagatcga tctttatgct gttattacag gagaagtgac atactttata 540 tatgtttata ttagcaaggt ctgtttttaa taccatatac tttatatttc tatacattta 600 tatttctaat aatacagtta tcactgatat atgtagacac ttttagaatt tattaaatcc 660 720 ttgaccttqt gcattatagc attccattag caagagttgt accccctccc cagtcttcgc 780 cttcctcttt ttaagctgtt ttatgaaaaa gacctagaag ttcttgattc atttttacca ttctttccat aggtagaaga gaaagttgat tggttggttg tttttcaatt atgccattaa 840 actaaacatt totgttaaat tacootatoo tttgttotot actgttttot ttgtaatgta 900 tgactacgag agtgatactt tgctgaaaag tctttcccct attgtttatc tattgtcagt 960 1007 attttatgtt gaatatgtaa agaacattaa agtcctaaaa catctaa

<210> 85 10 <211> 2532 <212> ADN

<213> Homo sapiens

<400> 85

15

60 atggcgaage cgctgacgga cagcgagaag cggaagcaga tcagcgtgcg cggcctggcg 120 gggctaggcg acgtggccga ggtgcggaag agcttcaacc ggcacttgca cttcacgctg gtcaaggace gcaatgtgge cacgeeeege gactacttet tegegetgge gcacaeggtg 180 cgcgaccacc tcgtgggccg ctggatccgc acgcagcagc actactacga gcgcgacccc 240 300 aagcgcattt attatettte cetggaatte tacatgggte geacgetgea gaacacgatg 360 gtgaacctgg gccttcagaa tgcctgcgat gaagccatct atcagttggg gttagacttg gaggaactcg aggagataga agaagatgct ggccttggga atggaggcct ggggaggctg 420 geagegtgtt teettgacte aatggetace ttgggeetgg eageataegg etatggaate 480

cgctatgaat	ttgggatttt	taaccagaag	attgtcaatg	gctggcaggt	agaggaggcc	540
gatgactggc	tgcgctacgg	caacccctgg	gagaaagcgc	ggcctgagta	tatgcttccc	600
gtgcacttct	acggacgcgt	ggagcacacc	cccgacggcg	tgaagtggct	ggacacacag	660
gtggtgctgg	ccatgcccta	cgacacccca	gtgcccggct	acaagaacaa	caccgtcaac	720
accatgcggc	tgtggtccgc	caaggeteee	aacgacttca	agctgcagga	cttcaacgtg	780
ggagactaca	tcgaggcggt	cctggaccgg	aacttggctg	agaacatctc	cagggtcctg	840
tatccaaatg	ataacttctt	tgaggggaag	gagctgcggc	tgaagcagga	gtacttcgtg	900
gtggccgcca	cgctccagga	catcatccgc	cgcttcaagt	cgtccaagtt	cggctgccgg	960
gaccctgtga	gaacctgttt	cgagacgttc	ccagacaagg	tggccatcca	gctgaacgac	1020
acccaccccg	ccctctccat	ccctgagctc	atgoggatco	tggtggacgt	ggagaaggtg	1080
gactgggaca	aggcctggga	aatcacgaag	aagacctgtg	catacaccaa	ccacactgtg	1140
ctgcctgagg	ccttggagcg	ctggcccgtg	tccatgtttg	agaagctgct	gccgcggcac	1200
ctggagataa	tctatgccat	caaccagcgg	cacctggacc	acgtggccgc	gctgtttccc	1260
ggcgatgtgg	accgcctgcg	caggatgtct	gtgatcgagg	agggggactg	caagcggatc	1320
aacatggccc	acctgtgtgt	gattgggtcc	catgctgtca	atggtgtggc	gaggatccac	1380
toggagatog	tgaaacagtc	ggtctttaag	gatttttatg	aactggagcc	agagaagttc	1440
cagaataaga	ccaatggcat	caccccccgc	cggtggctgc	tgctgtgcaa	cccggggctg	1500
gccgatacca	togtggagaa	aattggggag	gagttcctga	ctgacctgag	ccagctgaag	1560
aagctgctgc	cgctggtcag	tgacgaggtg	ttcatcaggg	acgtggccaa	ggtcaaacag	1620
gagaacaagc	tcaagttctc	ggccttcctg	gagaaggagt	acaaggtgaa	gatcaacccc	1680
tcctccatgt	tcgatgtgca	tgtgaagagg	atccacgagt	acaagcggca	gctgctcaac	1740
tgcctgcacg	togtcaccct	gtacaatcga	atcaagagag	acceggecaa	ggcttttgtg	1800
cccaggactg	ttatgattgg	gggcaaggca	gcgcccggtt	accacatggc	caagctgatc	1860
atcaagttgg	tcacctccat	cggcgacgtc	gtcaatcatg	acccagttgt	gggtgacagg	1920
ttgaaagtga	tcttcctgga	gaactaccgt	gtgtccttgg	ctgagaaagt	gatcccggcc	1980
gctgatctgt	cgcagcagat	ctccactgca	ggcaccgagg	cctcaggcac	aggcaacatg	2040
aagttcatgc	tcaacggggc	cctcaccatc	ggcaccatgg	acggcgccaa	cgtggagatg	2100
gccgaggagg	ccggggccga	gaacctcttc	atcttcggcc	tgcgggtgga	ggatgtcgag	2160
gccttggacc	ggaaagggta	caatgccagg	gagtactacg	accacctgcc	cgagctgaag	2220
caggccgtgg	accagatcag	cagtggcttt	ttttctccca	aggagccaga	ctgcttcaag	2280
gacatcgtga	acatgctgat	gcaccatgac	aggttcaagg	tgtttgcaga	ctatgaagcc	2340

tacatgcagt gccaggcaca ggtggaccag ctgtaccgga accccaagga gtggaccaag 2400
aaggtcatca ggaacatcgc ctgctcgggc aagttctcca gtgaccggac catcacggag 2460
tatgcacggg agatctgggg tgtggagccc tccgacctgc agatcccgcc ccccaacatc 2520
ccccgggact ag 2532

<210> 86 <211> 1490 5 <212> ADN

<213> Homo sapiens

<400> 86

gcacaccctg ccttggcggg accagcgggc atttgttttc ttgctgactt tgcacctcct 60 tttttcccca aacactttgc cagccactgg tggtccctgc ttttctgagt accatgtttc 120 180 caggaggggc catgggggtc agggtggttt tgagagagca gggtaaggaa ggaatgtgct 240 agaagtgete etagtttett gtaaaggaag ceagagttga eagtaeaaag ggtegtggee agccctgcag cttcagcacc tgccccaccc agagtgggag tcaggtggag ccacctgctg 300 ggctccccca gaactttgca cacatcttgc tatgtattag ccgatgtctt tagtgttgag 360 420 cctctggatt ctggggtctg ggccagtggc catagtgaag cctgggaatg agtgttactg cagcatetgg getgecagee acagggaagg gecaageeee atgtageeee agteateetg 480 540 cecagecetg ecteetggee atgeeggag gggteggate etetaggeat egeetteaca geocectgce ecetgeecte tgteetgget etgeacetgg tatatgggte atggacecag 600 atggggettt ecetttgtag ecatecaatg ggeattgtgt gggtgettgg aaecegggat 660 720 gactgagggg gacactggag tgggtgcttg tgtctgctgt ctcagaggcc ttggtcagga 780 tgaagttggc tgacacagct tagcttggtt ttgcttattc aaaagagaaa ataactacac atggaaatga aactagctga agccttttct tgttttagca actgaaaatt gtacttggtc 840 900 actititgige tigaggagge ceattitety eetggcaggg ggcaggtety tyceeteeeg ctgactcctg ctgtgtcctg aggtgcattt cctgttgtac acacaagggc caggetccat 960 1020 tetecetece tttecaccag tgccacagee tegtetggaa aaaggaccag gggtecegga 1080 ggaacccatt tgtgctctgc ttggacagca ggcctggcac tgggaggtgg gggtgagccc ctcacagect tgcccctccc caaggetgge aacctgcctc ccattgccca agagagaggg 1140 1200 cagggaacag getactgtcc ttccctgtgg aattgccgag aaatctagca ccttgcatgc tggatetggg etgeggggag getettttte teeetggeet eeagtgeeca eeaggaggat 1260 ctgcgcacgg tgcacagccc accagagcac tacagccttt tattgagtgg ggcaagtgct 1320 gggctgtggt cgtgccctga cagcatcttc cccaggcagc ggctctgtgg aggaggccat 1380 actecectag ttggccactg gggccaccac cetgaccace actgtgccce teattgttae 1440 tgccttgtga gataaaaact gattaaacct ttgtggctgt ggttggctga 1490

<210> 87 <211> 1515 <212> ADN <213> Homo sapiens

<400> 87

5

atgctgtact	tctctttgtt	ttgggcggct	cggcctctgc	agagatgtgg	gcagctggtc	60
aggatggcca	ttcgggctca	gcacagcaac	gcagcccaga	ctcagactgg	ggaagcaaac	120
aggggctgga	caggccagga	gageetgteg	gacagtgatc	ctgagatgtg	ggagttgctg	180
cagagggaga	aggacaggca	gtgtcgtggc	ctggagctca	ttgcctcaga	gaacttctgc	240
agccgagctg	cgctggaggc	cctggggtcc	tgtctgaaca	acaagtactc	ggagggttat	300
cctggcaaga	gatactatgg	gggagcagag	gtggtggatg	aaattgagct	gctgtgccag	360
cgccgggcct	tggaagcctt	tgacctggat	cctgcacagt	ggggagtcaa	tgtccagccc	420
tactccgggt	ccccagccaa	cctggccgtc	tacacagccc	ttctgcaacc	tcacgaccgg	480
atcatggggc	tggacctgcc	cgatgggggc	catctcaccc	acggctacat	gtctgacgtc	540
aagcggatat	cagccacgtc	catcttcttc	gagtctatgc	cctataagct	caaccccaaa	600
actggcctca	ttgactacaa	ccagctggca	ctgactgctc	gacttttccg	gccacggctc	660
atcatagetg	gcaccagcgc	ctatgctcgc	ctcattgact	acgcccgcat	gagagaggtg	720
tgtgatgaag	tcaaagcaca	cctgctggca	gacatggccc	acatcagtgg	cctggtggct	780
gccaaggtga	ttecetegee	tttcaagcac	gcggacatcg	tcaccaccac	tactcacaag	840
actcttcgag	gggccaggtc	agggctcatc	ttctaccgga	aaggggtgaa	ggctgtggac	900
cccaagactg	gccgggagat	cccttacaca	tttgaggacc	gaatcaactt	tgccgtgttc	960
ccatccctgc	aggggggccc	ccacaatcat	gccattgctg	cagtagctgt	ggccctaaag	1020
caggcetgca	ccccatgtt	ccgggagtac	tccctgcagg	ttctgaagaa	tgctcgggcc	1080
atggcagatg	ccctgctaga	gcgaggctac	tcactggtat	caggtggtac	tgacaaccac	1140
ctggtgctgg	tggacctgcg	gcccaagggc	ctggatggag	ctcgggctga	gcgggtgcta	1200
gagcttgtat	ccatcactgc	caacaagaac	acctgtcctg	gagaccgaag	tgccatcaca	1260
ccgggcggcc	tgcggcttgg	ggccccagcc	ttaacttctc	gacagttccg	tgaggatgac	1320
ttccggagag	ttgtggactt	tatagatgaa	ggggtcaaca	ttggcttaga	ggtgaagagc	1380
aagactgcca	agctccagga	tttcaaatcc	ttcctgctta	aggactcaga	aacaagtcag	1440
cgtctggcca	acctcaggca	acgggtggag	cagtttgcca	gggccttccc	catgcctggt	1500
tttgatgagc	attga					1515

10

<210> 88

<211> 570

<212> ADN

<213> Homo sapiens

15

<400> 88

aggcacctgg gaaatgaggc ccacagactc aaagttactc teetteeccc tacetgggcc	60
agtgaaatag aaagcctttc tattttttgg tgcgggaggg aagacctctc acttagggca	120
agagecaggt atagtetece tteccagaat ttgtaactga gaagatettt tettttteet	180
ttttttggta acaagactta gaaggagggc ccaggcactt tctgtttgaa cccctgtcat	240
gatcacagtg tcagagacgc gtcctctttc ttggggaagt tgaggagtgc ccttcagagc	300
cagtagcagg caggggtggg taggcaccct ccttcctgtt tttatctaat aaaatgctaa	360
cctgccctga gtttccatta ctgtgggtgg ggttcccctg ggccaaacag tgatttgtct	420
cectcaatgt gtacaceget cegeteceae cacegetaec acaaggaece eeggggetge	480
agcetectet ttetgtetet gateagagee gacaccagae gtgattagea ggegeageaa	540
attcaatttg ttaaatgaaa ttgtattttg	570

5

<210> 89 <211> 1374 <212> ADN <213> Homo sapiens

<400>89

atgcgcccgc	caagtccgct	gcccgcccgc	tggctatgcg	tgctggcagg	cgccctcgcc	60
tgggcccttg	ggccggcggg	cggccaggcg	gccaggctgc	aggaggagtg	tgactatgtg	120
cagatgatcg	aggtgcagca	caagcagtgc	ctggaggagg	cccagctgga	gaatgagaca	180
ataggctgca	gcaagatgtg	ggacaacctc	acctgctggc	cagccacccc	teggggeeag	240
gtagttgtct	tggcctgtcc	cctcatcttc	aagctcttct	cctccattca	aggccgcaat	300
gtaagccgca	gctgcaccga	cgaaggctgg	acgcacctgg	agcctggccc	gtaccccatt	360
gcctgtggtt	tggatgacaa	ggcagcgagt	ttggatgagc	agcagaccat	gttctacggt	420
tctgtgaaga	ccggctacac	cattggctac	ggcctgtccc	tegecaceet	tetggtegee	480
acagetatee	tgagcctgtt	caggaagete	cactgcacgc	ggaactacat	ccacatgcac	540
ctcttcatat	ccttcatcct	gagggctgcc	gctgtcttca	tcaaagactt	ggccctcttc	600
gacagcgggg	agteggaeca	gtgctccgag	ggctcggtgg	gctgtaaggc	agccatggtc	660
tttttccaat	attgtgtcat	ggctaacttc	ttctggctgc	tggtggaggg	cctctacctg	720
tacaccctgc	ttgccgtctc	cttcttctct	gagcggaagt	acttctgggg	gtacatactc	780
atcggctggg	gggtacccag	cacattcacc	atggtgtgga	ccatcgccag	gatccatttt	840
gaggattatg	ggtgctggga	caccatcaac	tectcactgt	ggtggatcat	aaagggcccc	900
atectcacet	ccatcttggt	aaacttcatc	ctgtttattt	gcatcatccg	aatcctgctt	960

cagaaactgc ggccccaga tatcaggaag agtgacagca gtccatactc aaggctagcc 1020
aggtccacac tectgetgat coccetgttt ggagtacact acatcatgtt egecttettt 1080
ceggacaatt ttaagectga agtgaagatg gtetttgage tegtegtggg gtetttecag 1140
ggttttgtgg tggctatect etactgette etcaatggtg aggtgeagge ggagetgagg 1200
eggaagtgge ggegetggea eetgeaggge gteetggget ggaaceeeaa ataceggeae 1260
eegtegggag geagcaacgg egecacgtge ageacgeagg tttecatget gaceeggte 1320
aggccaggtg eeegeegete etcaagette caageegaag tetecetggt etga 1374

<2

5

<210> 90 <211> 1287

<212> ADN

<213> Homo sapiens

<400> 90

ccaccaggat occaggage caaggagge cetecegee etteccaete acceeggeag 60 120 acgooggga cagaggootg coogggogog gocageocog goootgggot oggaggotgo ecceggeece etggtetetg gteeggacae teetagagaa egeageecta gageetgeet 180 240 ggagcgtttc tagcaagtga gagagatggg agctcctctc ctggaggatt gcaggtggaa ctcagtcatt agactcctcc tccaaaggcc ccctacgcca atcaagggca aaaagtctac 300 360 atactttcat cctgactctg ccccctgctg gctcttctgc ccaattggag gaaagcaacc ggtggatoct caaacacac tggtgtgacc tgagggcaga aaggttctgc ccgggaaggt 420 caccagcacc aacaccacgg tagtgcctga aatttcacca ttgctgtcaa gttcctttgg 480 540 gttaagcatt accactcagg catttgactg aagatgcagc tcactaccct attctctctt tacgettagt tateagettt ttaaagtggg ttattetgga gtttttgttt ggagageaca 600 660 cctatcttag tggttcccca ccgaagtgga ctggcccctg ggtcagtctg gtgggaggac 720 ggtgcaaccc aaggactgag ggactctgaa gcctctggga aatgagaagg cagccaccag 780 cgaatgctag gtctcggact aagcctacct gctctccaag tctcagtggc ttcatctgtc aagtgggatc tgtcacacca gccatactta tctctctgtg ctgtggaagc aacaggaatc 840 900 aagagetgee eteettgtee acceaectat gtgeeaactg ttgtaactag geteagagat gtgcacccat gggctctgac agaaagcaga tacctcaccc tgctacacat acaggatttg 960 1020 aactcagatc tgtctgatag gaatgtgaaa gcacggactc ttactgctaa cttttgtgta togtaaccag ccagatoctc ttggttattt gtttaccact tgtattatta atgccattat 1080 coctgaatce cocttgccae cocaccetee etggagtgtg getgaggagg cetecatete 1140 1200 atgtateate tggataggag cetgetggte acageeteet etgtetgeee tteaceceag tggccactca getteetace cacacetetg ccagaagate cceteaggae tgcaacagge 1260

10

ttgtgcaaca ataaatgttg gcttgga

F	<210> 91 <211> 32 <212> ADN <213> Artificial	
5	<220> <223> cebador directo para clonación del 3'UTR de ABCB9	
10	<400> 91 ccggccctcg agtggggggc ccctgcttct cc	32
15	<210> 92 <211> 34 <212> ADN <213> Artificial	
	<220> <223> cebador inverso para clonación del 3'UTR de ABCB9	
20	<400> 92 ccggccgcgg ccgcttaggg gtaagaggta gtac	34
25	<210> 93 <211> 32 <212> ADN <213> Artificial	
30	<220> <223> cebador directo para la CDS de ABCB9	
30	<400> 93 ccggccctcg agatgcggct gtggaaggcg gt	32
35	<210> 94 <211> 34 <212> ADN <213> Artificial	
40	<220> <223> cebador inverso para la CDS de ABCB9	
	<400> 94 ccggccgcgg ccgctcaggc cttgtgactg ccgt	34
45	<210> 95 <211> 32 <212> ADN <213> Artificial	
50	<220> <223> cebador directo para el 3'UTR de IGFBP2	
EE	<400> 95 ccggccctcg agaccgcagc cagccggtgc ct	32
55	<210> 96 <211> 34 <212> ADN <213> Artificial	
60	<220> <223> cebador inverso para el 3'UTR de IGFBP2	
65	<400> 96 ccggccgcgg ccgcttactt ttccttcctt taat	34

5	<210> 97 <211> 32 <212> ADN <213> Artificial	
3	<220> <223> cebador directo para la CDS de IGFBP2	
10	<400> 97 ccggccctcg agatgctgcc gagagtgggc tg	32
15	<210> 98 <211> 34 <212> ADN <213> Artificial	
13	<220> <223> cebador inverso para la CDS de IGFBP2	
20	<400> 98 ccggccgcgg ccgcctactg catccgctgg gtgt	34
25	<210> 99 <211> 32 <212> ADN <213> Artificial	
30	<220> <223> cebador directo para el 3'UTR de MERTK <400> 99 ccggccctcg agggagaggt gcggggagac at	32
35	<210> 100 <211> 34 <212> ADN <213> Artificial	
40	<220> <223> cebador inverso para el 3'UTR de MERTK	
	<400> 100 ccggccgcgg ccgccttcct tattcatatt ttat	34
45	<210> 101 <211> 32 <212> ADN <213> Artificial	
50	<220> <223> cebador directo para la CDS de MERTK	
55	<400> 101 ccggccctcg agatggggcc ggccccgctg cc	32
	<210> 102 <211> 34 <212> ADN <213> Artificial	
60	<220> <223> cebador inverso para la CDS de MERTK	
65	<400> 102 ccggccgcgg ccgctcacat caggacttct gage	34

5	<210> 103 <211> 32 <212> ADN <213> Artificial	
	<220> <223> cebador directo para la 3'UTR de PITPNC1	
10	<400> 103 ccggccctcg agcaatggat gaagtccgag aa	32
15	<210> 104 <211> 34 <212> ADN <213> Artificial	
20	<220> <223> cebador inverso para la 3'UTR de PITPNC1	
20	<400> 104 ccggccgcgg ccgcttaaaa gacagaaaca agta	34
25	<210> 105 <211> 32 <212> ADN <213> Artificial	
30	<220> <223> cebador directo para la CDS de PITPNC1	
	<400> 105 ccggccctcg agatgetget gaaagagtac eg	32
35	<210> 106 <211> 34 <212> ADN <213> Artificial	
40	<220> <223> cebador inverso para la CDS de PITPNC1	
45	<400> 106 ccggccgcgg ccgctcatgt acttgtttgg gcat	34
	<210> 107 <211> 32 <212> ADN <213> Artificial	
50	<220> <223> cebador directo para la 3'UTR de PSAT1	
55	<400> 107 ccggccctcg agacacatcc taaccaggat at	32
60	<210> 108 <211> 34 <212> ADN <213> Artificial	
	<220> <223> cebador inverso para el 3'UTR de PSAT1	
65	<400> 108 ccggccgcgg ccgcttagat gttttaggac ttta	34

	<210> 109 <211> 34 <212> ADN	
5	<213> Artificial	
	<220> <223> cebador directo para la CDS de PSAT1	
10	<400> 109 ccggccgcgg ccgctcatag ctgatgcatc tcca	34
15	<210> 110 <211> 32 <212> ADN <213> Artificial	
20	<220> <223> cebador inverso para la CDS de PSAT1 <400> 110	
	ceggeeteg agatggaege ecceaggeag gt	32
25	<210> 111 <211> 32 <212> ADN <213> Artificial	
30	<220> <223> cebador directo para el 3'UTR de PYGB	
	<400> 111 ceggeceteg aggeacacee tgeettggeg gg	32
35	<210> 112 <211> 34 <212> ADN <213> Artificial	
40	<220> <223> cebador inverso para el 3'UTR de PYGB	
45	<400> 112 ccggccgcgg ccgctcagcc aaccacagcc acaa	34
40	<210> 113 <211> 34 <212> ADN <213> Artificial	
50	<220> <223> cebador directo para la CDS de PYGB	
55	<400> 113 ccggccgttt aaacatggcg aagccgctga cgga	34
	<210> 114 <211> 34 <212> ADN	
60	<213> Artificial	
	<220> <223> cebador inverso para la CDS de PYGB	
65	<400> 114	34

5	<210> 115 <211> 32 <212> ADN <213> Artificial	
	<220> <223> cebador directo para el 3'UTR de SHMT2	
10	<400> 115 ccggccctcg agaggcacct gggaaatgag gc	32
15	<210> 116 <211> 34 <212> ADN <213> Artificial	
20	<220> <223> cebador inverso para el 3'UTR de SHMT2	
	<400> 116 ccggccgcgg ccgccaaaat acaatttcat ttaa	34
25	<210> 117 <211> 32 <212> ADN <213> Artificial	
30	<220> <223> cebador directo para la CDS de SHMT2	
	<400> 117 coggccctcg agatgctgta cttctctttg tt	32
35	<210> 118 <211> 34 <212> ADN <213> Artificial	
40	<220> <223> cebador inverso para la CDS de SHMT2	
45	<400> 118 ccggccgcgg ccgctcaatg ctcatcaaaa ccag	34
	<210> 119 <211> 34 <212> ADN <213> Artificial	
50	<220> <223> cebador directo para la CDS de VIPR	
55	<400> 119 ccggccgttt aaactcagac cagggagact tcgg	34
	<210> 120 <211> 32	
60	<212> ADN <213> Artificial	
	<220> <223> cebador inverso para la CDS de VIPR	
65	<400> 120 ccggccctcg agatgcgccc gccaagtccg ct	32

5	<210> 121 <211> 32 <212> ADN <213> Artificial	
	<220> <223> cebador directo para la 3'UTR de VIPR1	
10	<400> 121 ccggccctcg agccaccagg atcccagggg cc	32
15	<210> 122 <211> 34 <212> ADN <213> Artificial	
20	<220> <223> cebador inverso para la 3'UTR de VIPR1	
20	<400> 122 ccggccgcgg ccgctccaag ccaacattta ttgt	34
25	<210> 123 <211> 15 <212> ADN <213> Artificial	
30	<220> <223> Secuencia complementaria de miR-126	
	<400> 123 ttactcacgg tacga 15	
35	<210> 124 <211> 53 <212> ADN <213> Artificial	
40	<220> <223> cebador directo para la mutagénesis del 3'UTR de IGFBP2	
45	<400> 124 aagggggttg tggtcgggga gctggcacac aggtttgggg agggggaaga gaa	53
	<210> 125 <211> 53 <212> ADN <213> Artificial	
50	<220> <223> cebador directo para la mutagénesis del 3'UTR de MERTK	
55	<400> 125 attctaggcg atcgctcgag ggagacacgc ggggagacat tccaaaaatc aag	53
60	<210> 126 <211> 53 <212> ADN <213> Artificial	
00	<220> <223> cebador directo para la mutagénesis de la CDS de PITPNC1	
65	<400> 126 tatgacaatg gatgatgttc gggaagtaga gaaaaacatg catgaacaaa cca	53

5	<210> 127 <211> 53 <212> ADN <213> Artificial	
	<220> <223> cebador directo para la mutagénesis de la CDS de SHMT2	
10	<400> 127 gcgaggctac tcactggtat caggtcacac tgacaaccac ctggtgctgg tgg	53
15	<210> 128 <211> 53 <212> ADN <213> Artificial	
20	<220> <223> cebador inverso para la mutagénesis del 3'UTR de IGFBP2	
20	<400> 128 ttetetteee eeteeceaaa eetgtgtgee ageteeeega eeaeaaeeee ett	53
25	<210> 129 <211> 53 <212> ADN <213> Artificial	
30	<220> <223> cebador inverso para la mutagénesis del 3'UTR de MERTK	
	<400> 129 cttgattttt ggaatgtete eeegegtgte teeetegage gategeetag aat	53
35	<210> 130 <211> 53 <212> ADN <213> Artificial	
40	<220> <223> cebador inverso para la mutagénesis de la CDS de PITPNC1	
45	<400> 130 tggtttgttc atgcatgttt ttctctactt cccgaacatc atccattgtc ata	53
	<210> 131 <211> 53 <212> ADN <213> Artificial	
50	<220> <223> cebador inverso para la mutagénesis de la CDS de SHMT2	
55	<400> 131 ccaccagcac caggtggttg tcagtgtgac ctgataccag tgagtagcct cgc	53
60	<210> 132 <211> 678 <212> PRT <213> Homo sapiens	
	<400> 132	

Met Ala Pro Ser Leu Ser Pro Gly Pro Ala Ala Leu Arg Arg Ala Pro

65

1				5					10					15	
Gln	Leu	Leu	Leu 20	Leu	Leu	Leu	Ala	Ala 25	Gl u	Cys	Ala	Leu	Ala 30	Ala	Leu
Leu	Pro	Ala 35	Arg	Glu	Ala	Thr	Gln 40	Phe	Leu	Arg	Pro	Arg 45	Gln	Arg	Arg
Ala	Phe 50	Gln	Val	Phe	Glu	Glu 55	Ala	Lys	Gln	Gly	His 60	Leu	Glu	Arg	Glu
Cys 65	Val	Glu	Glu	Leu	Cys 70	Ser	Arg	Glu	Glu	Ala 75	Arg	Glu	Val	Phe	Gl u 80
Aşn	Asp	Pro	Glu	Thr 85	Asp	Tyr	Phe	Tyr	Pro 90	Arg	Tyr	Leu	Asp	Cys 95	Ile
Aşn	Lys	Tyr	Gly 100	Ser	Pro	Tyr	Thr	Lys 105	Asn	Ser	Gly	Phe	Ala 110	Thr	Cys
Val	Gln	Asn 115	Leu	Pro	Asp	Gl n	Cys 120	Thr	Pro	Asn	Pro	Cys 125	Asp	Arg	Lys
Gly	Thr 130	Gln	Ala	Cys	Gln	Asp 135	Leu	Met	Gly	Asn	Phe 140	Phe	Суз	Leu	Cys
Lys 145	Ala	Gly	Trp	Gly	Gly 150	Arg	Leu	Cys	Asp	Lys 155	Asp	Val	Asn	Glu	Cys 160
Ser	Gln	Glu	Asn	Gly 165	Gly	Cys	Leu	Gln	Ile 170	Cys	His	Asn	Lys	Pro 175	Gly
Ser	Phe	His	Cys 180	Ser	Суз	His	Ser	Gly 185	Phe	Glu	Leu	Ser	Ser 190	Asp	Gly
Arg	Thr	Cys 195	Gln	Asp	Ile	Asp	Glu 200	Cys	Ala	Asp	Ser	Glu 205	Ala	Cys	Gly
Glu	Ala 210	Arg	Cys	Lys	Asn	Leu 215	Pro	Gly	Ser	Tyr	Ser 220	Cys	Leu	Cys	Asp
Glu 225	Gly	Phe	Ala	Tyr	Ser 230	Ser	Gln	Glu	Lys	Ala 235	Cys	Arg	Asp	Val	Asp 240
Glu	Сув	Leu	Gln	Gly 245	Arg	Сув	Glu	Gln	Val 250		Val	Asn	Ser	Pro	Gly

Ser	Tyr	Thr	Cys 260	His	Сув	Asp	Gly	Arg 265	Gly	Gly	Leu	Lys	Leu 270	Ser	Gln
Asp	Met	Asp 275	Thr	Cys	Glu	Asp	Ile 280	Leu	Pro	Cys	Val	Pro 285	Phe	Ser	Val
Ala	Lys 290	Ser	Val	Lys	Ser	Leu 295	Tyr	Leu	Gly	Arg	Met 300	Phe	Ser	Gly	Thr
Pro 305	Val	Ile	Arg	Leu	Arg 310	Phe	Lys	Arg	Leu	Gln 315	Pro	Thr	Arg	Leu	Val 320
Ala	Glu	Phe	Asp	Phe 325	Arg	Thr	Phe	Asp	Pro 330	Glu	Gly	Ile	Leu	Leu 335	Phe
Ala	Gly	Gly	His 340	Gln	Asp	Ser	Thr	Trp 345	Ile	Val	Leu	Ala	Leu 350	Arg	Ala
Gly	Arg	Leu 355	Glu	Leu	Gln	Leu	Arg 360	Tyr	Asn	Gly	Val	Gly 365	Arg	Val	Thr
Ser	Ser 370	Gly	Pro	Val	Ile	As n 375	His	Gly	Met	Trp	Gln 380	Thr	Ile	Ser	Val
Glu 385	Glu ;	Leu	Ala	Arg	Asn 390	Leu	Val	Ile	Lys	Val 395	Asn	Arg	Asp	Ala	Val 400
Met	Lys	Ile	Ala	Val 405	Ala	Gly	Asp	Leu	Phe 410	Gln	Pro	Glu	Arg	Gly 415	Leu
Tyr	His	Leu	Asn 420	Leu	Thr	Val	Gly	Gly 425	Ile	Pro	Phe	His	Glu 430	Lys	Asp
Leu	Val	Gln 435	Pro	Ile	Asn	Pro	Arg 440	Leu	Asp	Gly	Cys	Met 445	Arg	Ser	Trp
Asn	450	Leu	Asn	Gly	Glu	Asp 455	Thr	Thr	Ile	Gln	Glu 460	Thr	Val	Lys	Val
Asn 465	Thr	Arg	Met	Gln	Cys 470	Phe	Ser	Val	Thr	Glu 475	Arg	Gly	Ser	Phe	Tyr 480
Pro	Gly	Ser	Gly	Phe 485	Ala	Phe	Tyr	Ser	Leu 490	Asp	Tyr	Met	Arg	Thr 495	Pro
Lev	Asp	Val	Gly 500		Glu	Ser	Thr	Trp 505		Val	Glu	Val	Val 510		His

	Ile	Arg	Pro 515	Ala	Ala	Asp	Thr	Gly 520	Val	Leu	Phe	Ala	Leu 525	Trp	Ala	Pro
•	Asp	Leu 530	Arg	Ala	Val	Pro	Leu 535	Ser	Val	Ala	Leu	Val 5 4 0	Asp	Tyr	His	Ser
	Thr 545	Lys	Lys	Leu	Lys	Lys 550	Gln	Leu	Val	Val	Leu 555	Ala	Val	Glu	His	Th: 560
	Ala	Leu	Ala	Leu	Met 565	Glu	Ile	Lys	Val	Cys 570	Asp	Gly	Gln	Glu	His 575	Val
				580		Arg	_		585					590		
		_	595			Glu		600					605			
		610				His	615					620				
	625			_		Pro 630					635					640
	_	_	-		645	Leu				650	Ī			_	655	_
				660		His	ser	Asp	665	Thr	ATA	HIS	ser	670	Pro	Pro
	٧al	GLU	Pro	Ala	ALA	ALA										

<210> 133

<211> 405

<212> PRT

<213> Homo sapiens

675

<400> 133

Met Asp Thr Cys Glu Asp Ile Leu Pro Cys Val Pro Phe Ser Val Ala 1 5 10 15

Lys Ser Val Lys Ser Leu Tyr Leu Gly Arg Met Phe Ser Gly Thr Pro 20 25 30

Val Ile Arg Leu Arg Phe Lys Arg Leu Gln Pro Thr Arg Leu Val Ala 35 40 45

10

Glu Phe Asp Phe Arg Thr Phe Asp Pro Glu Gly Ile Leu Leu Phe Ala Gly Gly His Gln Asp Ser Thr Trp Ile Val Leu Ala Leu Arg Ala Gly 70 Arg Leu Glu Leu Gln Leu Arg Tyr Asn Gly Val Gly Arg Val Thr Ser Ser Gly Pro Val Ile Asn His Gly Met Trp Gln Thr Ile Ser Val Glu 100 105 Glu Leu Ala Arg Asn Leu Val Ile Lys Val Asn Arg Asp Ala Val Met 120 Lys Ile Ala Val Ala Gly Asp Leu Phe Gln Pro Glu Arg Gly Leu Tyr 135 His Leu Asn Leu Thr Val Gly Gly Ile Pro Phe His Glu Lys Asp Leu 145 Val Gln Pro Ile Asn Pro Arg Leu Asp Gly Cys Met Arg Ser Trp Asn Trp Leu Asn Gly Glu Asp Thr Thr Ile Gln Glu Thr Val Lys Val Asn 180 Thr Arg Met Gln Cys Phe Ser Val Thr Glu Arg Gly Ser Phe Tyr Pro 200 Gly Ser Gly Phe Ala Phe Tyr Ser Leu Asp Tyr Met Arg Thr Pro Leu 215 Asp Val Gly Thr Glu Ser Thr Trp Glu Val Glu Val Val Ala His Ile 225 Arg Pro Ala Ala Asp Thr Gly Val Leu Phe Ala Leu Trp Ala Pro Asp Leu Arg Ala Val Pro Leu Ser Val Ala Leu Val Asp Tyr His Ser Thr Lys Lys Leu Lys Lys Gln Leu Val Val Leu Ala Val Glu His Thr Ala 280 Leu Ala Leu Met Glu Ile Lys Val Cys Asp Gly Gln Glu His Val Val 290 295 300

Thr	Val	Ser	Leu	Arg	Asp	Gly	Glu	Ala	Thr	Leu	Glu	Val	Asp	Gly	Thr
305					310					315					320

Arg Gly Gln Ser Glu Val Ser Ala Ala Gln Leu Gln Glu Arg Leu Ala 325 330 335

Val Leu Glu Arg His Leu Arg Ser Pro Val Leu Thr Phe Ala Gly Gly 340 345 350

Leu Pro Asp Val Pro Val Thr Ser Ala Pro Val Thr Ala Phe Tyr Arg 355 360 365

Gly Cys Met Thr Leu Glu Val Asn Arg Arg Leu Leu Asp Leu Asp Glu 370 380

Ala Ala Tyr Lys His Ser Asp Ile Thr Ala His Ser Cys Pro Pro Val 385 390 395 400

Glu Pro Ala Ala Ala 405

<210> 134

<211> 379

<212> PRT

5

<213> Homo sapiens

<400> 134

Met Phe Ser Gly Thr Pro Val Ile Arg Leu Arg Phe Lys Arg Leu Gln 1 5 10 15

Pro Thr Arg Leu Val Ala Glu Phe Asp Phe Arg Thr Phe Asp Pro Glu 20 25 30

Gly Ile Leu Leu Phe Ala Gly Gly His Gln Asp Ser Thr Trp Ile Val 35 40 45

Leu Ala Leu Arg Ala Gly Arg Leu Glu Leu Gln Leu Arg Tyr Asn Gly 50 55 60

Val Gly Arg Val Thr Ser Ser Gly Pro Val Ile Asn His Gly Met Trp 65 70 75 80

Gln Thr Ile Ser Val Glu Glu Leu Ala Arg Asn Leu Val Ile Lys Val 85 90 95

Asn Arg Asp Ala Val Met Lys Ile Ala Val Ala Gly Asp Leu Phe Gln 100 105 110

Pro	Glu	Arg 115	Gly	Leu	Tyr	His	Leu 120	Asn	Leu	Thr	Val	Gly 125	Gly	Ile	Pro
Phe	His 130	Glu	Lys	Asp	Leu	Val 135	Gln	Pro	Ile	Asn	Pro 140	Arg	Leu	Asp	Gly
Cys 145	Met	Arg	Ser	Trp	As n 150	Trp	Leu	Asn	Gly	Glu 155	Asp	Thr	Thr	Ile	Gln 160
Glu	Thr	Val	Lys	Val 165	Asn	Thr	Arg	Met	Gln 170	Сув	Phe	Ser	Val	Thr 175	Glu
Arg	Gly	Ser	Phe 180	Tyr	Pro	Gly	Ser	Gly 185	Phe	Ala	Phe	Tyr	Ser 190	Leu	Asp
Tyr	Met	Arg 195	Thr	Pro	Leu	Asp	Val 200	Gly	Thr	Glu	Ser	Thr 205	Trp	Gl u	Val
Glu	Val 210	Val	Ala	His	Ile	Arg 215	Pro	Ala	Ala	Asp	Thr 220	Gly	Val	Leu	Phe
Ala 225	Leu	Trp	Ala	Pro	Asp 230	Leu	Arg	Ala	Val	Pro 235	Leu	Ser	Val	Ala	Leu 240
Val	Asp	Туг	His	Ser 245	Thr	Lys	Lys	Leu	Lys 250	Lys	Gl n	Leu	Val	Val 255	Leu
Ala	Val	Gl u	His 260	Thr	Ala	Leu	Ala	Leu 265	Met	Glu	Ile	Lys	Val 270	Cys	Asp
Gly	Gln	Glu 275	His	Val	Val	Thr	Val 280	Ser	Leu	Arg	Asp	Gly 285	Glu	Ala	Thr
Leu	Glu 290	Val	Asp	Gly	Thr	Arg 295	Gly	Gln	Ser	Glu	Val 300	Ser	Ala	Ala	Gln
Leu 305	Gln	Gl u	Arg	Leu	Ala 310	Val	Leu	Glu	Arg	His 315	Leu	Arg	Ser	Pro	Val 320
Leu	Thr	Phe	Ala	Gly 325	Gly	Leu	Pro	Asp	Val 330	Pro	Val	Thr	Ser	Ala 335	Pro
Val	Thr	Ala	Phe 340	Tyr	Arg	Gly	Cys	Met 3 4 5	Thr	Leu	Glu	Val	Asn 350	Arg	Arg
Leu	Leu	Asp	Leu	Asp	Glu	Ala	Ala	Tyr	Lys	His	Ser	Asp	Ile	Thr	Ala

355 360 365

His Ser Cys Pro Pro Val Glu Pro Ala Ala Ala 370 375

	attetteget ttatatatet tetegaaage ac	
	aatgatacgg cgaccaccga gatctacact ctttccctac acgacgctct tccgatctgt	
55	<400> 139	
	<220> <223> Cebador sintético	
50	<210> 139 <211> 92 <212> ADN <213> Artificial	
45	<400> 138 aaagaggatc tctgtccctg t	21
40	<220> <223> Cebador sintético	
35	<210> 138 <211> 21 <212> ADN <213> Artificial	
25	<400> 137 tggactatca tatgcttacc gtaact	26
30	<213> Artificial <220> <223> Cebador sintético	
25	<210> 137 <211> 26 <212> ADN	
20	<223> cebador inverso que contiene el promotor de T7 <400> 136 gatgtgcgct ctgcccactg ac	22
00	<212> ADN <213> Artificial <220>	
15	<210> 136 <211> 22	
10	<223> cebador directo que contiene el promotor de T7 <400> 135 gaaattaata cgactcacta tagggcctgg agacgccatc cacgctg	47
	<220>	
5	<210> 135 <211> 47 <212> ADN <213> Artificial	

60

92

	<210> 140 <211> 65 <212> ADN	
_	<213> Artificial	
5	<220> <223> Cebador sintético	
	<400> 140	
10	caagcagaag acggcatacg agctcttccg atctggatga atactgccat ttgtctcgag	60
	otega	65

REIVINDICACIONES

- 1. Un método para la identificación de un gen o ARN no codificante que regula la colonización por cáncer metastásico de un tejido corporal, que comprende,
 - a) introducir una o más moléculas de ARNhc, ARNi, microARN o ARN no codificante en una población de células cancerosas iniciales para generar una población de células cancerosas modificadas por ingeniería, en donde la población de células cancerosas iniciales se obtiene realizando tandas en serie de trasplante, aislamiento y trasplante repetido de una población de células cancerosas marcadas o no marcadas en un tejido vivo no humano:
 - b) trasplantar dicha población de células cancerosas modificadas por ingeniería en un tejido del cuerpo no humano;
 - c) aislar células trasplantadas para obtener una población de células cancerosas aisladas; y

5

10

20

35

65

d) evaluar la cantidad de molécula de ARNhc, ARNi, microARN o de ARN no codificante o de gen codificante de proteína en la población de células cancerosas aisladas,

en donde una disminución en la cantidad de dicho ARNhc, ARNi, microARN o ARN no codificante en la población de células aisladas con respecto a su cantidad antes del trasplante indica que el gen o genes diana de dicho ARNhc, ARNi, microARN o ARN no codificante representan un gen necesario para la colonización metastásica de dicho tejido.

- 2. Un método para la identificación de un gen o un ARN no codificante que regula la colonización por cáncer metastásico de un tejido corporal, que comprende
- a) introducir una o más moléculas de ADN que codifican un gen codificante de proteína en una población de células cancerosas iniciales para generar una población de células cancerosas modificadas por ingeniería, en donde la población de células cancerosas iniciales se obtiene realizando tandas en serie de trasplante, aislamiento y trasplante repetido de una población de células cancerosas marcadas o no marcadas en un tejido vivo no humano:
- 30 b) trasplantar dicha población de células cancerosas modificadas por ingeniería en un tejido del cuerpo no humano;
 - c) aislar células trasplantadas para obtener una población de células cancerosas aisladas; y
 - d) evaluar la cantidad del gen codificante de proteína en la población de células cancerosas aisladas, en donde un aumento en la cantidad de dicho gen codificante de proteína en la población de células aisladas con respecto a su cantidad antes del trasplante indica que el gen codificante de proteína es necesario para la colonización metastásica de dicho teiido.
- 3. El método de la reivindicación 1 o 2, en donde la etapa de evaluación se realiza utilizando análisis de microalineamientos, tecnología de secuenciación de ADN, tecnología de secuenciación masiva o análisis de do clonación.
 - 4. Un método para la identificación de un gen o un ARN no codificante que regula la colonización por cáncer metastásico de un tejido corporal, que comprende,
- a) proporcionar una población de células cancerosas aisladas obtenidas de un sujeto no humano que se ha trasplantado con una población de células cancerosas modificadas por ingeniería, en donde las células cancerosas modificadas por ingeniería se han producido introduciendo una o más moléculas de ARNhc, ARNi, microARN o ARN no codificante en una población de células cancerosas iniciales, en donde la población de células cancerosas iniciales se obtiene realizando tandas en serie de trasplante, aislamiento y trasplante repetido de una población de células cancerosas marcadas o no marcadas en un tejido vivo no humano;
 - b) evaluar la cantidad de molécula de ARNhc, ARNi, microARN o ARN no codificante o de gen codificante de proteína en la población de células cancerosas aisladas,
- en donde una disminución en la cantidad de dicho ARNhc, ARNi, microARN o ARN no codificante en la población de células aisladas con respecto a su cantidad antes del trasplante indica que el gen o genes diana de dicho ARNhc, ARNi, microARN o ARN no codificantes representan un gen necesario para la colonización metastásica de dicho teiido.
- 5. Un método para la identificación de un gen o un ARN no codificante que regula la colonización por cáncer metastásico de un tejido corporal, que comprende
 - a) proporcionar una población de células cancerosas aisladas obtenidas de un sujeto no humano que se ha trasplantado con una población de células cancerosas modificadas por ingeniería, en donde las células cancerosas modificadas por ingeniería se han producido introduciendo una o más moléculas de ADN que codifican un gen codificante de proteína en una población de células cancerosas iniciales para generar una población de células cancerosas modificadas por ingeniería, en donde la población de células cancerosas

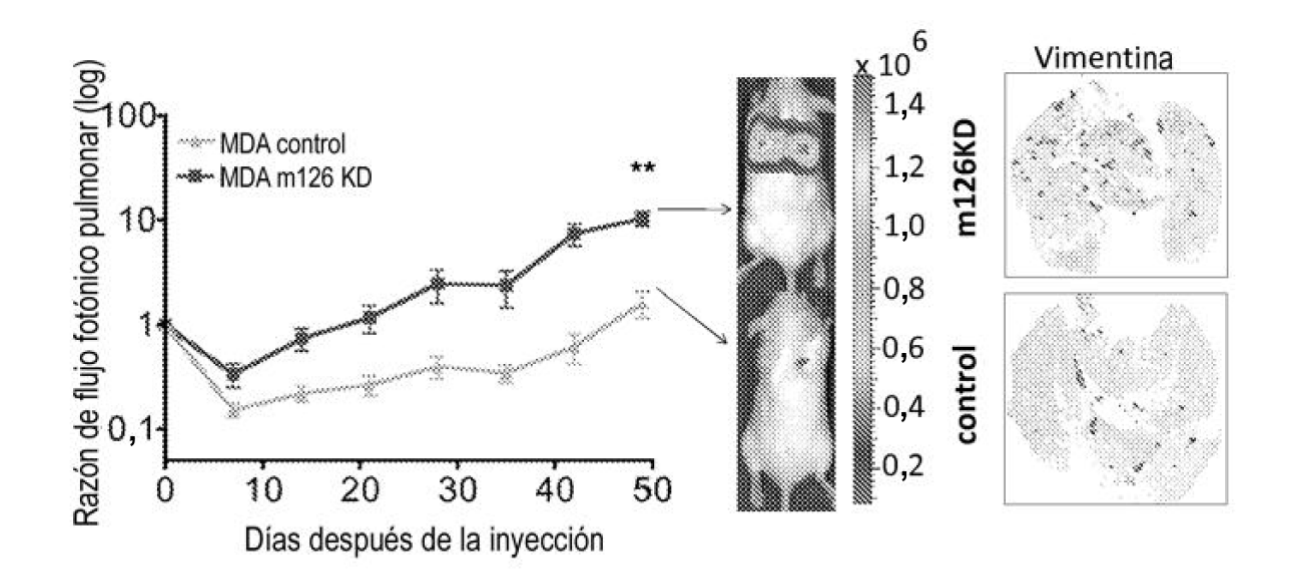
iniciales se obtiene realizando tandas en serie de trasplante, aislamiento y trasplante repetido de una población de células cancerosas marcadas o no marcadas en un tejido vivo no humano;

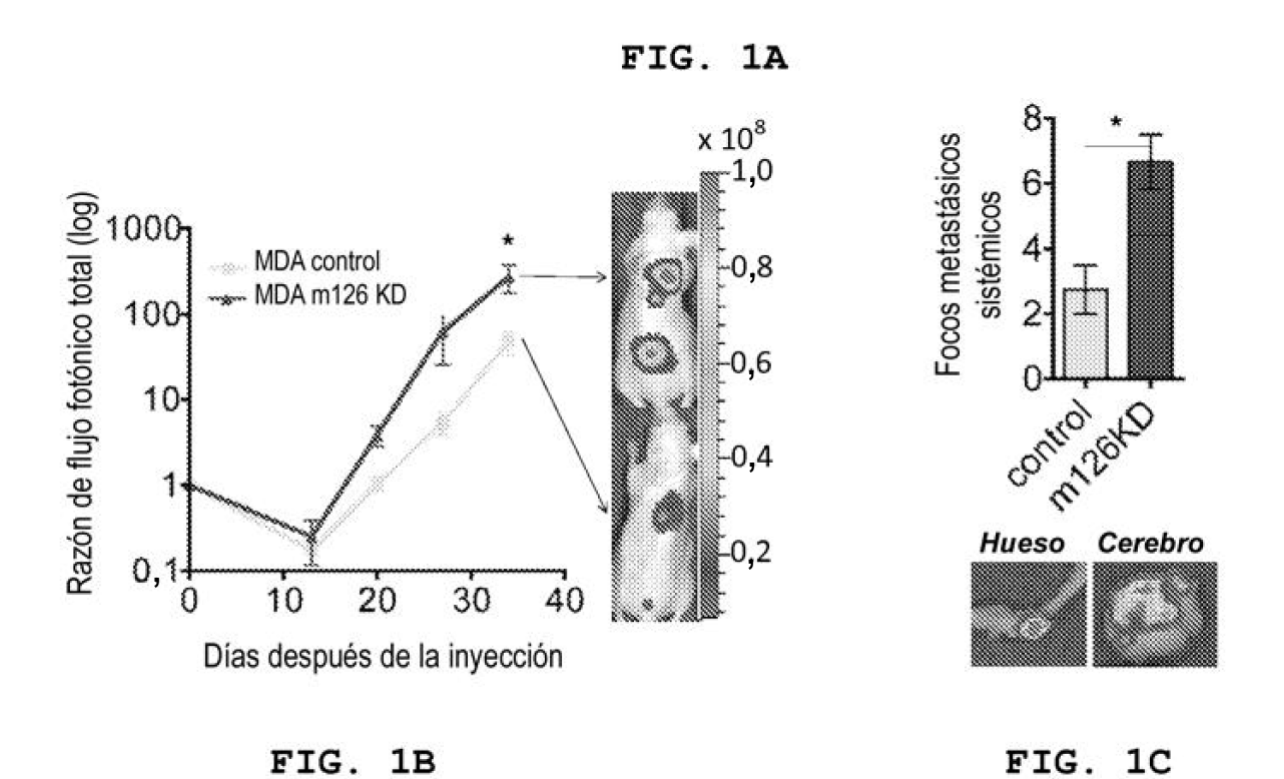
b) evaluar la cantidad del gen codificante de proteína en la población de células cancerosas aisladas, en donde un aumento en la cantidad de dicho gen codificante de proteína en la población de células aisladas con respecto a su cantidad antes del trasplante indica que el gen codificante de proteína es necesario para la colonización metastásica de dicho tejido.

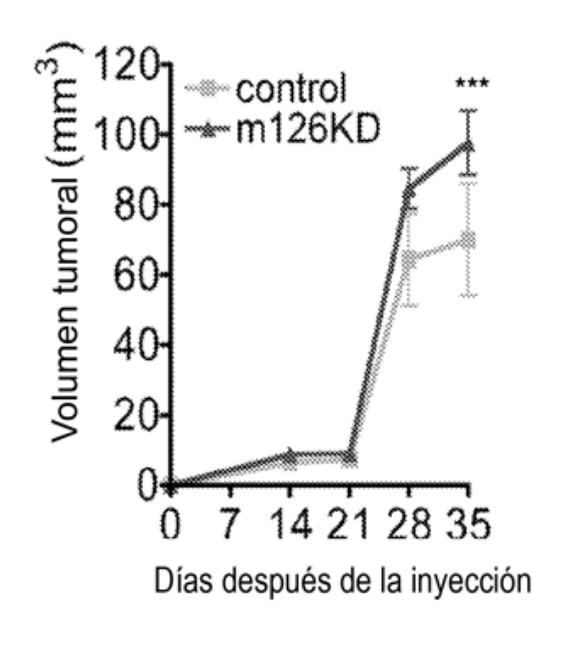
5

10

6. El método de la reivindicación 4 o 5, en donde la etapa de evaluación se realiza utilizando análisis de microalineamientos, tecnología de secuenciación de ADN, tecnología de secuenciación masiva o análisis de clonación







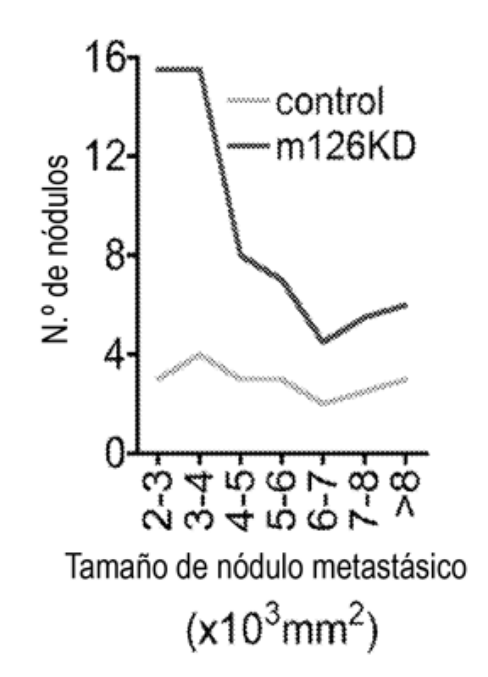


FIG. 1D

FIG. 1E

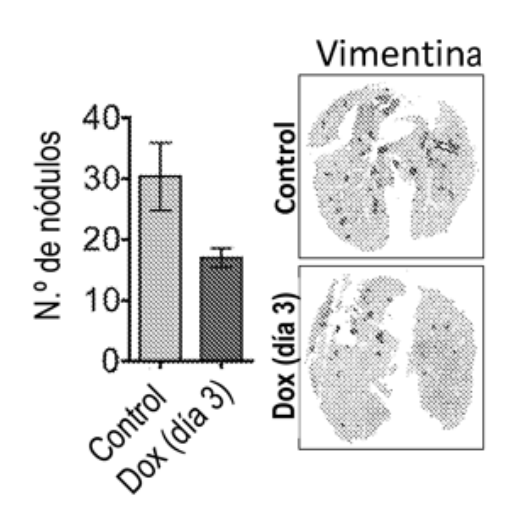
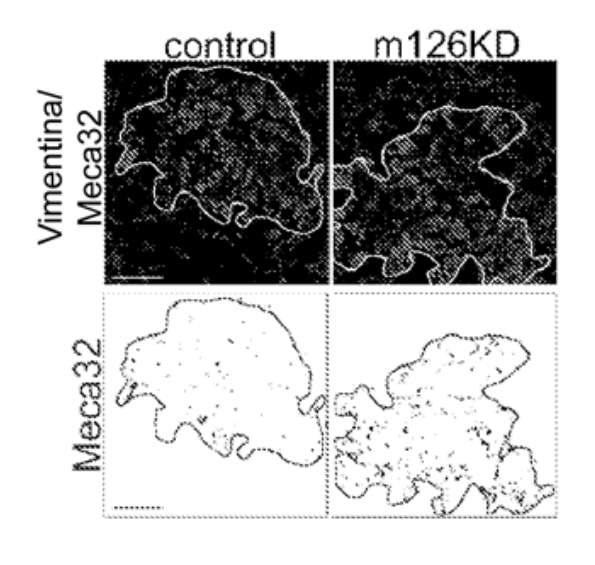


FIG. 1F



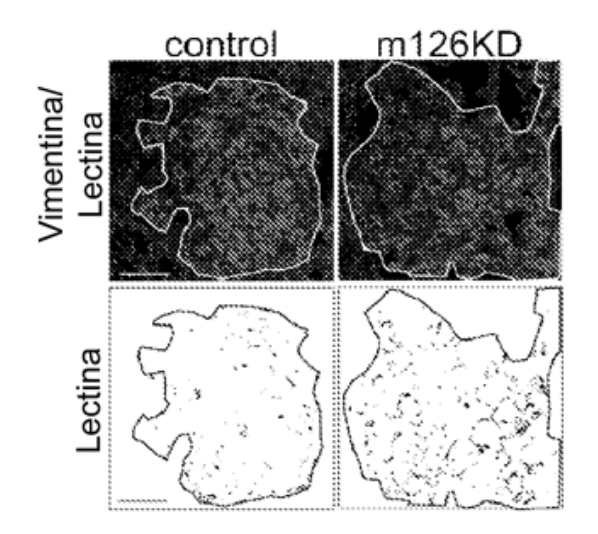
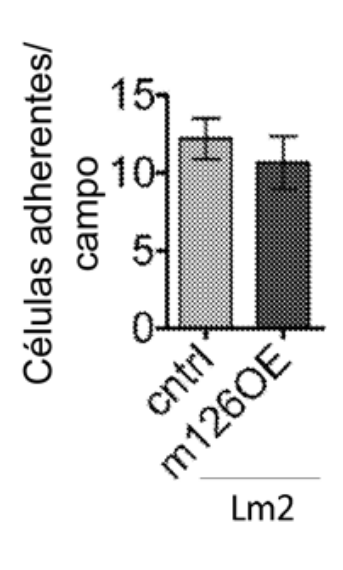


FIG. 2A

FIG. 2B



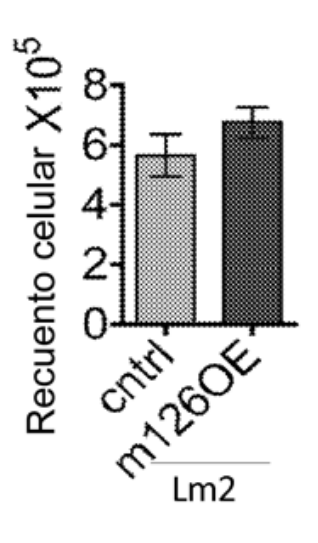


FIG. 2C

FIG. 2D

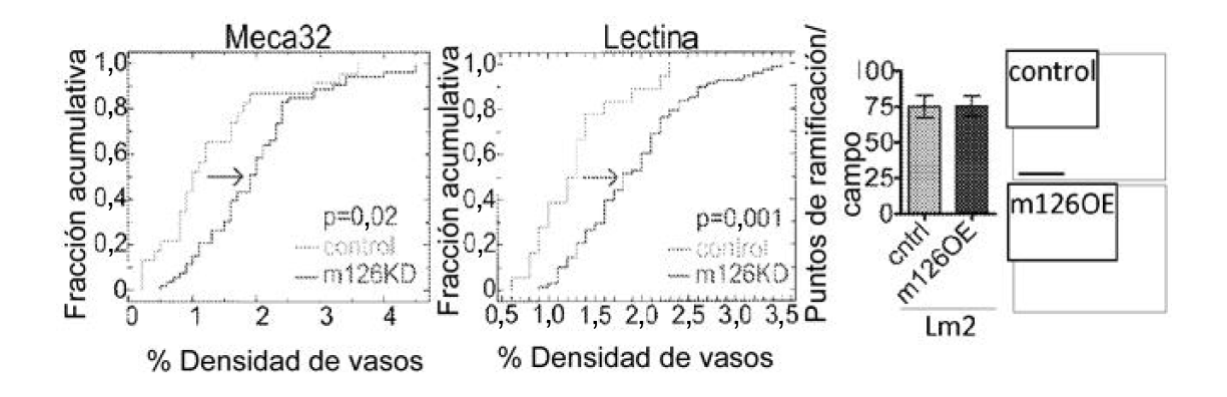


FIG. 2E

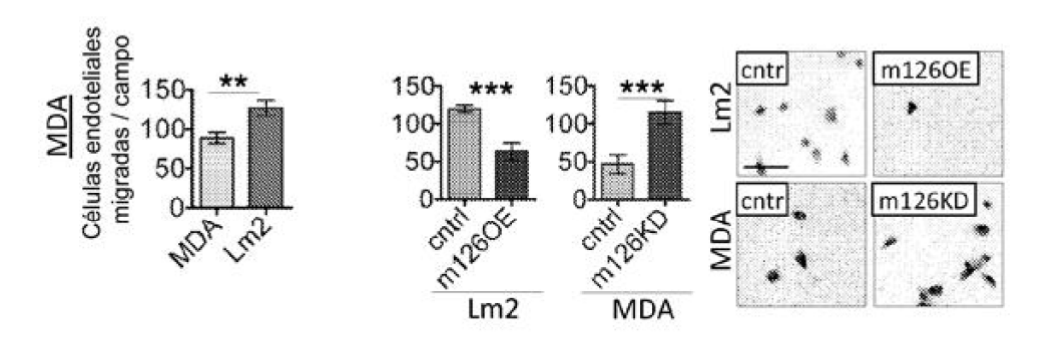


FIG. 2F Fig. 2G

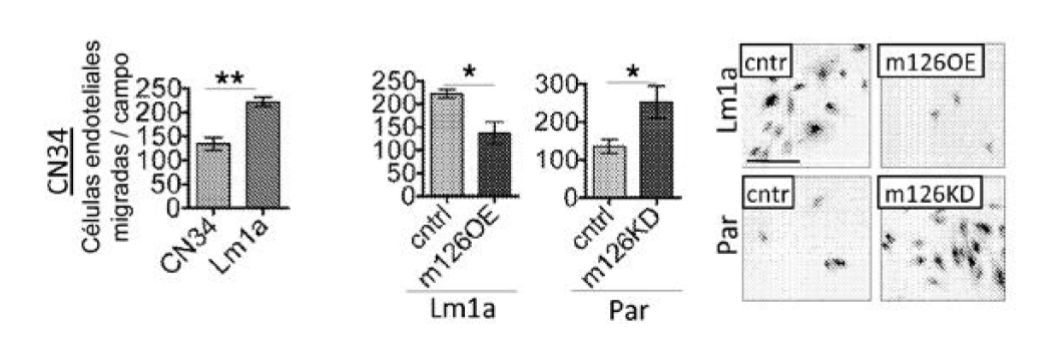
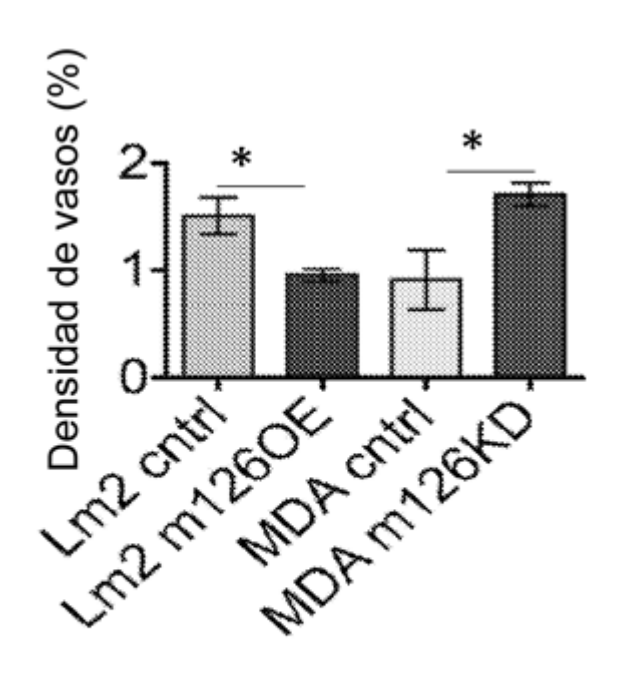


FIG. 2H Fig. 2I



MECA-32

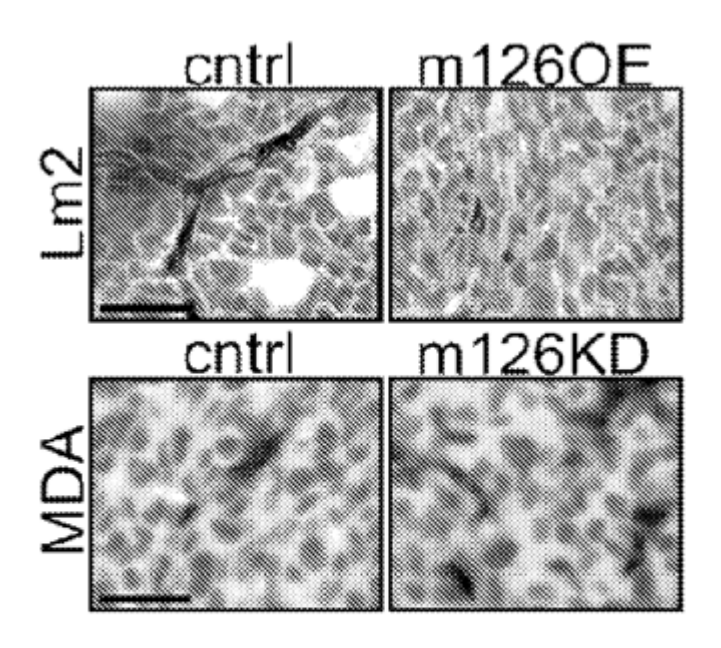


FIG. 2J

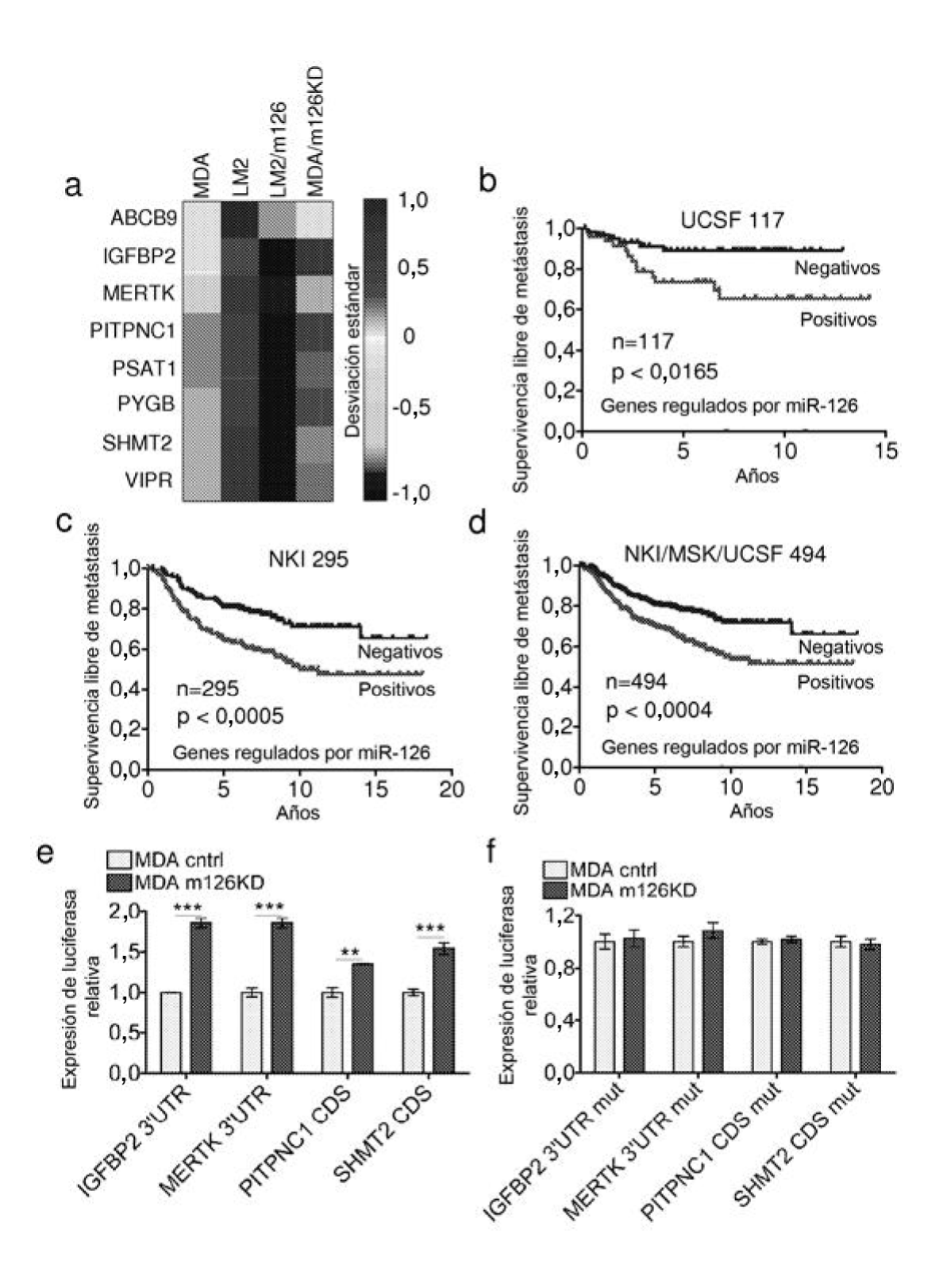


FIG. 3

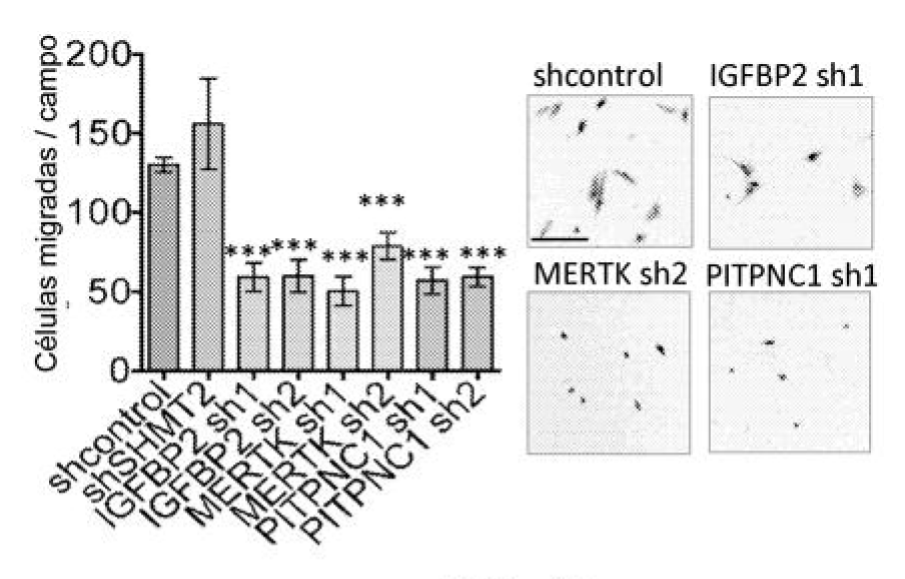


FIG. 4A

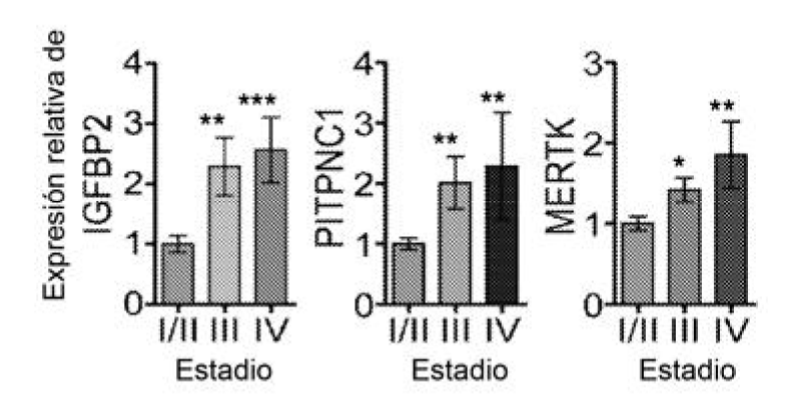


FIG. 4B

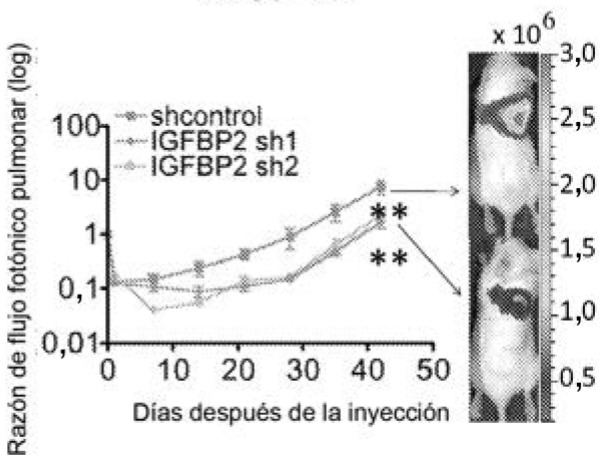


FIG. 4C

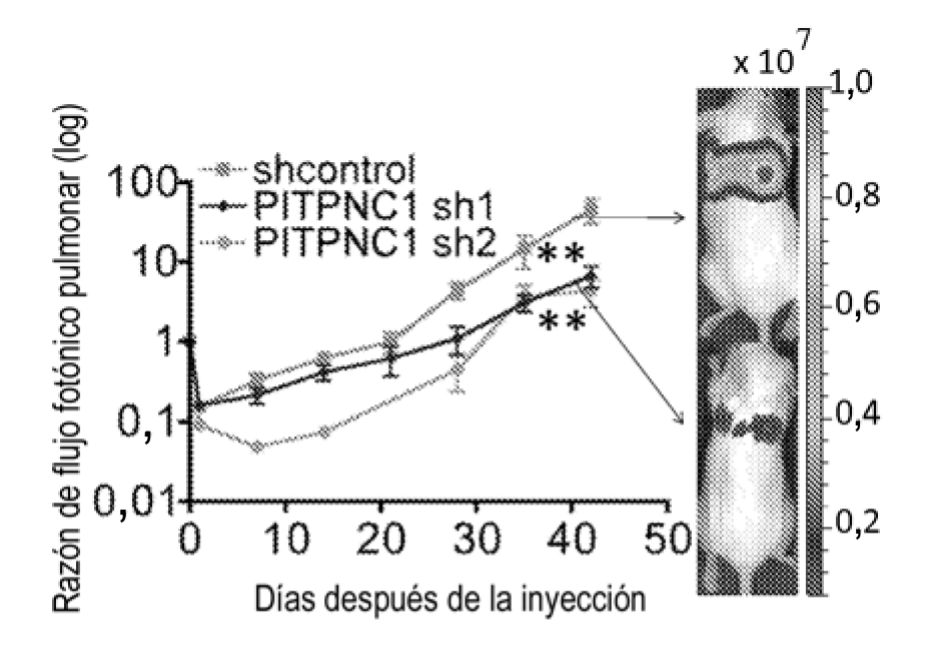


FIG. 4D

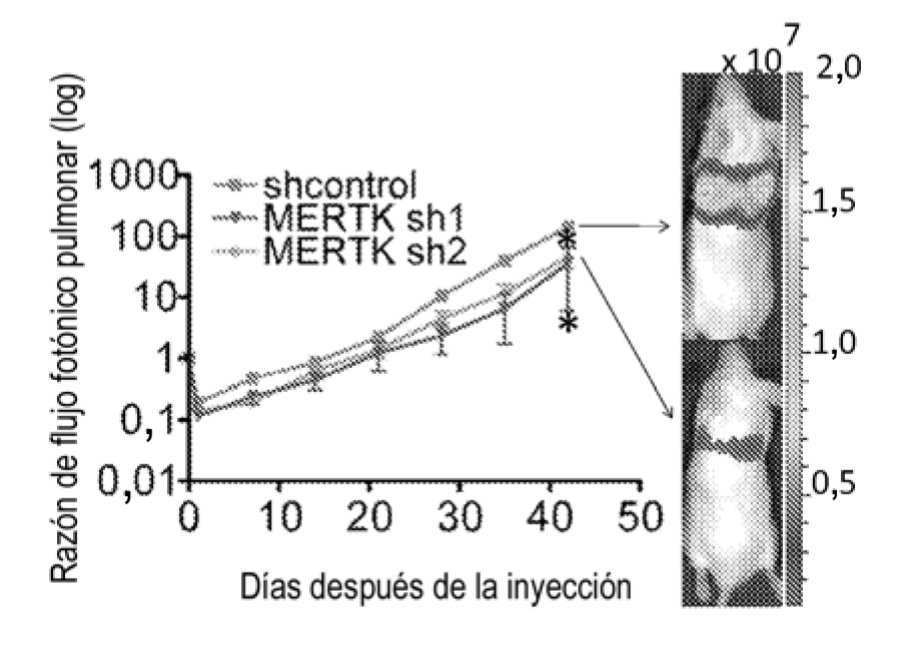


FIG. 4E

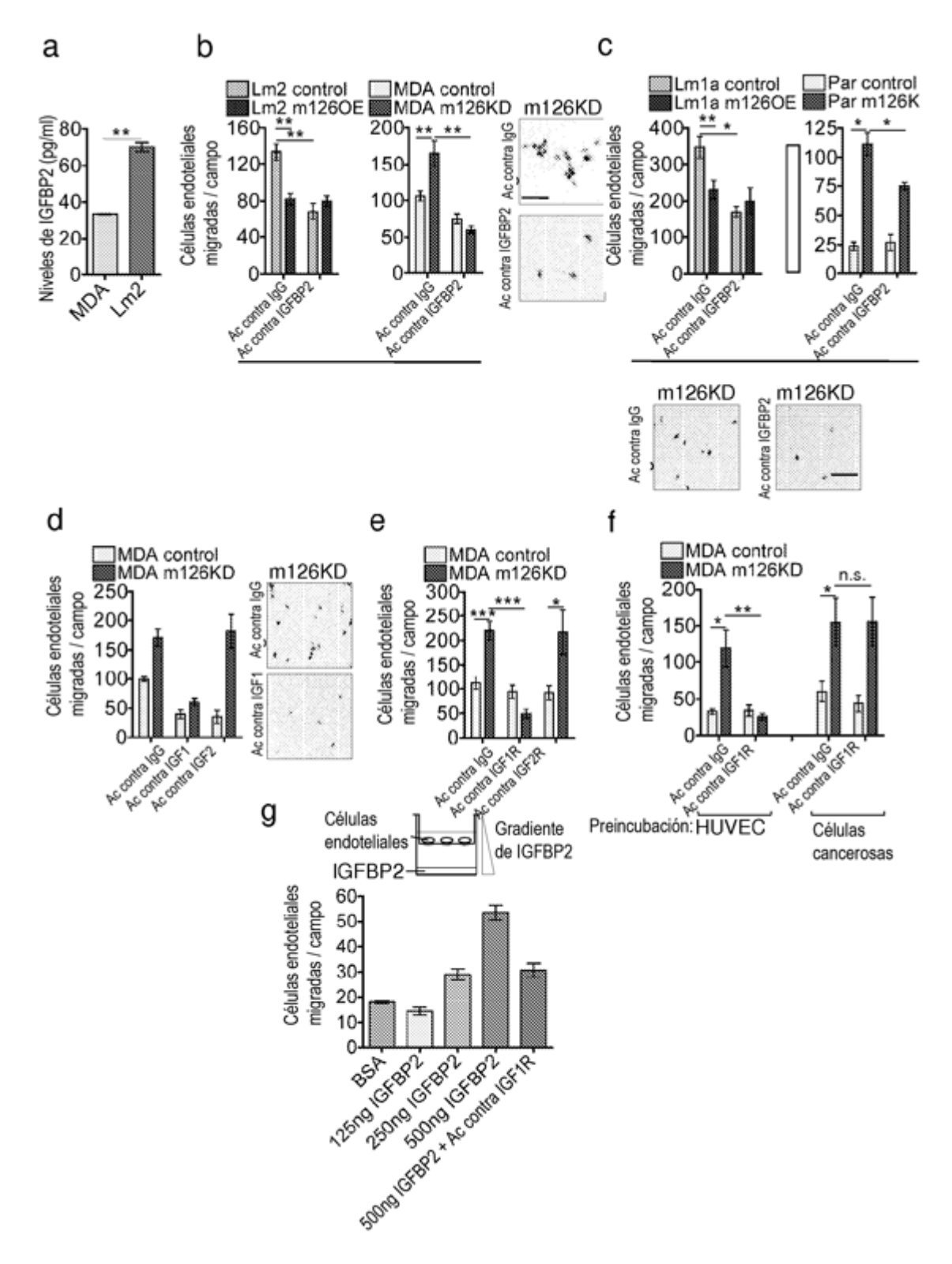


FIG. 5

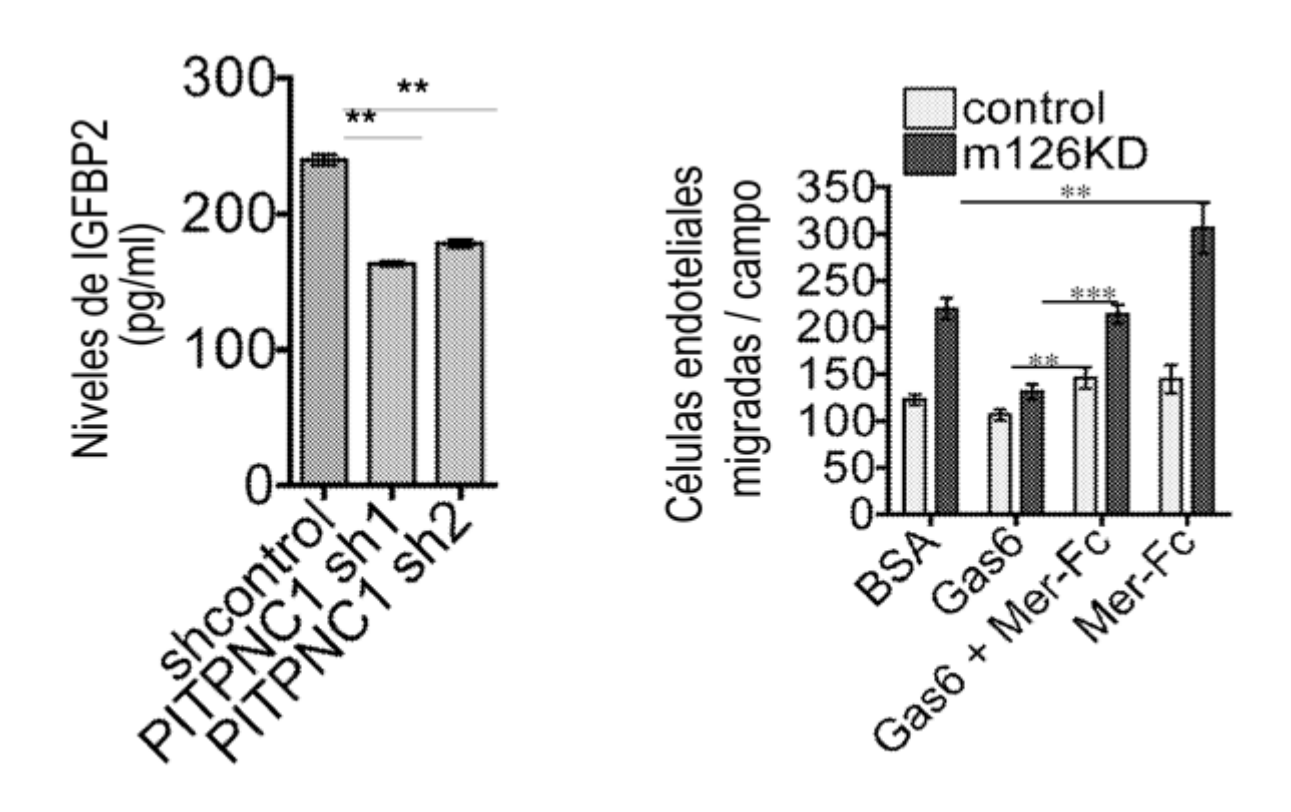


FIG. 6A FIG. 6B

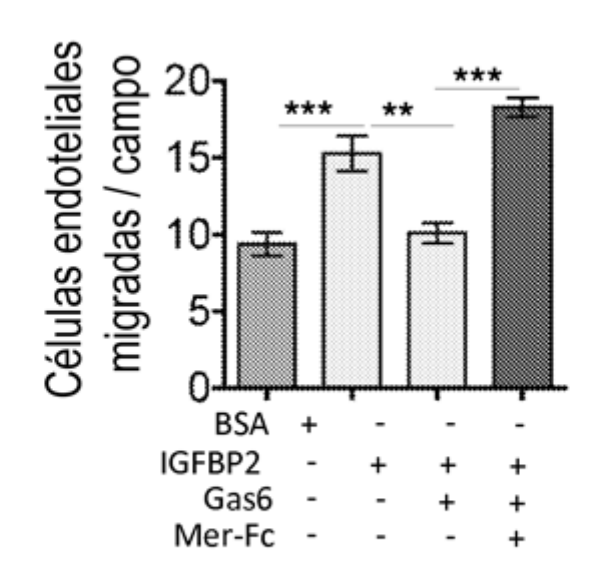


FIG. 6C

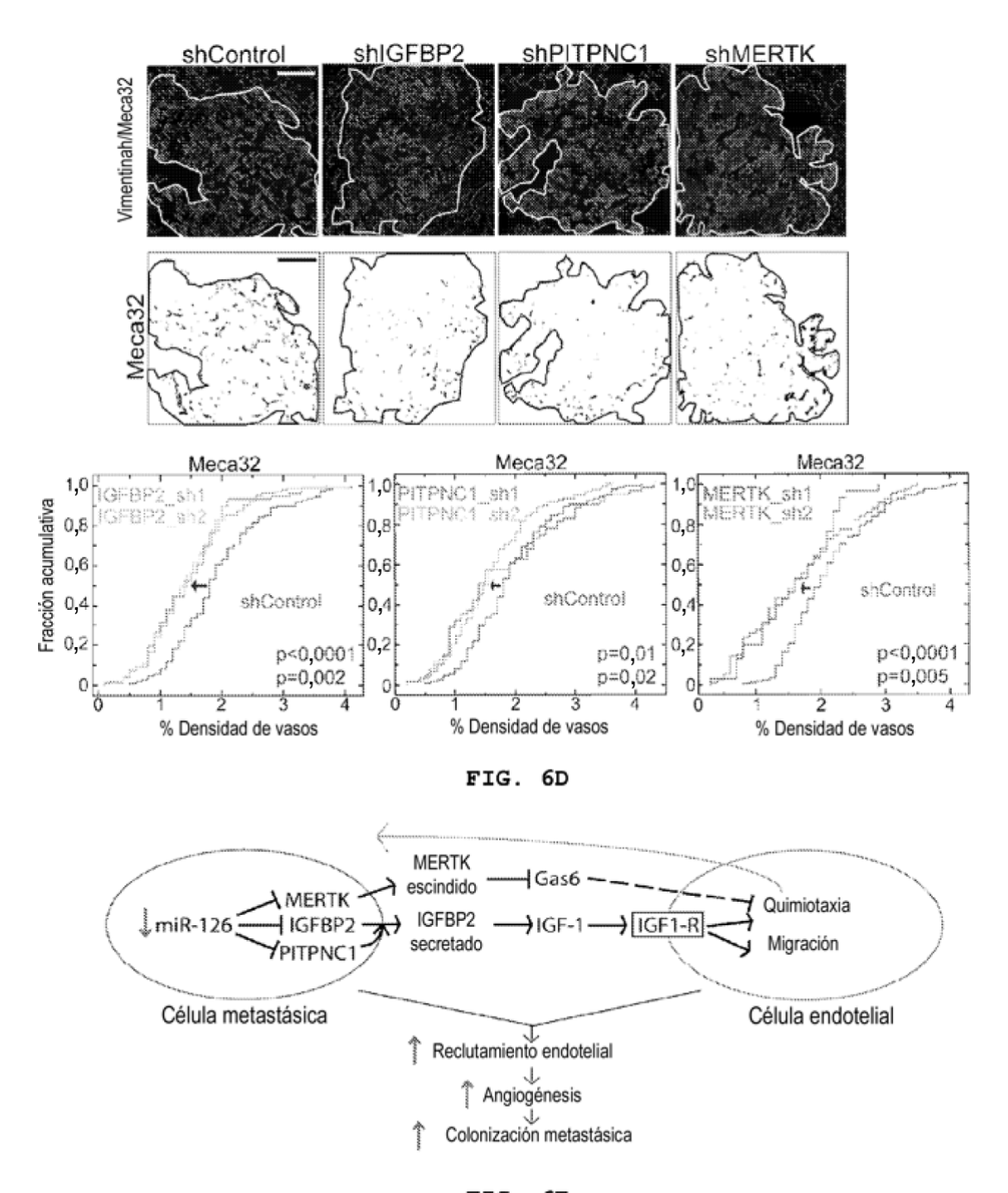


FIG. 6E

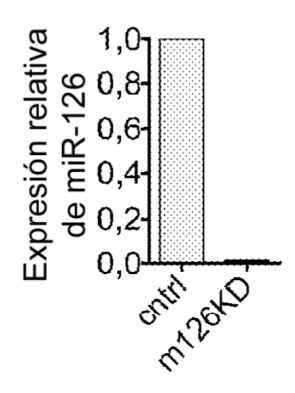
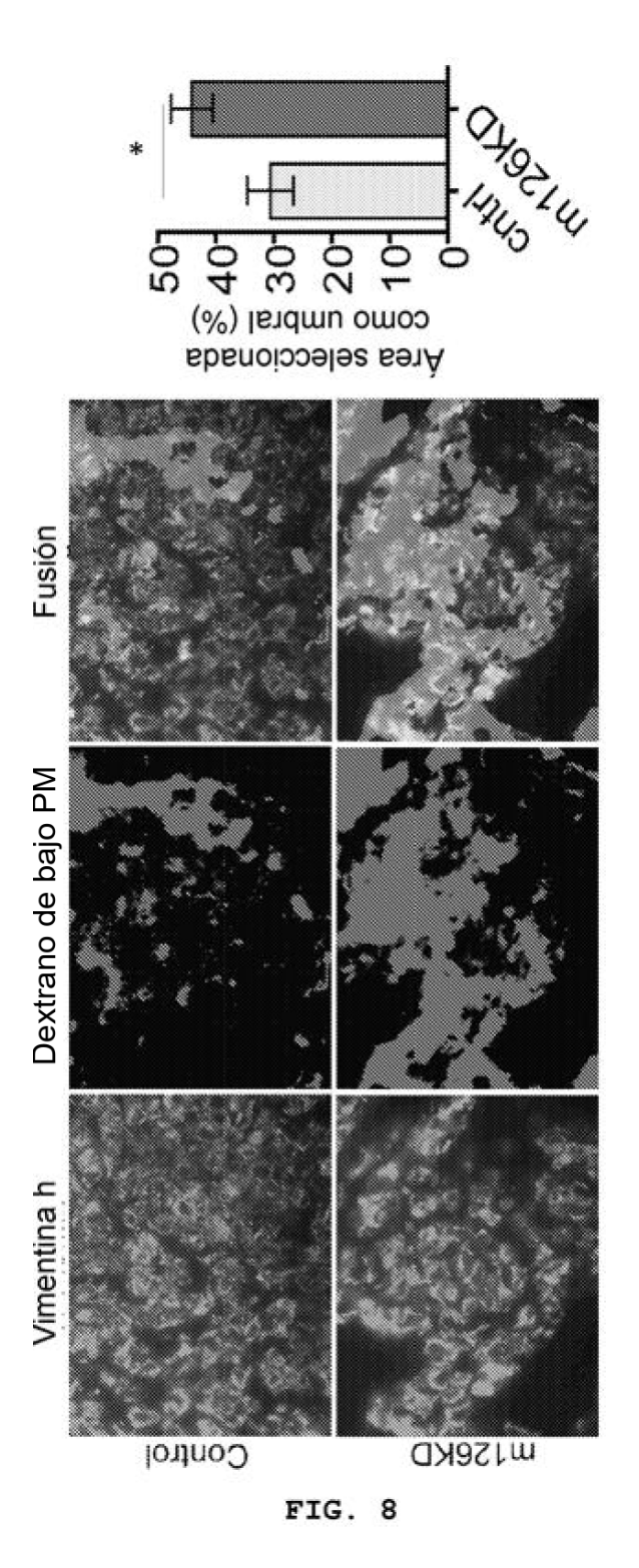


FIG. 7



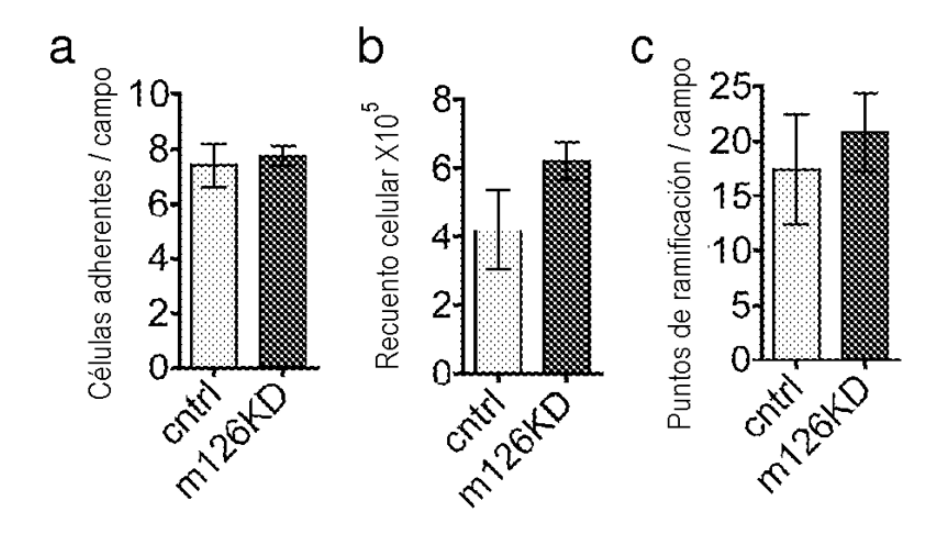


FIG. 9

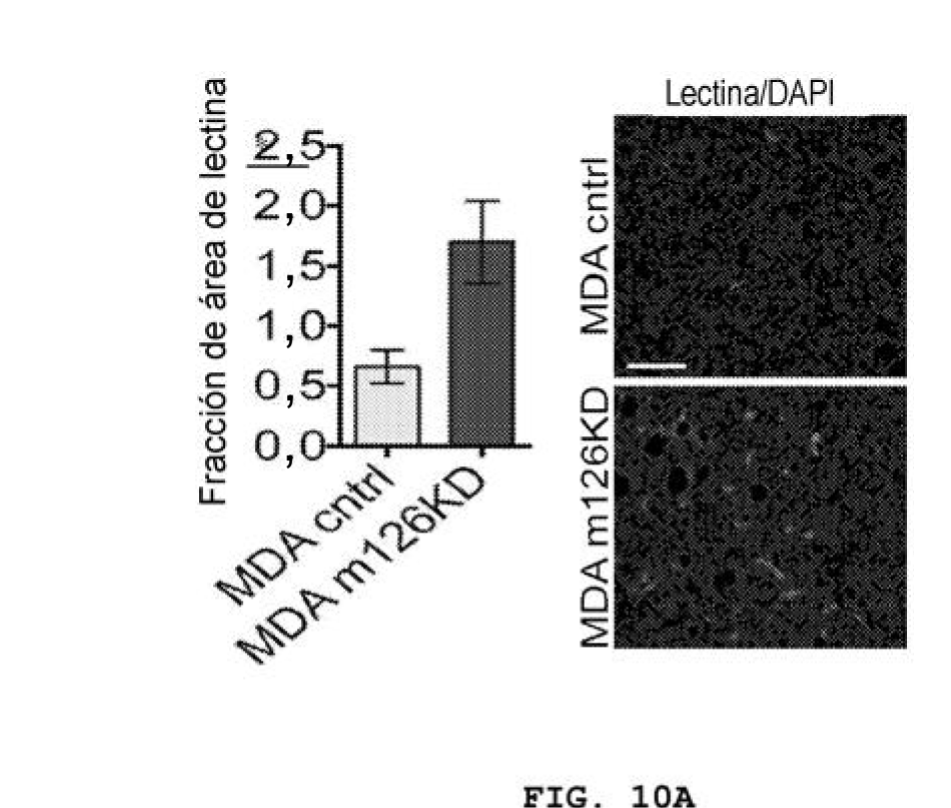


FIG. 10A

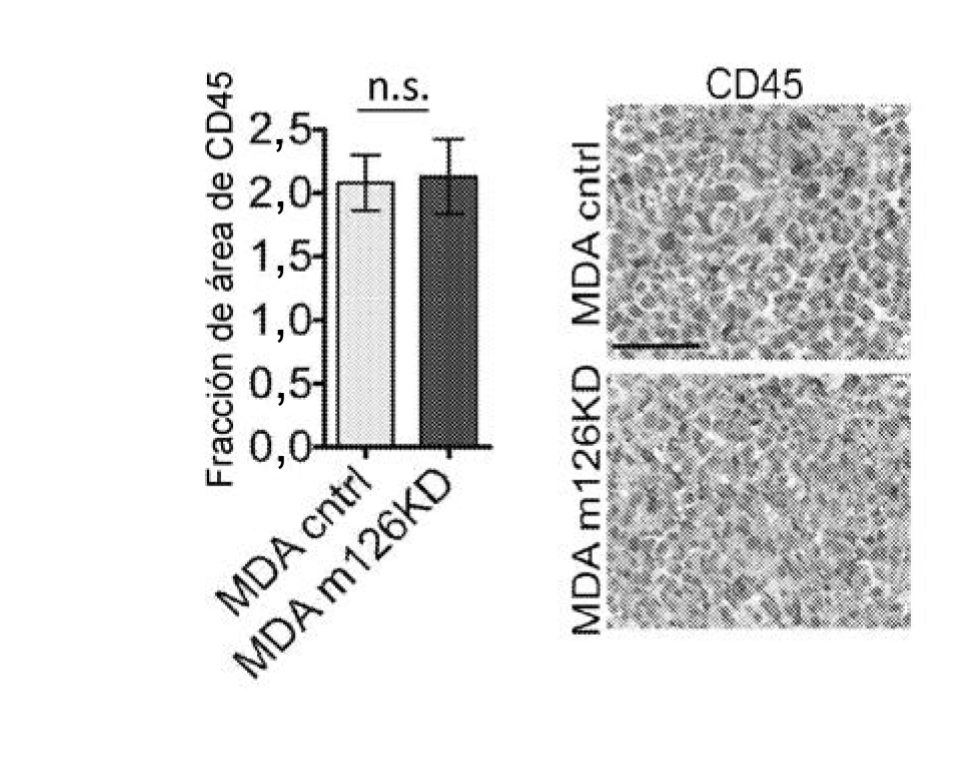


FIG. 10B

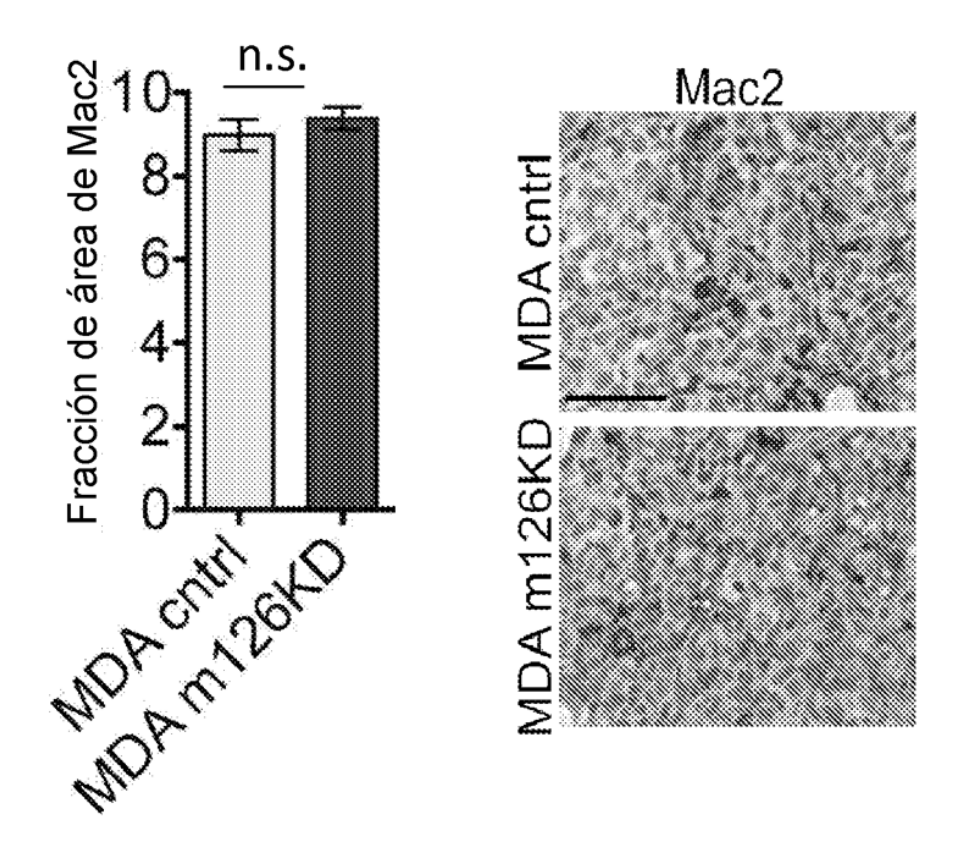
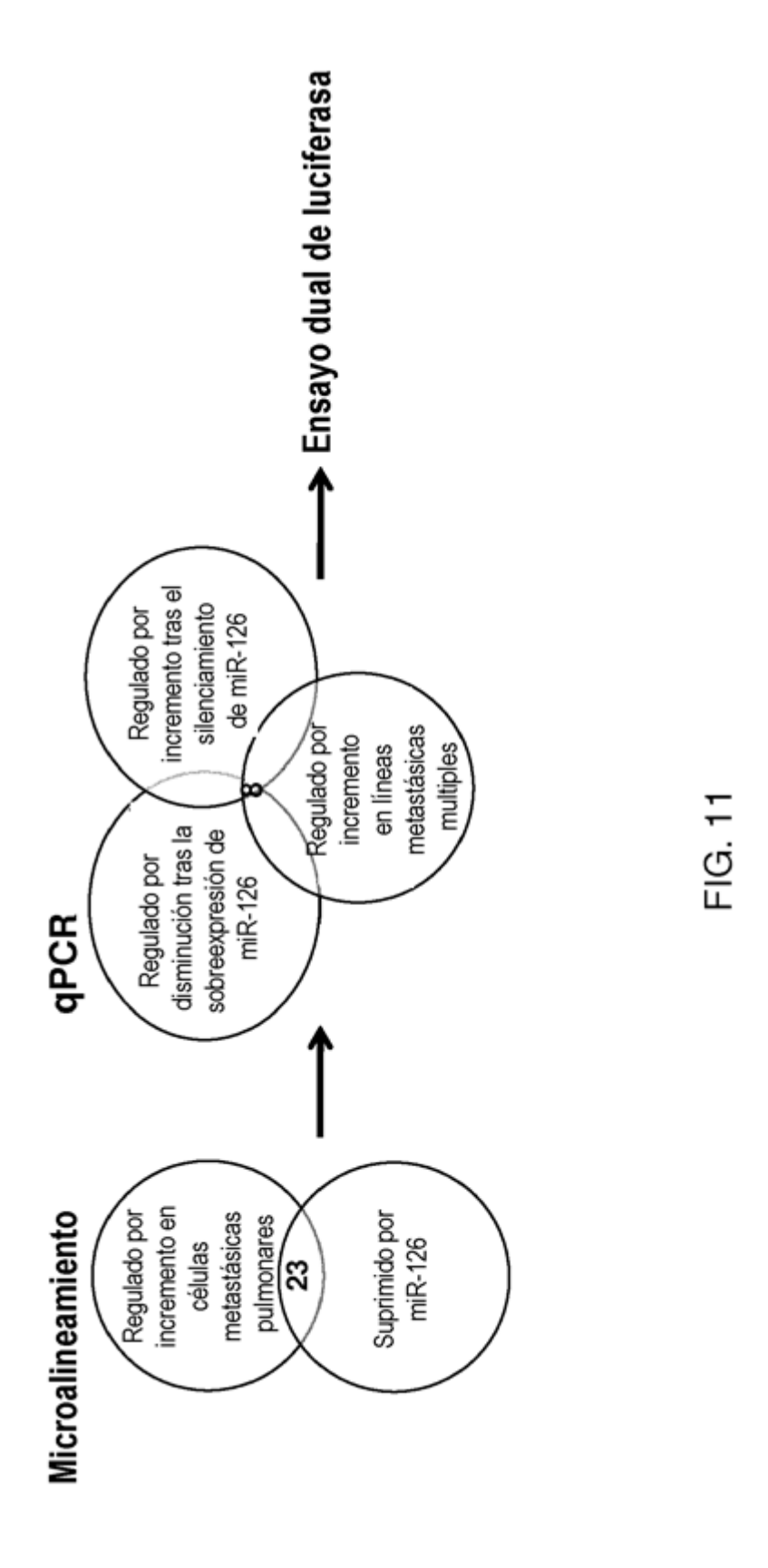
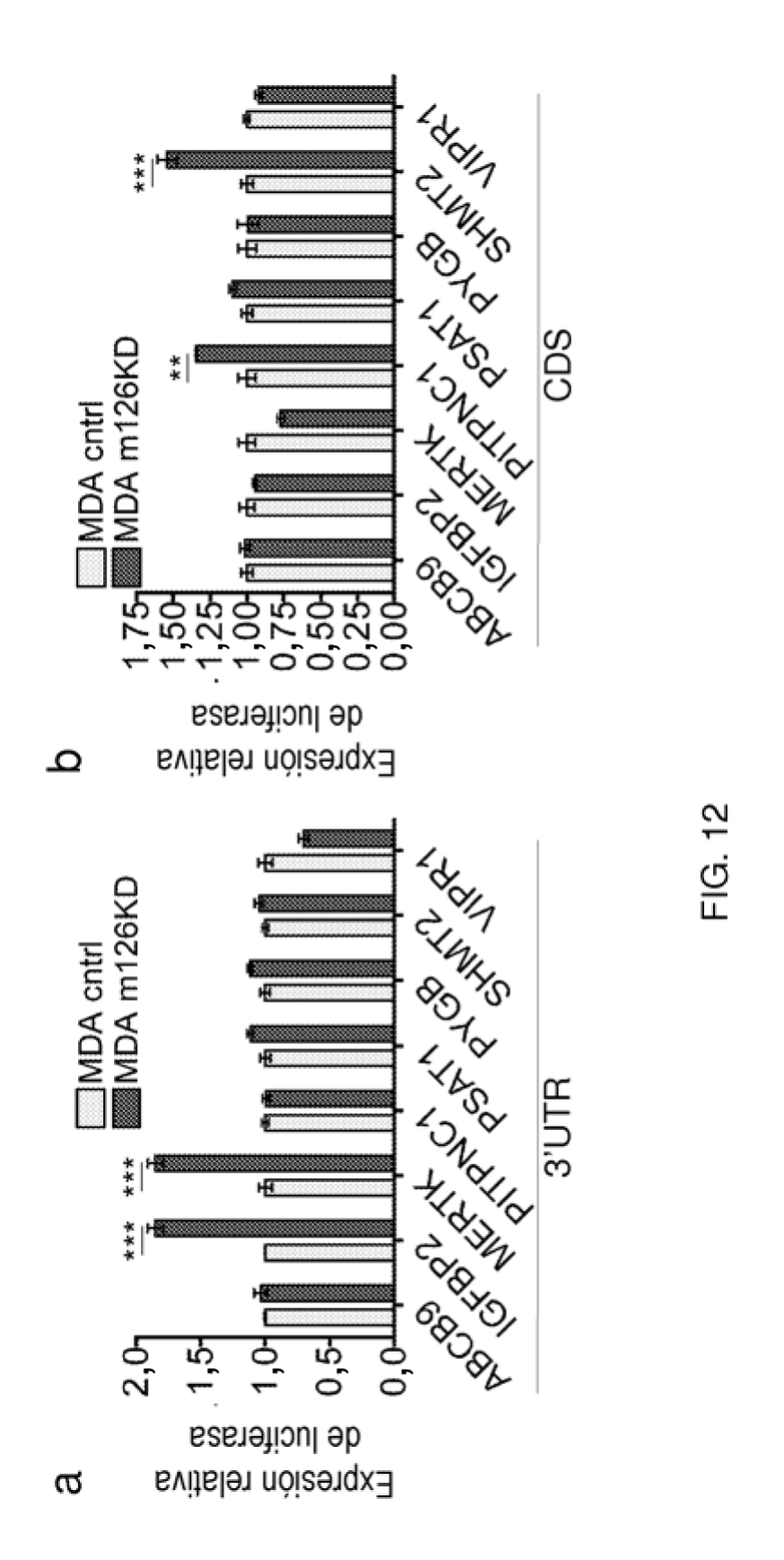
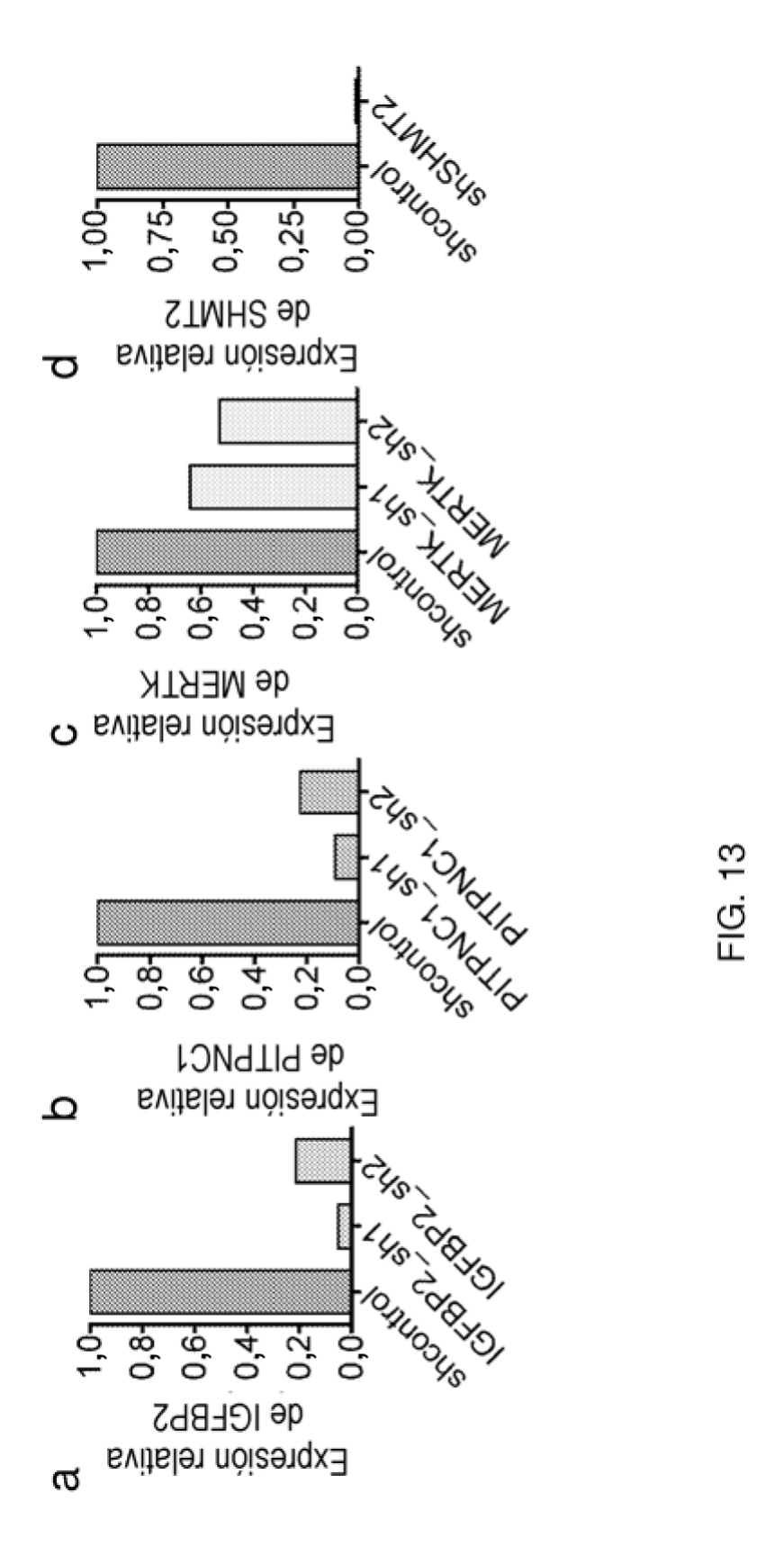
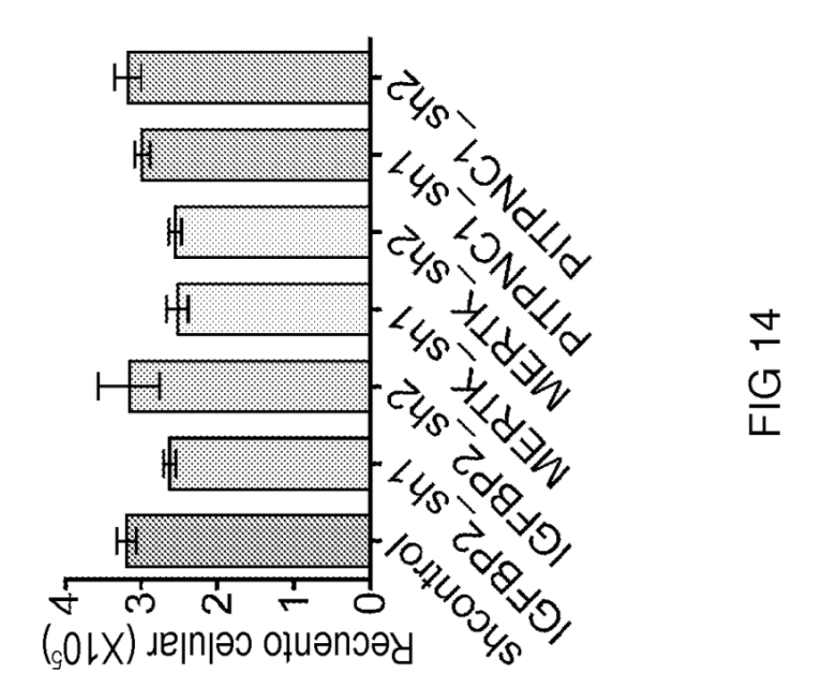


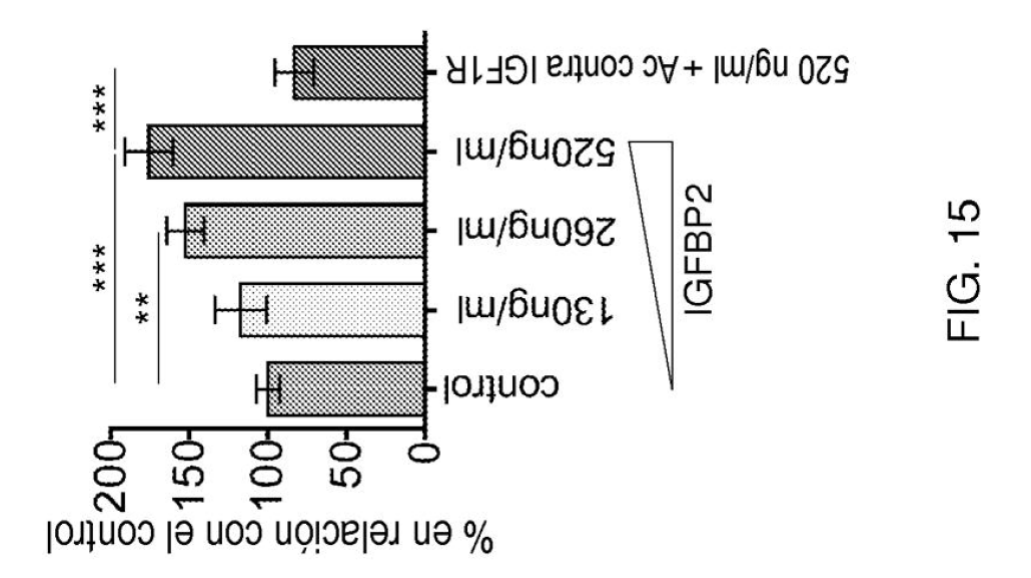
FIG. 10C











Células CM

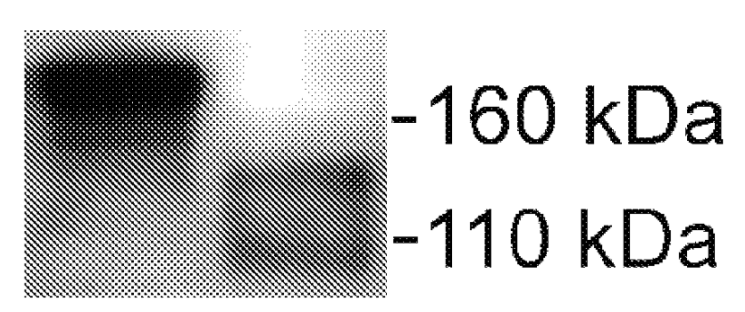


FIG. 16

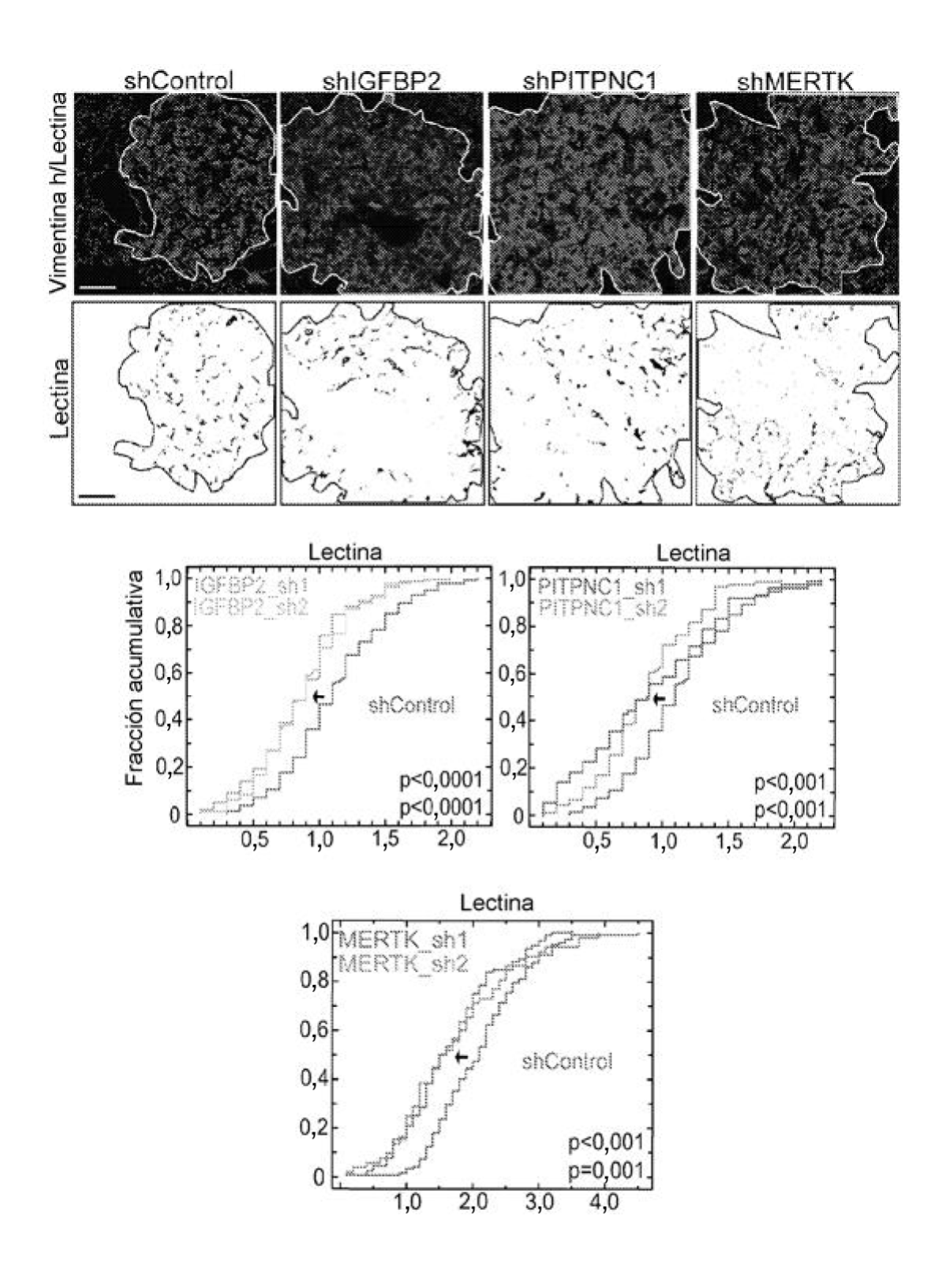


FIG. 17

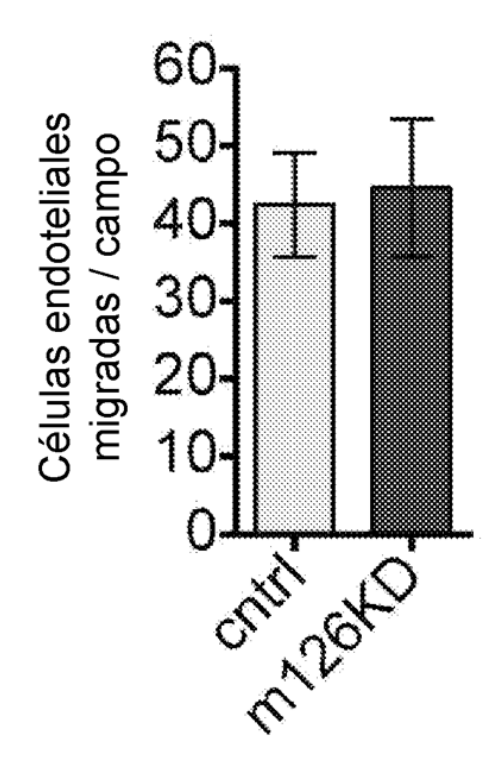
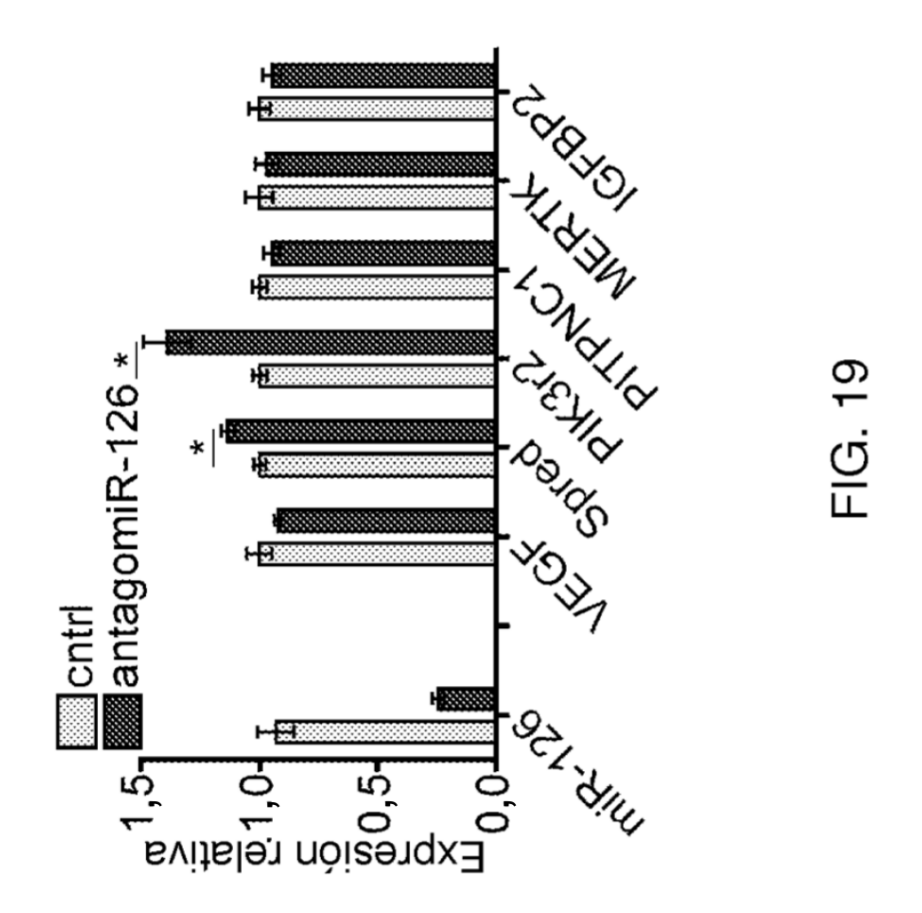


FIG. 18



IT MEDIOS HT	0,1026	0,1162	0,0829	0,0635	0,0557	0,0968	0,1119	0,1143	ID de Ac de recubr.: Antic. anti-lgG de ratón en Cab. ID de Ac: LH de IGFBP2 Sbnt. ID de Ac: Sueros de ratón de IGFBP2 m1-m3 día 70 ID de Ag: IGFBP2-biotina ID de reactivo de detección: SA-HRP	
MEDIOS HT	0,075	0,0623	0,0564	0,0627	0,0576	0,0758	0,1101	0,1228	lbr.: Antic. LH de s de ratón de l IGFB e detección: S/	
MEDIOS PROMEDIO	0,0888	0,0893	0,0697	0,0631	0,0567	0,0863	0,1110	0,1186	ID de Ac de recubr.: Antic. anti-l. ID de Ac: LH de IGFBP. ID de Ag: IGFBP2-bio ID de reactivo de detección: SA-HRP	
Sueros de IGFBP2 de WO6663-1	3,762	3,6066	3,2468	1,9111	0,8578	0,3796	0,2108	0,1322	LH de IGFBP2 de wo6663-1 - Sueros de IGFBP2 de wo6663-1 - MEDIOS	1,4 Ninguna
LH de IGFBP2 de wo6663-1	3,8654	3,6839	3,0672	1,5044	0,6277	0,2915	0,1556	0,1196	LHde IGFBP2 de wo6663-1 ——Sueros de IGFBP2 de wo66 ——MEDIOS	3 111,1 37,0 12,3 4,1 Concentración de Ag (ng/ml)
Concentración de Ag	1000,0	333,3		37,0	12,3	4,1	4,	Ninguna		00,00

Resumen del ensayo: Recubrir placa de poliestireno para EIA/RIA con recubrimiento de Ac.->Bloqueo.-->Ac primario--->Ag biotinilado--->SA-HRP--->Detener y leer

FIG. 20

ios Medios e a frente a sP3 IGEBP4		14 0,5108	38 0,53	0,5504	13 0,5144	96 0,5322	33 0,5384	35 0,5277	ento: Antic. anti-IgG de ratón en Cab. LH de IGFBP2 Sbnt. IGFBP2-biotina sción SA-HRP IGF-I (PeproTech #100-11) IGFBP3 (PeproTech #350-05B)	
Medios frente a IGFBP3	0,5171	0,5414	0,5398	0,5307	0,5013	0,496	0,5183	0,5485	<u> </u>	
P2 Medios frente a I IGF-1	0,5187	0,5272	0,5143	0,4893	0,5004	0,4916	0,5234	0,5344	ID de Ab de recubrimiento: ID de Ag: ID de reactivo de detección ID de competidor: IGF-I ID de competidor: IGFB	
LHde IGFBP2 frente a IGFBP4	3,2493	3,2905	3,3108	3,347	3,3937	3,4286	3,4193	3,3936		/8,7 Ninguna
LH de IGFBP2 frente a IGFBP3	3,2873	3,2855	3,2769	3,3597	3,4014	3,4262	3,39	3,4077	te a IGEBP2-biotina 100 ng/ml LH de IGBFP2 frente a IGFBP3 LH de IGFBP2 frente a IGFBP4 Medios frente a IGFBP3 Medios frente a IGFBP3 Medios frente a IGFBP3	
LH de IGBFP2 frente a IGF-1	3,3238	3,3069	3,3431	3,4375	3,4756	3,5041	3,4833	3,4463		u,u zsuu,u 1zsu,u 6zs,u 31z,s 1s6,3 Concentración de Ag competidor (ng/ml)
Concentración de Ag competidor	5000,0	2500,0	1250,0	625,0	312,5	158,3	78,*	Ninguna	Titulación de competidor frent 4,0 3,5 3,5 3,0 1,5 4,0 0,0 0,0	5000,0 2500,0 1250,0 Concentración de

Resumen del ensayo: Recubrir placa de poliestireno para EIA/RIA con recubrimiento de Ac-->Bloqueo--->Ac primario--->Ag biotinilado--->SA-HRP--->Detener y leer

FIG. 21

D.O. por ELISA frente a IGFBP2- Biotina + IGF-1 Razón	71,1 17,0		0,60	0,74 1,14		07.0	1		2,1	0,66				0,62 1,16							0,79 1,08	0,74 1,12	>SA-HRP>Detener	Antic. anti-laG de ratón en Cab. (espec. para Fc)	Sobrenadante de biblioteca de hibridomas de IGFBP2 Sueros de ratón de IGFBP2 m1-m3	#100-110)
D.O. por ELISA free frente a IGFBP2- Bic Biotina	0,83	2,37	0,72	98,0	18,0	0,84	2.39	2,43	2,36	92'0	6,73	0,82	9,78	0,72	0,87	6,74	95,0	68'0	9,76	2,42	98'0	0,82	Resumen del ensayo: Recubrir placa de poliestireno para EIA/RIA con recubrimiento de Ac>Bloqueo>Ac primario>Ag biotinilado>SA-HRP>Detener		adan	ID de Ag: IGFBP2-Biotina ID de Racomp.: IGF-I (PeproTech #100-110) ID de reactivo de detección: SA-HRP
ocillo T.C.	585	£	SF5	207	5A8	602	3; 3;	\$	2 2 2	754	764	7A7	7.E.7	759	8£3	8A10	9C10	10H3	10E3	10.45	10F8	1003	ieo>Ac prii	D de Ac de recubr∷		D de Ag: D de Ag comp.: D de reactivo de d
Designación TC Pocillo T.C.		IGFBP2_Mf3					16FBP2 M14	1GFBP2_W16	IGFBP2_M16				IGFSP2_M17				IGFBP2_M18	IGFBP2_M19		IGFBP2_M20			ento de Ac>Bloqu			D de/ D de/ D de/
Razón	1.44	1,30	72	1,41	1,46	1,30	1,16	870	1,14	8,7	96'9	1,14	1,19	1,17	1,19	1,27	1,22	1,18	1,08	1.13	1,13	1,17	recubrimie	D.O. promedio por ELISA frente a	IGFBP2-Biotina + IGF-1	2,17 2,45 0,10 FIG.
D.O. por ELISA frente a IGFBP2- Biotina + IGF-1	95,0	1,82	0,53	0,64	0,52	19'0	2,09	8.6	36,1	52,0	60'0	2,14	0,60	0,72	0,61	65'0	0,70	0,70	0,82	0,64	0,68	0,64	para EIA/RIA cor			
D.O. por ELISA from trente a IGFBP2.	0.86	2,53	0,82	06,0	0,76	0,80	2,42	6,10	2,27	: <u>6</u>	95'0	2,43	0,71	0,85	0,72	0,75	0,86	0,83	68'0	0,72	0,76	0,75	a de poliestireno	D.O. promedio	frente a IGFBP2-Biotina	
																							scubrir plac			Lib. hib. Sueros pos. Medios HT
, Pocillo T.C.	181	ğ	109	1411	1E11	2F6	2H7	38	383	384	3E7	7	4E4	23	408	4A9	4F10	-98-	50	5F2	SH2	SH4	ensayo: Re		Controles	Control positivo Control positivo Control negativo
Designación T.C.		KGFBP2_M1		IGFBP2_M2		IGF8P2_M3	IGFSP2_M4	IGF8P2_M5	KGFBP2_M6	IGF8P2_M7	KSF8P2_M8	KGFBP2_M9		IGFSP2_M10			IGFBP2_M11		ICFBP2_M12				Resumen del	y leer	ŏ	Control Control

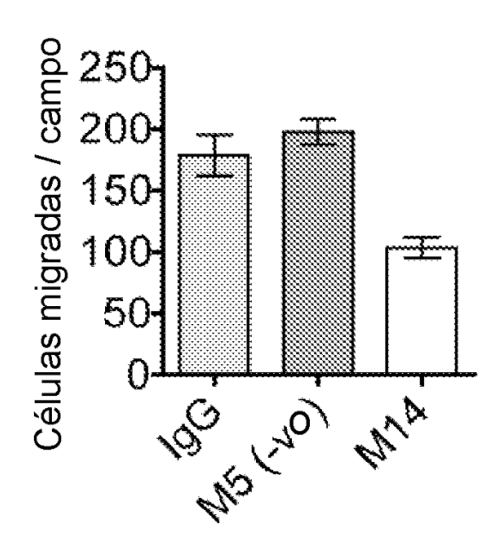


FIG. 23

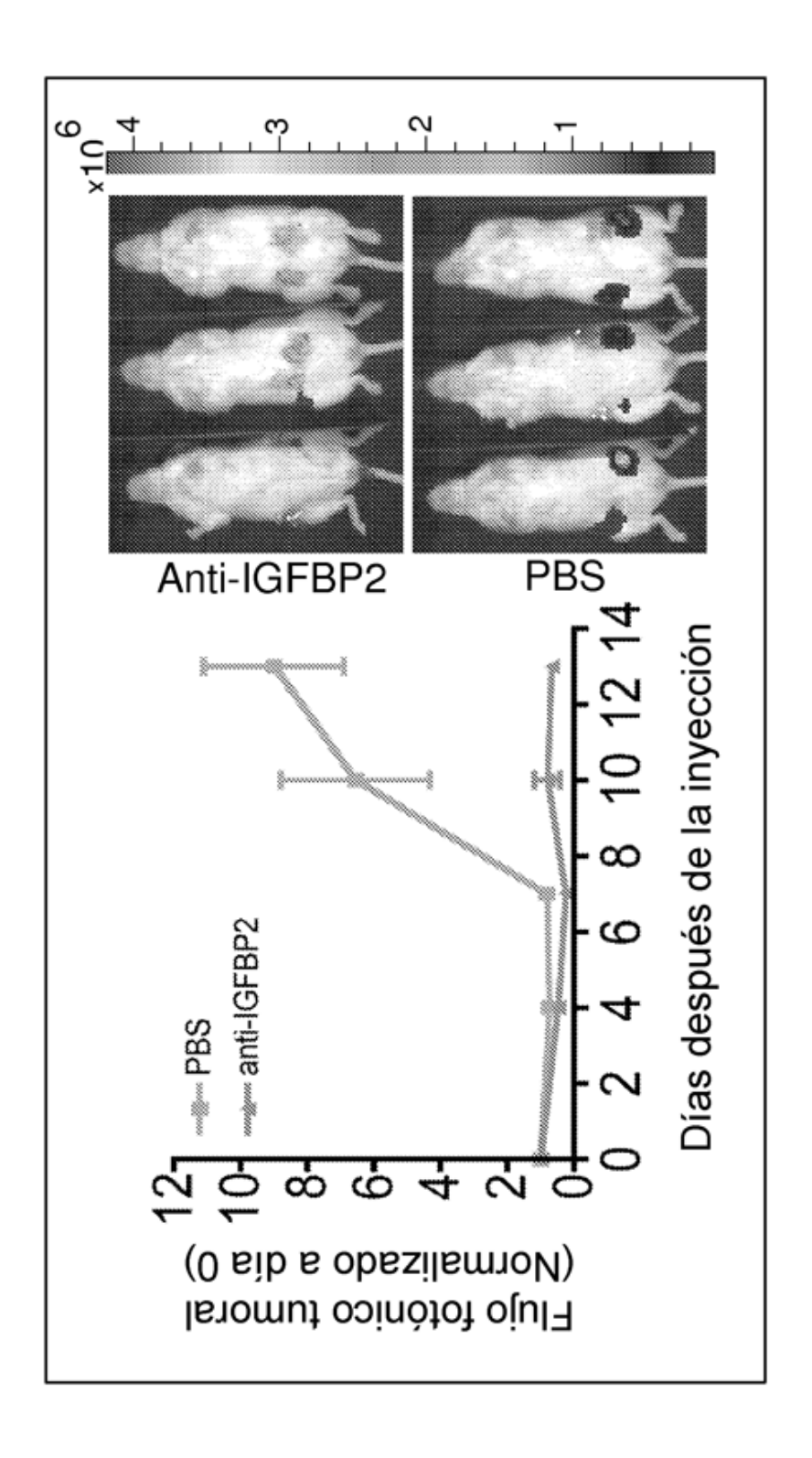


FIG. 24